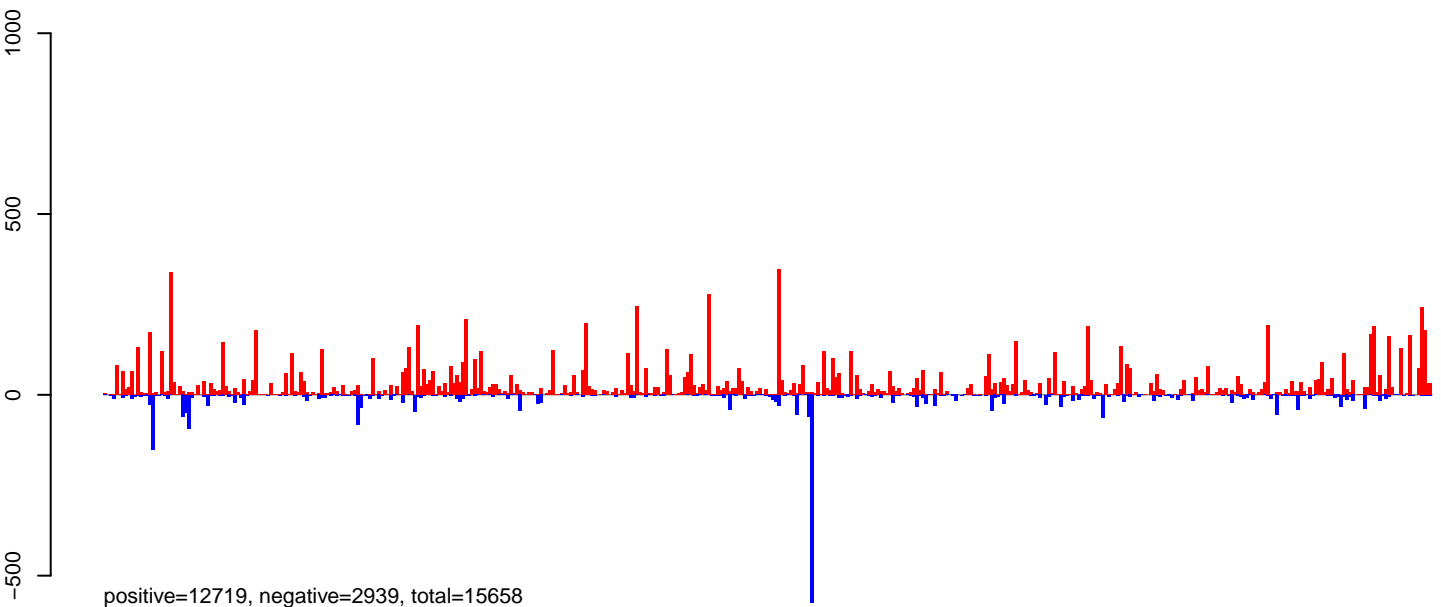
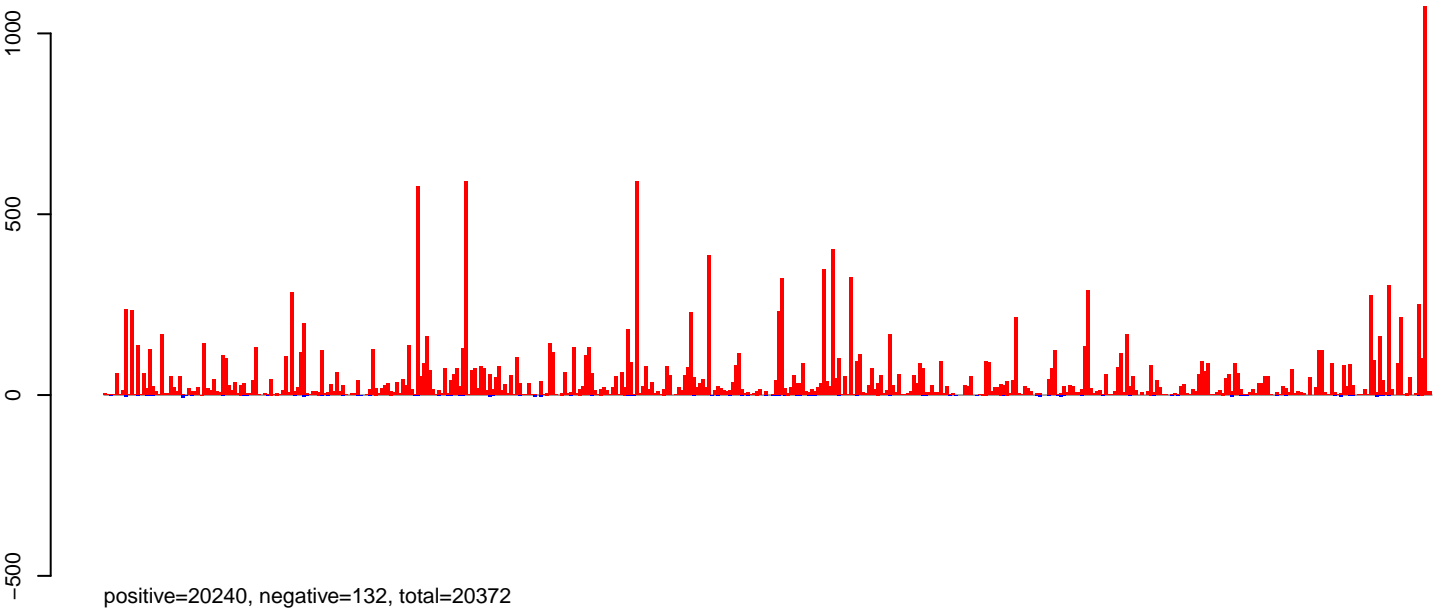


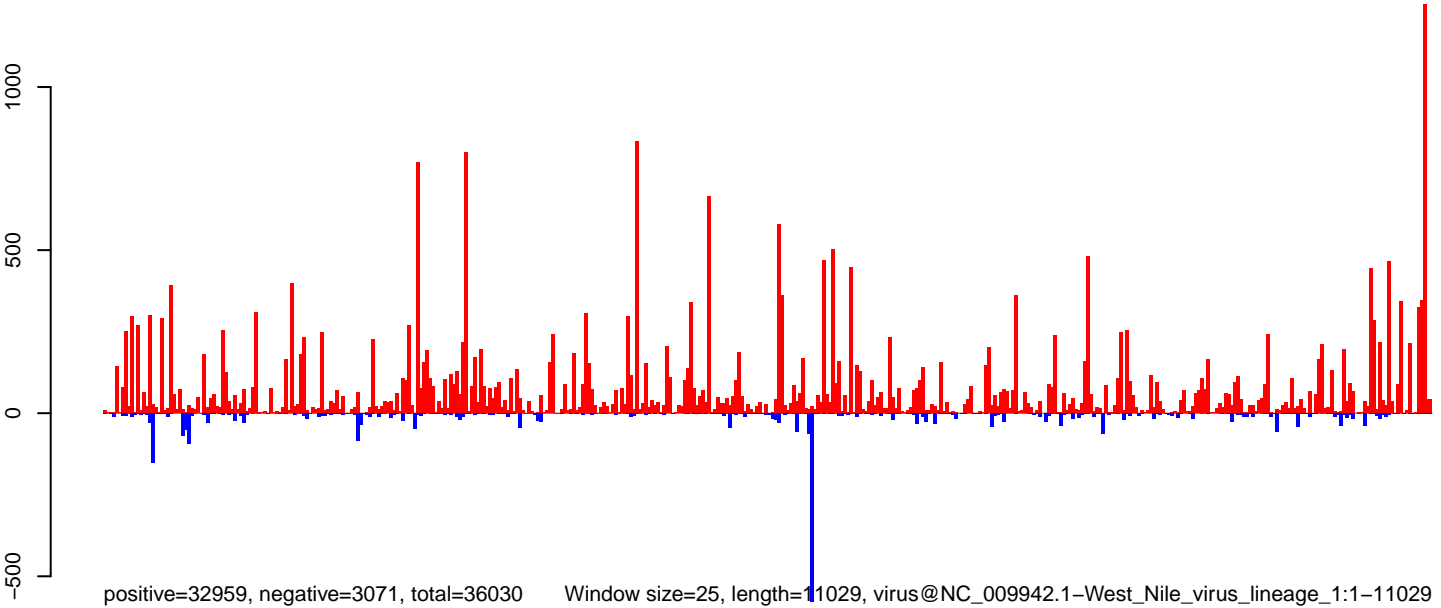
CuQuin_SG_14dpi3.18_23.rep



CuQuin_SG_14dpi3.24_35.rep

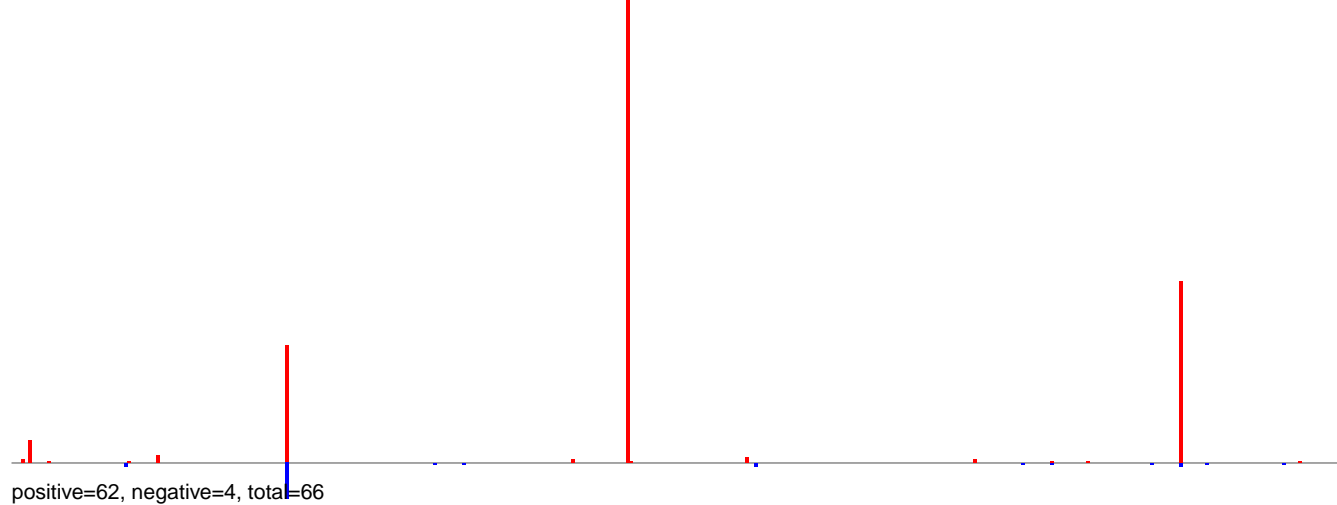


CuQuin_SG_14dpi3.rep

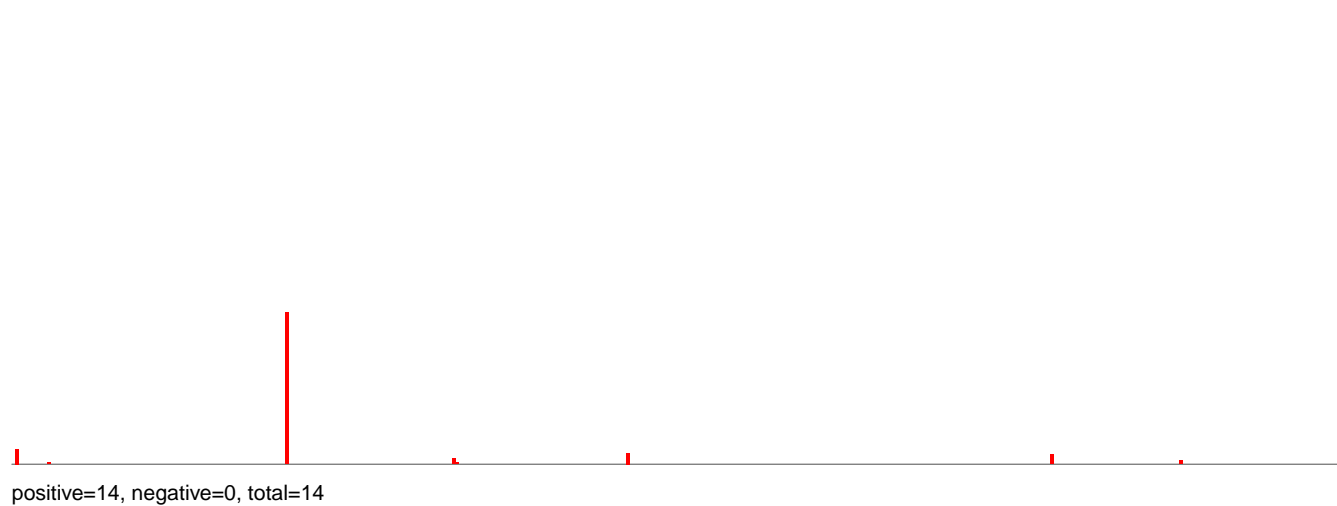


0 2000 4000 6000 8000 10000

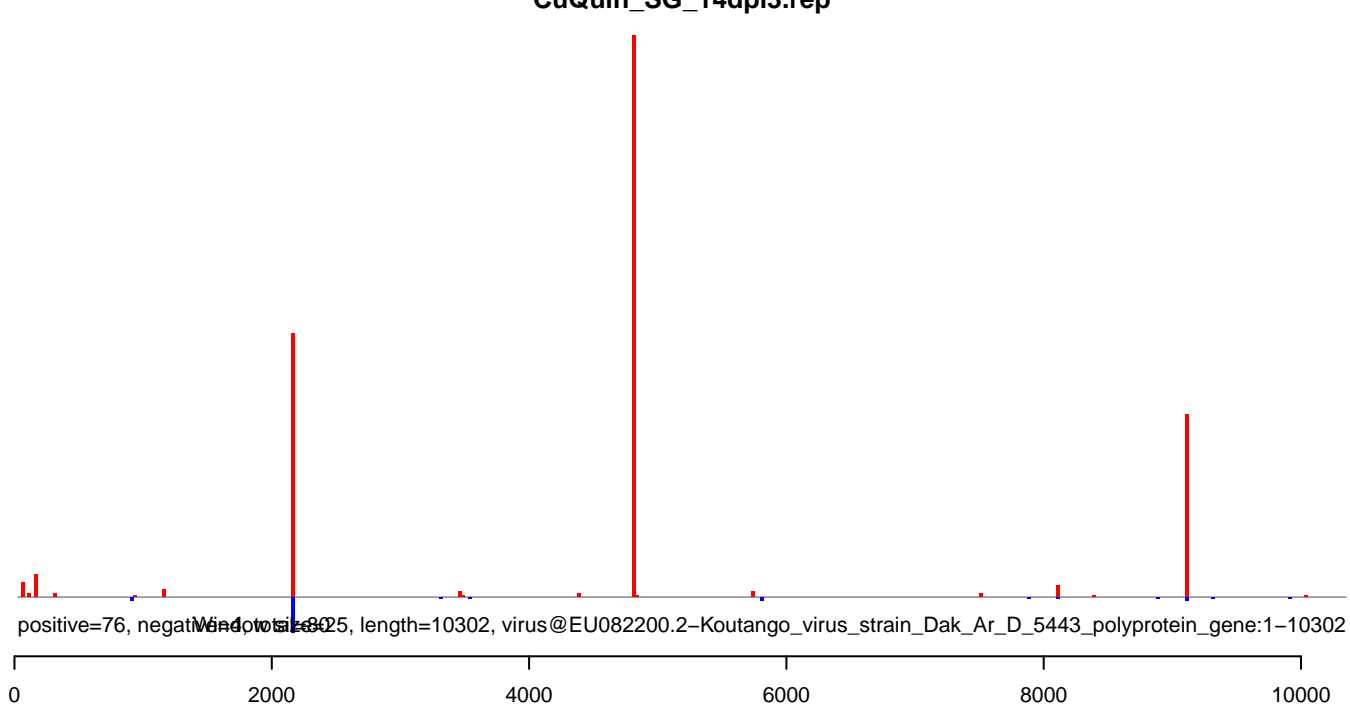
CuQuin_SG_14dpi3.18_23.rep



CuQuin_SG_14dpi3.24_35.rep



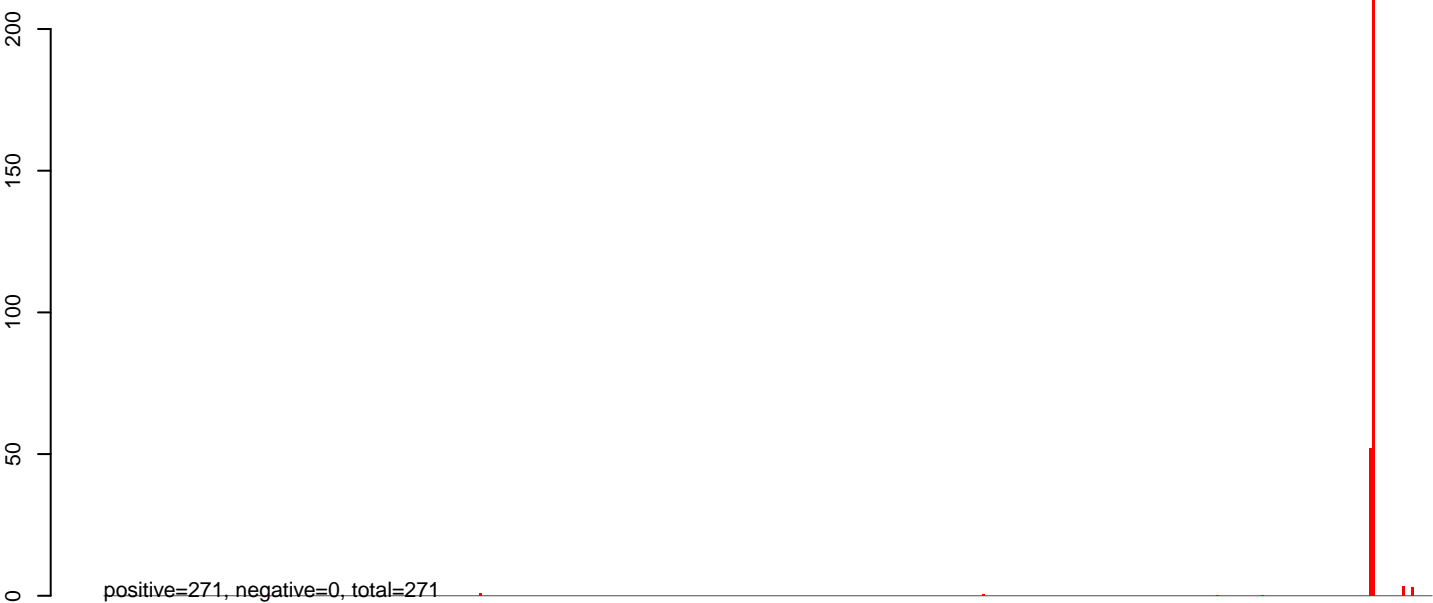
CuQuin_SG_14dpi3.rep



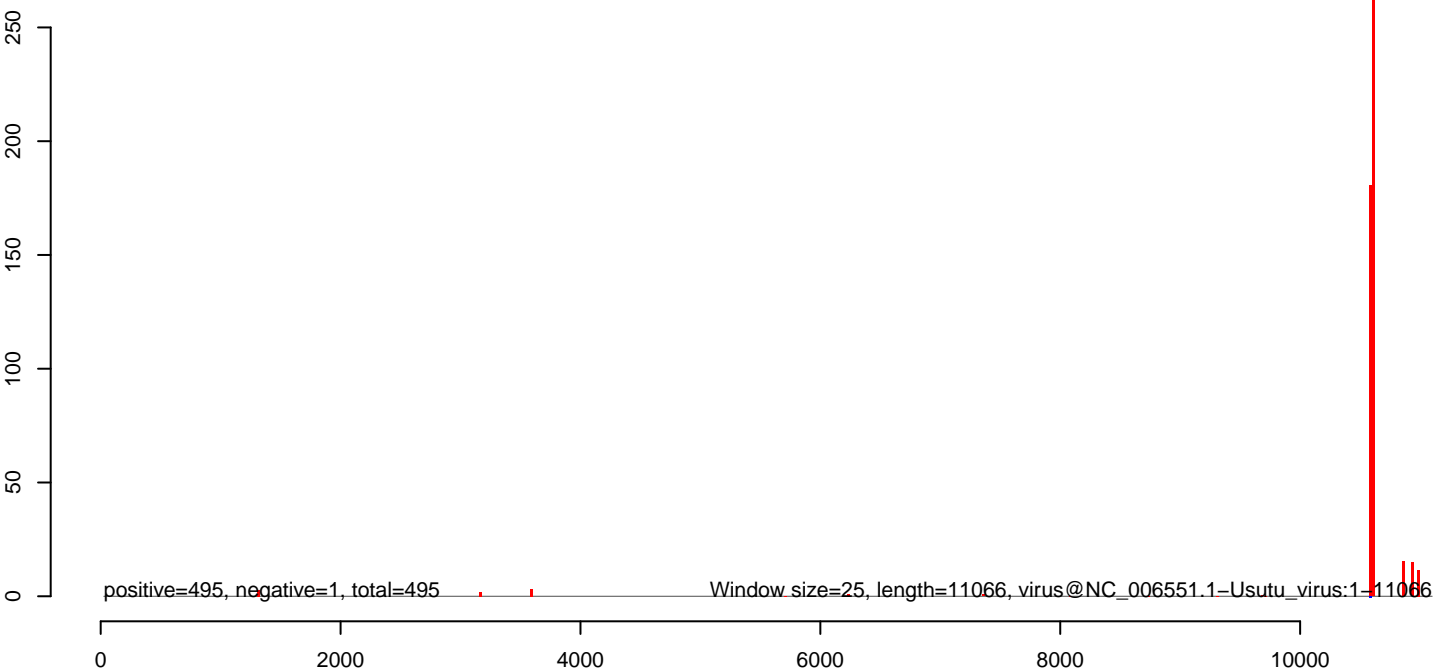
CuQuin_SG_14dpi3.18_23.rep



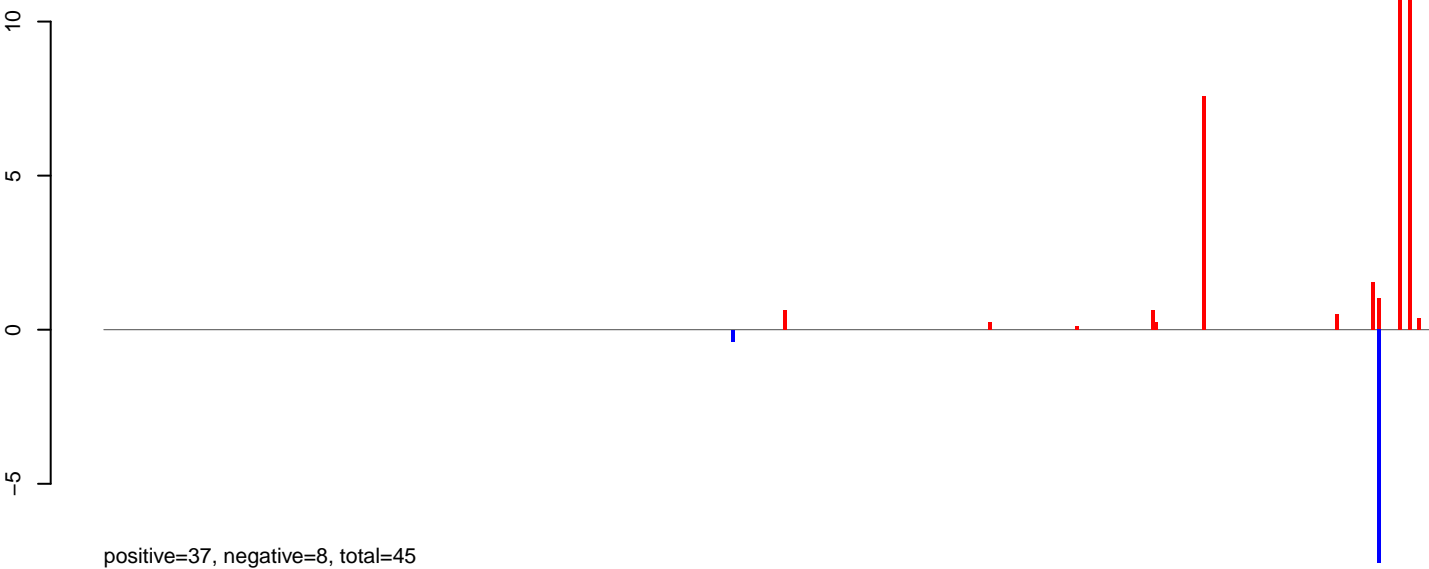
CuQuin_SG_14dpi3.24_35.rep



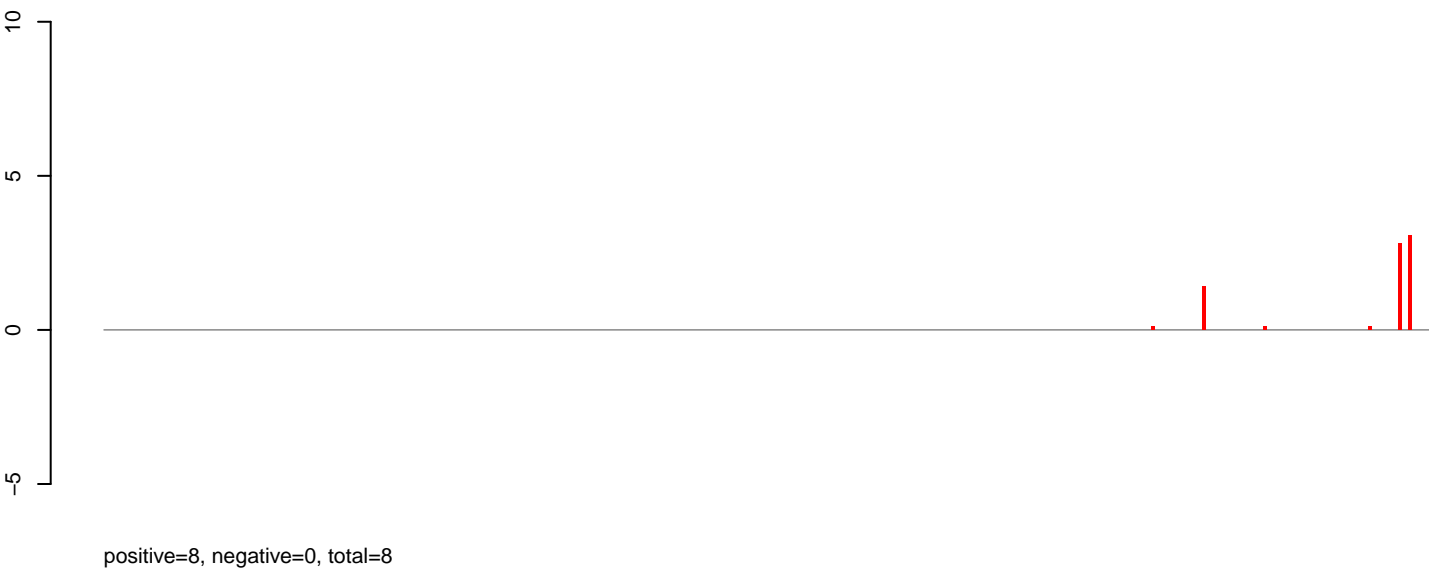
CuQuin_SG_14dpi3.rep



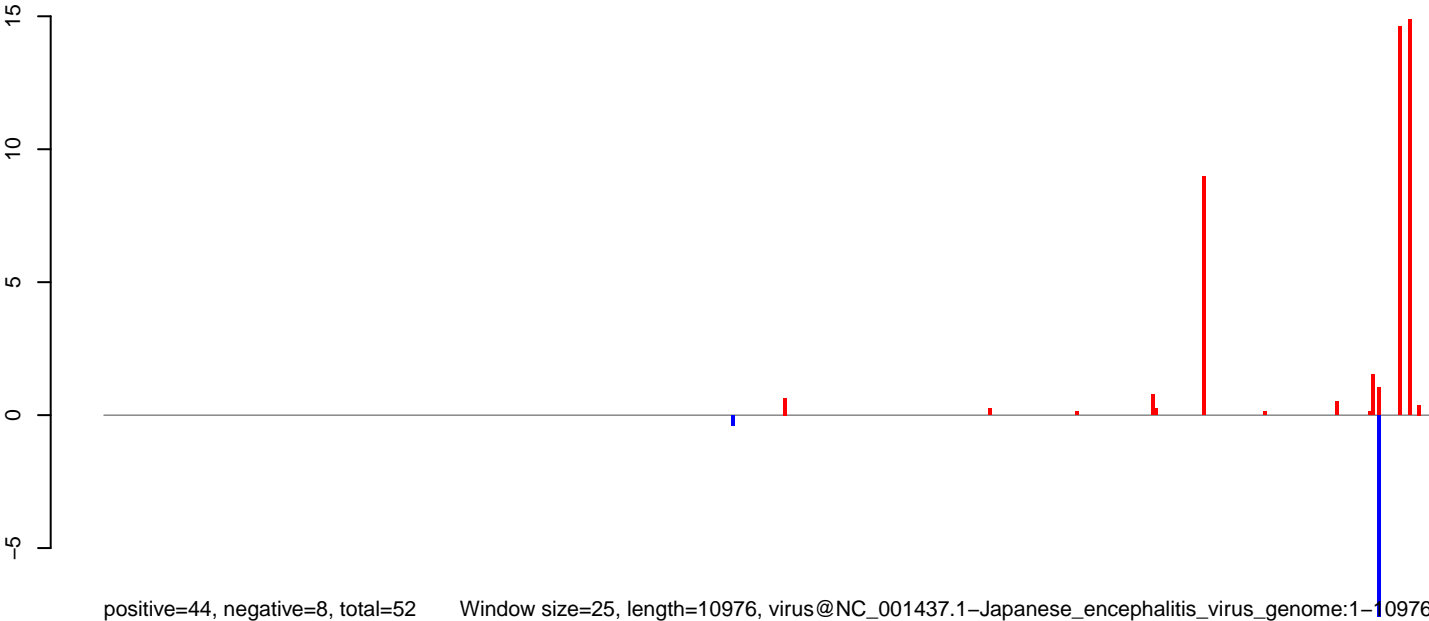
CuQuin_SG_14dpi3.18_23.rep



CuQuin_SG_14dpi3.24_35.rep

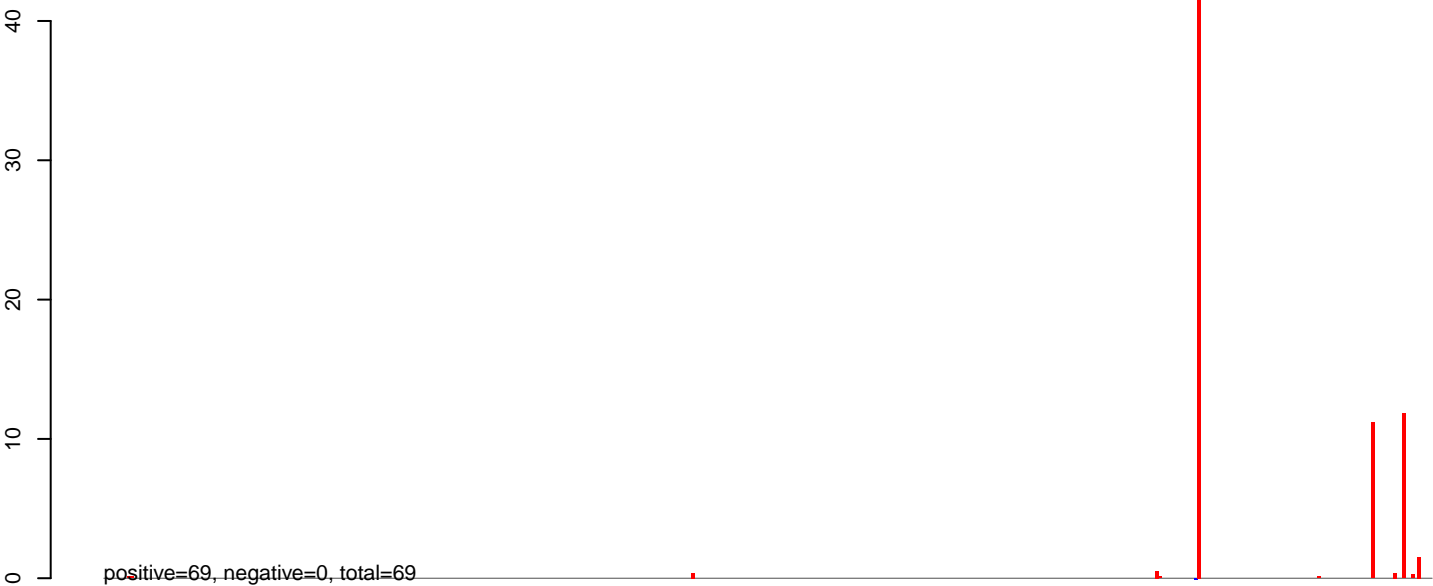


CuQuin_SG_14dpi3.rep

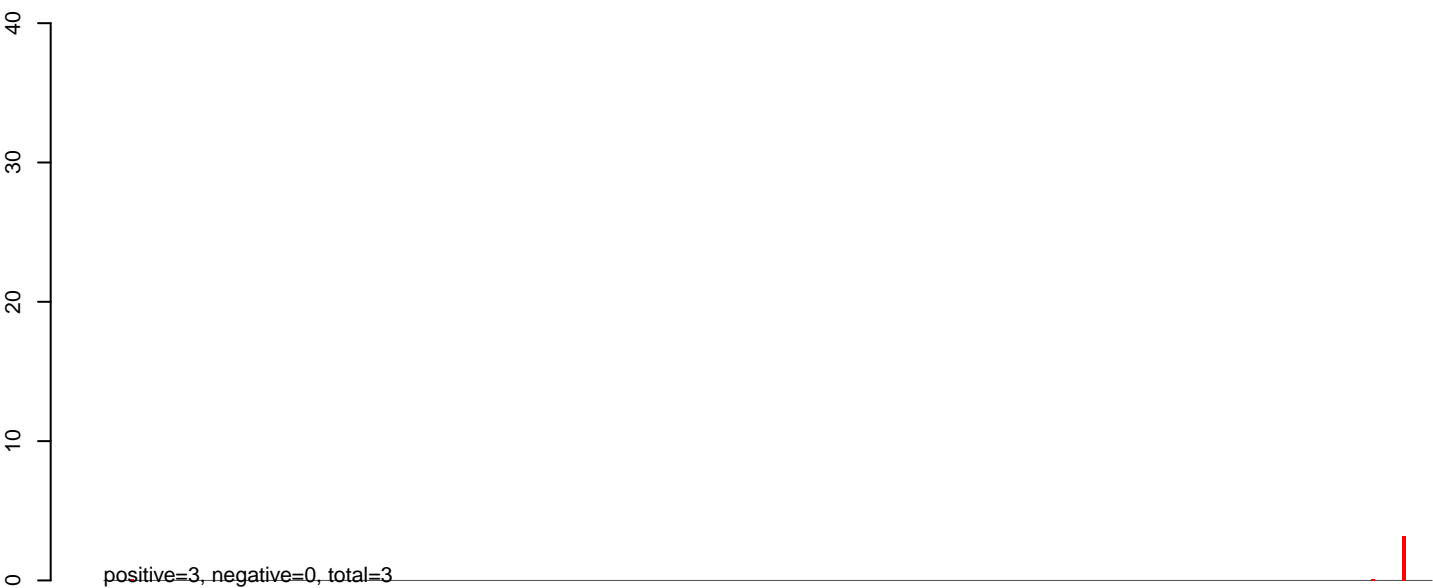


Window size=25, length=10976, virus@NC_001437.1-Japanese_encephalitis_virus_genome:1-10976

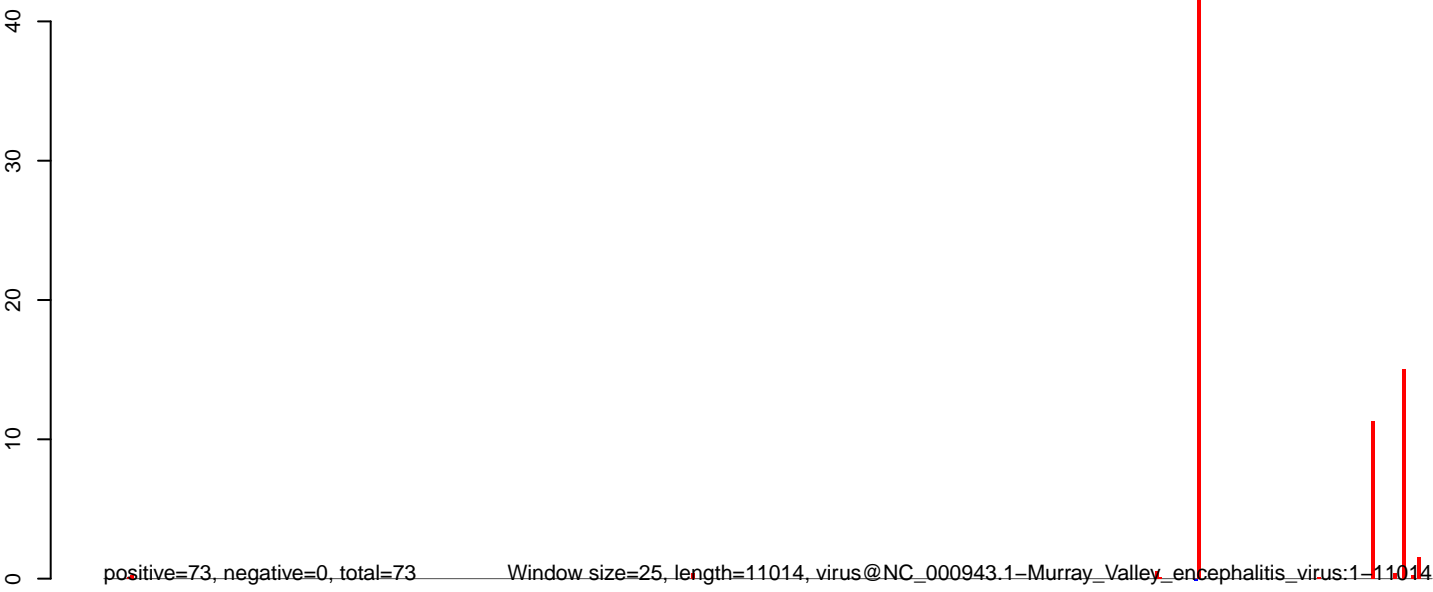
CuQuin_SG_14dpi3.18_23.rep



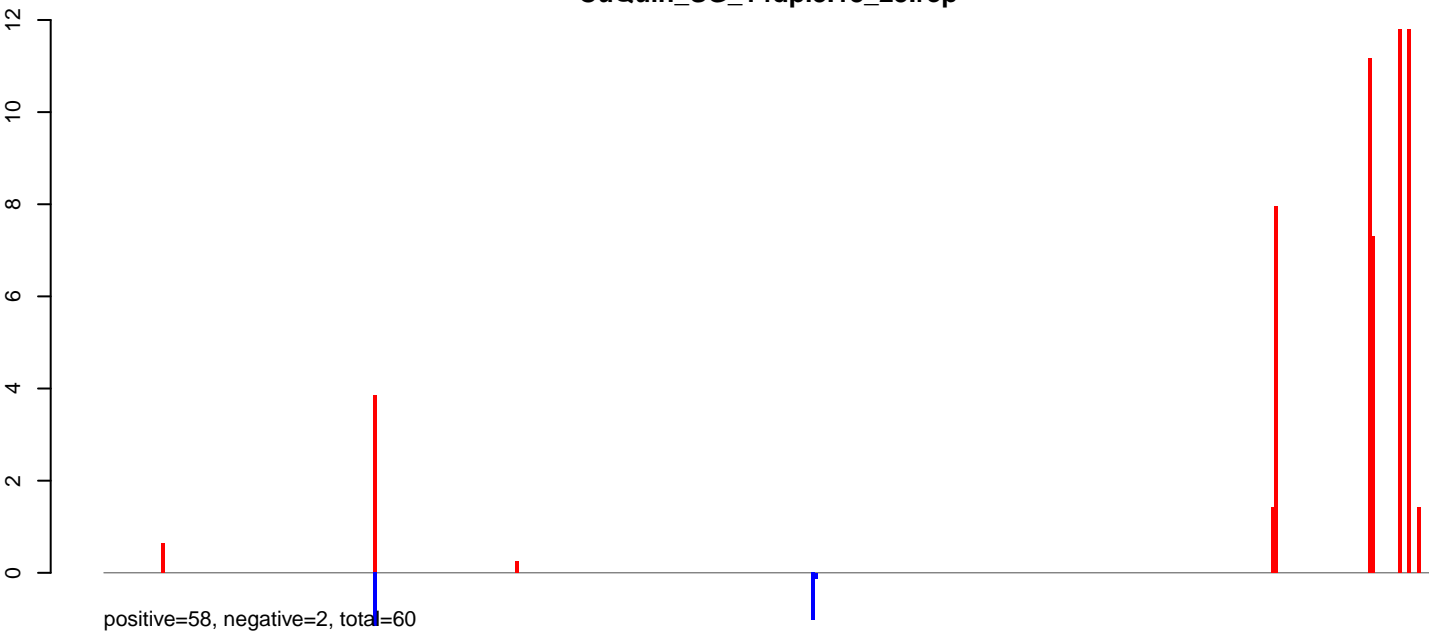
CuQuin_SG_14dpi3.24_35.rep



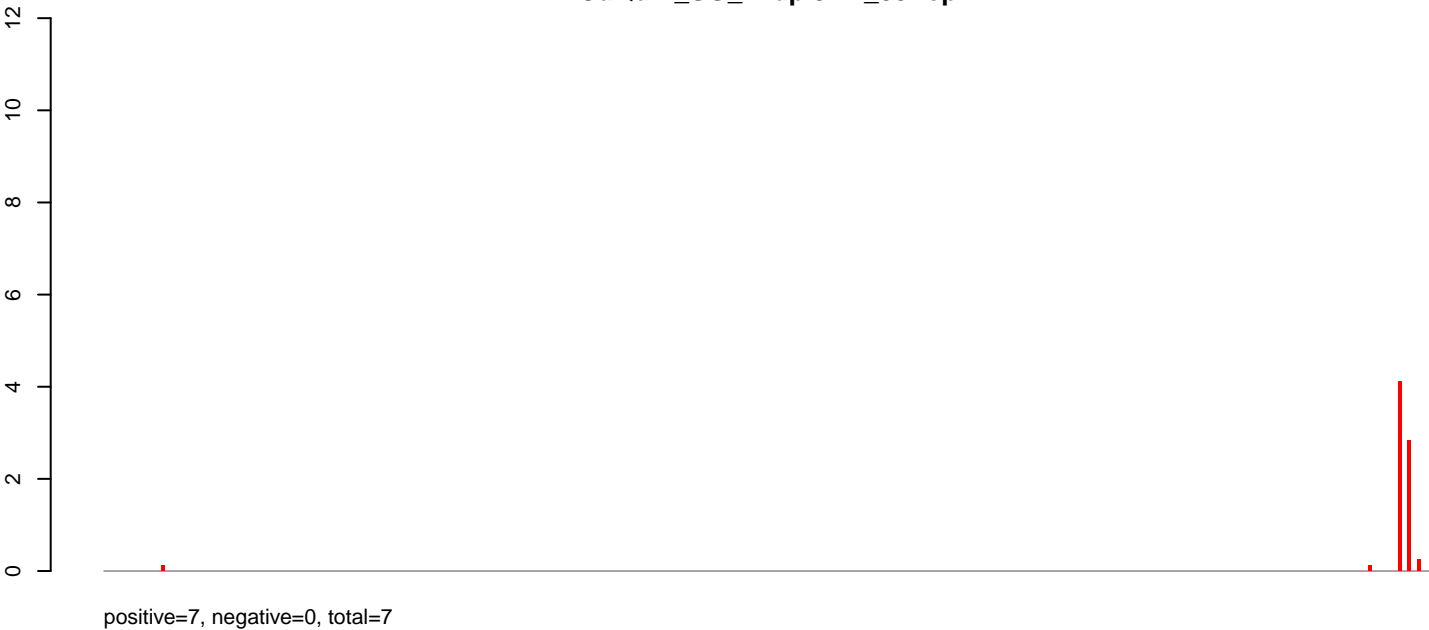
CuQuin_SG_14dpi3.rep



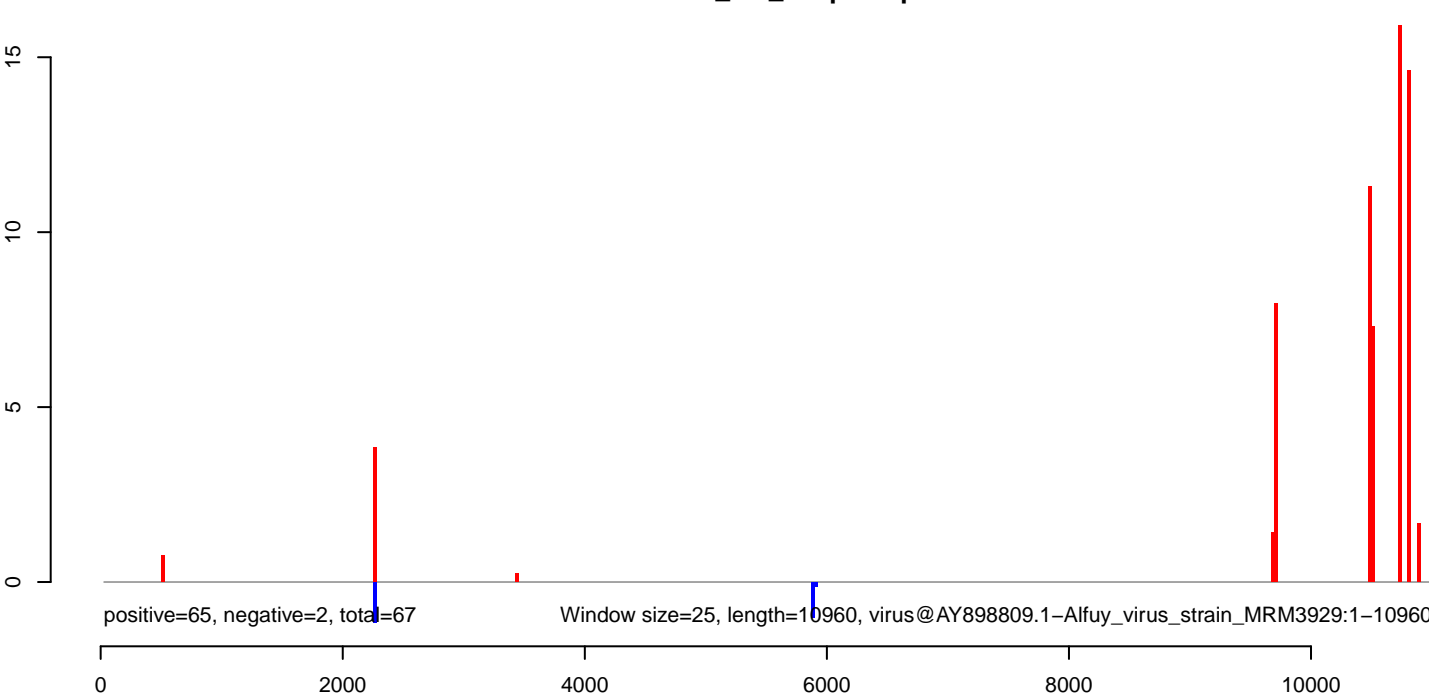
CuQuin_SG_14dpi3.18_23.rep



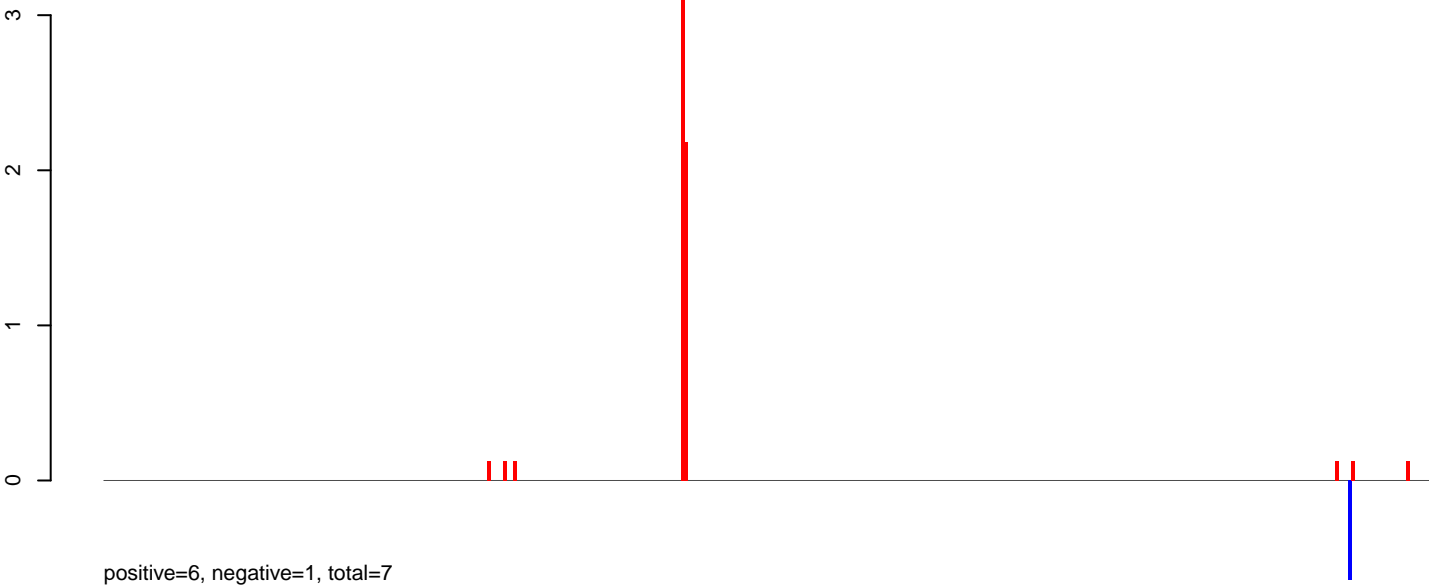
CuQuin_SG_14dpi3.24_35.rep



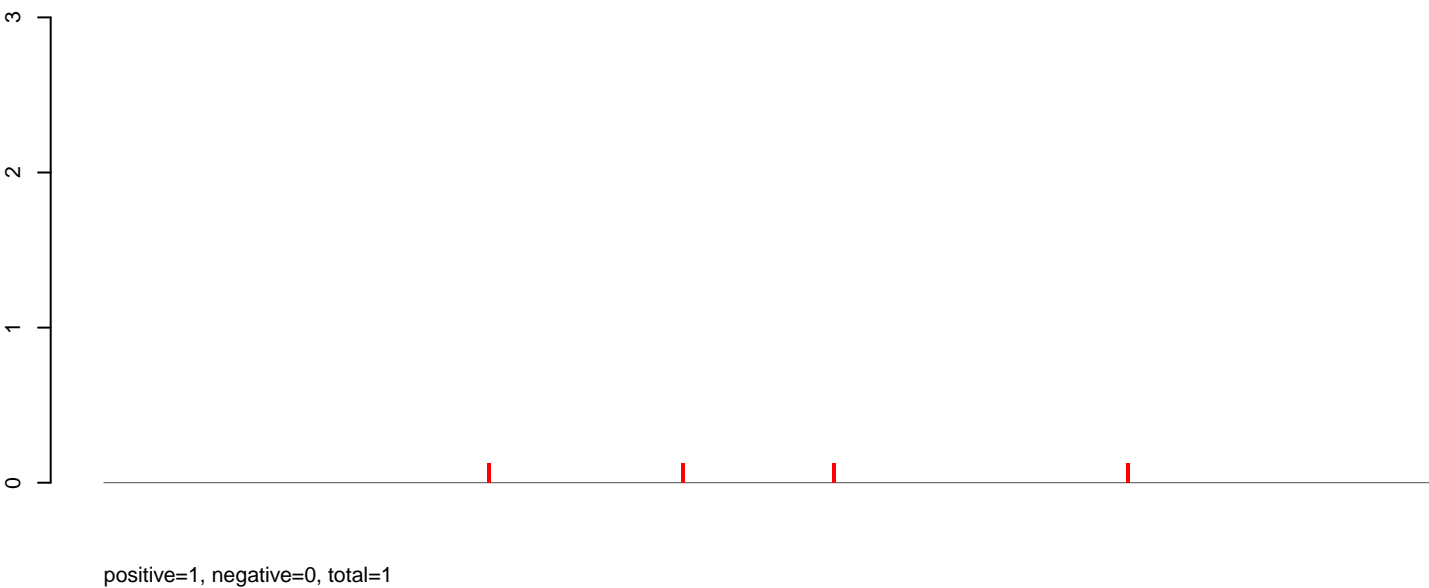
CuQuin_SG_14dpi3.rep



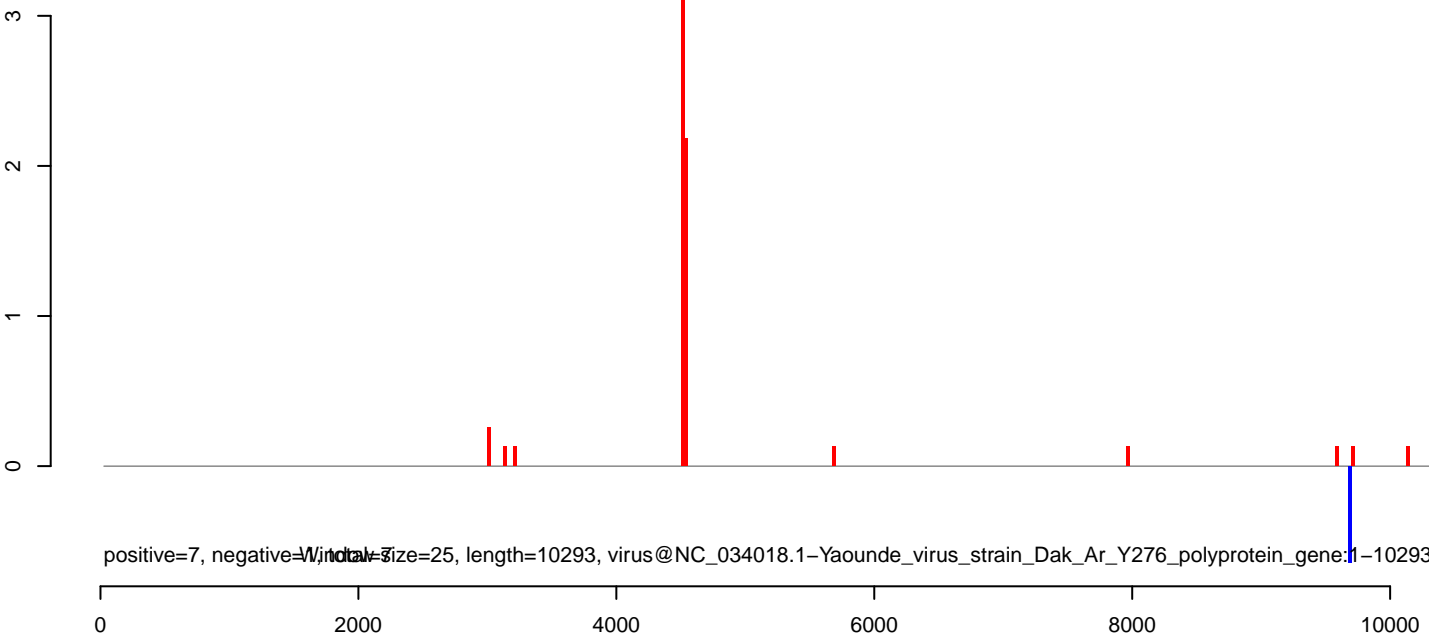
CuQuin_SG_14dpi3.18_23.rep



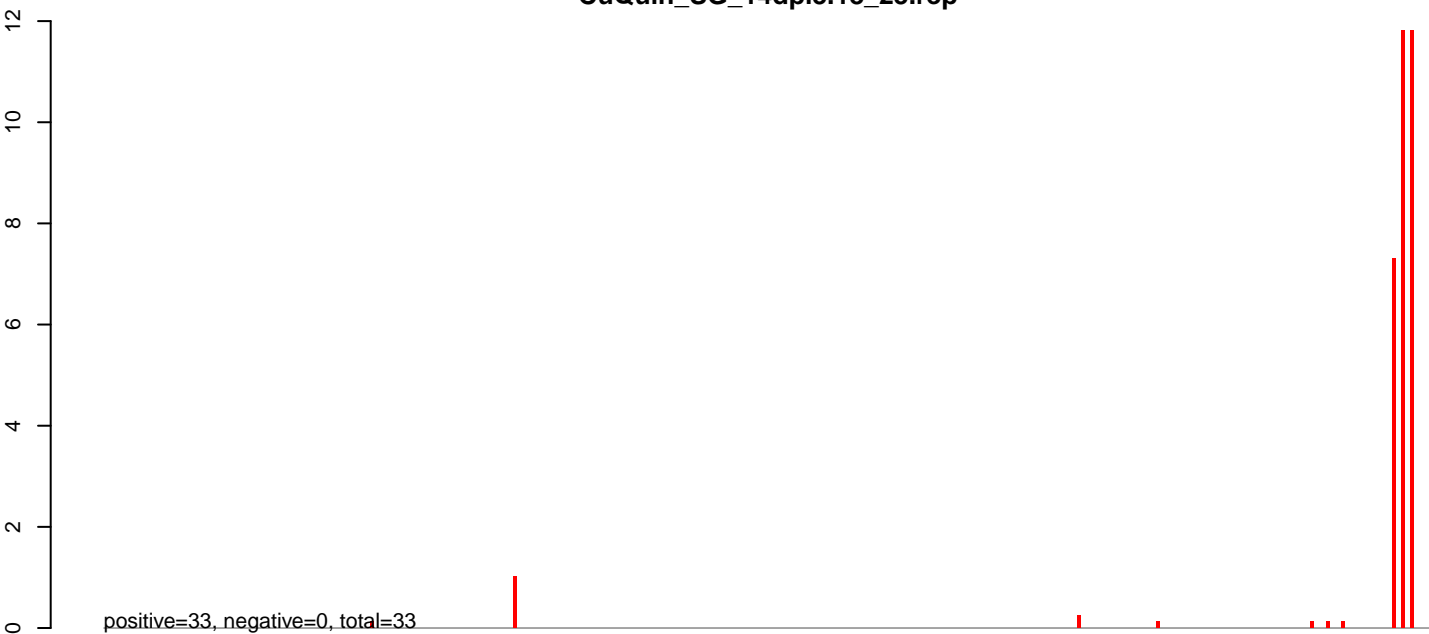
CuQuin_SG_14dpi3.24_35.rep



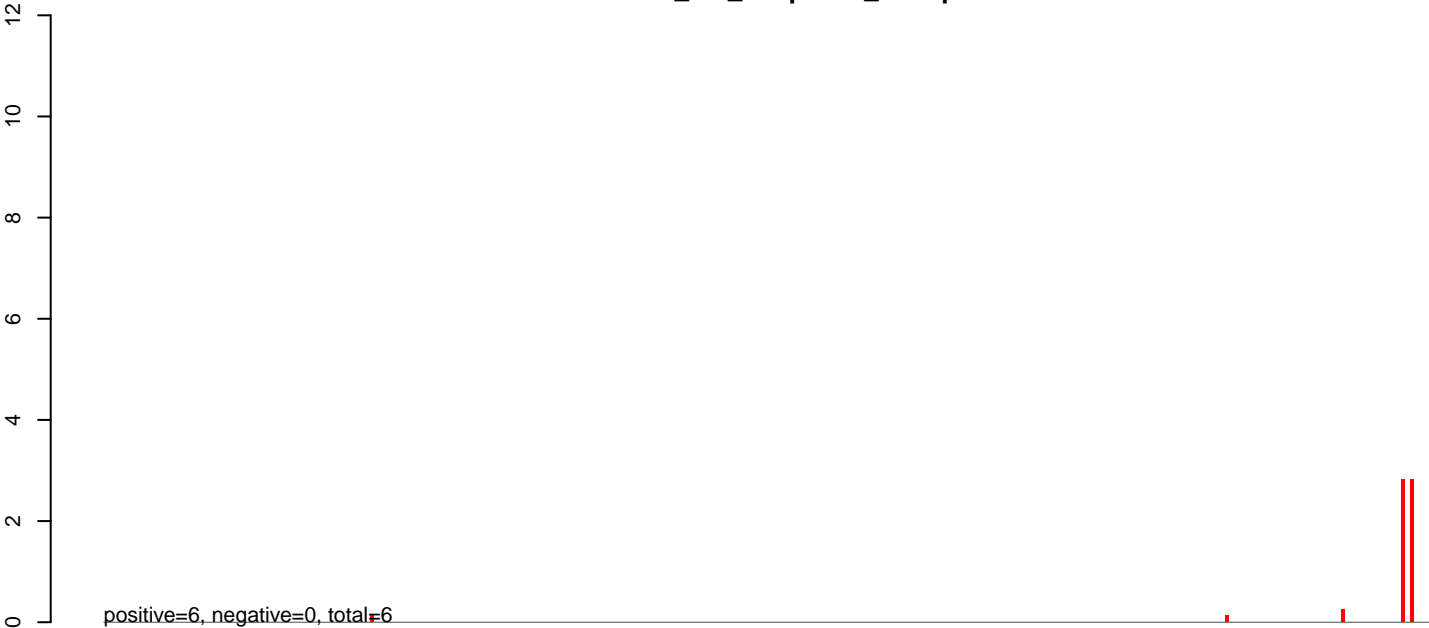
CuQuin_SG_14dpi3.rep



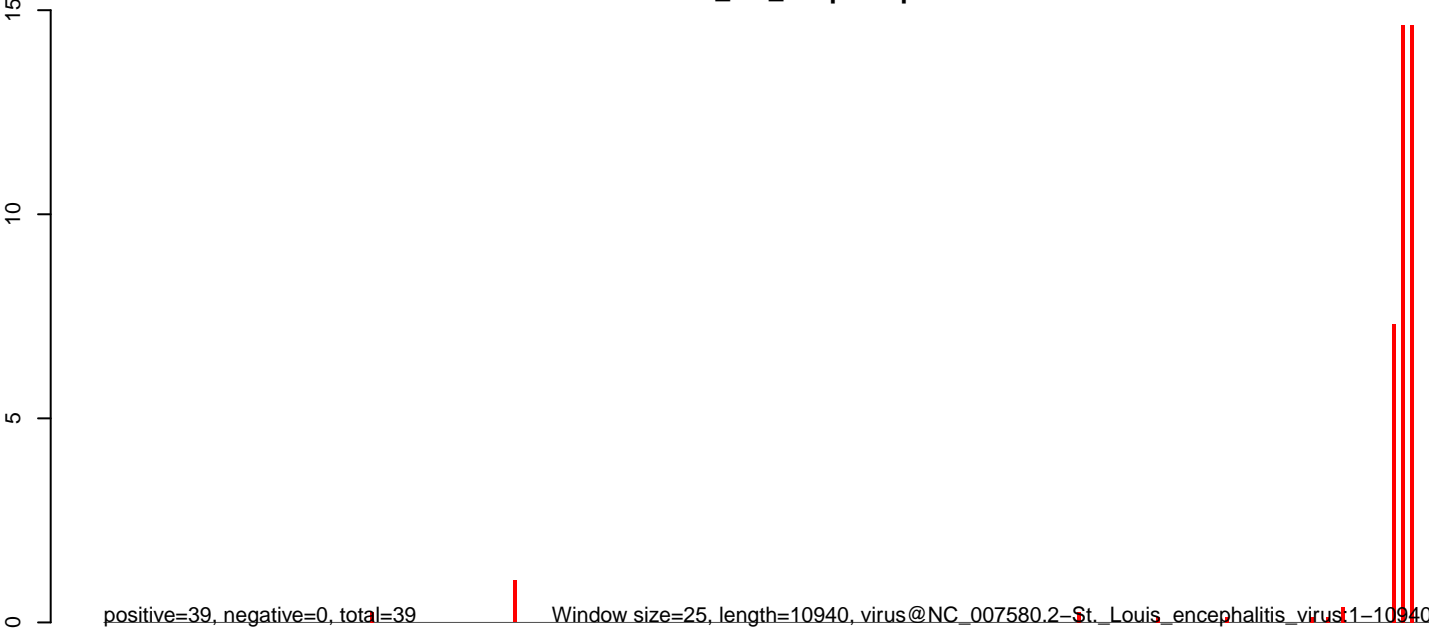
CuQuin_SG_14dpi3.18_23.rep



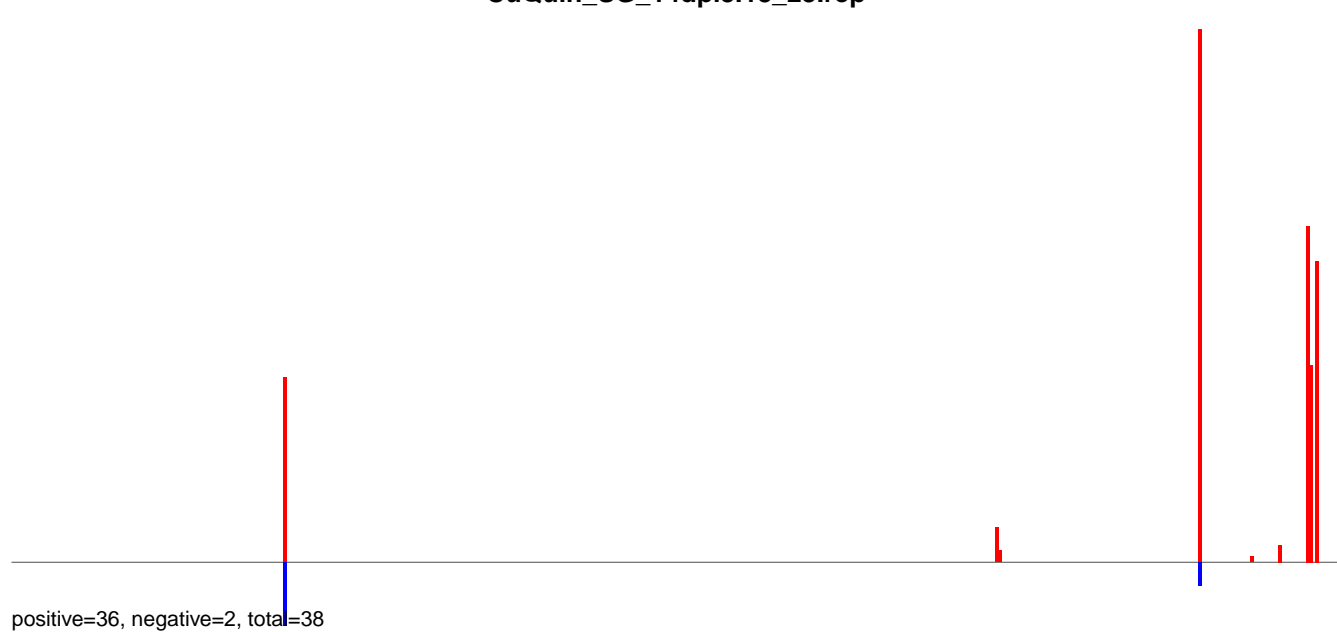
CuQuin_SG_14dpi3.24_35.rep



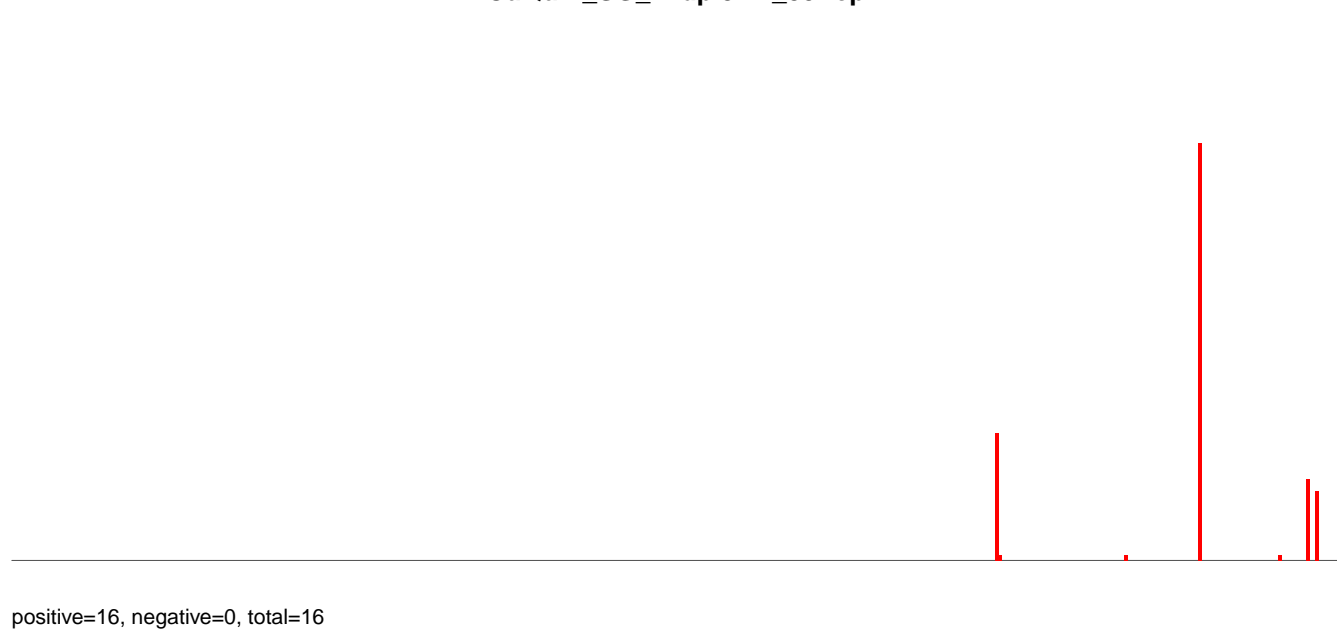
CuQuin_SG_14dpi3.rep



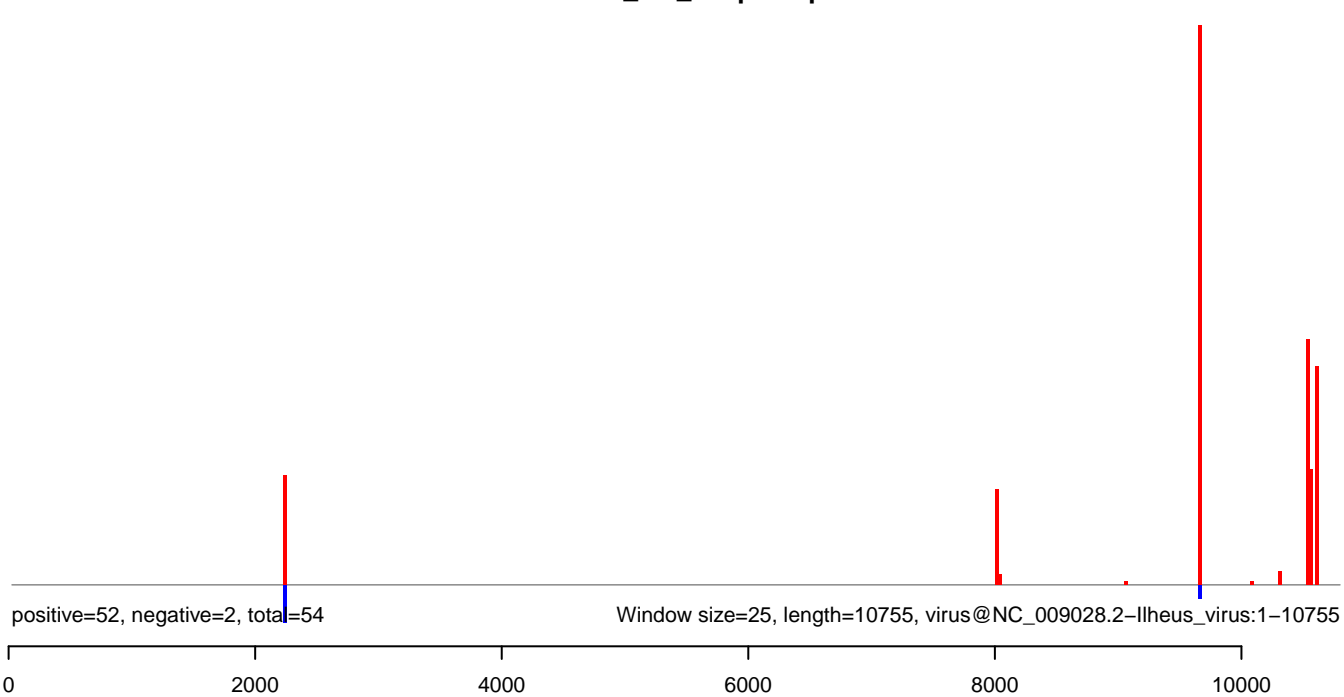
CuQuin_SG_14dpi3.18_23.rep



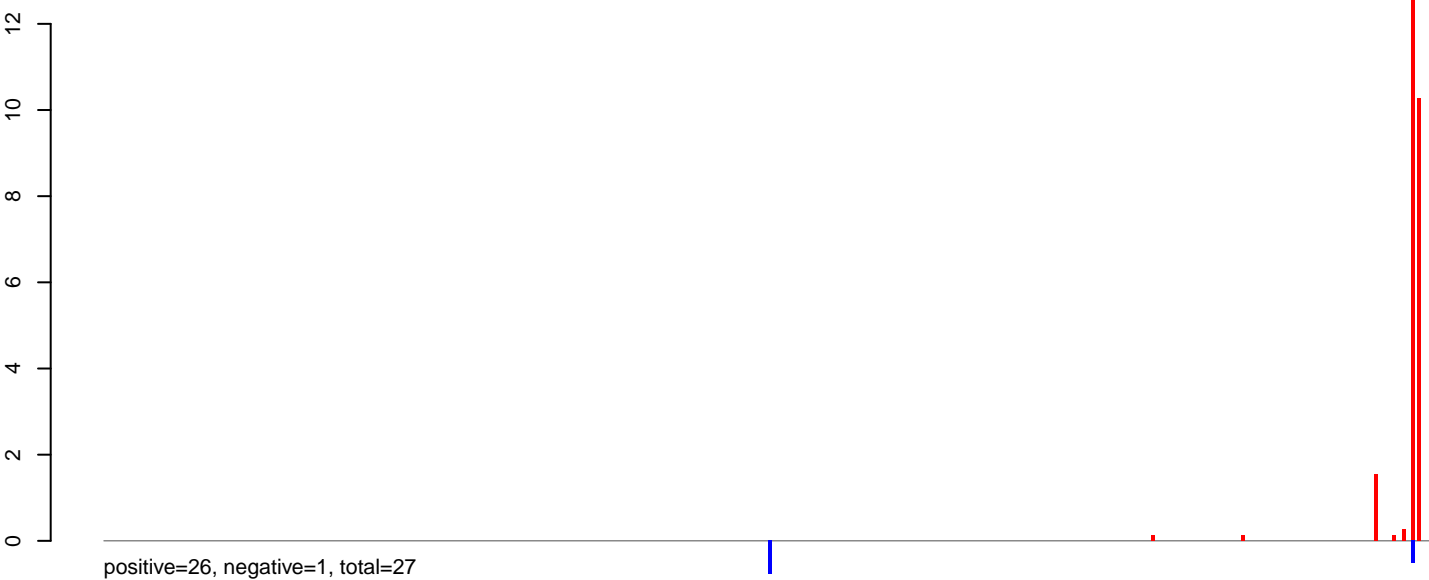
CuQuin_SG_14dpi3.24_35.rep



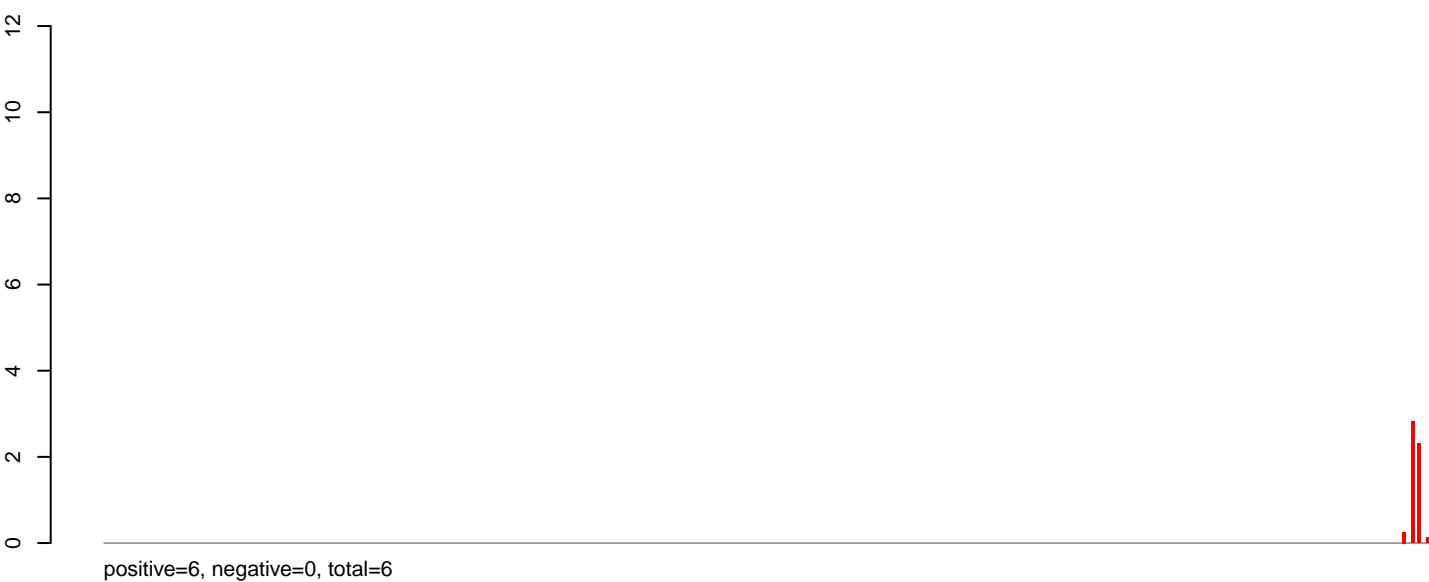
CuQuin_SG_14dpi3.rep



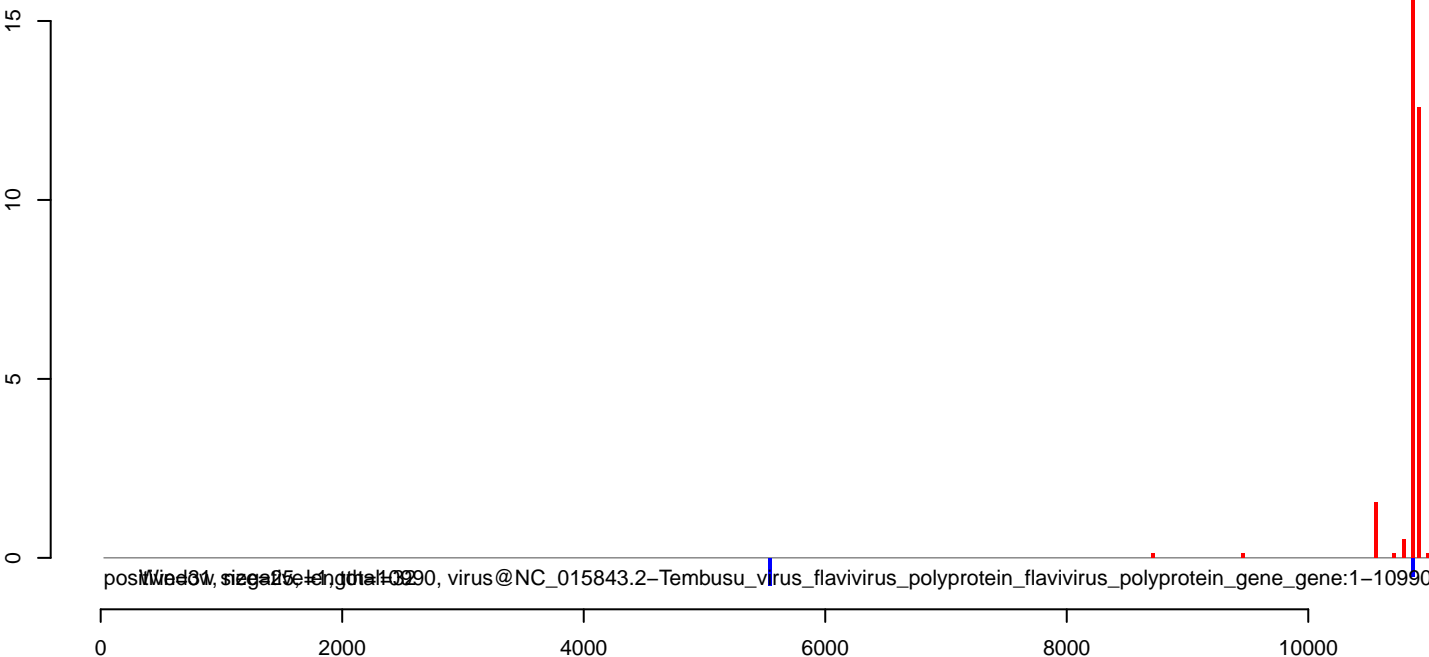
CuQuin_SG_14dpi3.18_23.rep



CuQuin_SG_14dpi3.24_35.rep

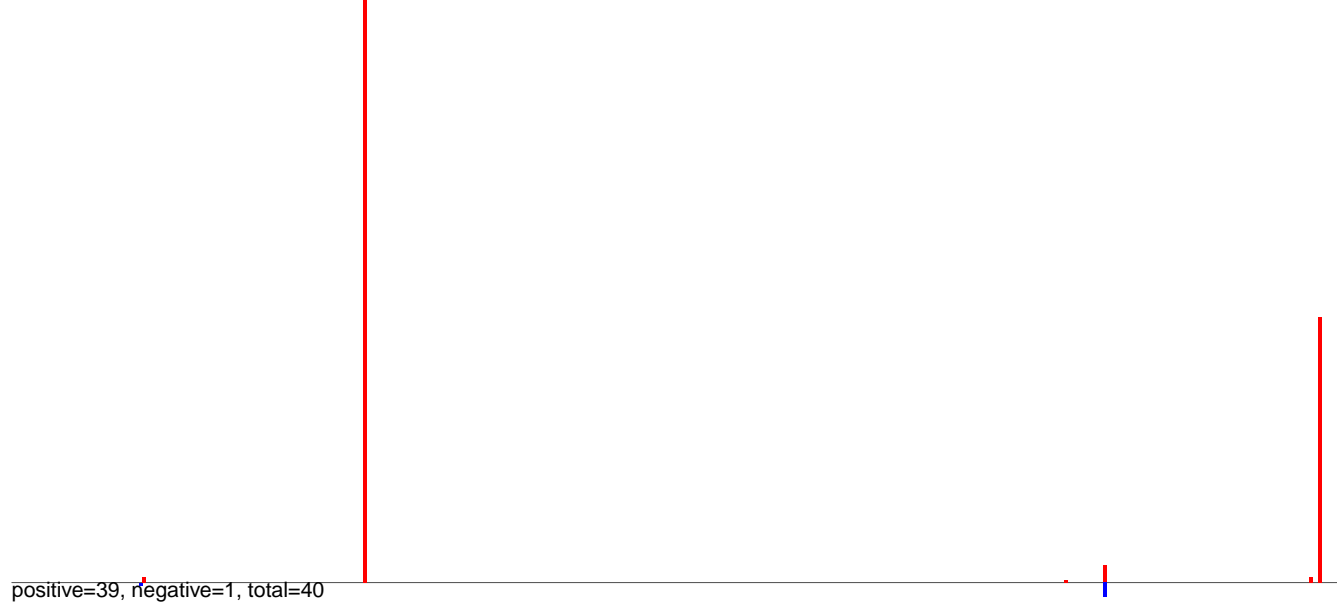


CuQuin_SG_14dpi3.rep

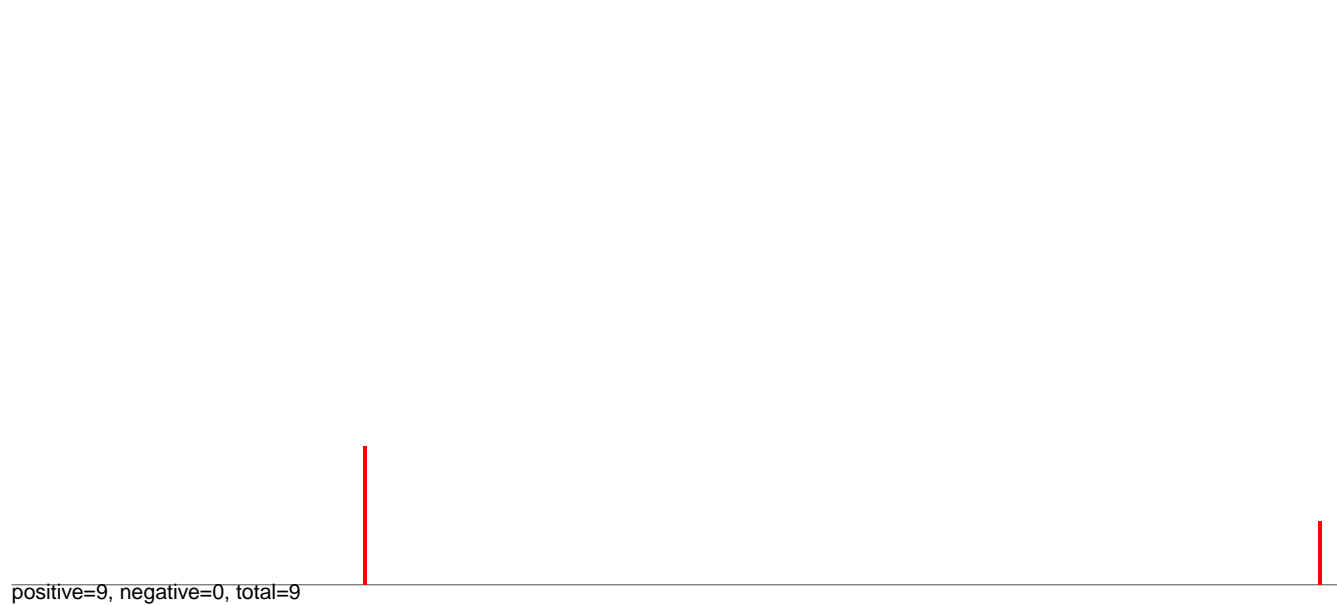


NC_015843.2-Tembusu_virus_flavivirus_polyprotein_gene:1-10990

CuQuin_SG_14dpi3.18_23.rep



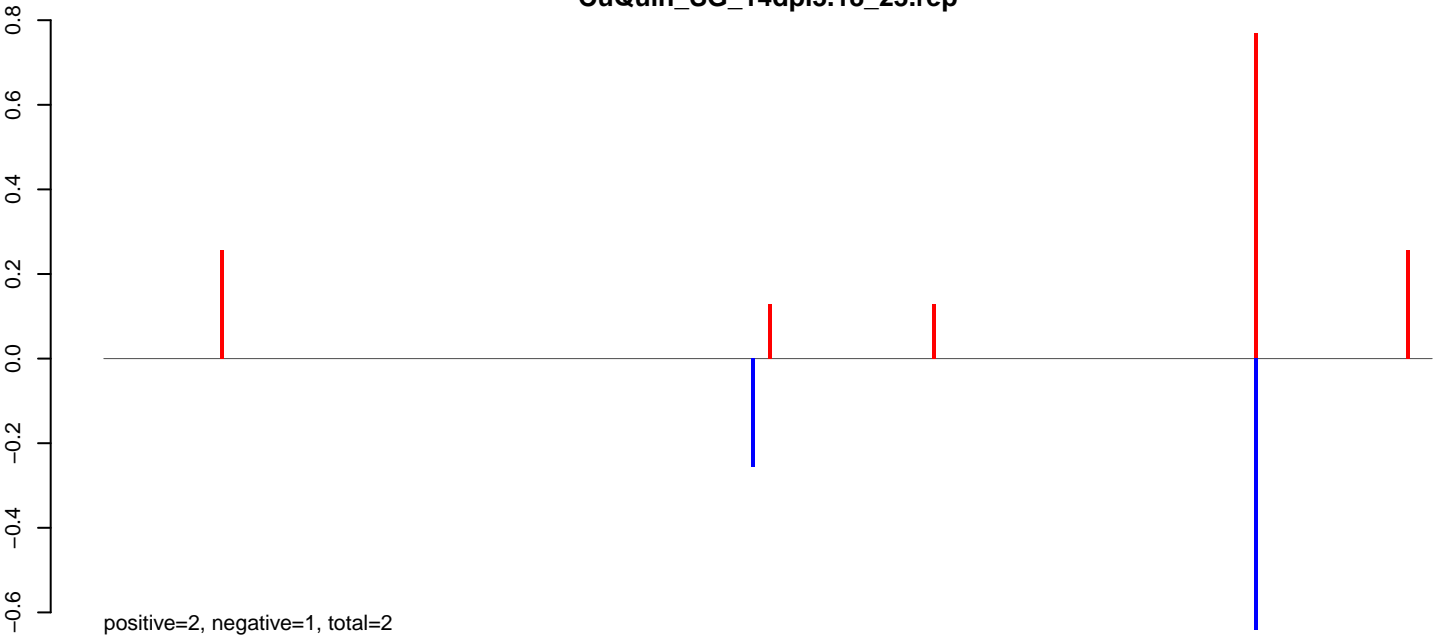
CuQuin_SG_14dpi3.24_35.rep



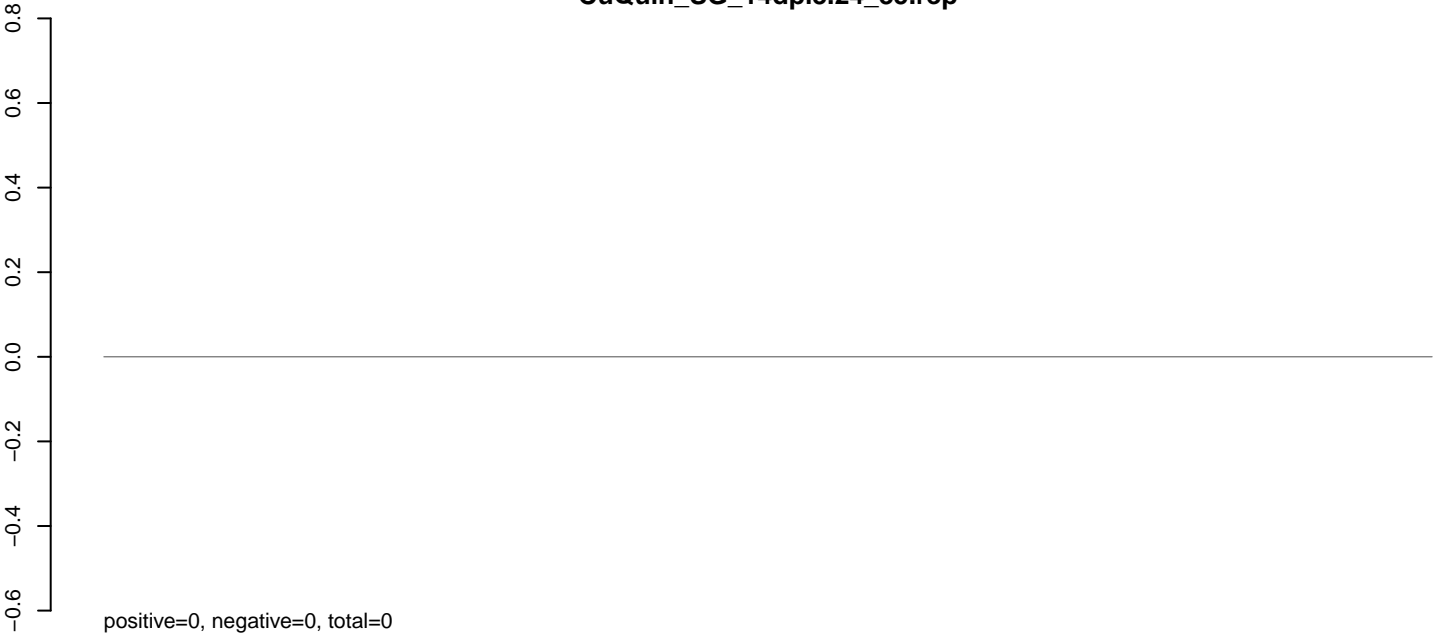
CuQuin_SG_14dpi3.rep



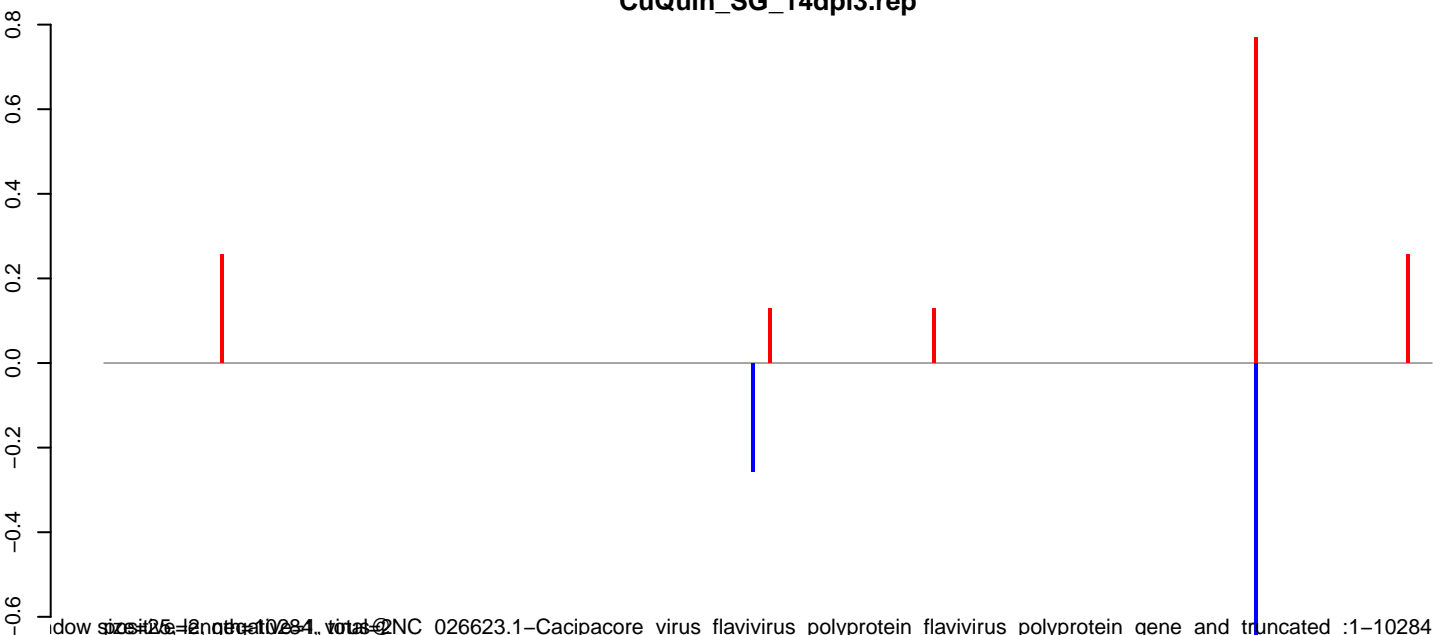
CuQuin_SG_14dpi3.18_23.rep



CuQuin_SG_14dpi3.24_35.rep



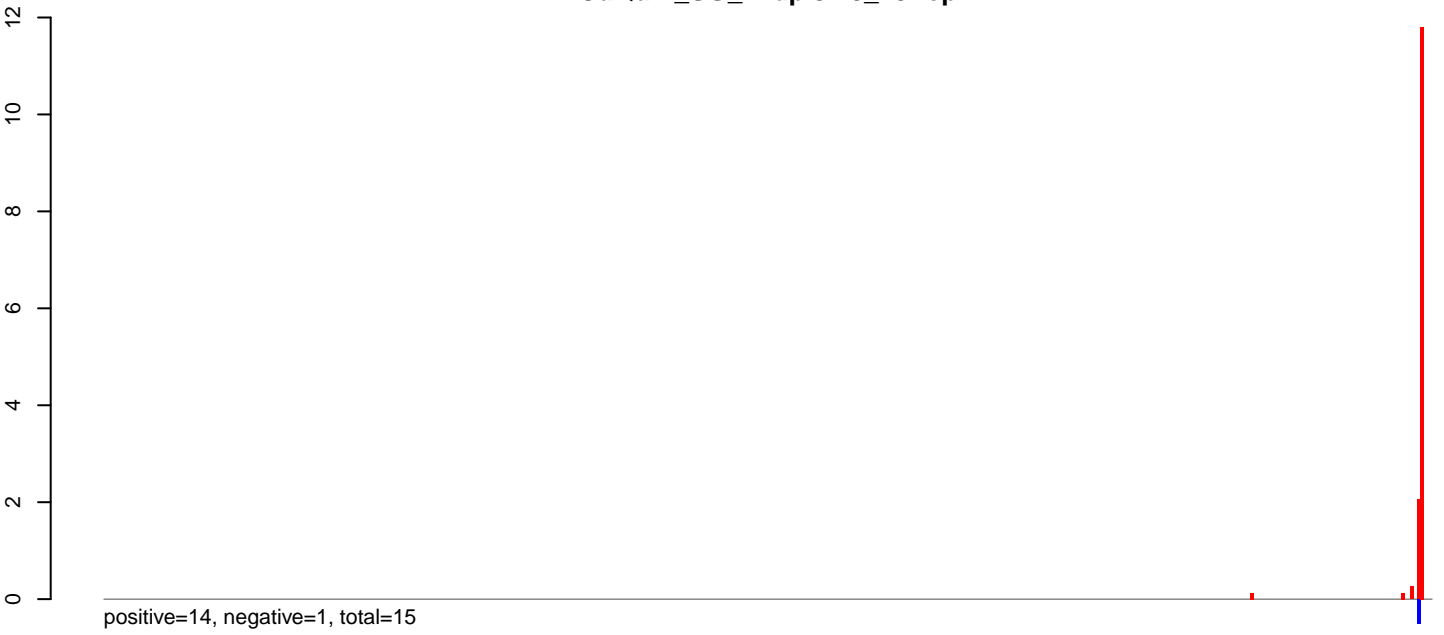
CuQuin_SG_14dpi3.rep



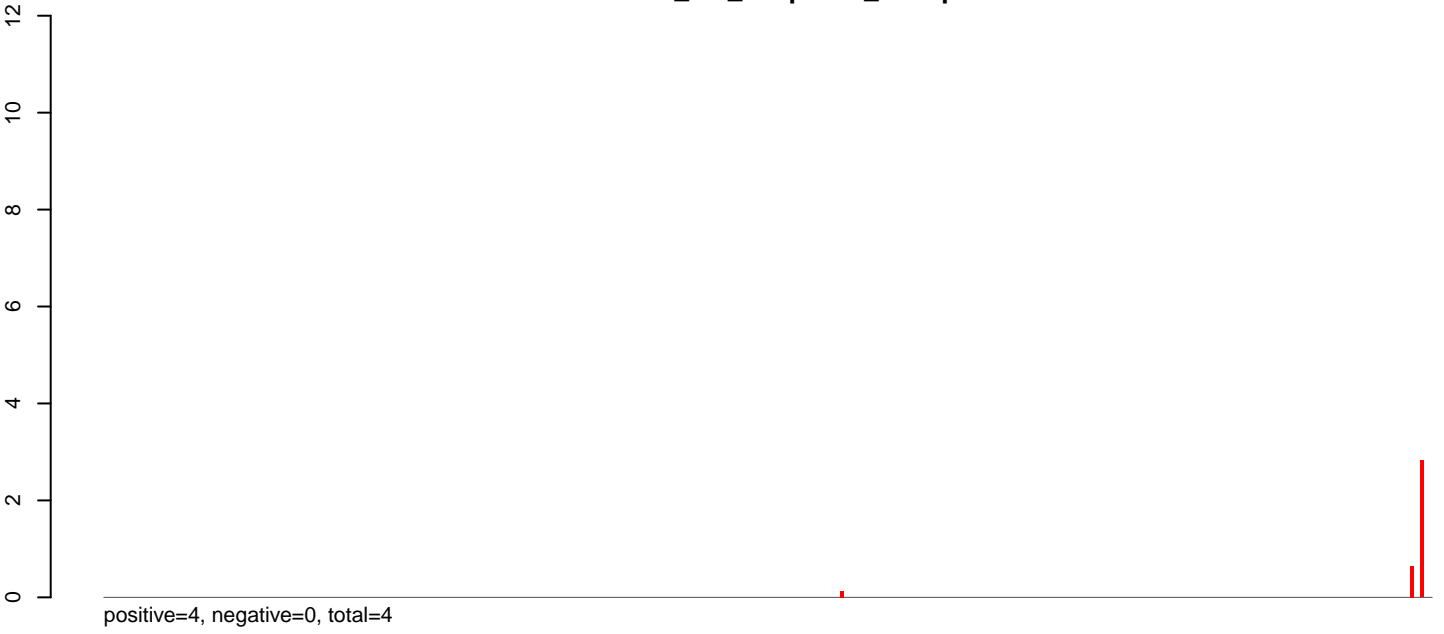
downloaded from https://www.ncbi.nlm.nih.gov/trace/blast/blast.cgi?db=NC_026623.1–Cacipacore_virus_flavivirus_polyprotein_flavivirus_polyprotein_gene_and_truncated_:1-10284

0 2000 4000 6000 8000 10000

CuQuin_SG_14dpi3.18_23.rep



CuQuin_SG_14dpi3.24_35.rep

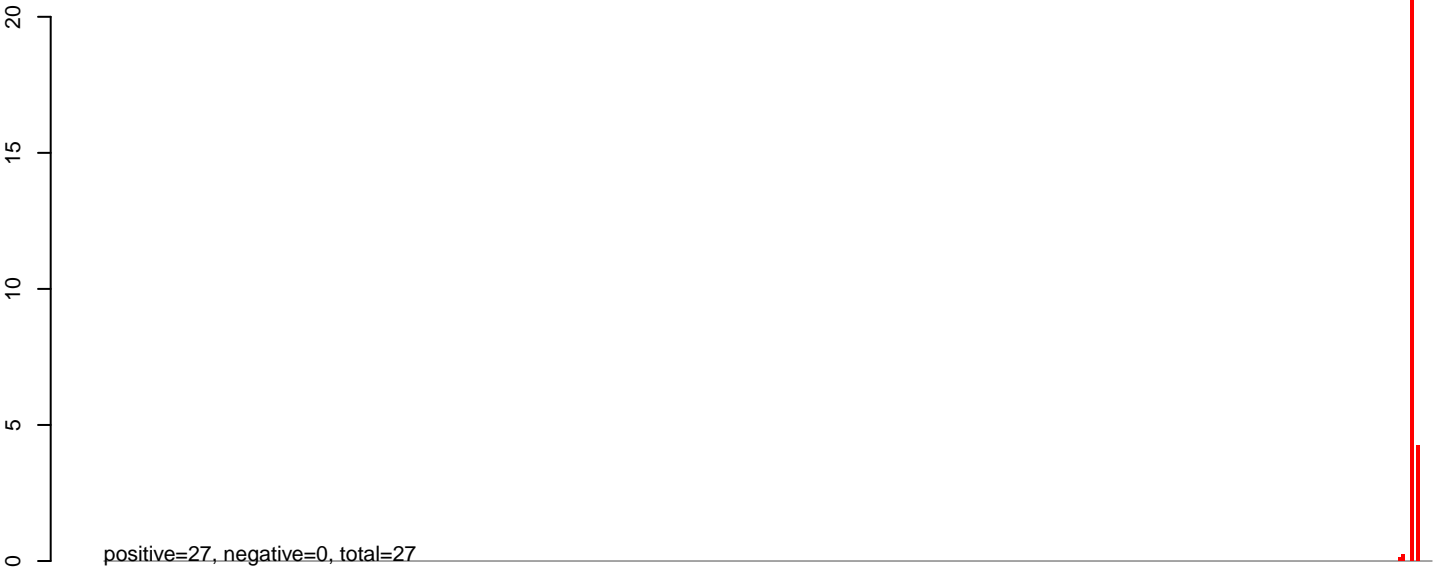


CuQuin_SG_14dpi3.rep

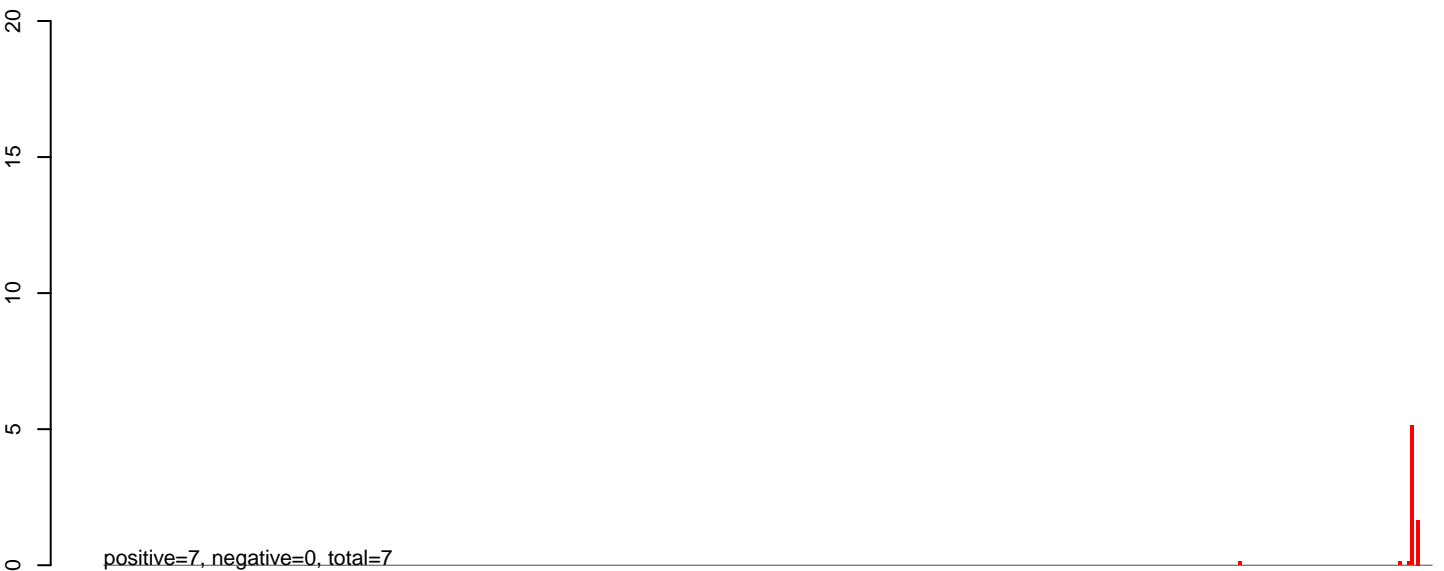


0 2000 4000 6000 8000 10000

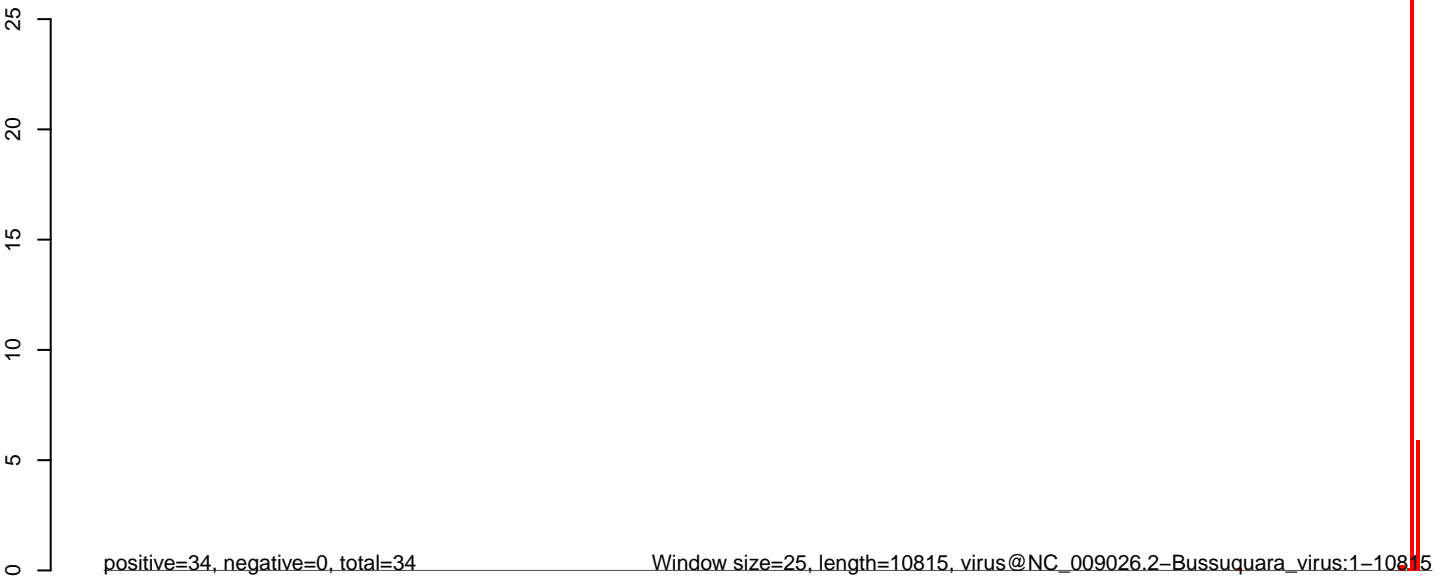
CuQuin_SG_14dpi3.18_23.rep



CuQuin_SG_14dpi3.24_35.rep



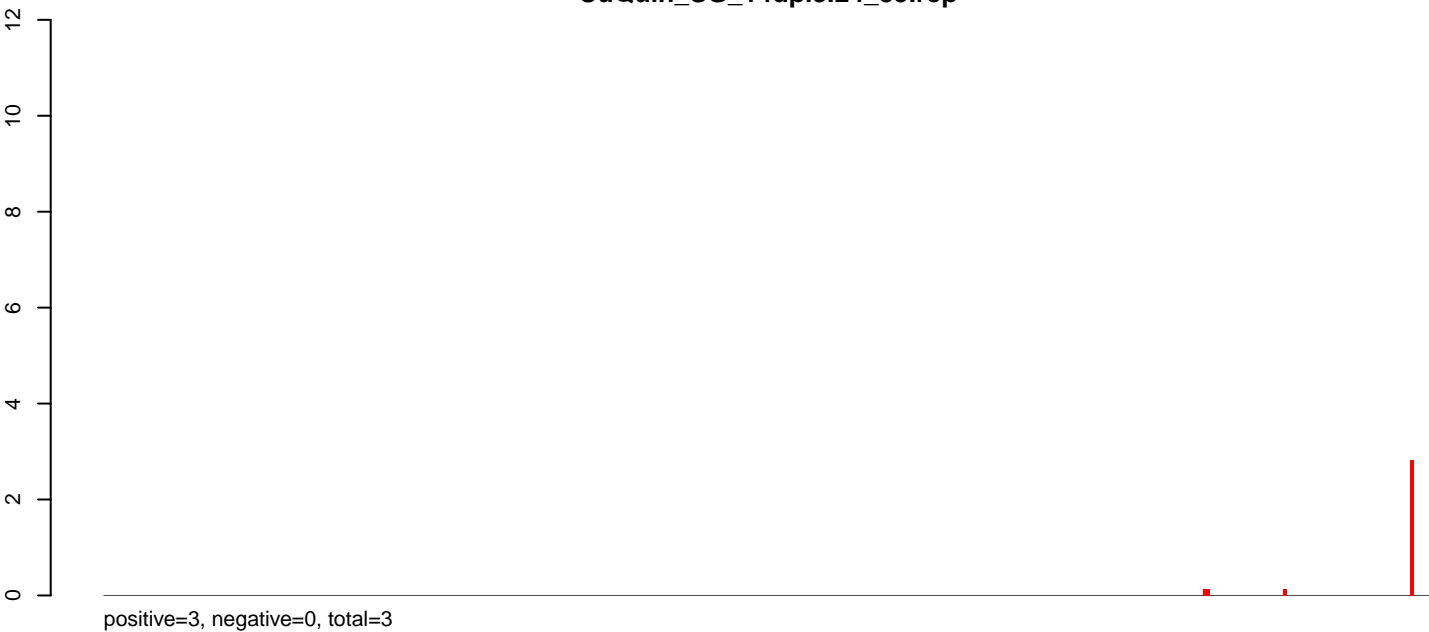
CuQuin_SG_14dpi3.rep



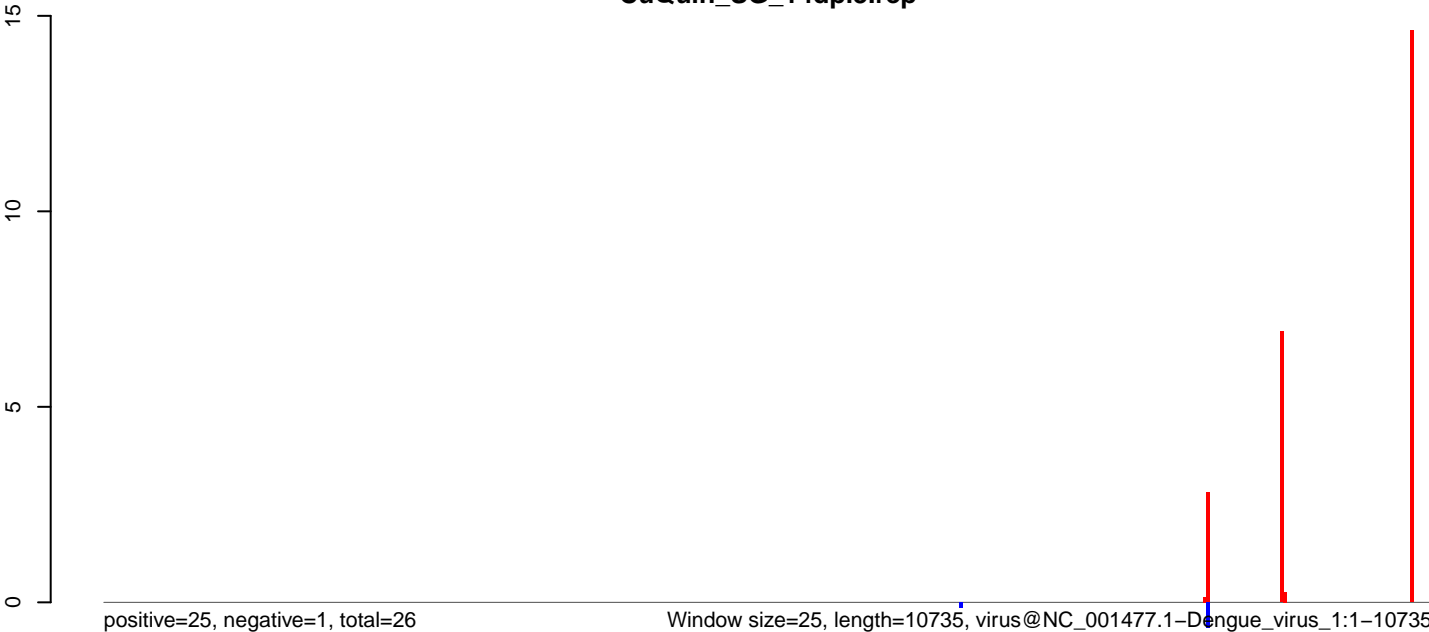
CuQuin_SG_14dpi3.18_23.rep



CuQuin_SG_14dpi3.24_35.rep

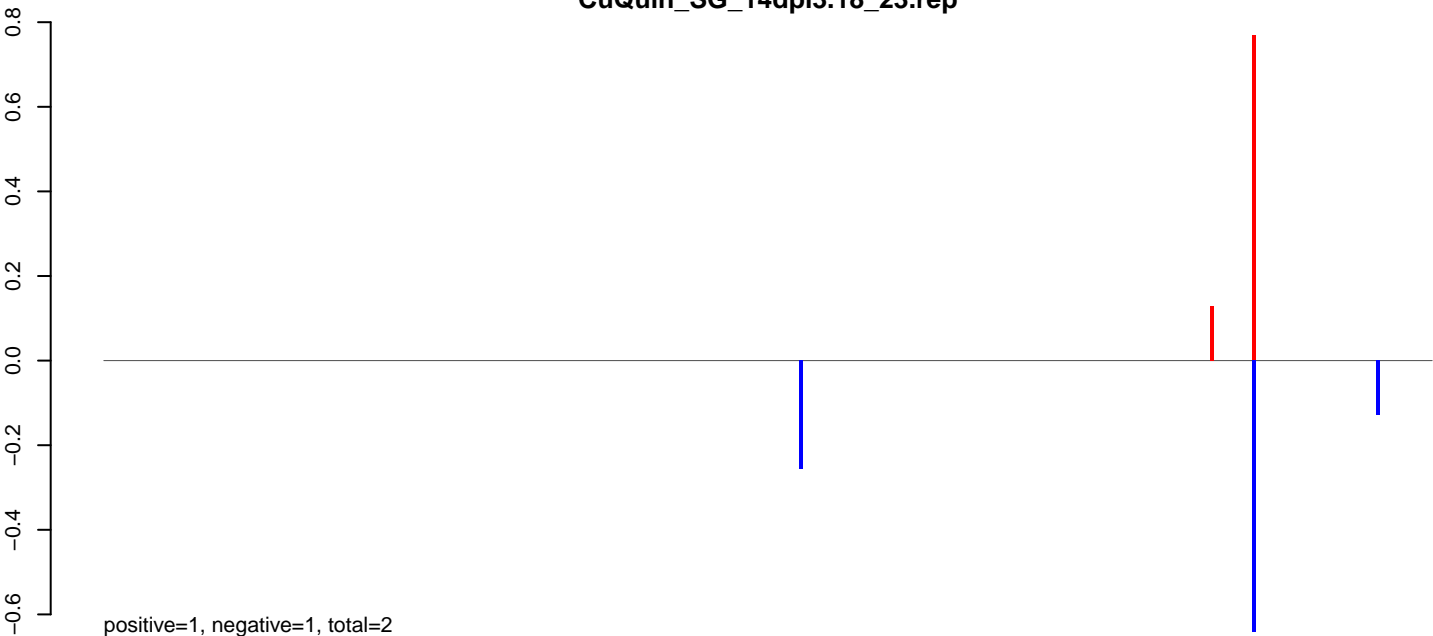


CuQuin_SG_14dpi3.rep

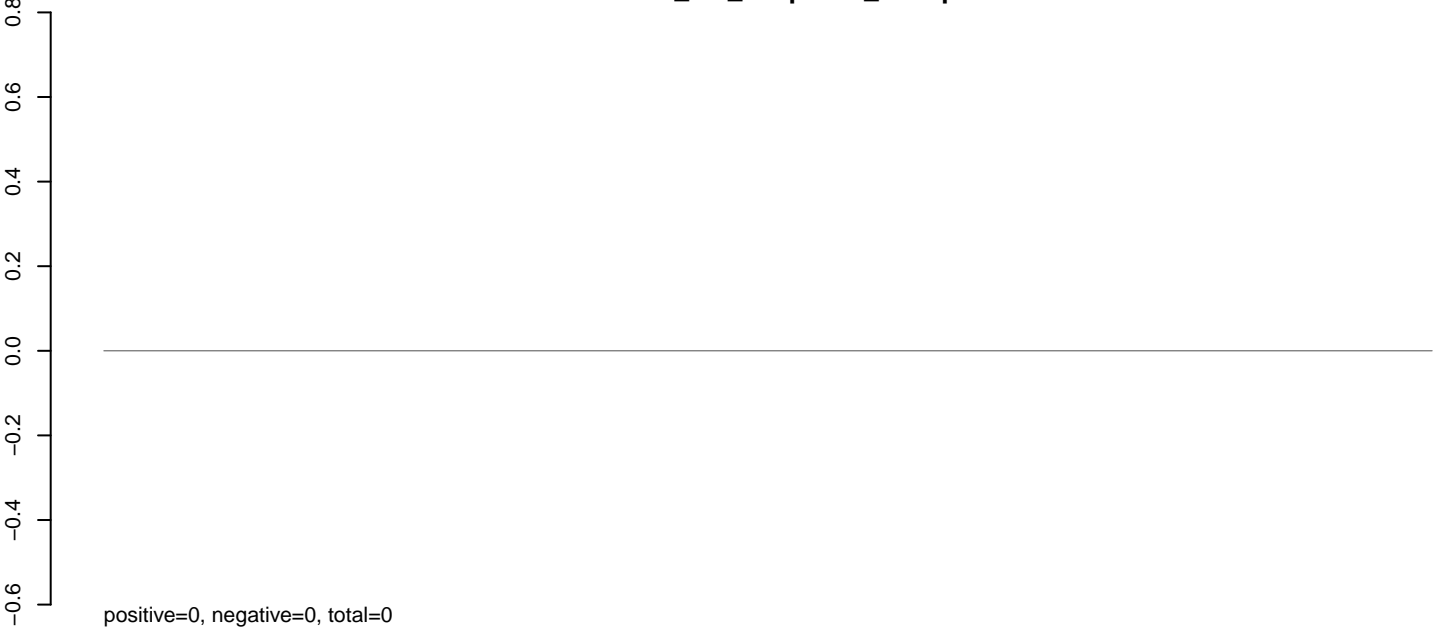


0 2000 4000 6000 8000 10000

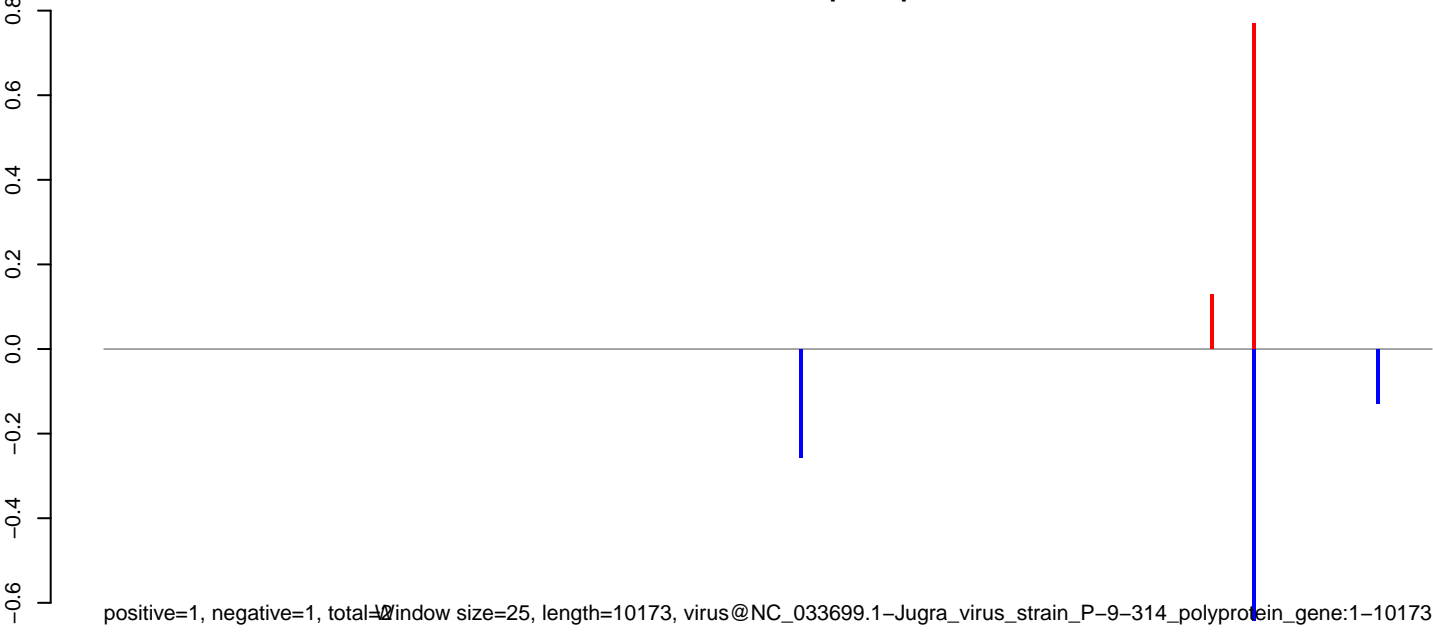
CuQuin_SG_14dpi3.18_23.rep



CuQuin_SG_14dpi3.24_35.rep



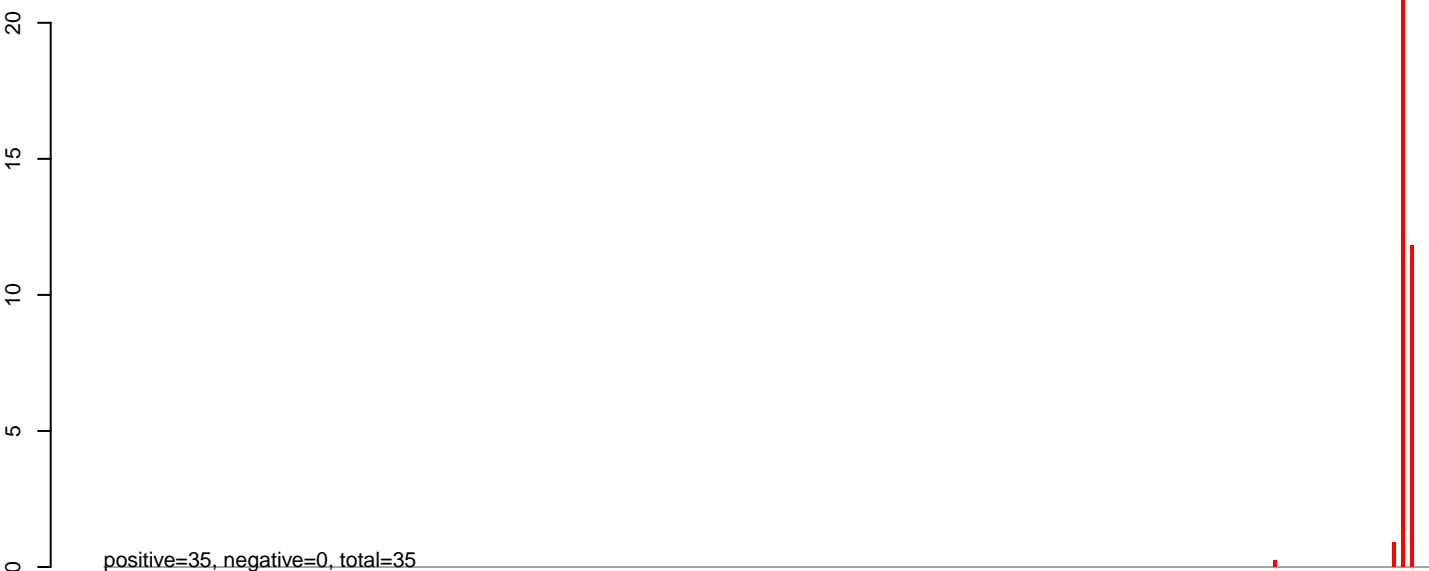
CuQuin_SG_14dpi3.rep



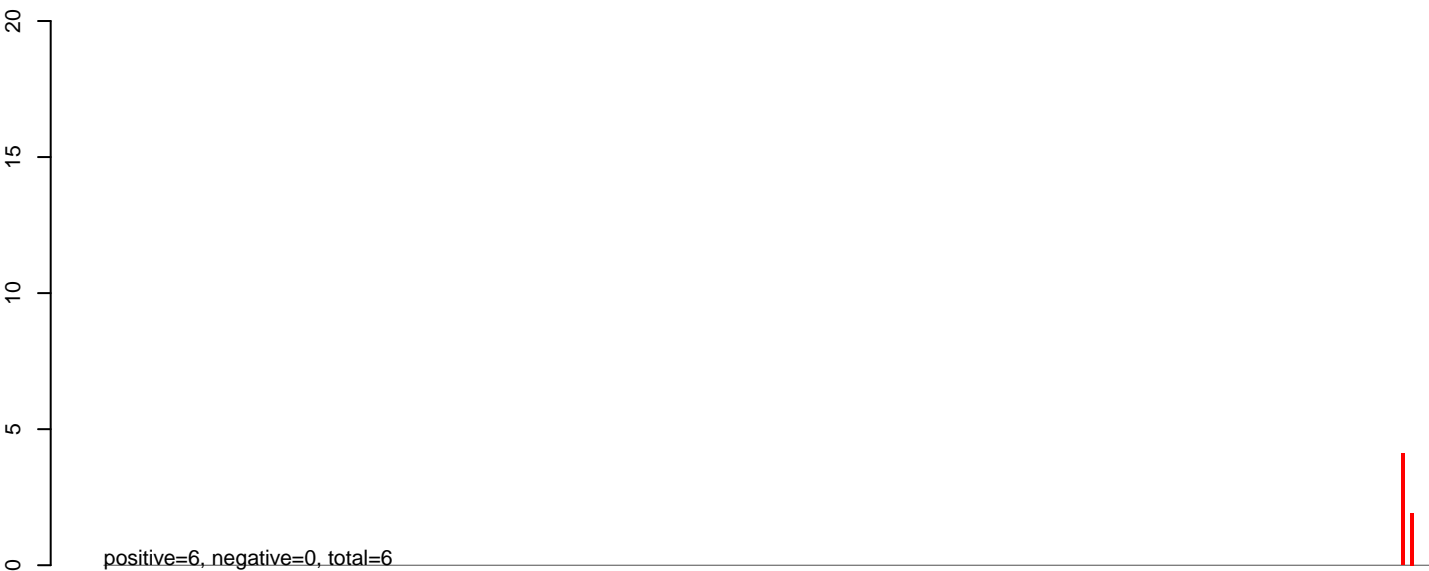
Window size=25, length=10173, virus@NC_033699.1-Jugra_virus_strain_P-9-314_polyprotein_gene:1-10173

0 2000 4000 6000 8000 10000

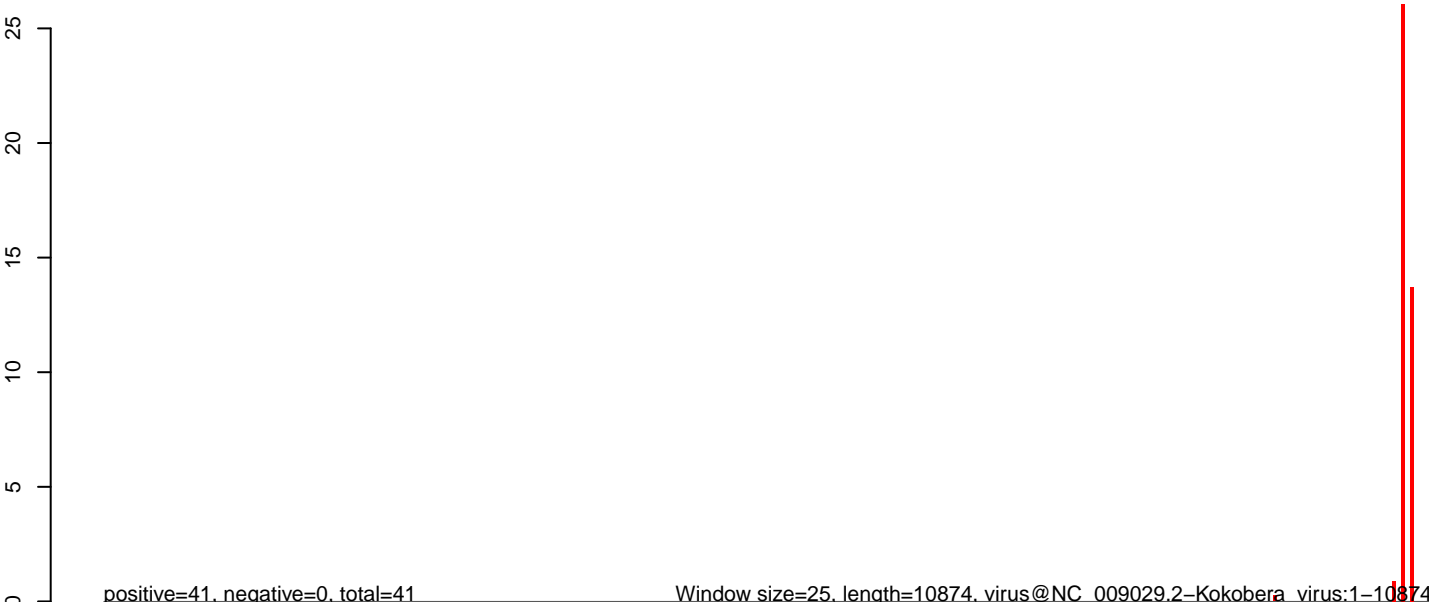
CuQuin_SG_14dpi3.18_23.rep



CuQuin_SG_14dpi3.24_35.rep

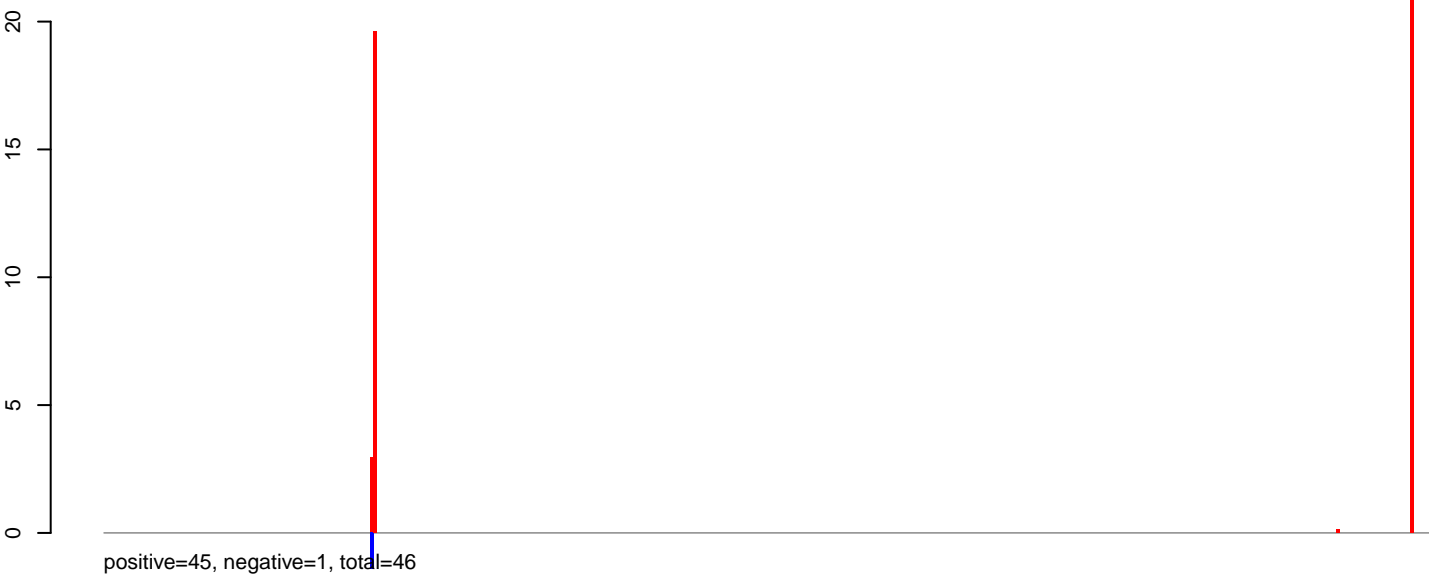


CuQuin_SG_14dpi3.rep

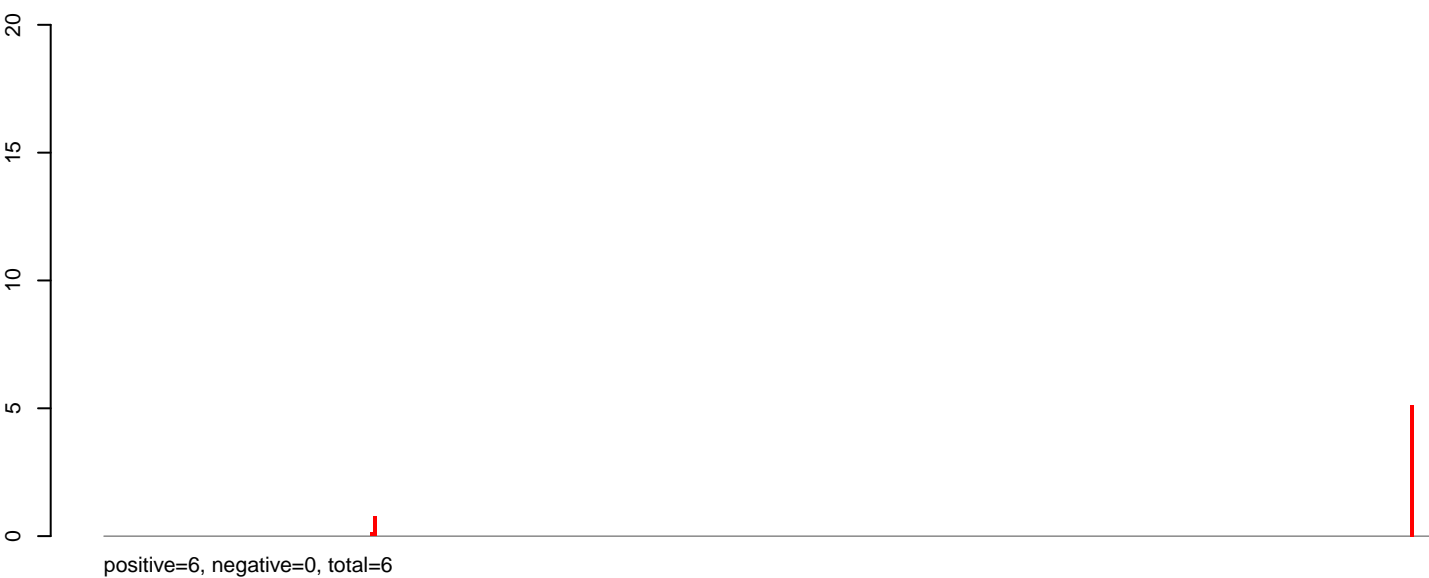


0 2000 4000 6000 8000 10000

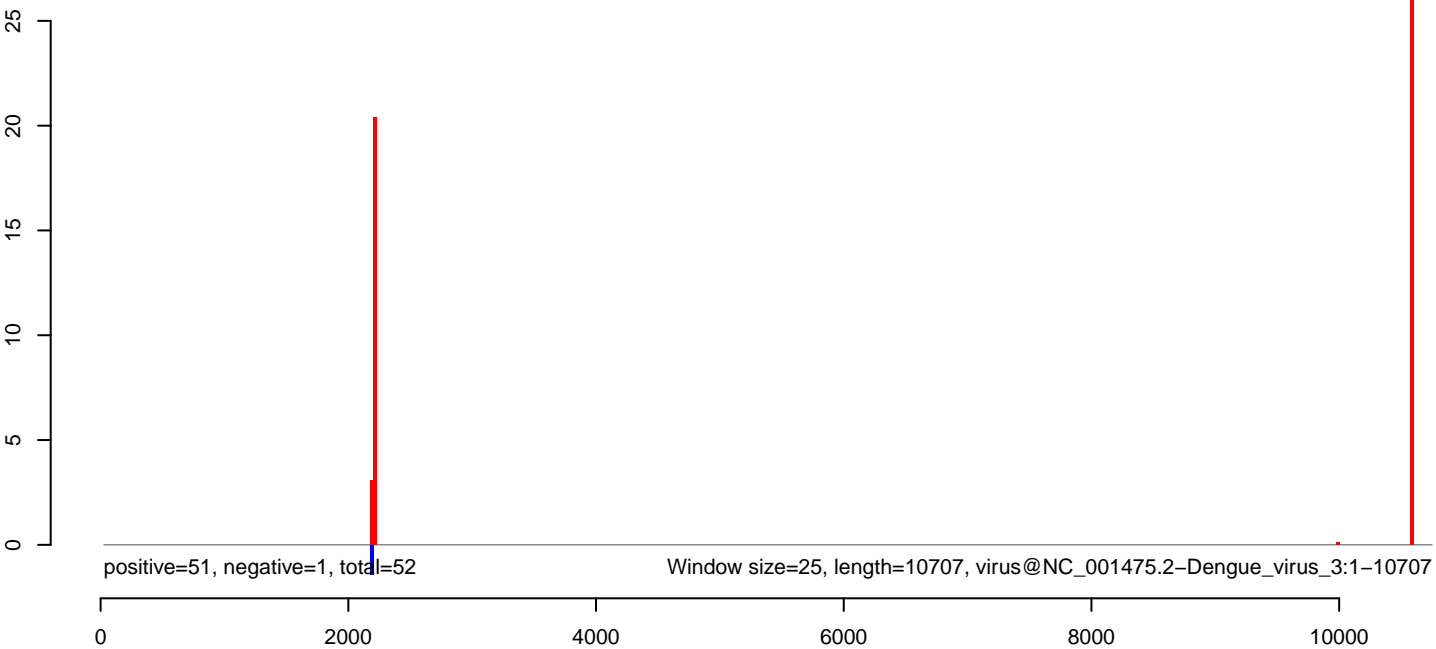
CuQuin_SG_14dpi3.18_23.rep



CuQuin_SG_14dpi3.24_35.rep



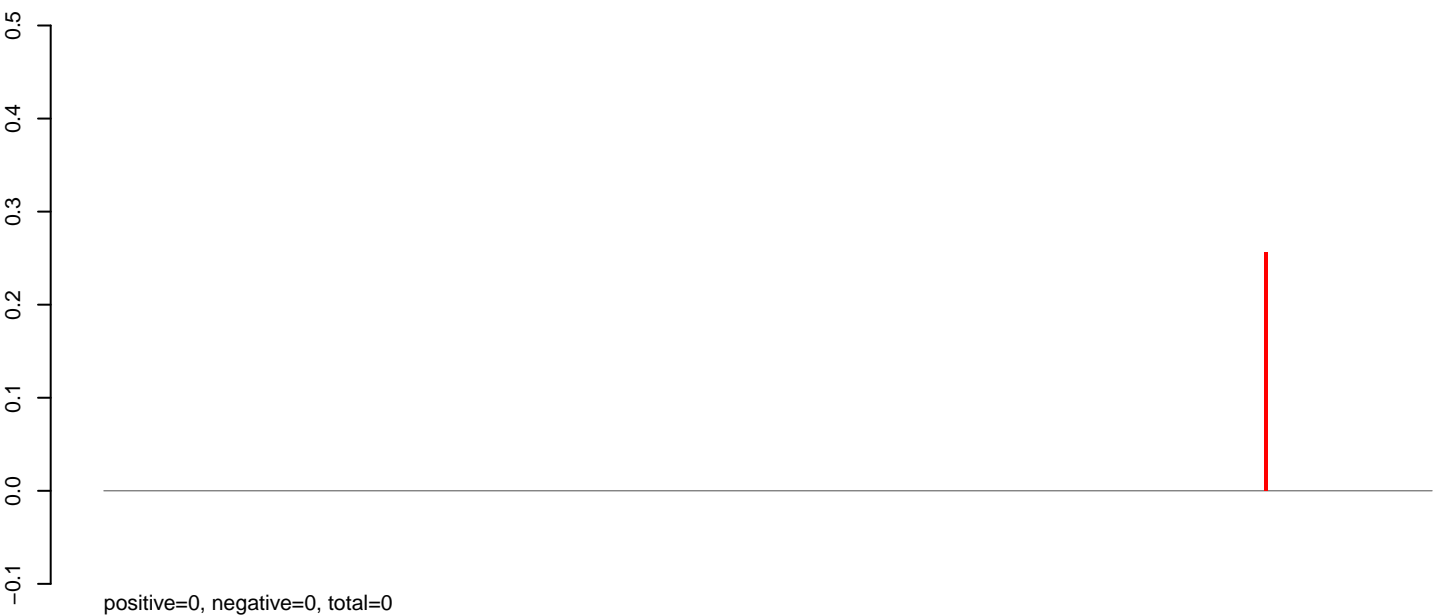
CuQuin_SG_14dpi3.rep



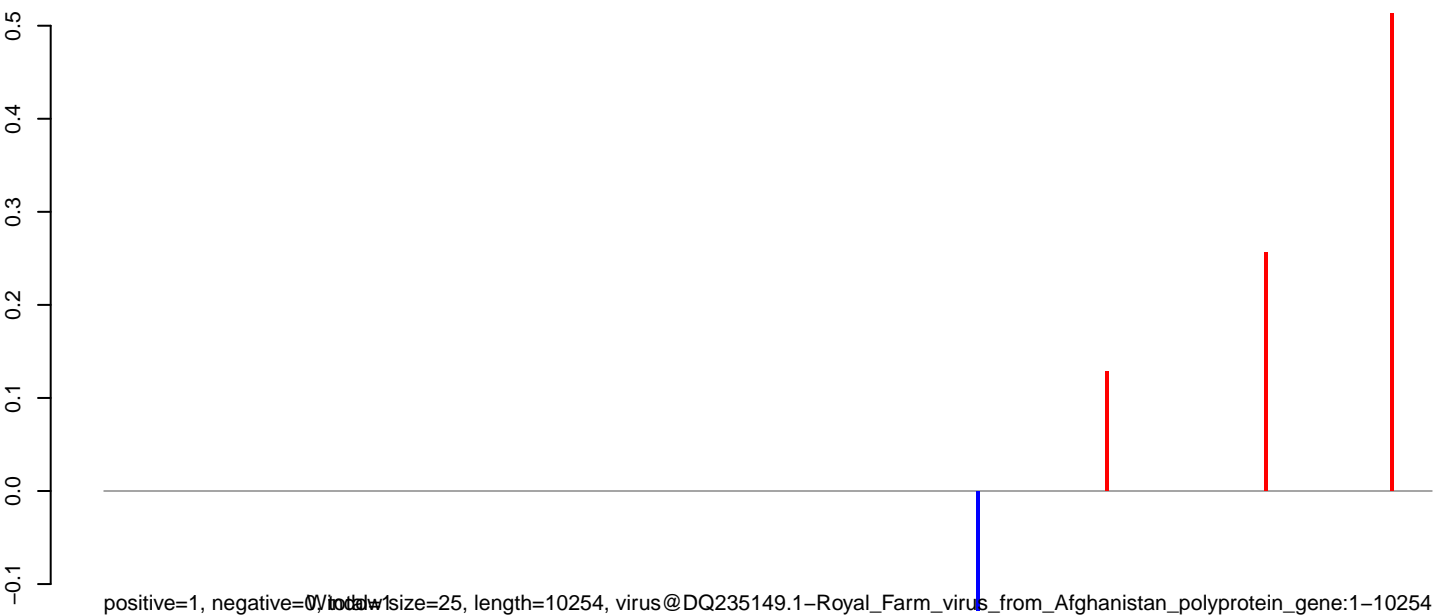
CuQuin_SG_14dpi3.18_23.rep



CuQuin_SG_14dpi3.24_35.rep



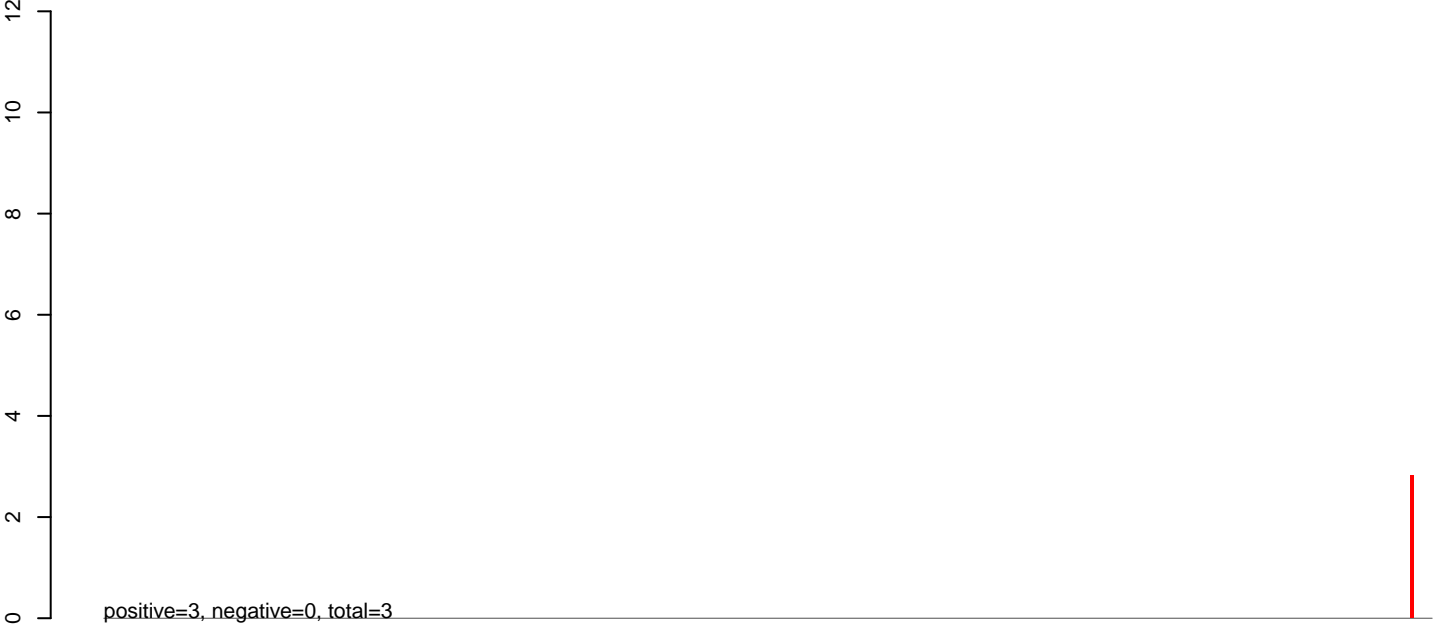
CuQuin_SG_14dpi3.rep



CuQuin_SG_14dpi3.18_23.rep



CuQuin_SG_14dpi3.24_35.rep



CuQuin_SG_14dpi3.rep



CuQuin_SG_14dpi3.18_23.rep

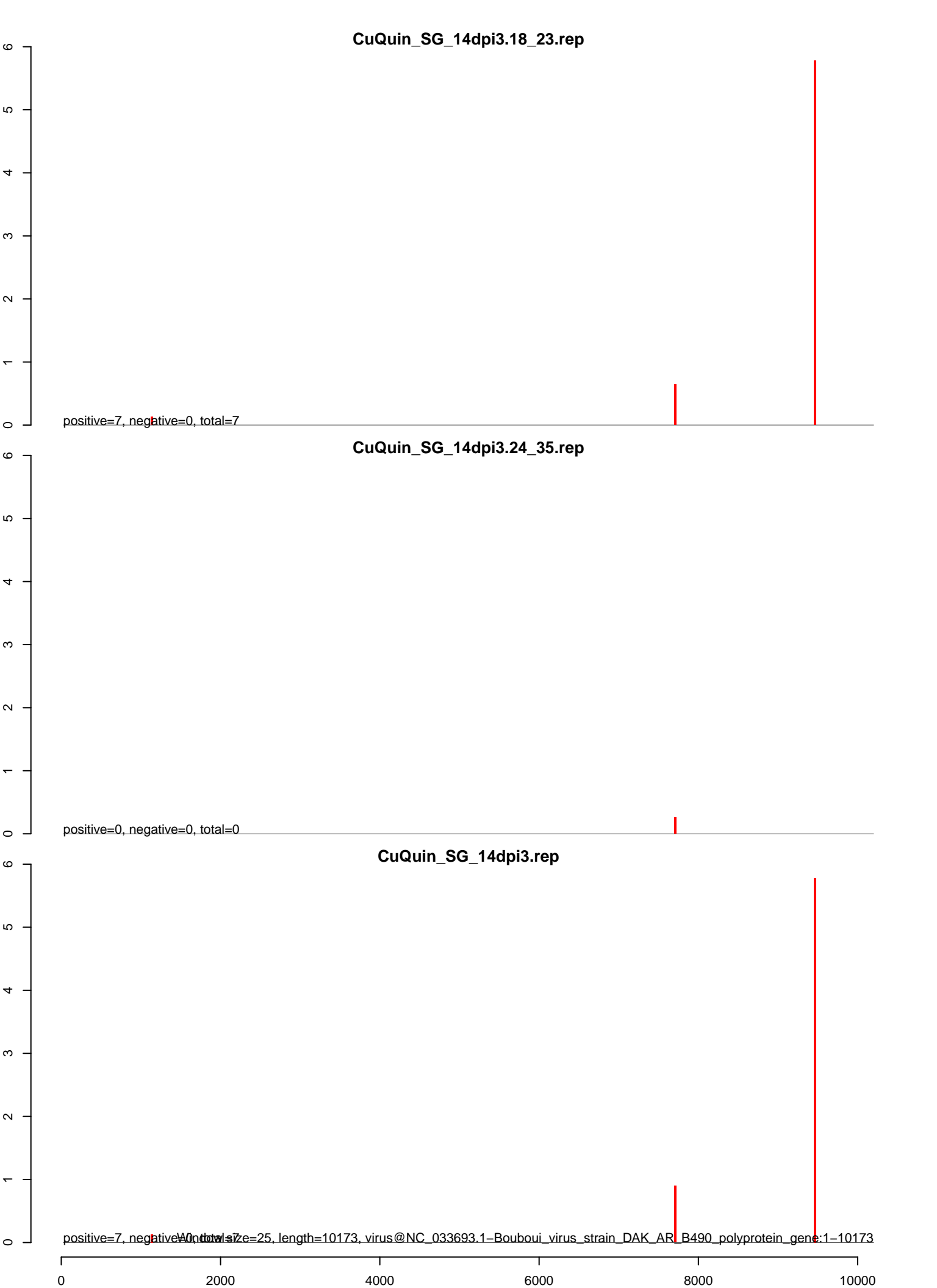
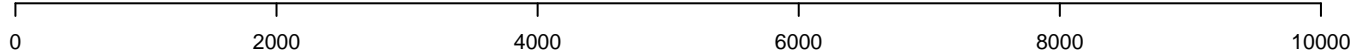
positive=7, negative=0, total=7

CuQuin_SG_14dpi3.24_35.rep

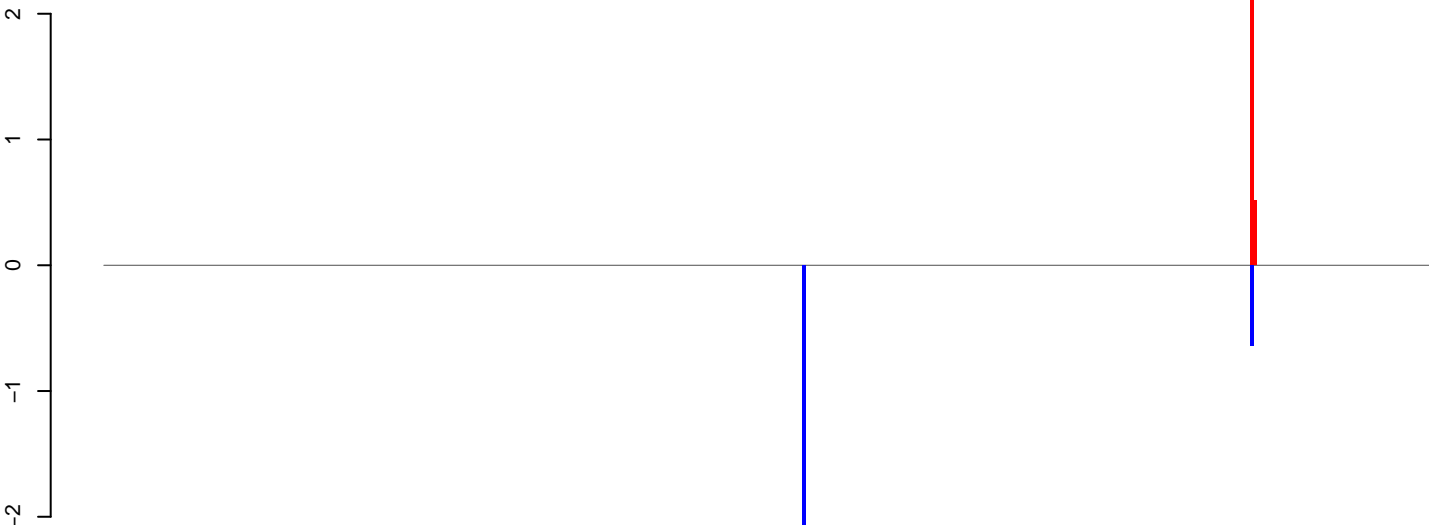
positive=0, negative=0, total=0

CuQuin_SG_14dpi3.rep

positive=7, negative=0, total=25, length=10173, virus@NC_033693.1-Bouboui_virus_strain_DAK_AR_B490_polyprotein_gene:1-10173

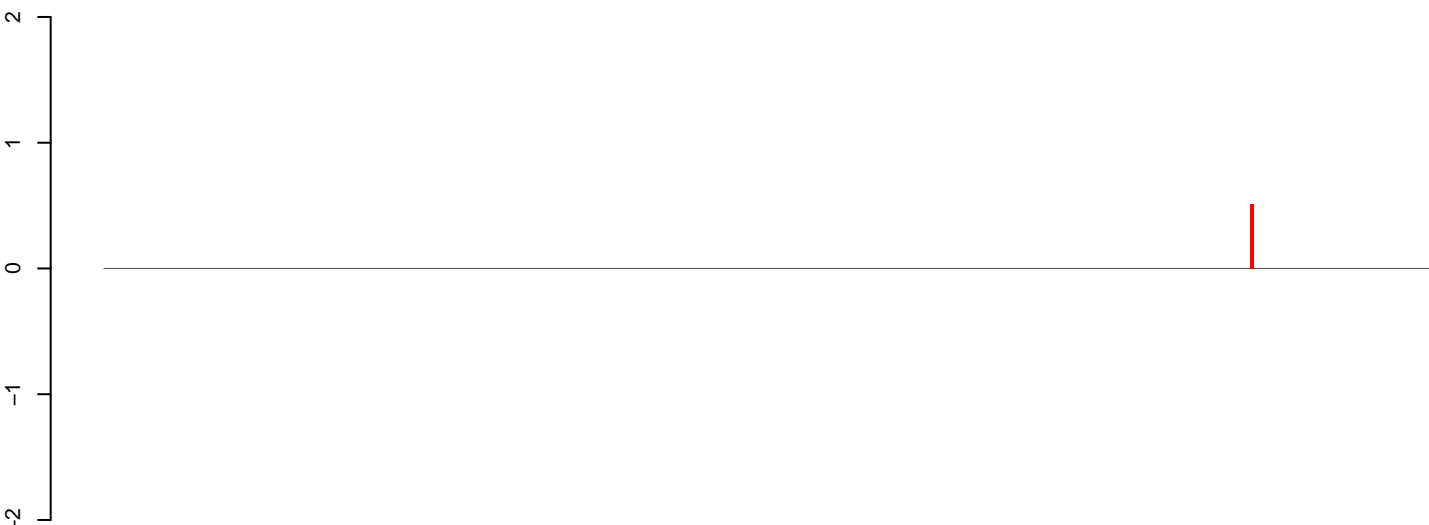


CuQuin_SG_14dpi3.18_23.rep



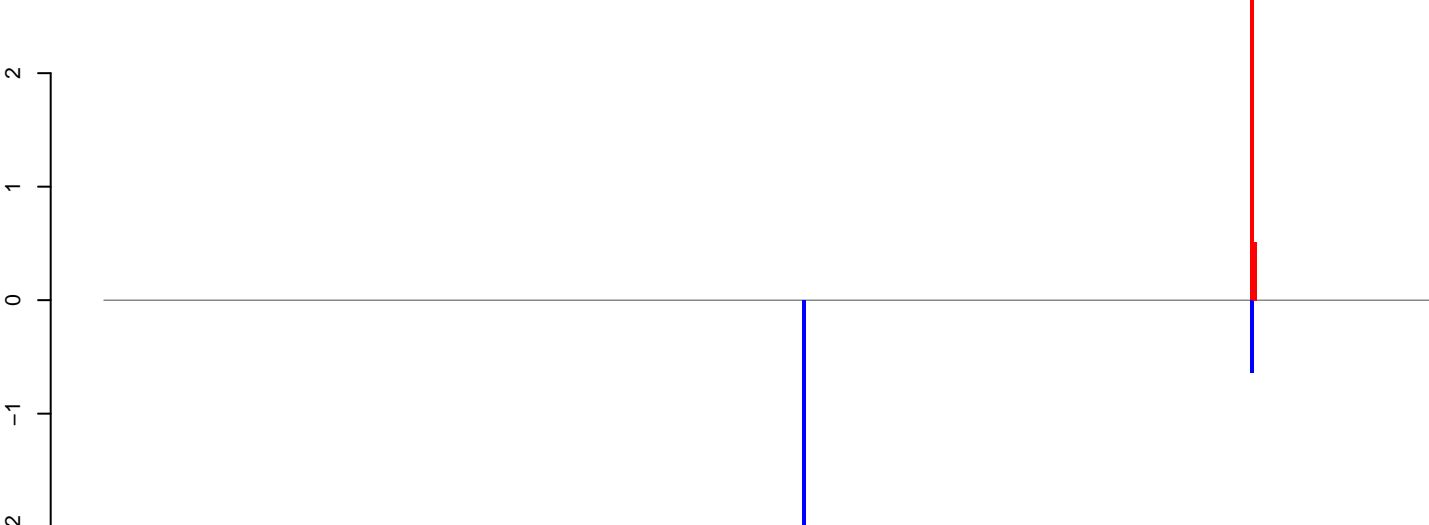
positive=3, negative=3, total=6

CuQuin_SG_14dpi3.24_35.rep

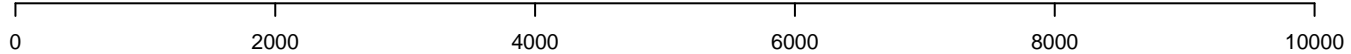


positive=1, negative=0, total=1

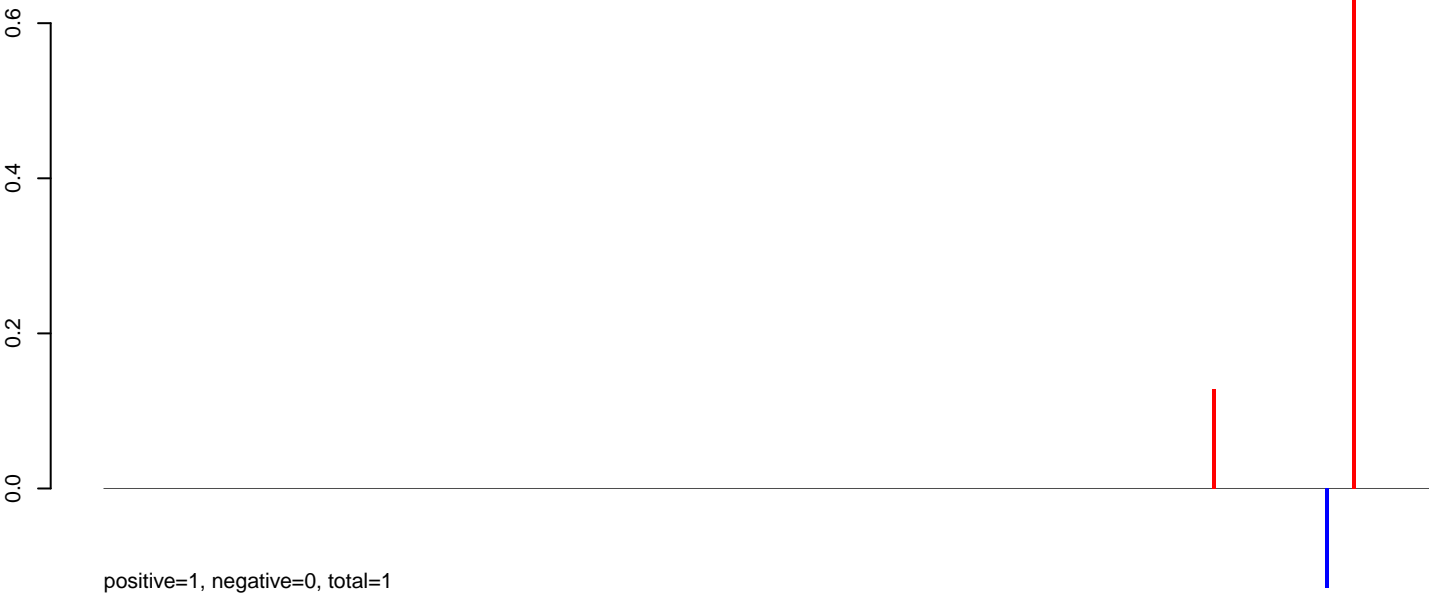
CuQuin_SG_14dpi3.rep



positive=3, negative=3, total=6, window size=25, length=10206, virus@NC_030289.1-Edge_Hill_virus_strain_YMP_48_polyprotein_gene:1-10206



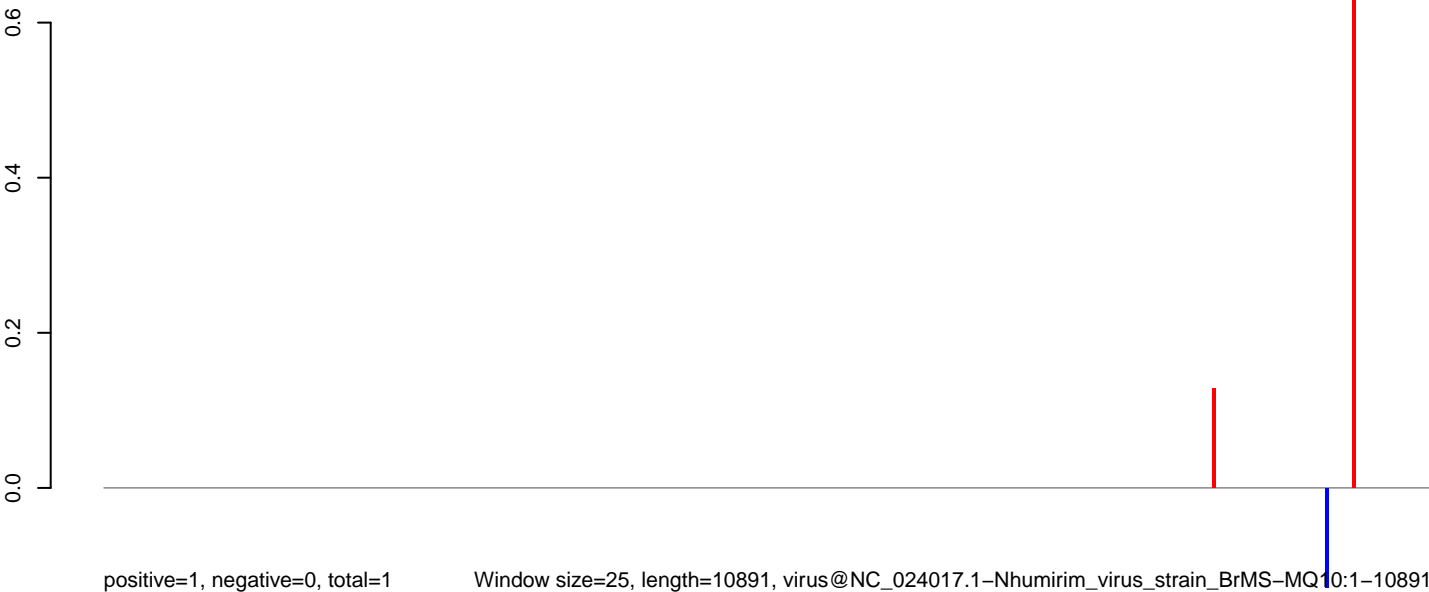
CuQuin_SG_14dpi3.18_23.rep



CuQuin_SG_14dpi3.24_35.rep



CuQuin_SG_14dpi3.rep



CuQuin_SG_14dpi3.18_23.rep

positive=1, negative=0, total=1

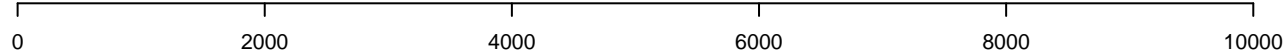
CuQuin_SG_14dpi3.24_35.rep

positive=0, negative=0, total=0

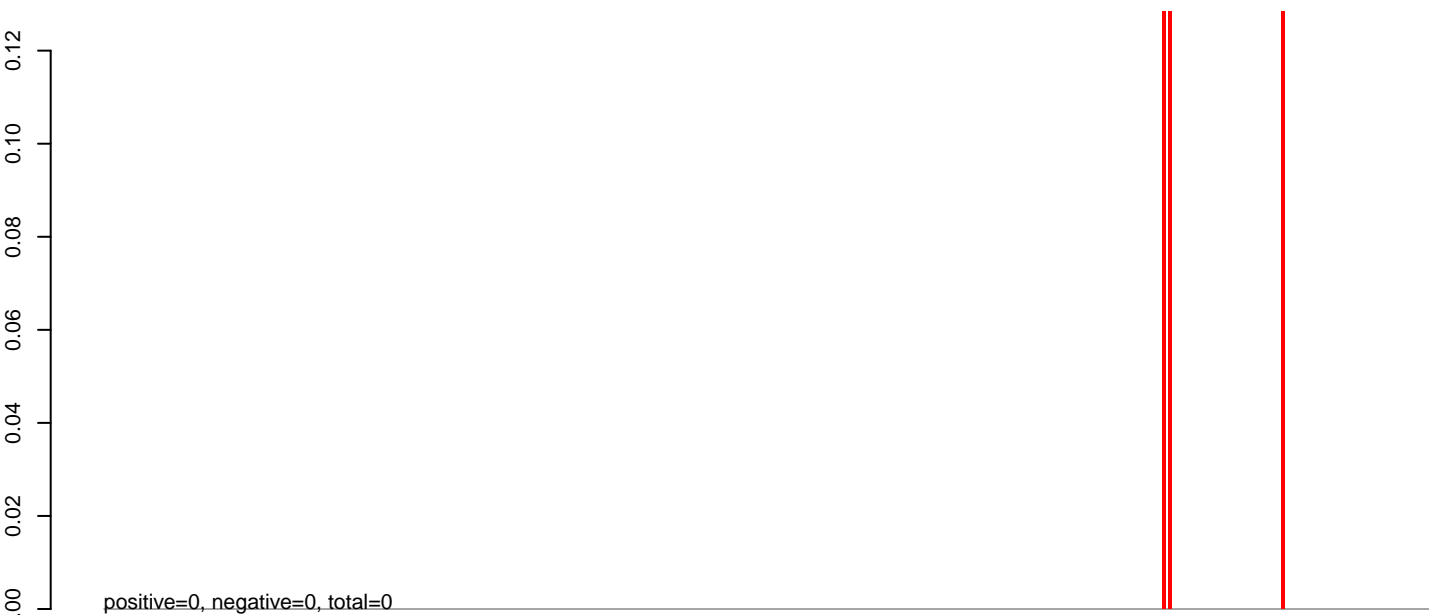
CuQuin_SG_14dpi3.rep

positive=1, negative=0, total=1

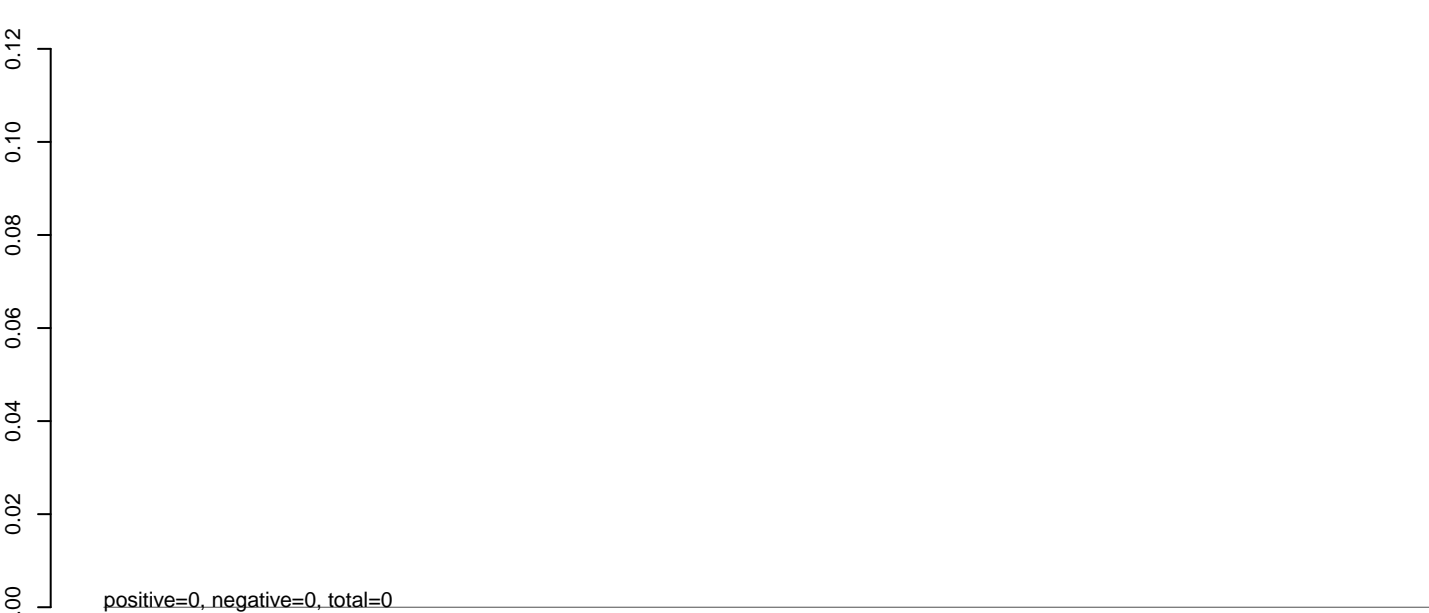
Window size=25, length=10733, virus@NC_017086.1-Chaoyang_virus:1-10733



CuQuin_SG_14dpi3.18_23.rep



CuQuin_SG_14dpi3.24_35.rep



CuQuin_SG_14dpi3.rep

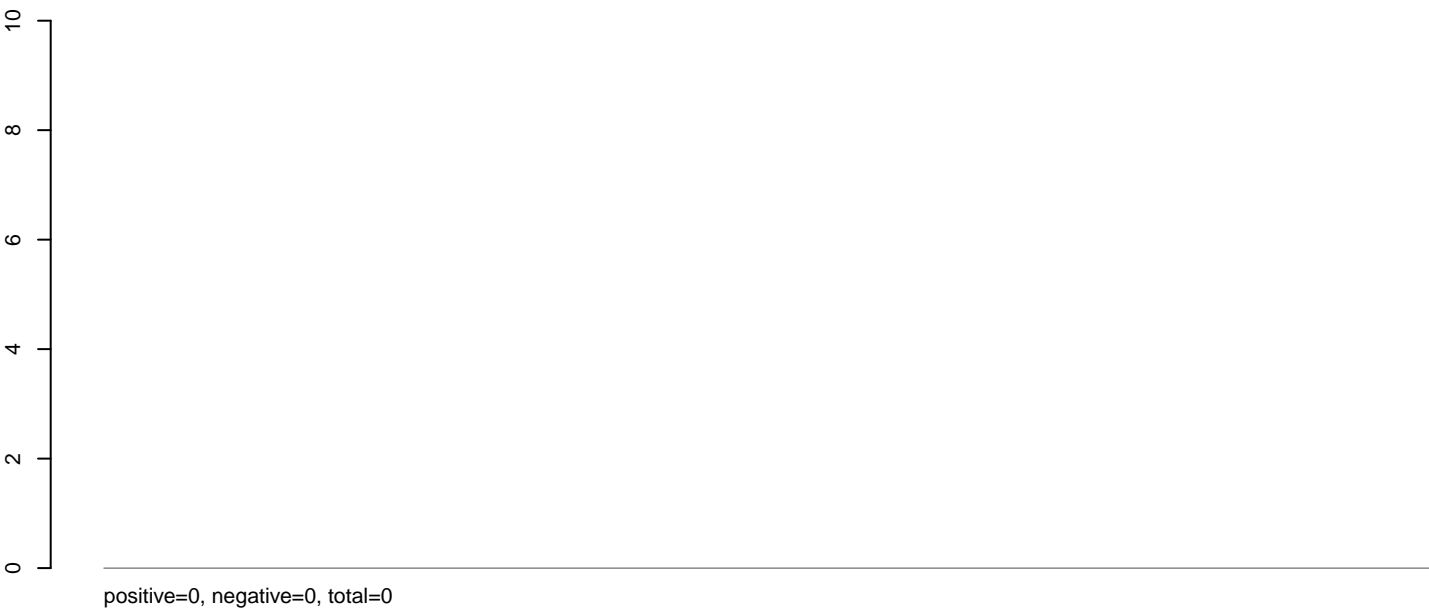


0 2000 4000 6000 8000 10000

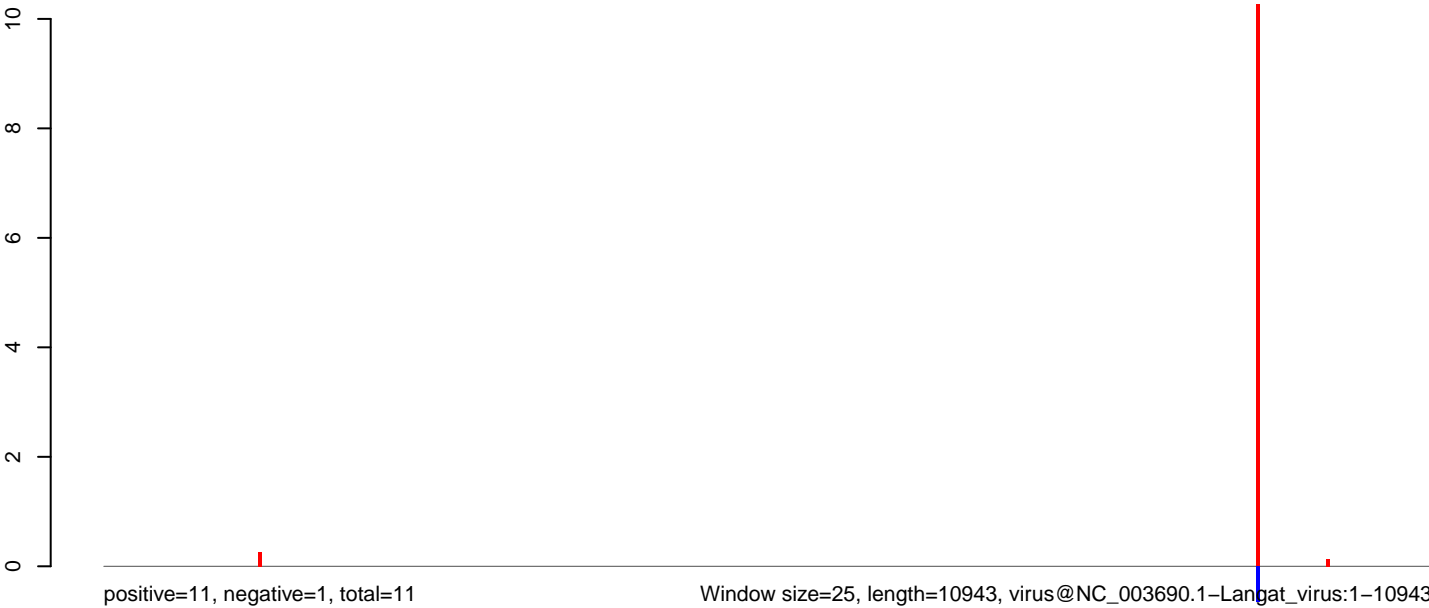
CuQuin_SG_14dpi3.18_23.rep



CuQuin_SG_14dpi3.24_35.rep



CuQuin_SG_14dpi3.rep



0 2000 4000 6000 8000 10000

CuQuin_SG_14dpi3.18_23.rep

20
10
0
-10

positive=28, negative=15, total=44

CuQuin_SG_14dpi3.24_35.rep

20
10
0
-10

positive=6, negative=1, total=7

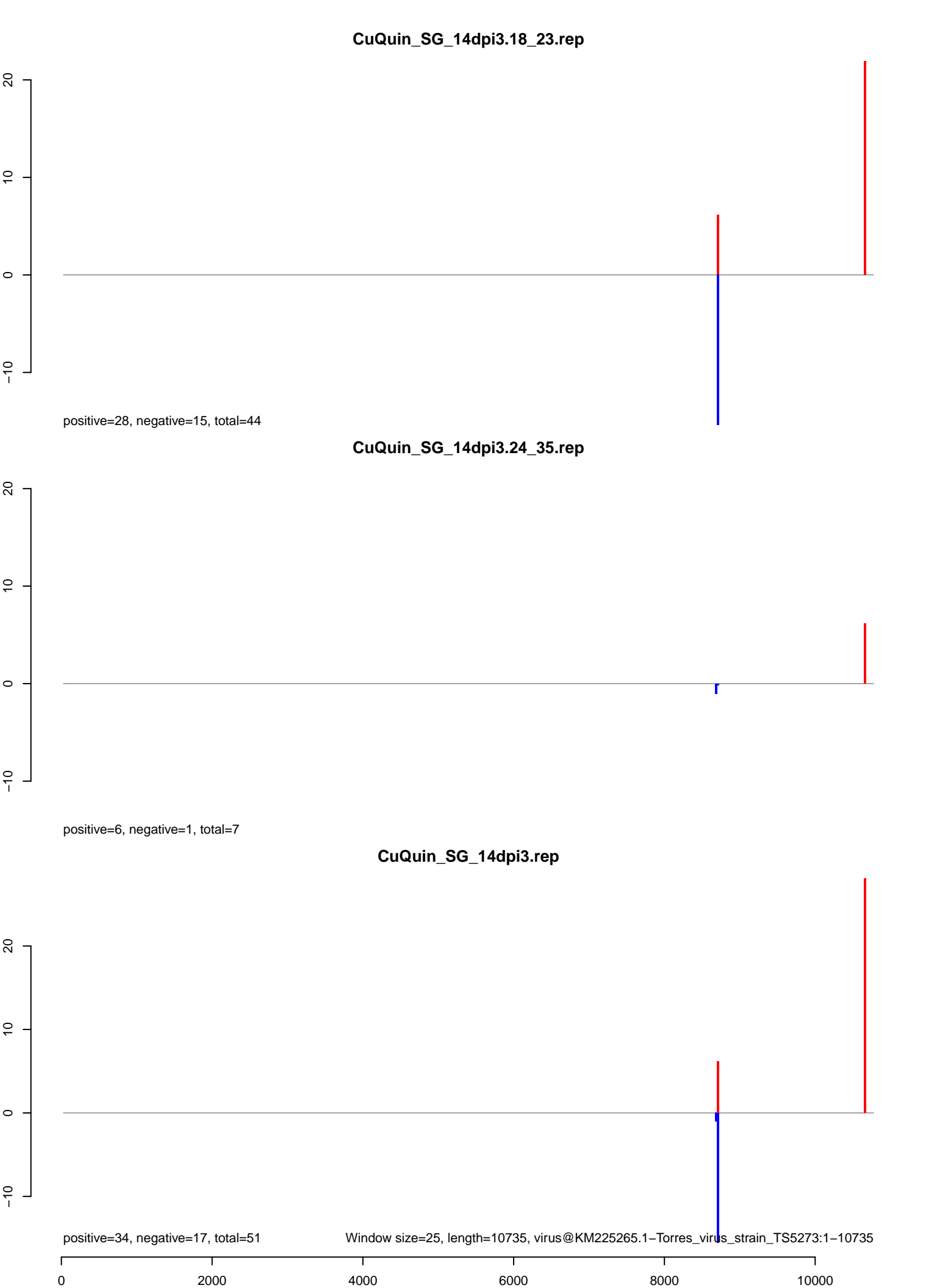
CuQuin_SG_14dpi3.rep

20
10
0
-10

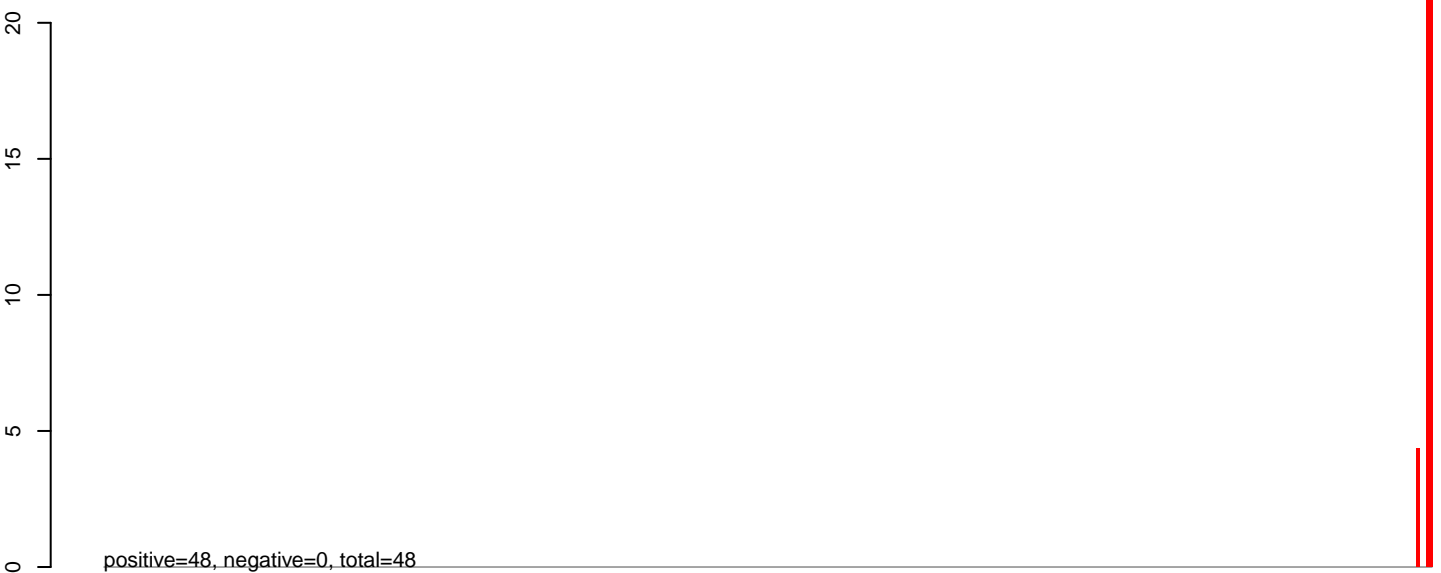
positive=34, negative=17, total=51

Window size=25, length=10735, virus@KM225265.1-Torres_virus_strain_TS5273:1-10735

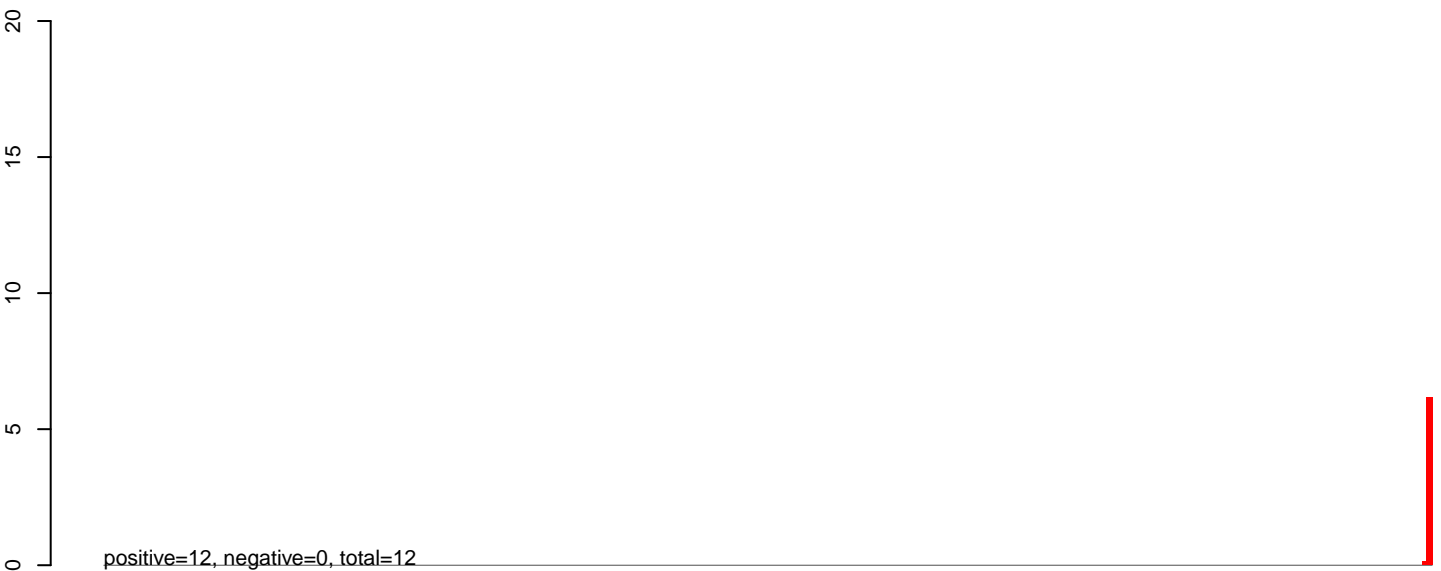
0 2000 4000 6000 8000 10000



CuQuin_SG_14dpi3.18_23.rep



CuQuin_SG_14dpi3.24_35.rep

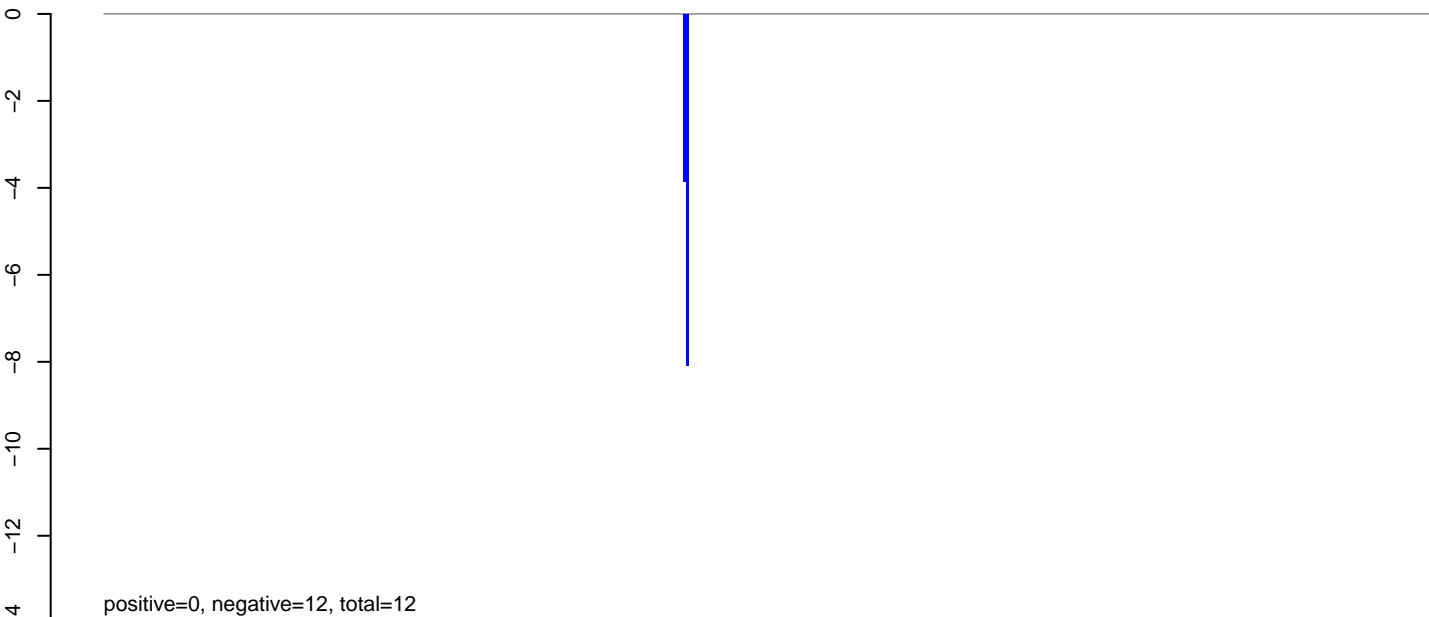


CuQuin_SG_14dpi3.rep

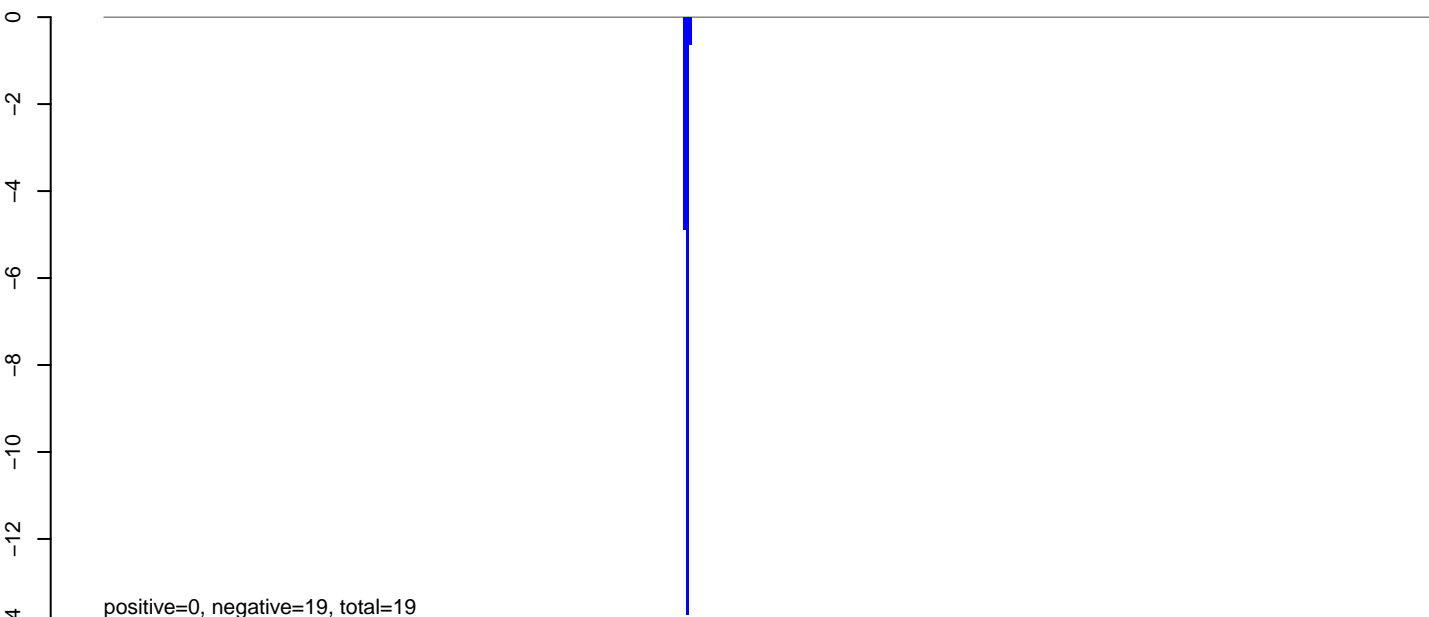


0 2000 4000 6000 8000 10000

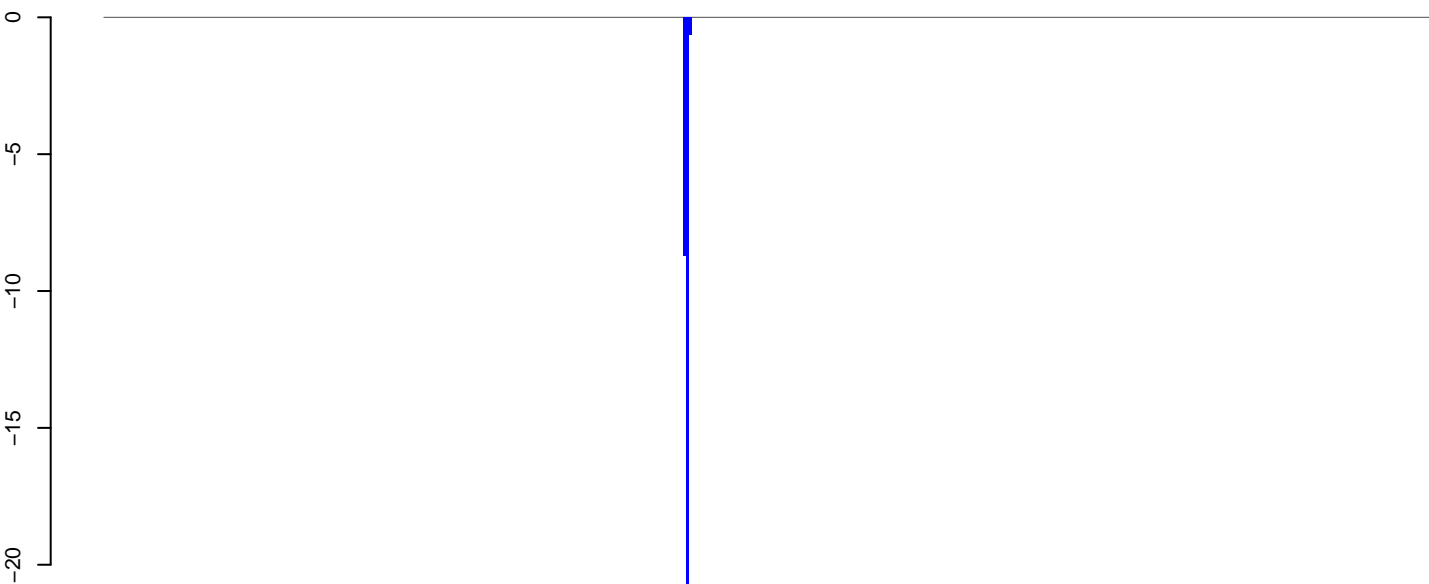
CuQuin_SG_14dpi3.18_23.rep



CuQuin_SG_14dpi3.24_35.rep



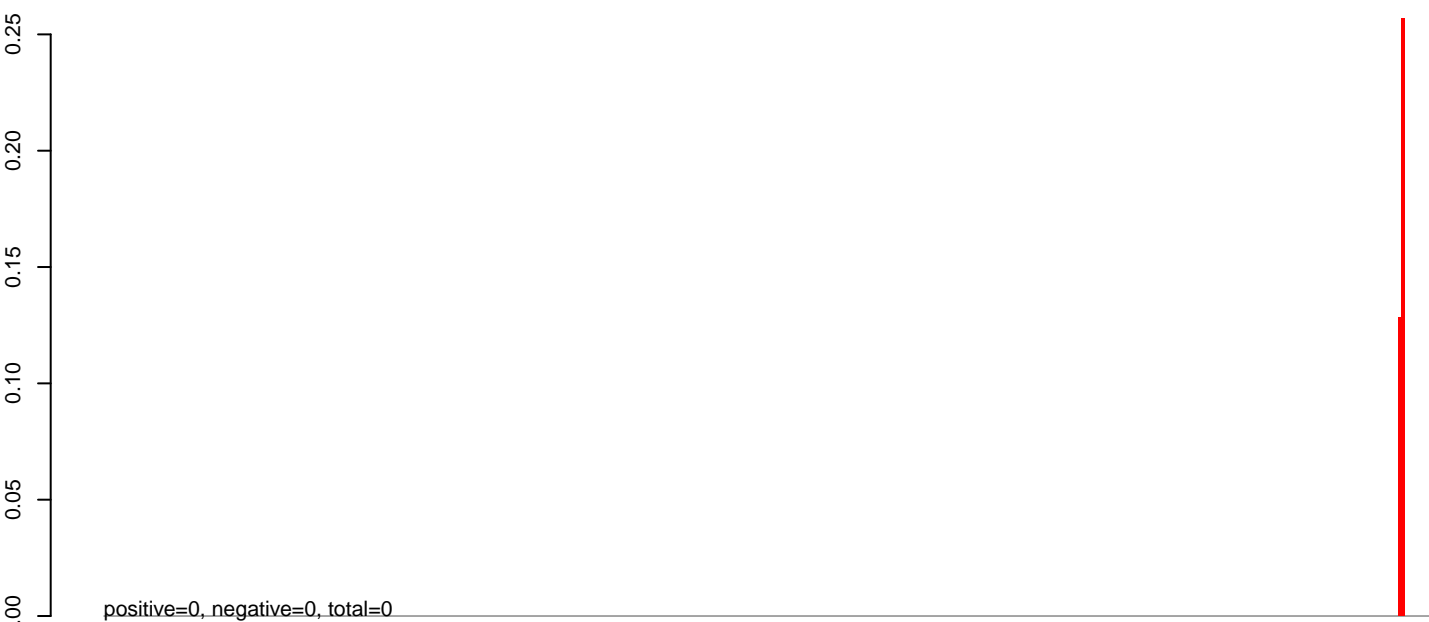
CuQuin_SG_14dpi3.rep



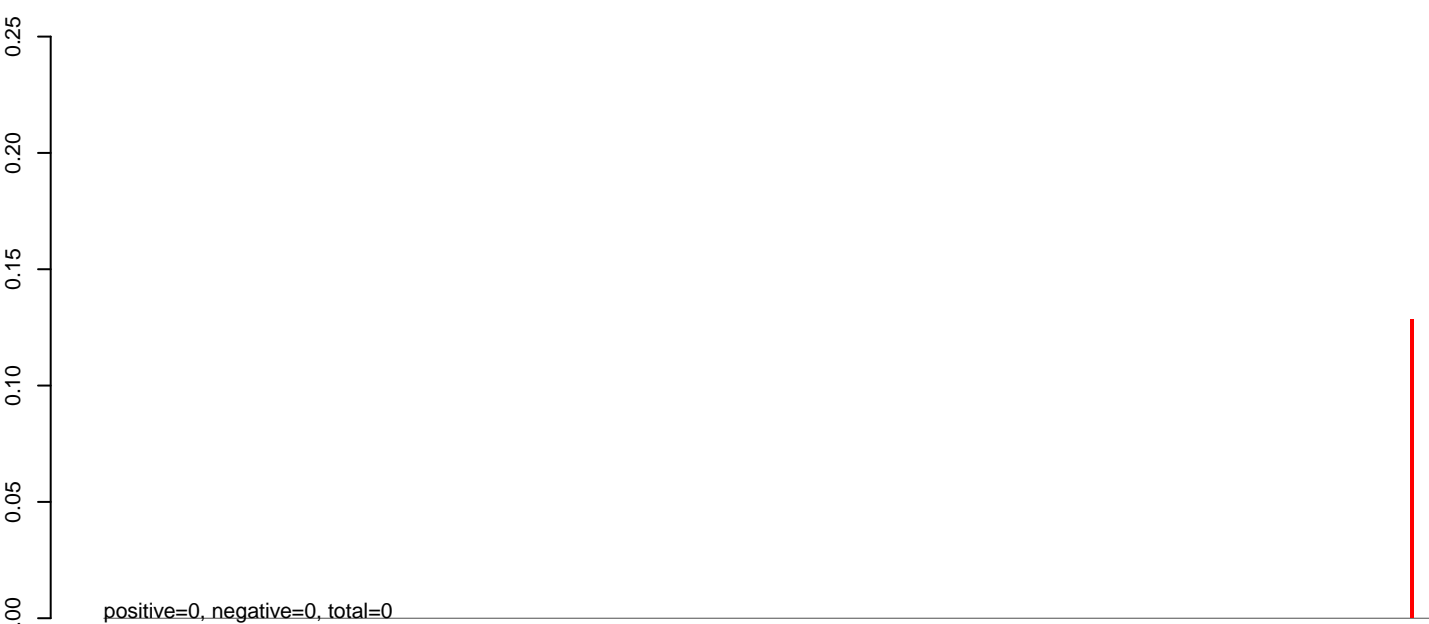
Window size=25, total=2369, virus@KJ716848.1-Ngari_virus_strain_Adrar_segment_S_plus_segment_M_plus_segment_L:1-12369

0 2000 4000 6000 8000 10000 12000

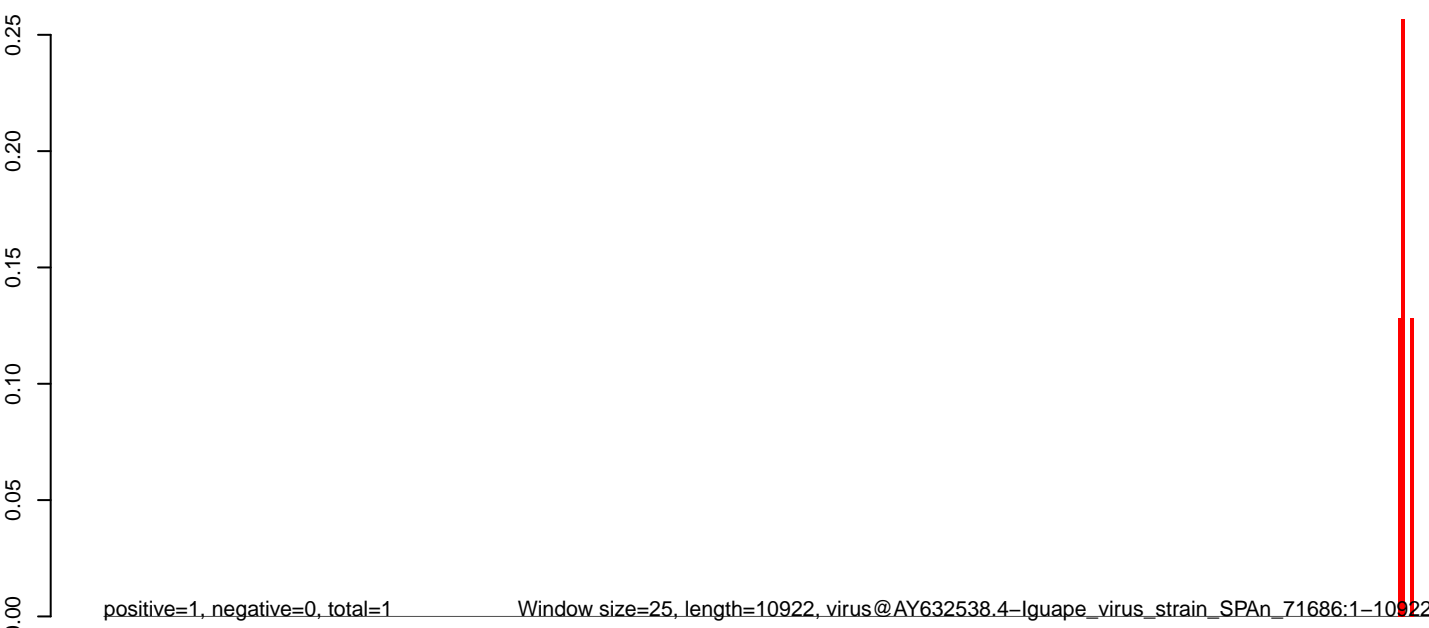
CuQuin_SG_14dpi3.18_23.rep



CuQuin_SG_14dpi3.24_35.rep

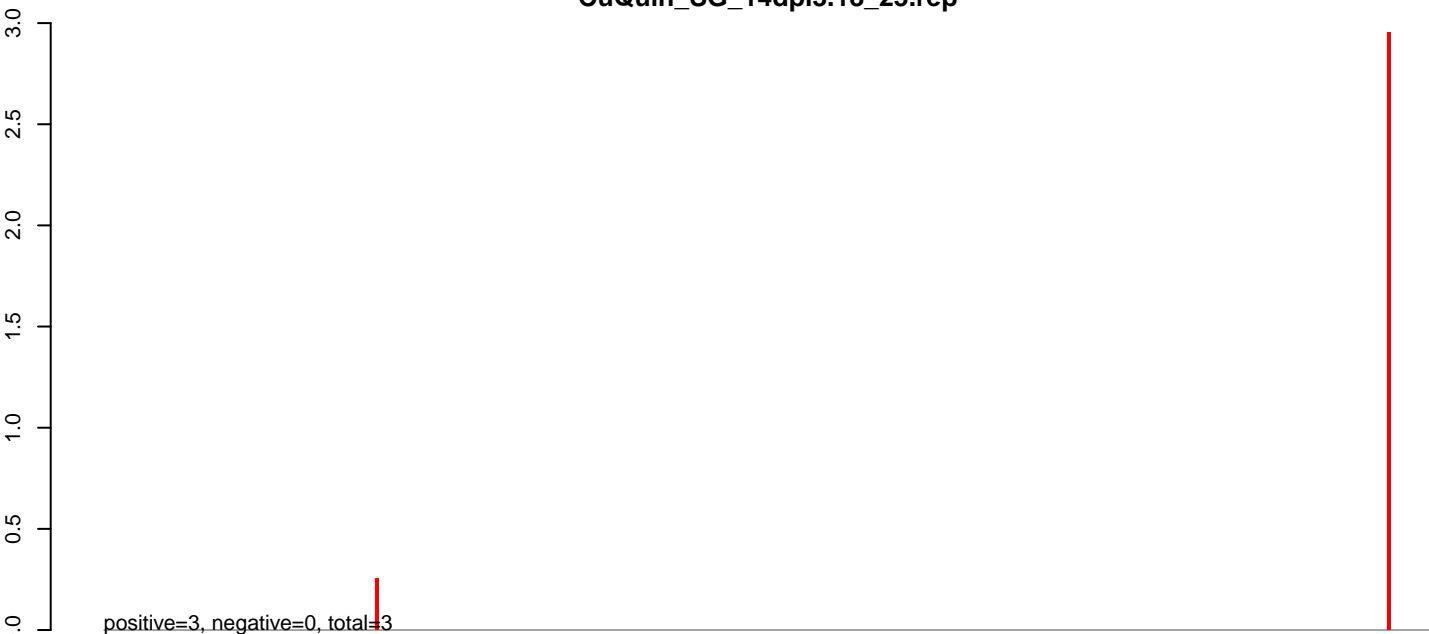


CuQuin_SG_14dpi3.rep

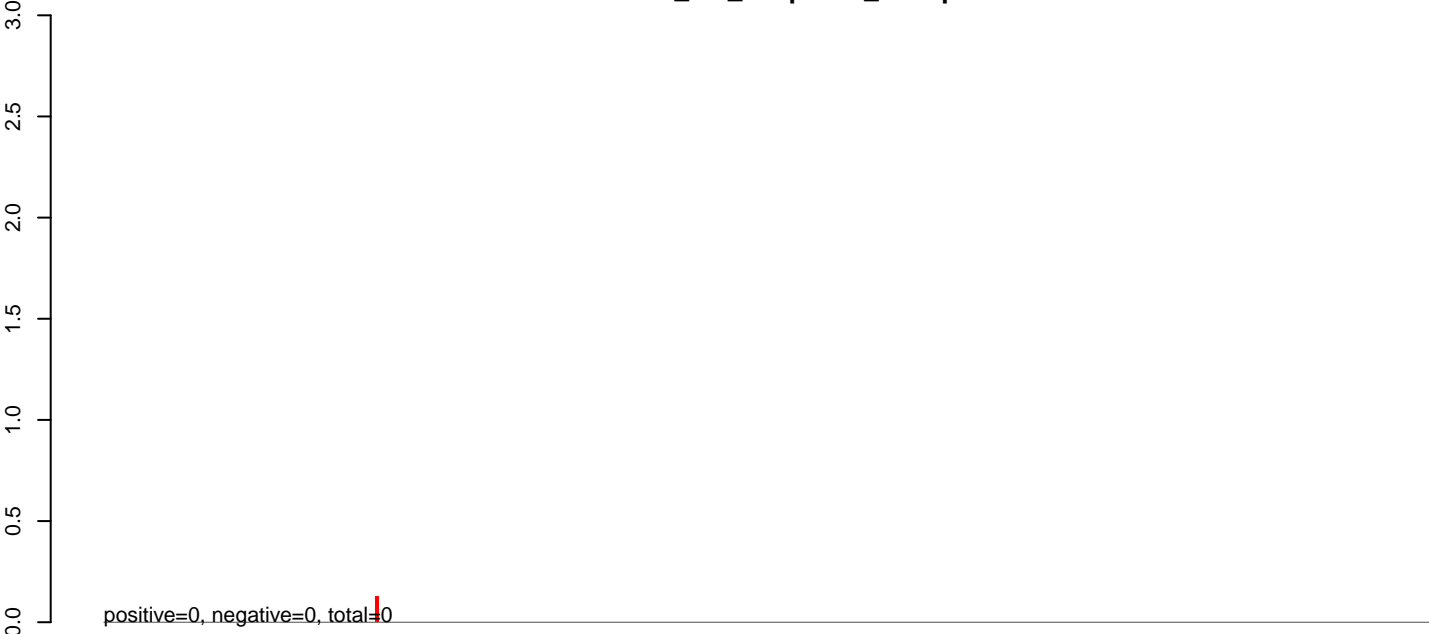


0 2000 4000 6000 8000 10000

CuQuin_SG_14dpi3.18_23.rep



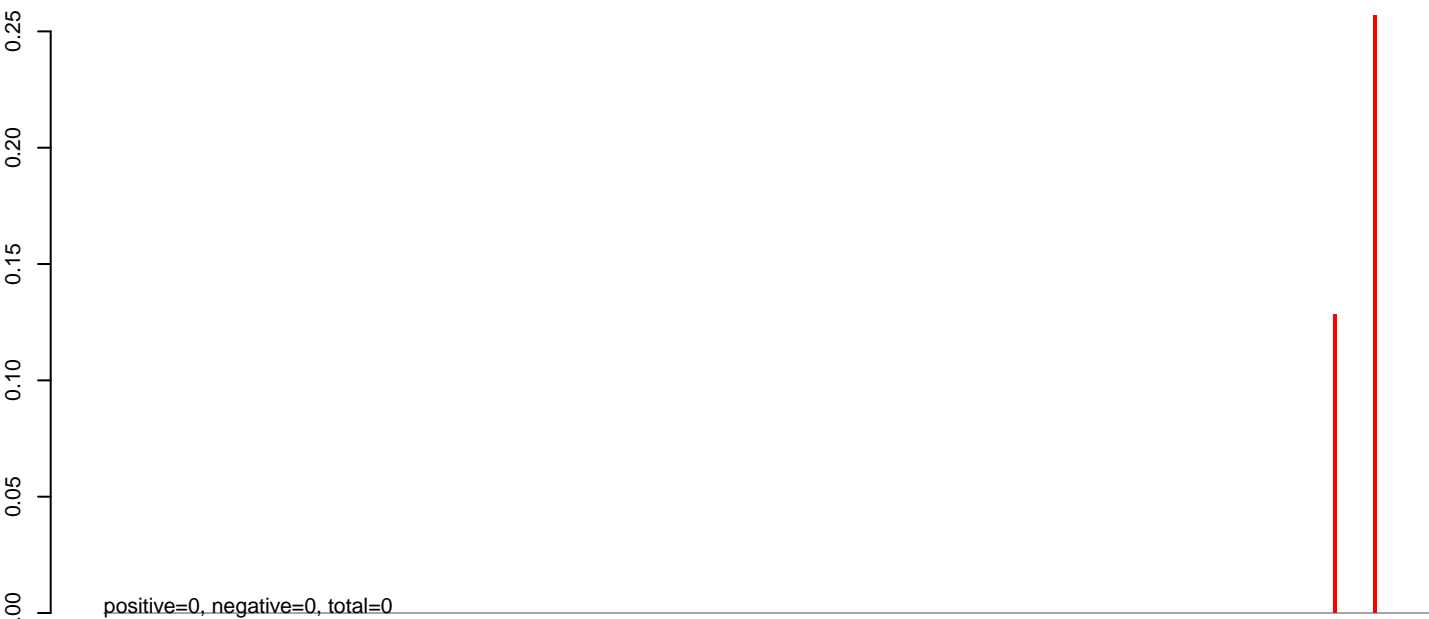
CuQuin_SG_14dpi3.24_35.rep



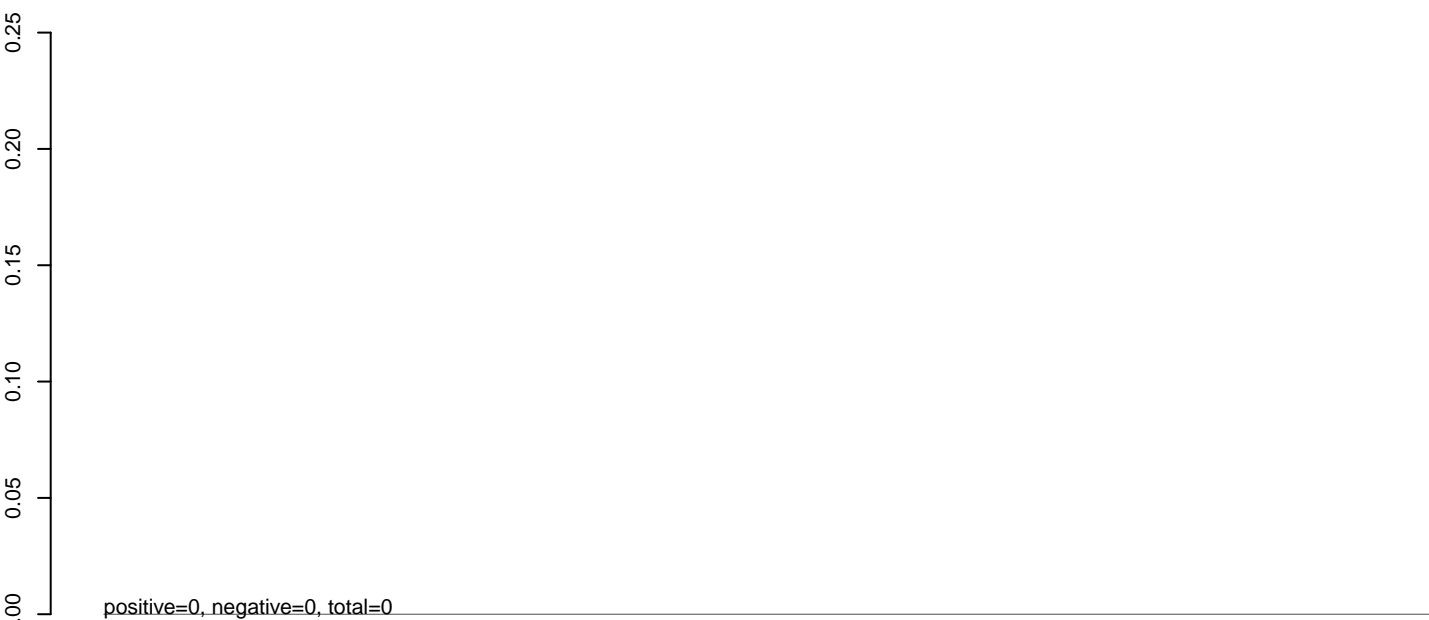
CuQuin_SG_14dpi3.rep



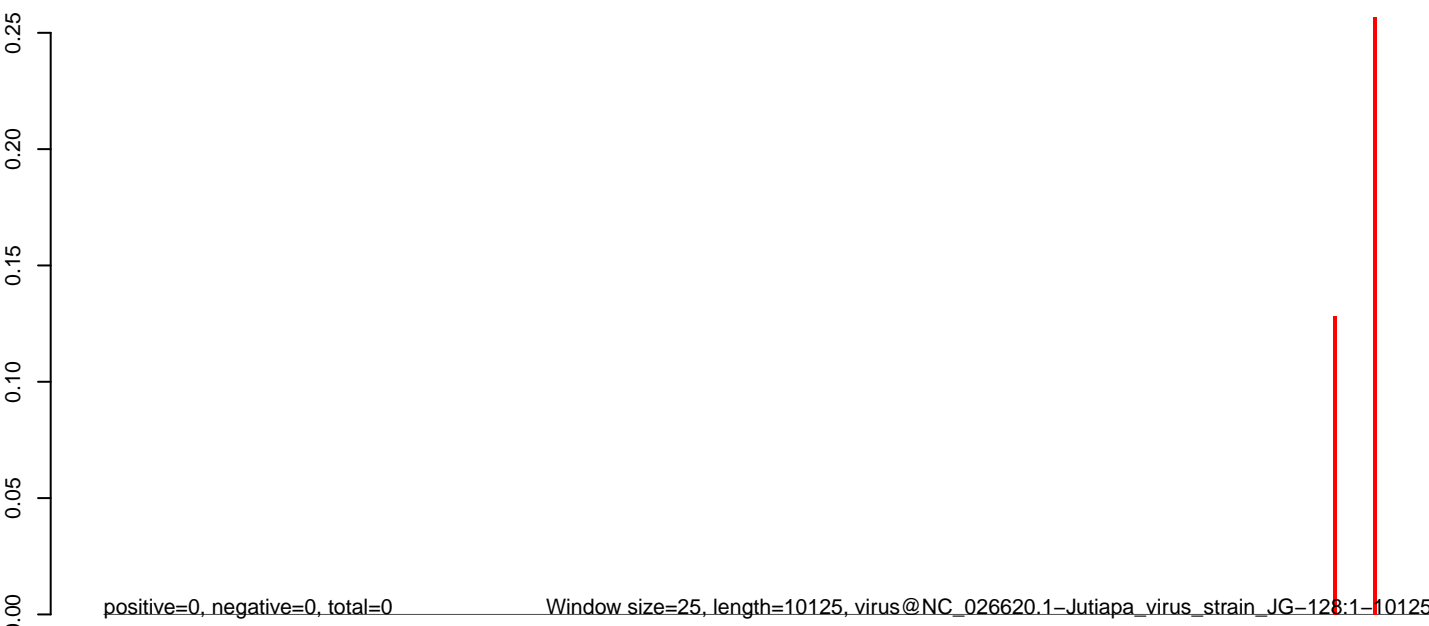
CuQuin_SG_14dpi3.18_23.rep



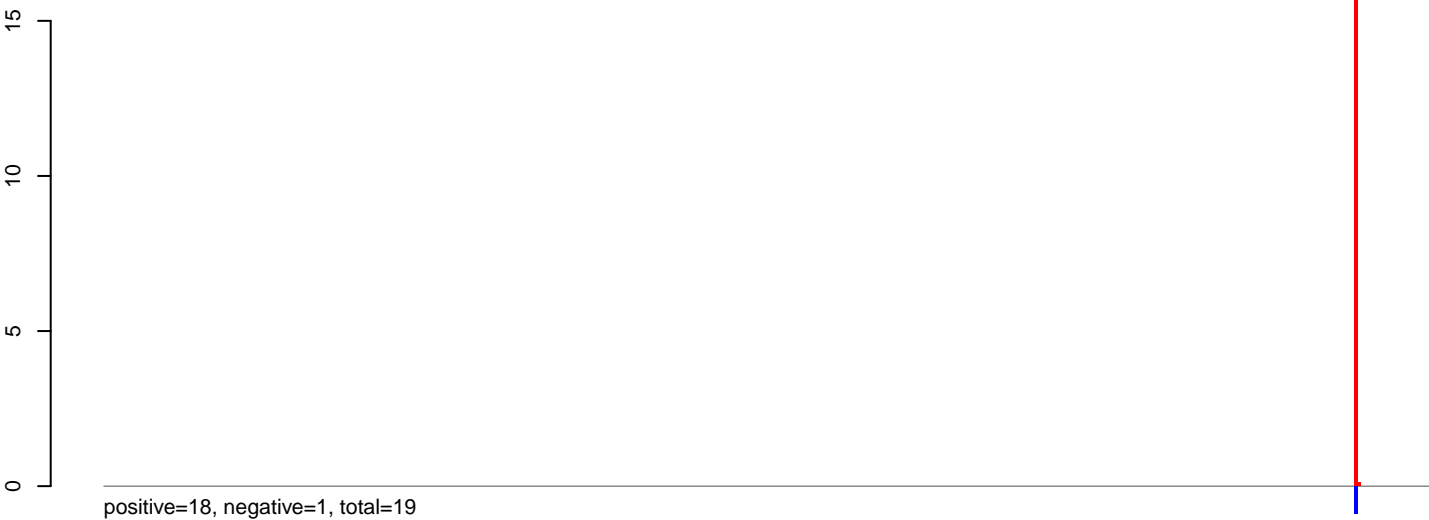
CuQuin_SG_14dpi3.24_35.rep



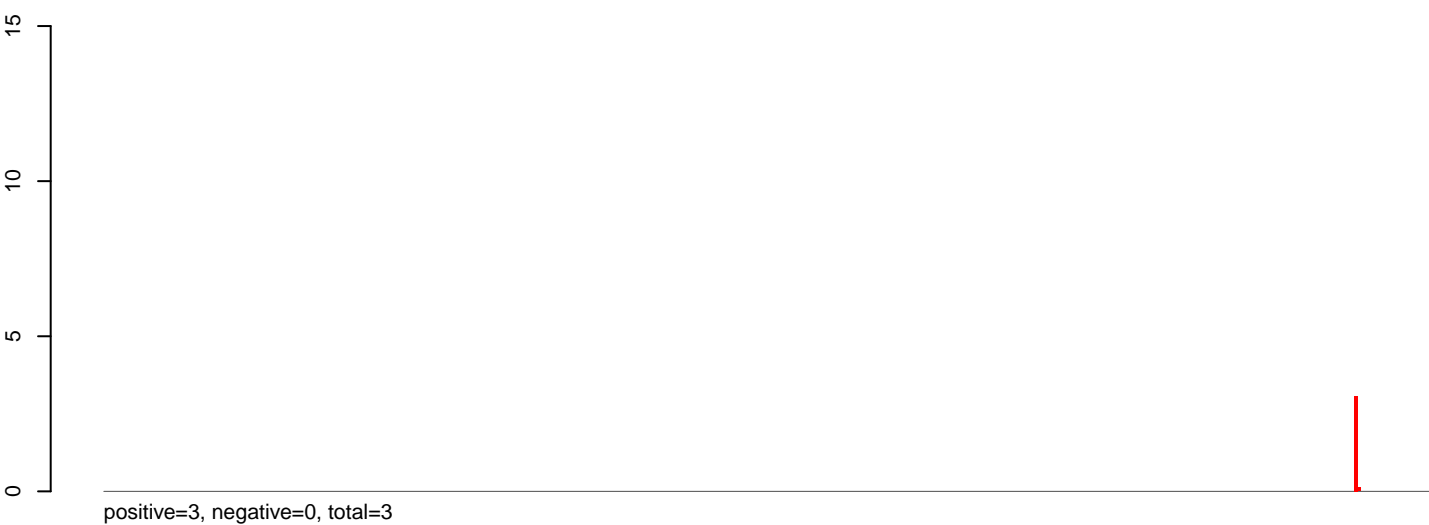
CuQuin_SG_14dpi3.rep



CuQuin_SG_14dpi3.18_23.rep



CuQuin_SG_14dpi3.24_35.rep

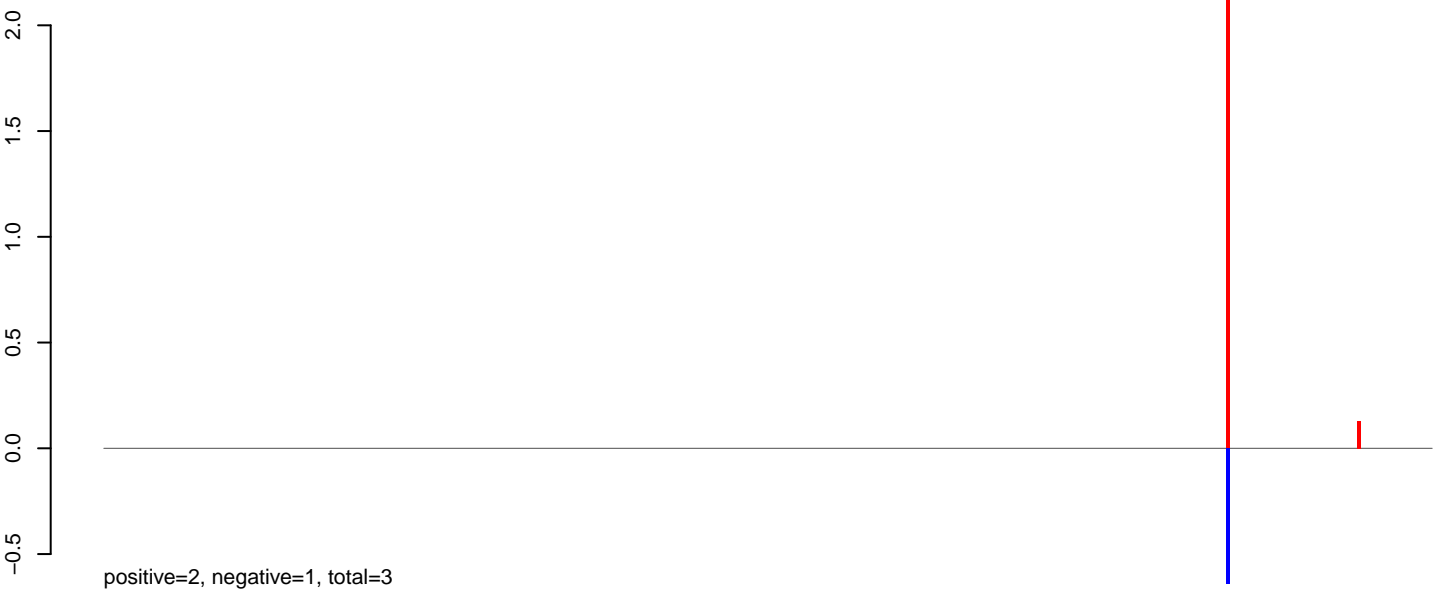


CuQuin_SG_14dpi3.rep



0 2000 4000 6000 8000 10000

CuQuin_SG_14dpi3.18_23.rep



CuQuin_SG_14dpi3.24_35.rep



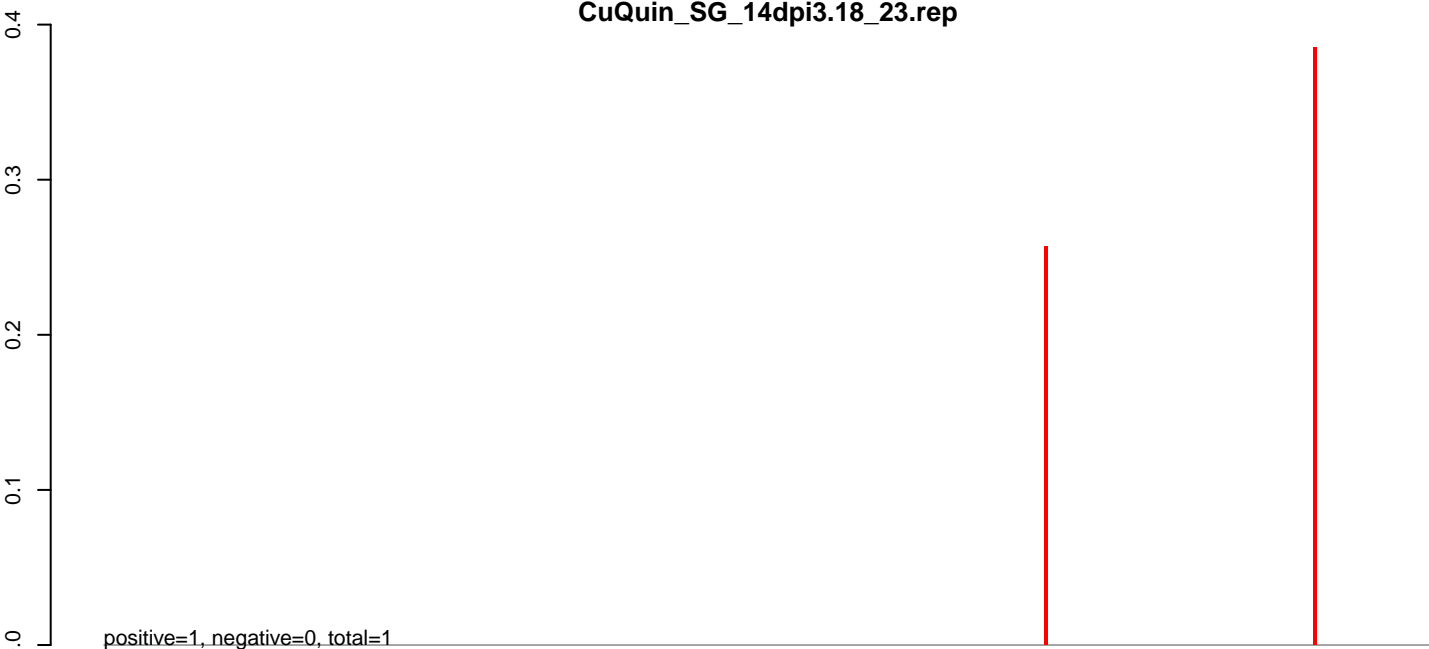
CuQuin_SG_14dpi3.rep



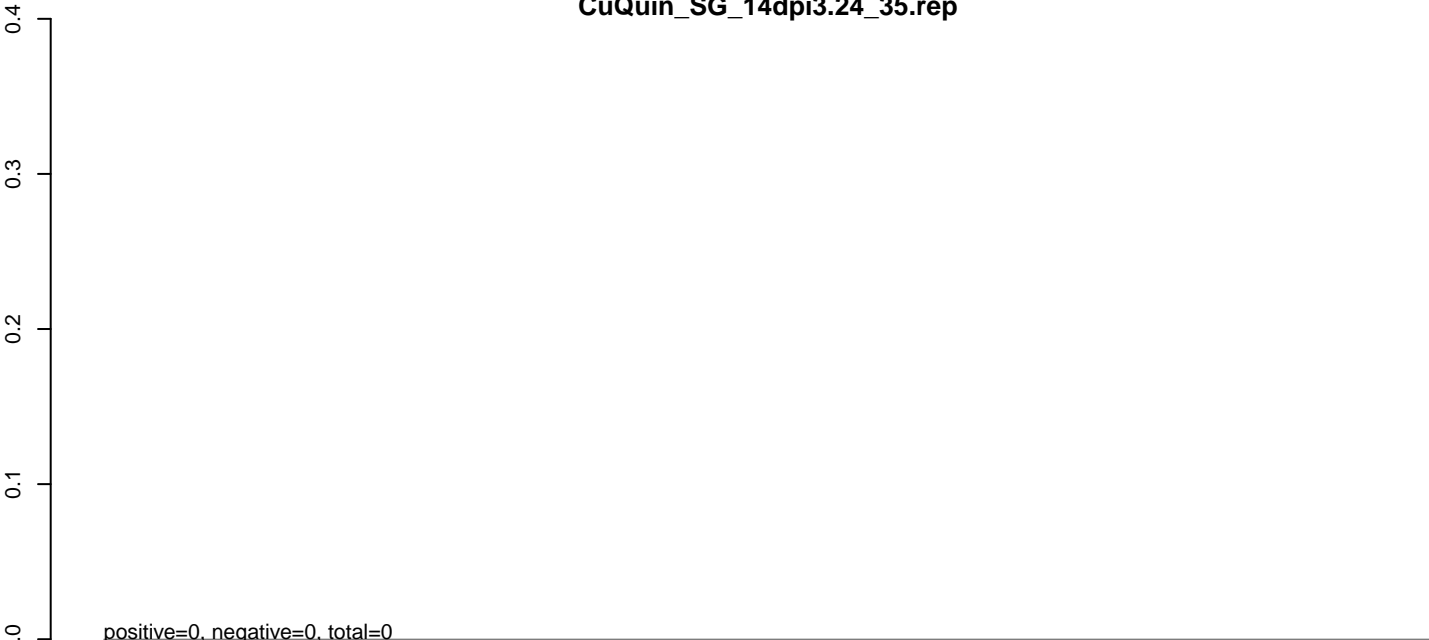
Window size=25, length=10673, virus@NC_023424.1-Tyuleniy_virus_strain_LEIV-6C_polyprotein_gene:1-10673

0 2000 4000 6000 8000 10000

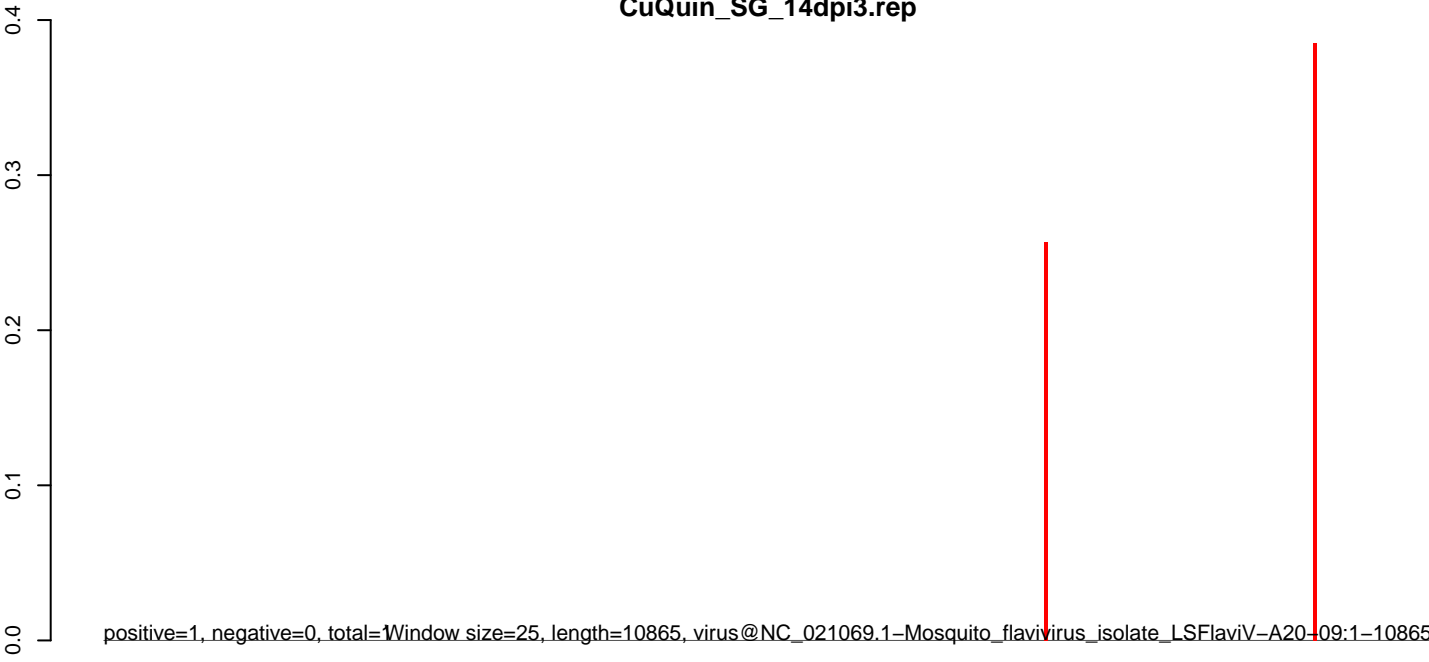
CuQuin_SG_14dpi3.18_23.rep



CuQuin_SG_14dpi3.24_35.rep

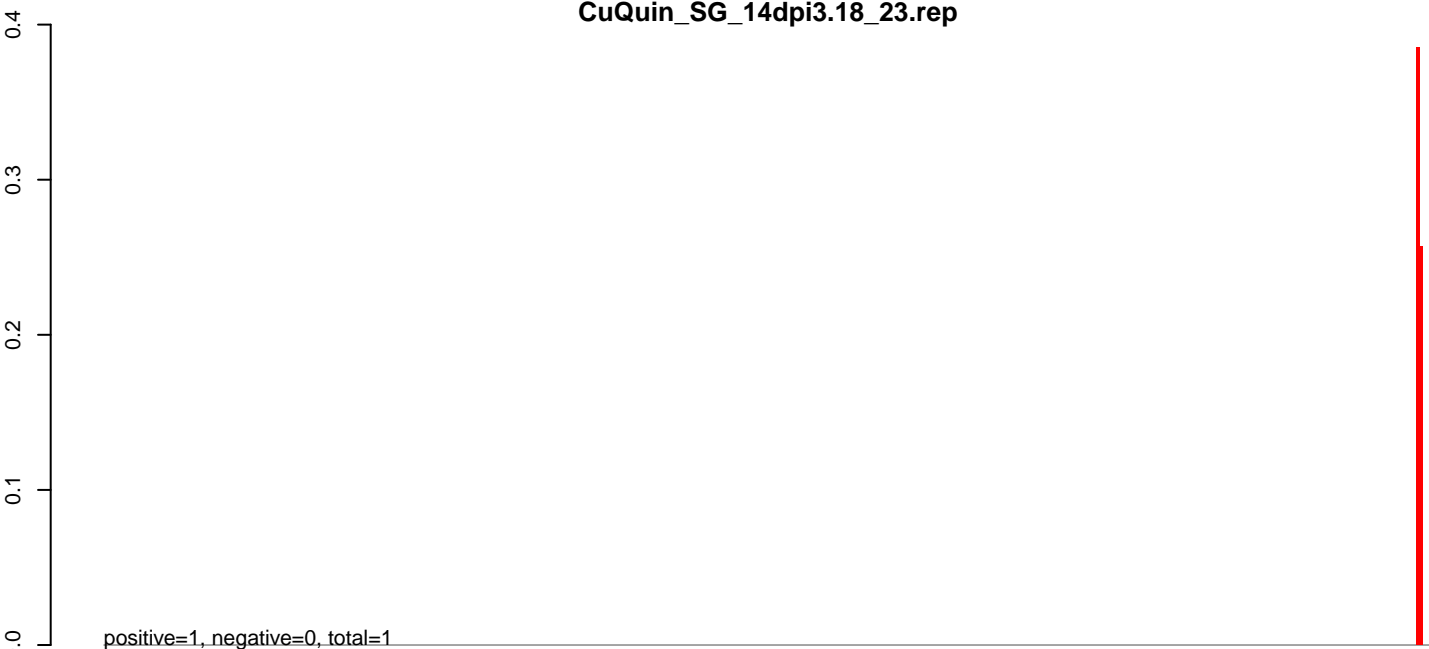


CuQuin_SG_14dpi3.rep



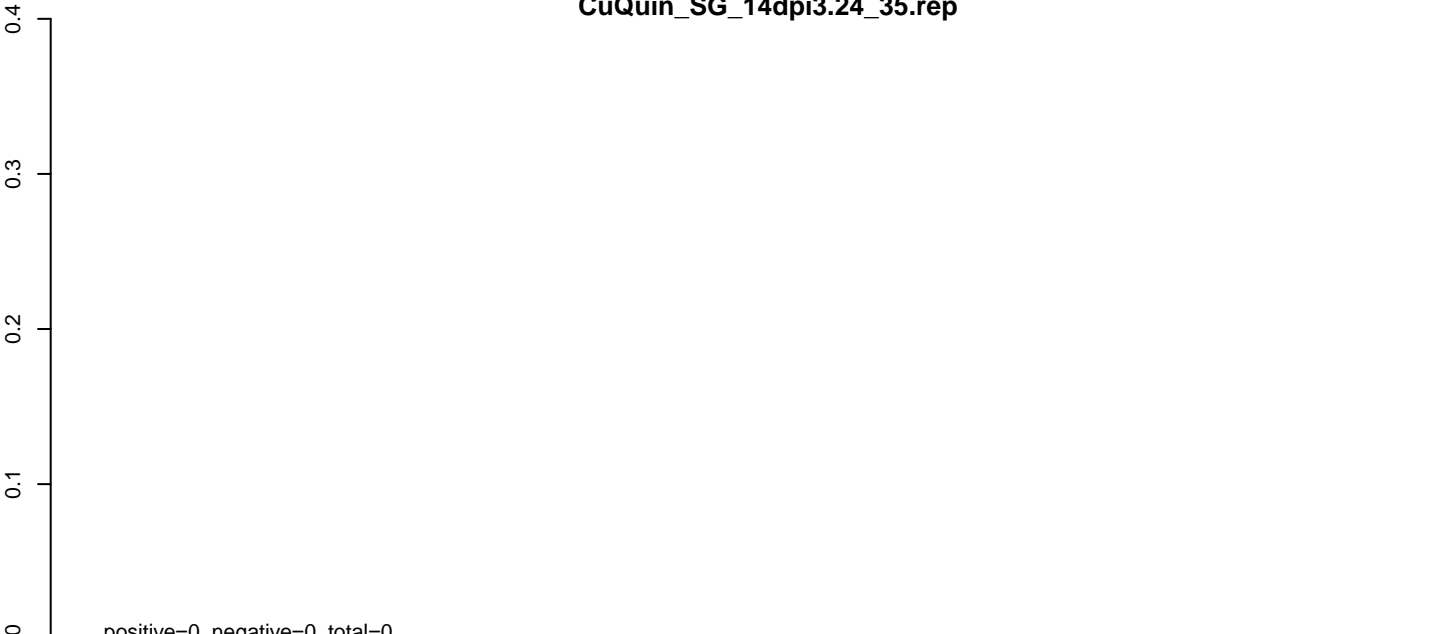
0 2000 4000 6000 8000 10000

CuQuin_SG_14dpi3.18_23.rep



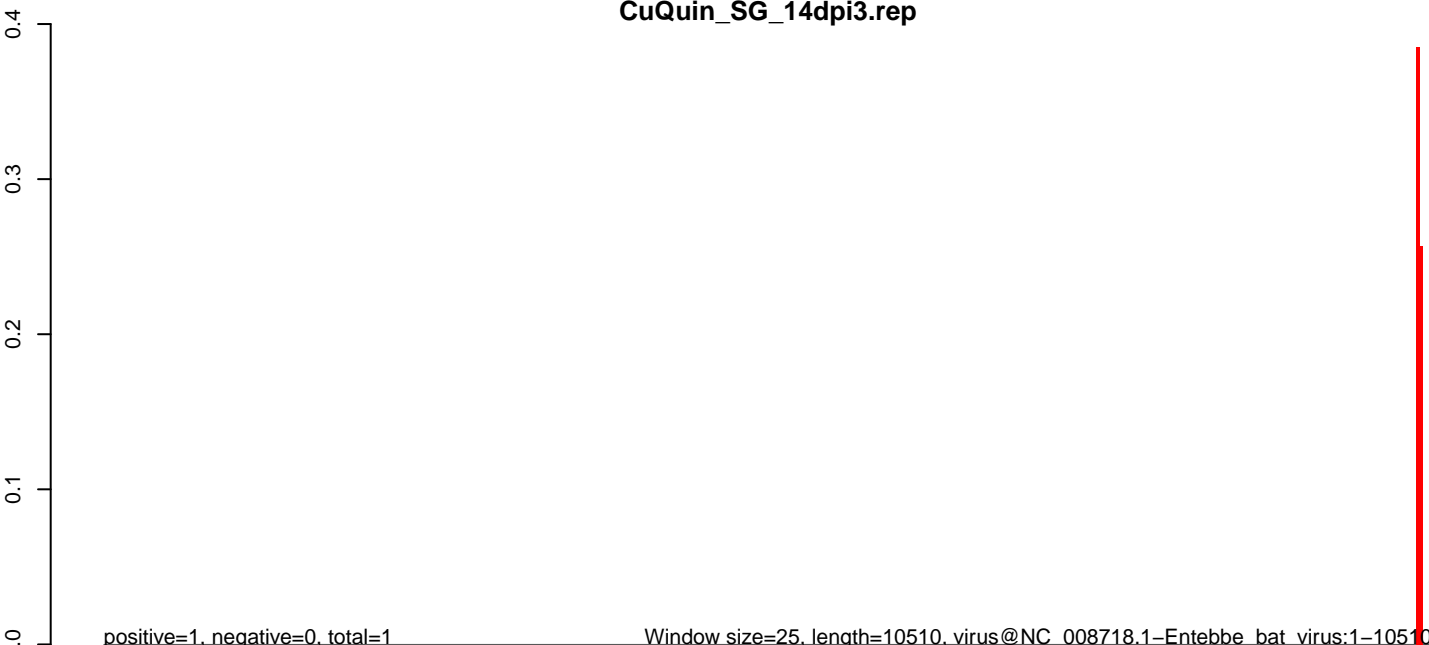
positive=1, negative=0, total=1

CuQuin_SG_14dpi3.24_35.rep



positive=0, negative=0, total=0

CuQuin_SG_14dpi3.rep

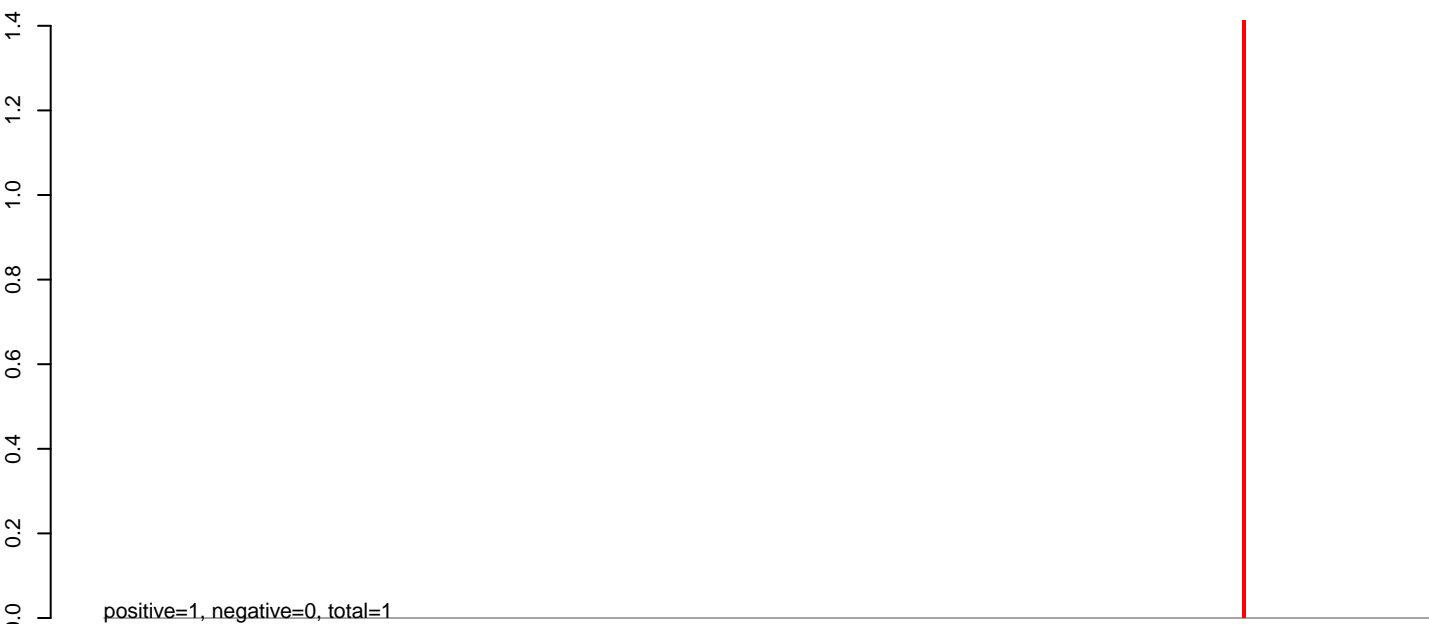


positive=1, negative=0, total=1

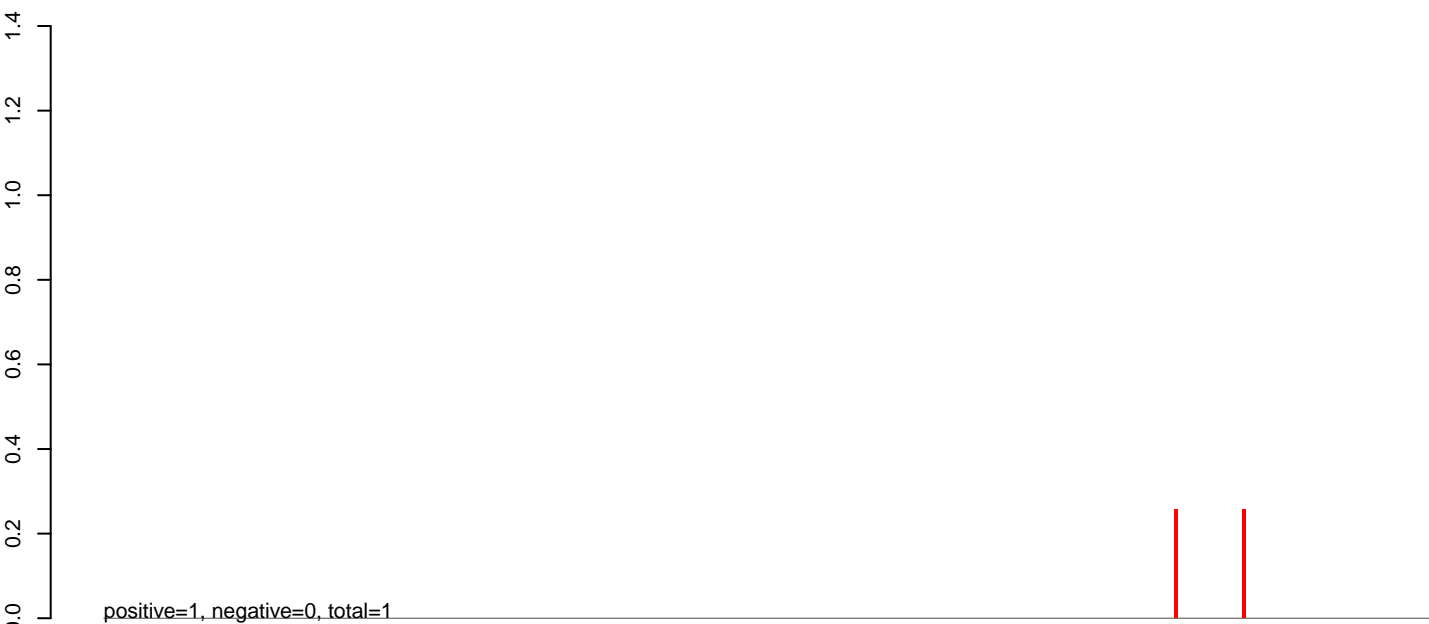
Window size=25, length=10510, virus@NC_008718.1-Entebbe_bat_virus:1-10510

0 2000 4000 6000 8000 10000

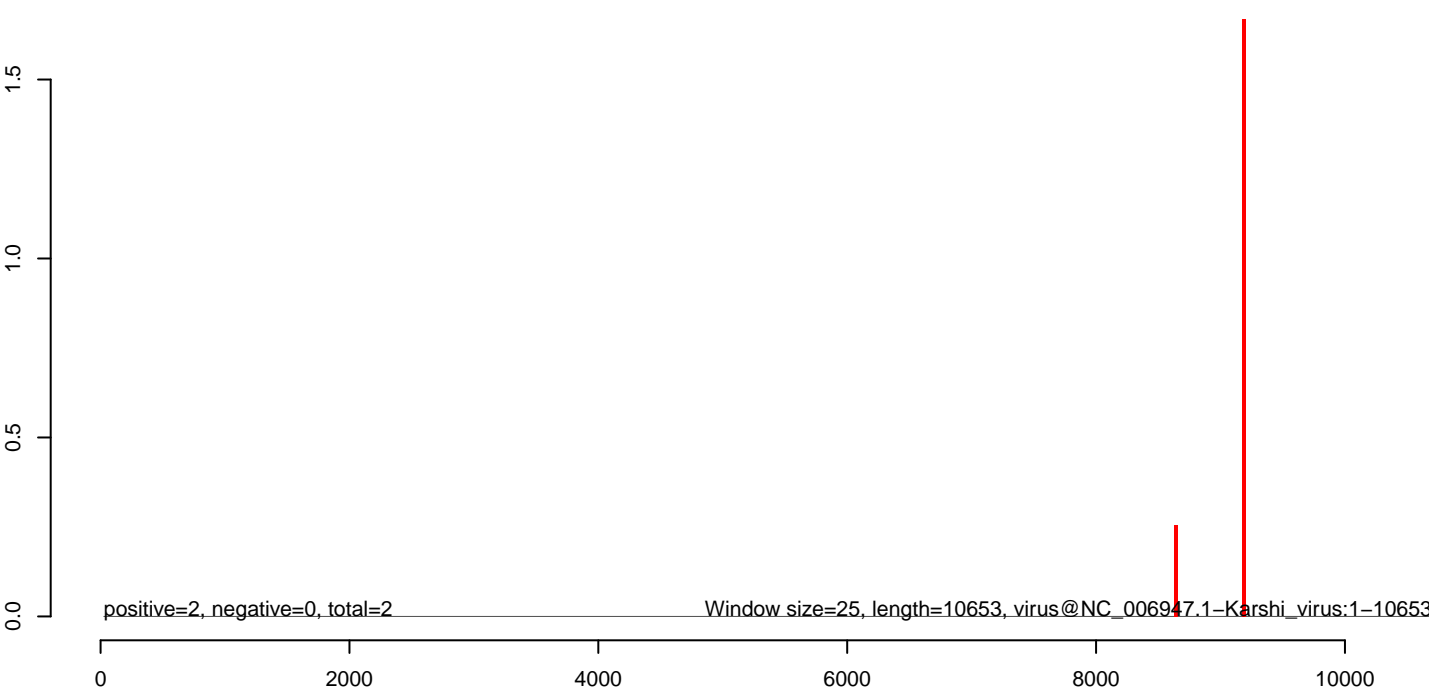
CuQuin_SG_14dpi3.18_23.rep



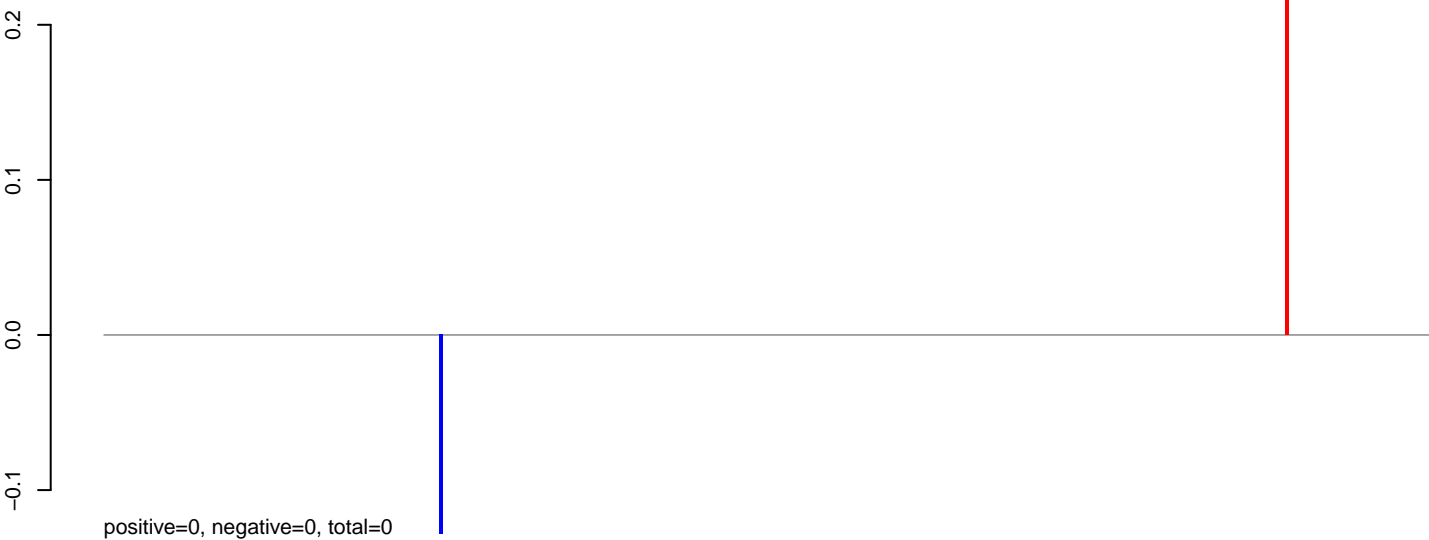
CuQuin_SG_14dpi3.24_35.rep



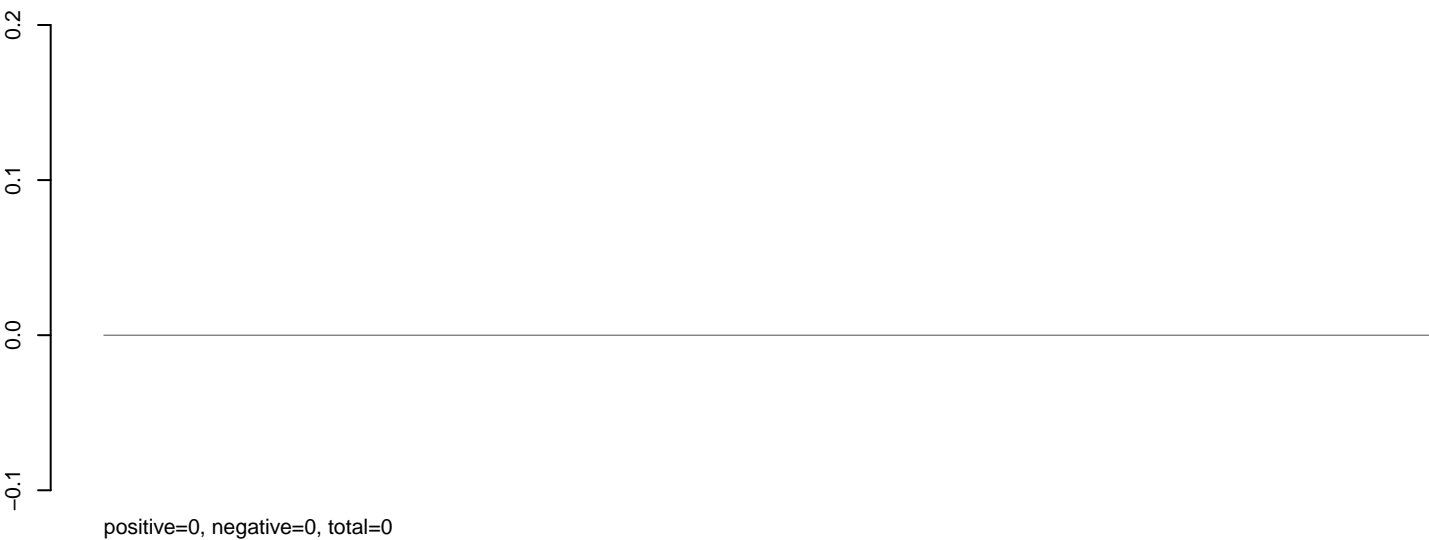
CuQuin_SG_14dpi3.rep



CuQuin_SG_14dpi3.18_23.rep



CuQuin_SG_14dpi3.24_35.rep

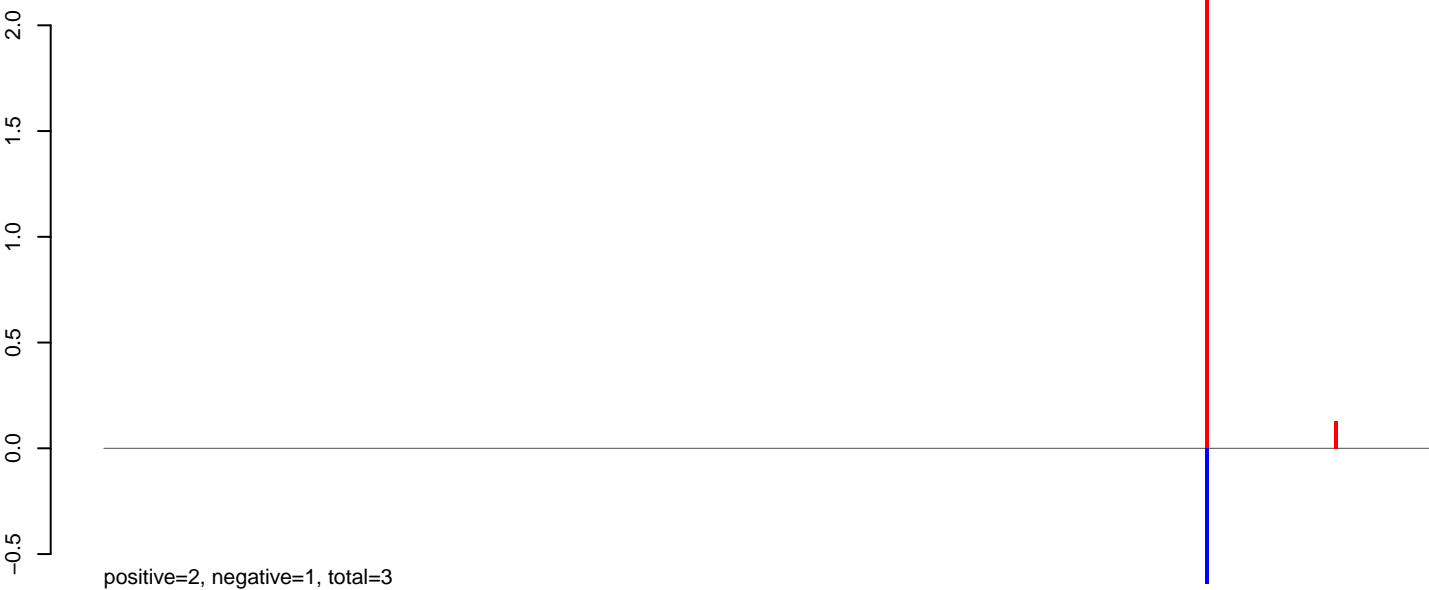


CuQuin_SG_14dpi3.rep

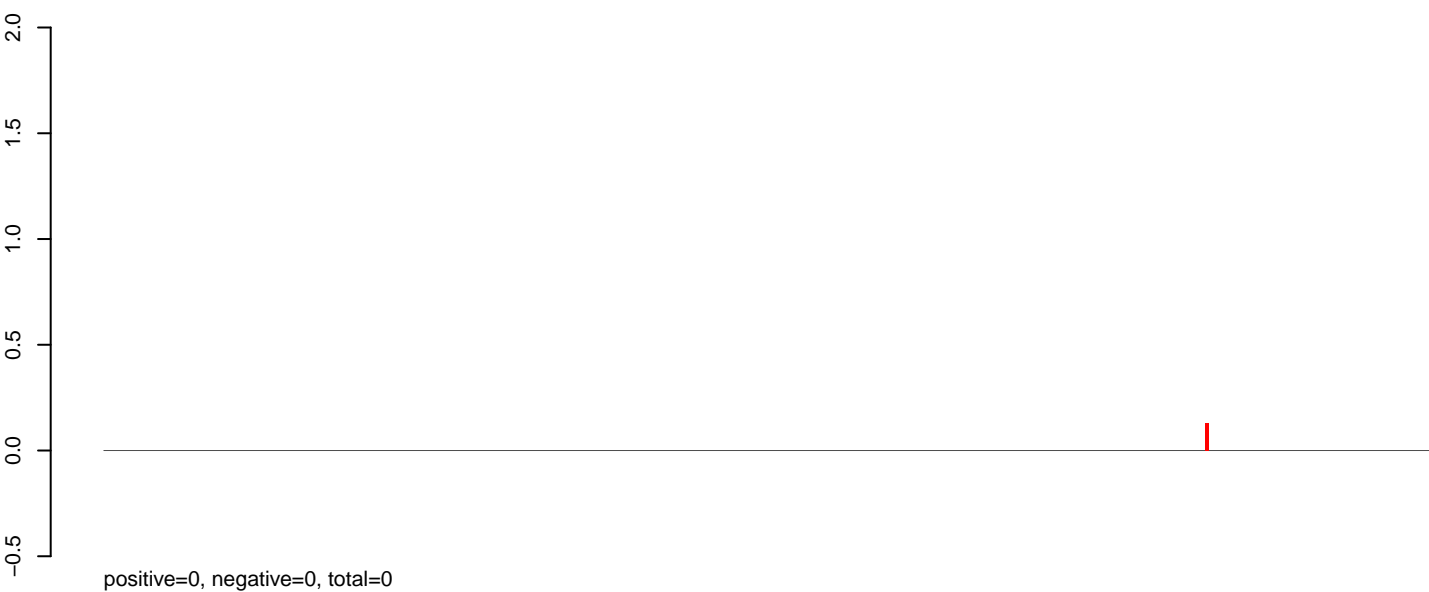


0 2000 4000 6000 8000 10000

CuQuin_SG_14dpi3.18_23.rep



CuQuin_SG_14dpi3.24_35.rep



CuQuin_SG_14dpi3.rep

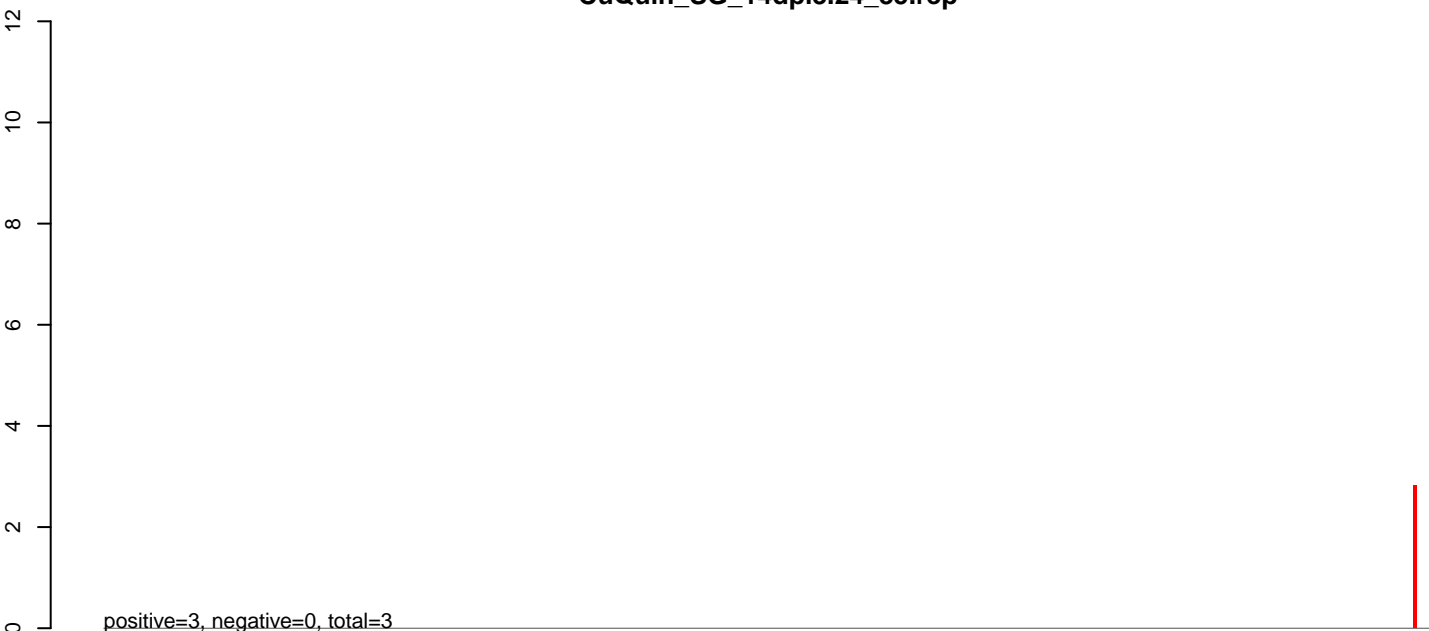


0 2000 4000 6000 8000 10000

CuQuin_SG_14dpi3.18_23.rep



CuQuin_SG_14dpi3.24_35.rep

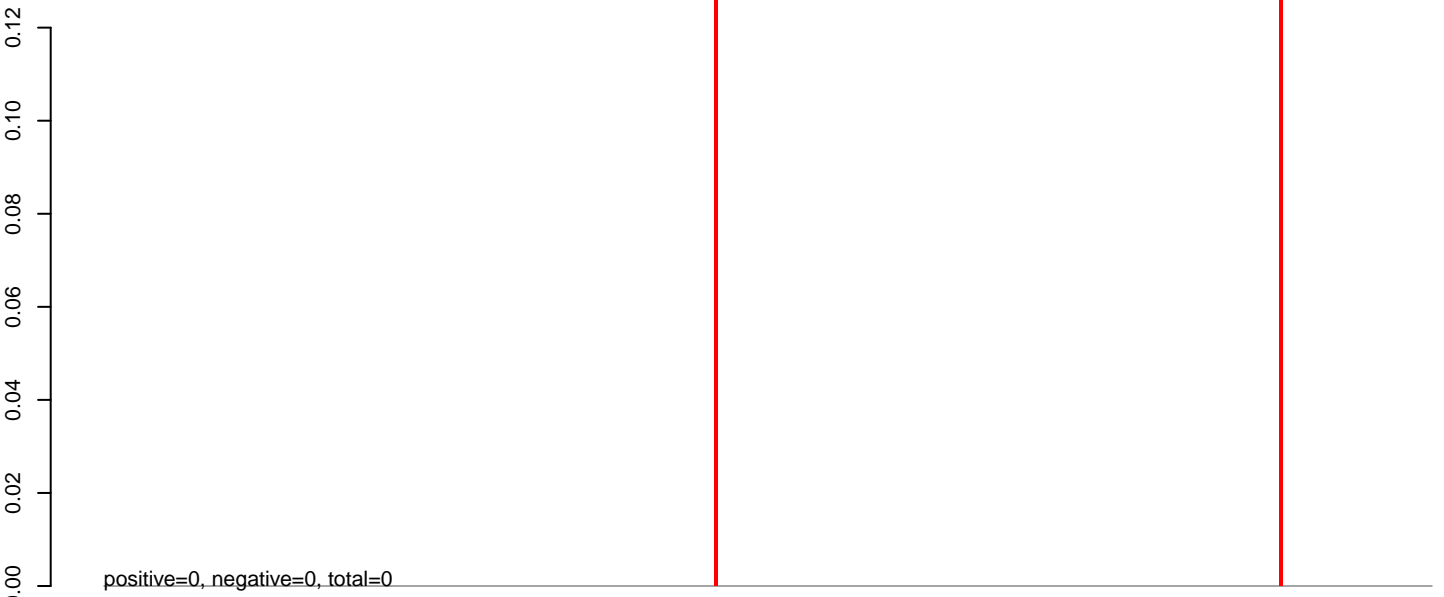


CuQuin_SG_14dpi3.rep

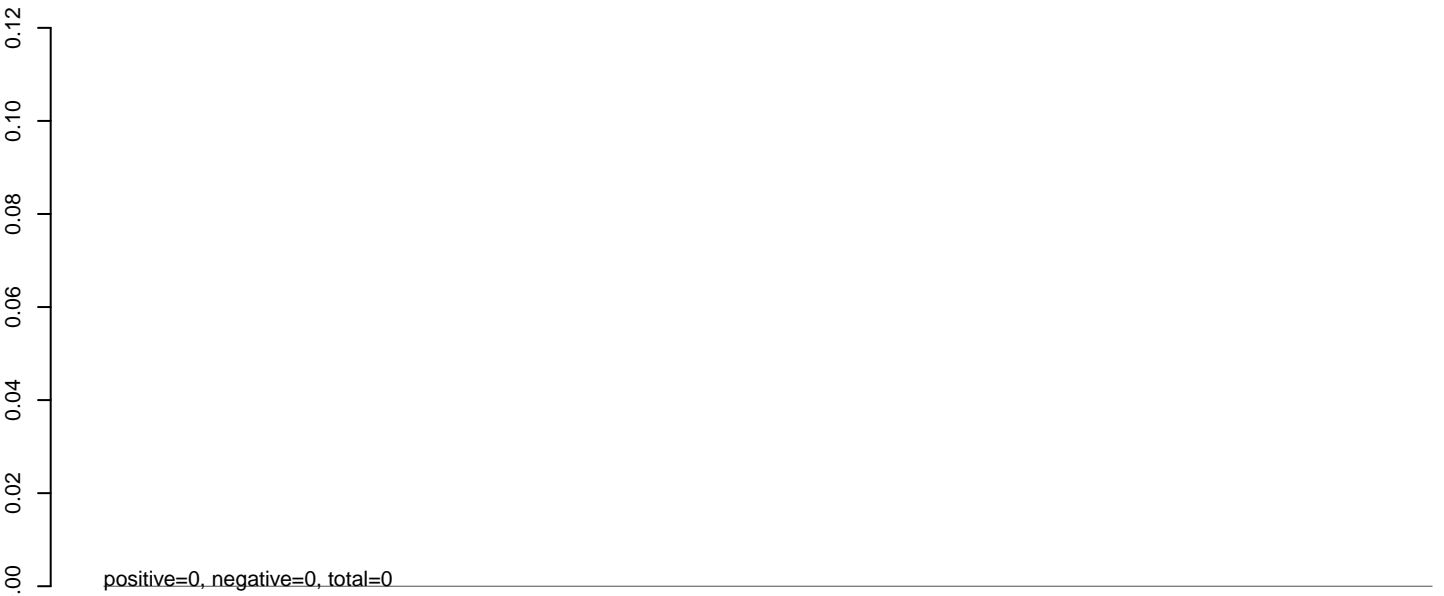


0 2000 4000 6000 8000 10000

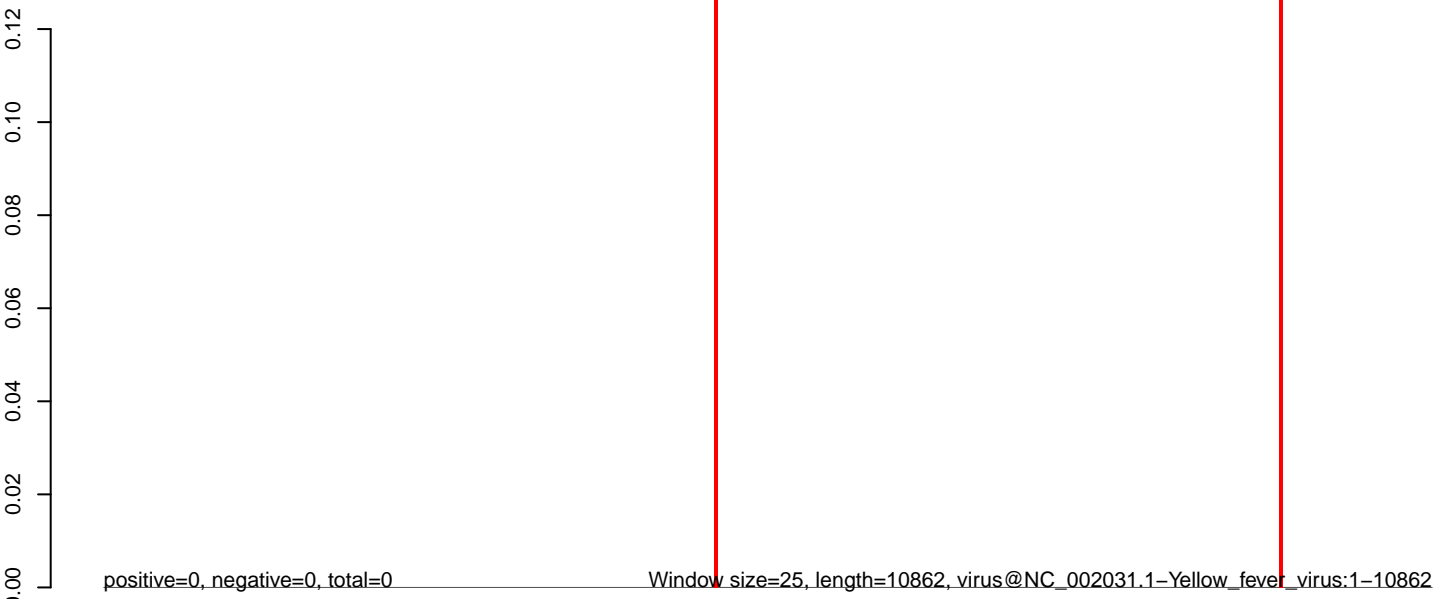
CuQuin_SG_14dpi3.18_23.rep



CuQuin_SG_14dpi3.24_35.rep

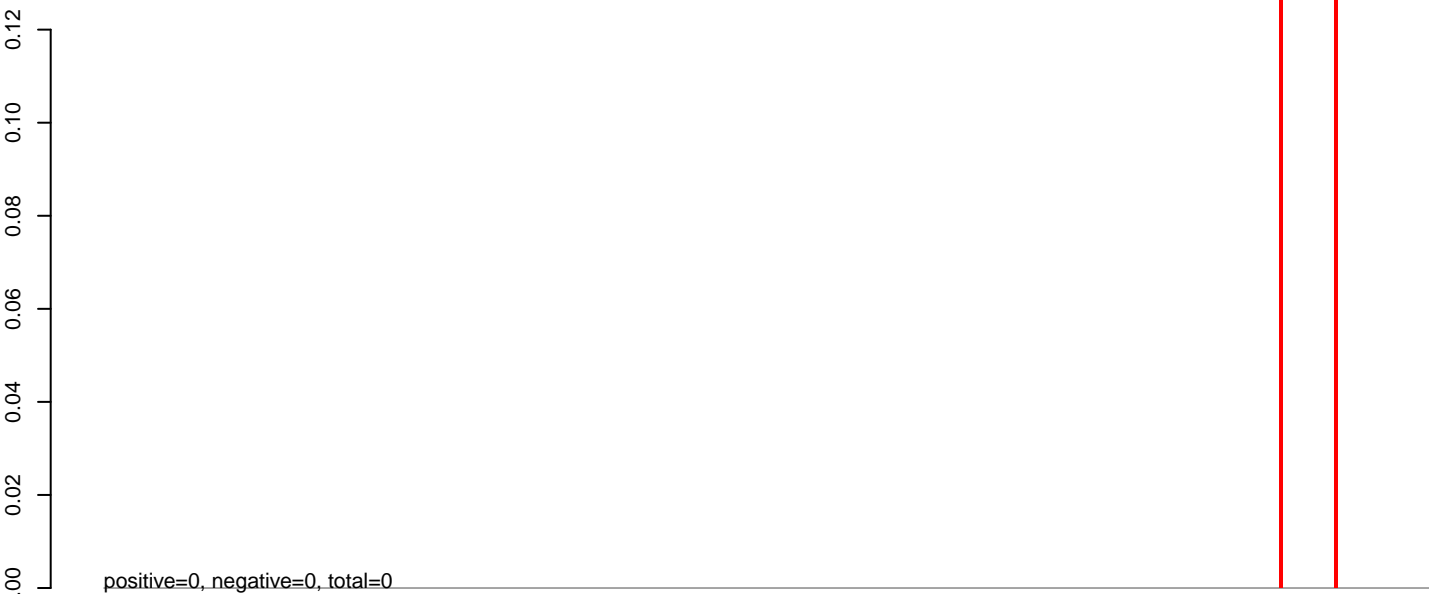


CuQuin_SG_14dpi3.rep

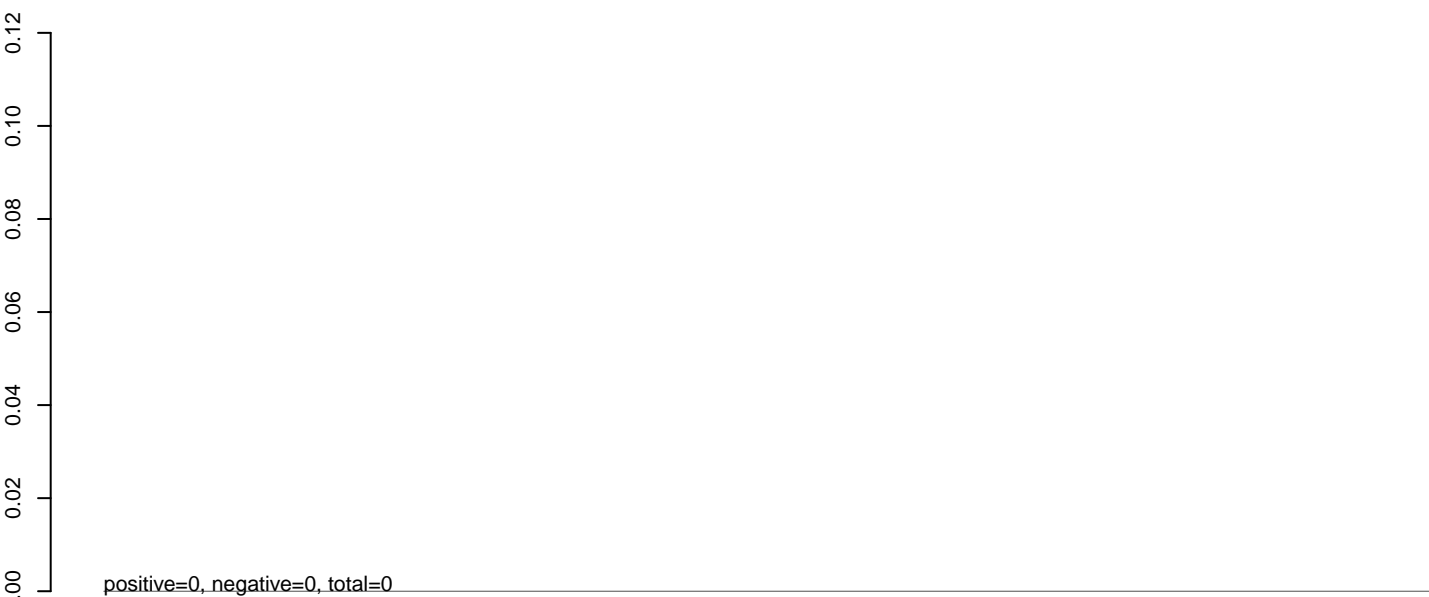


0 2000 4000 6000 8000 10000

CuQuin_SG_14dpi3.18_23.rep



CuQuin_SG_14dpi3.24_35.rep

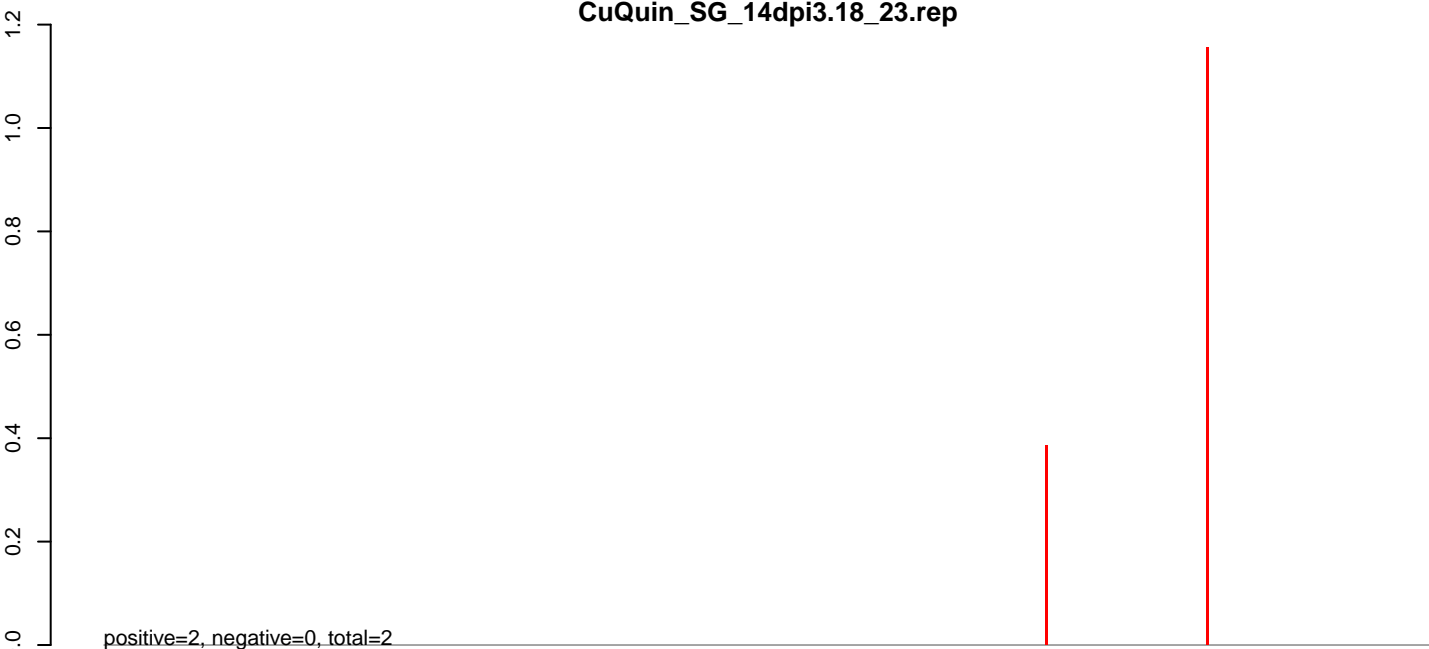


CuQuin_SG_14dpi3.rep

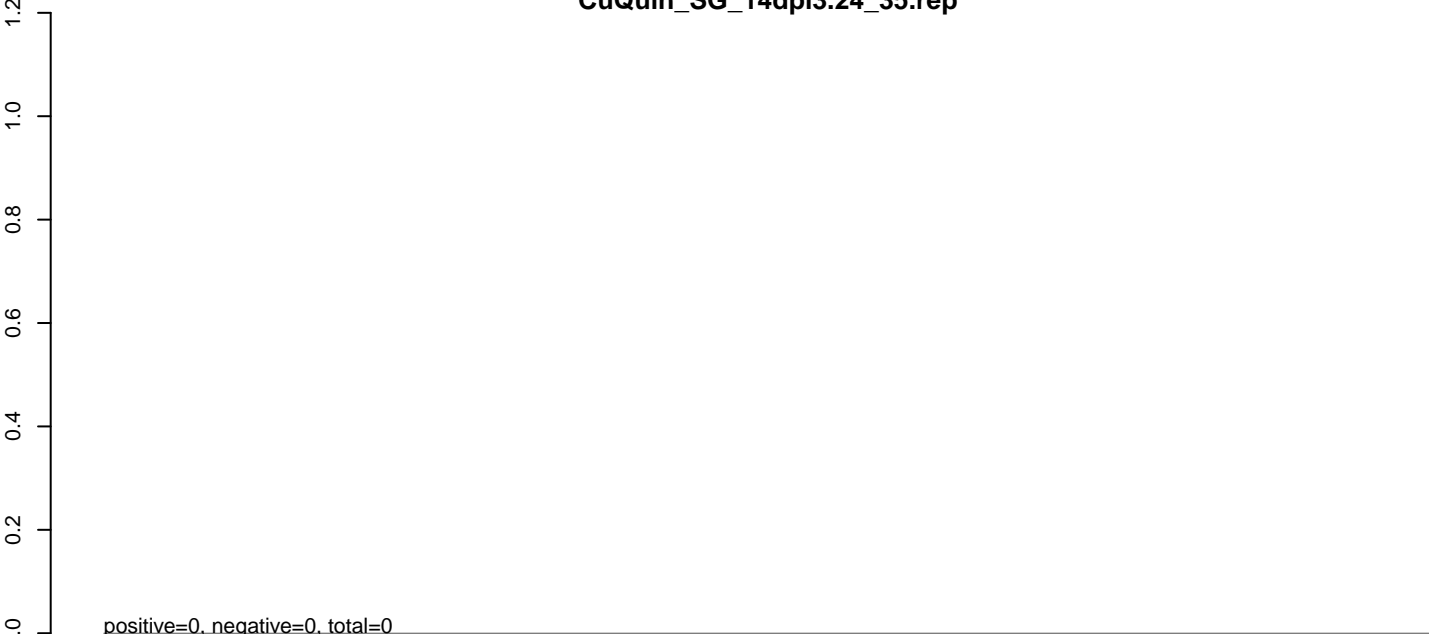


0 2000 4000 6000 8000 10000

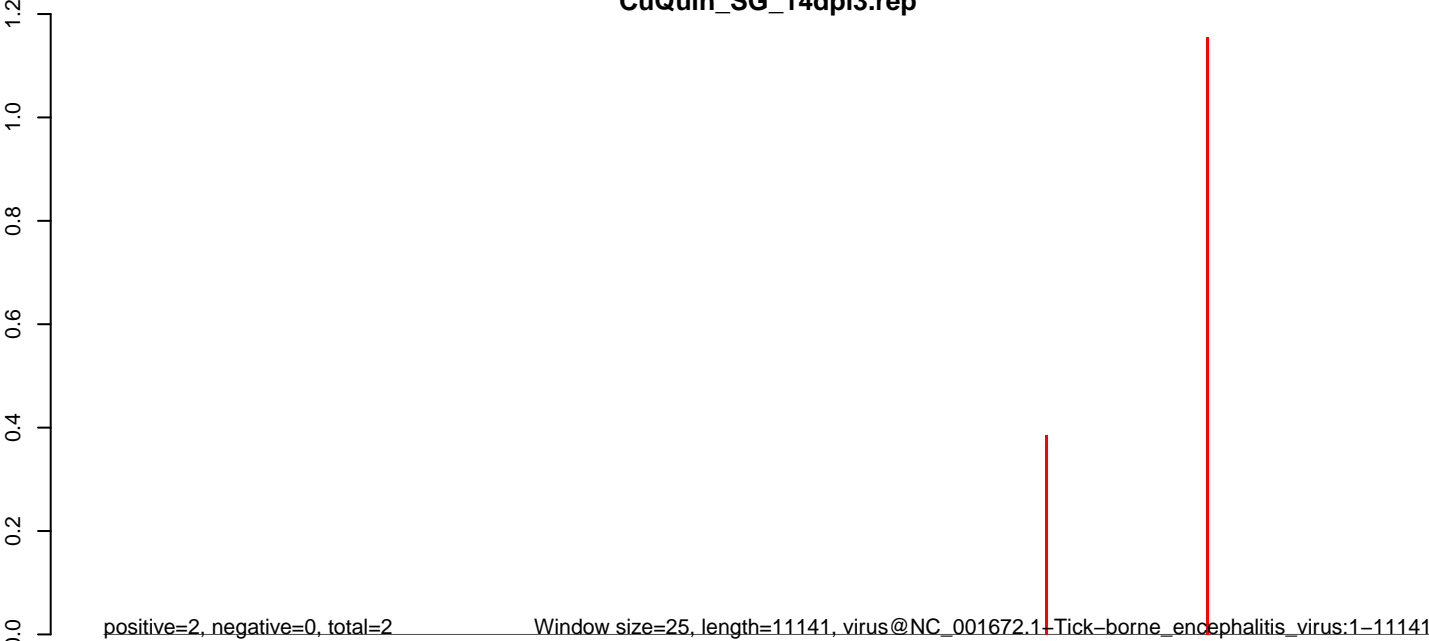
CuQuin_SG_14dpi3.18_23.rep



CuQuin_SG_14dpi3.24_35.rep



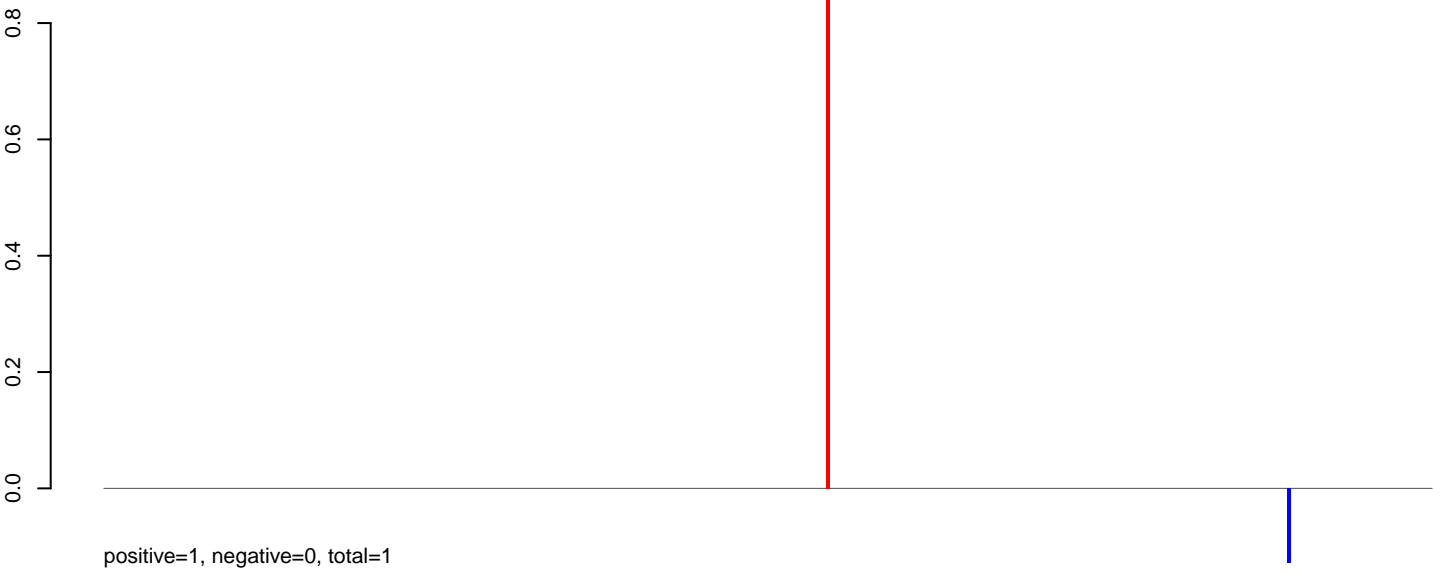
CuQuin_SG_14dpi3.rep



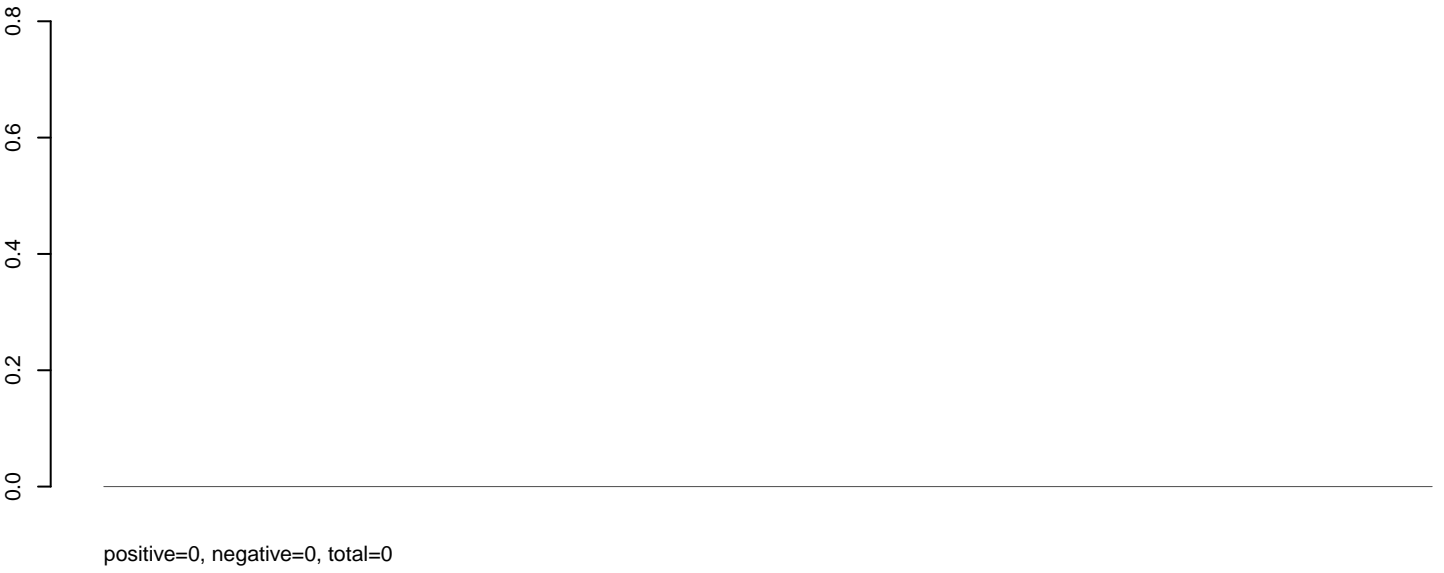
Window size=25, length=11141, virus@NC_001672.1-Tick-borne encephalitis virus:1-11141

0 2000 4000 6000 8000 10000

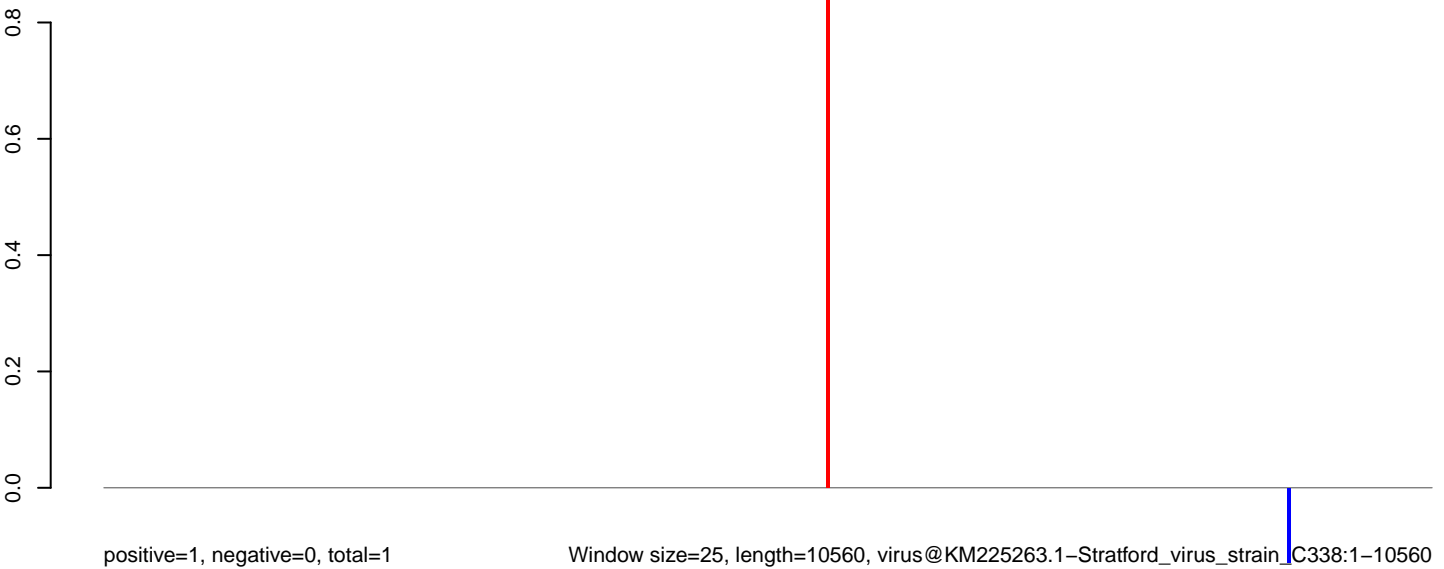
CuQuin_SG_14dpi3.18_23.rep



CuQuin_SG_14dpi3.24_35.rep



CuQuin_SG_14dpi3.rep

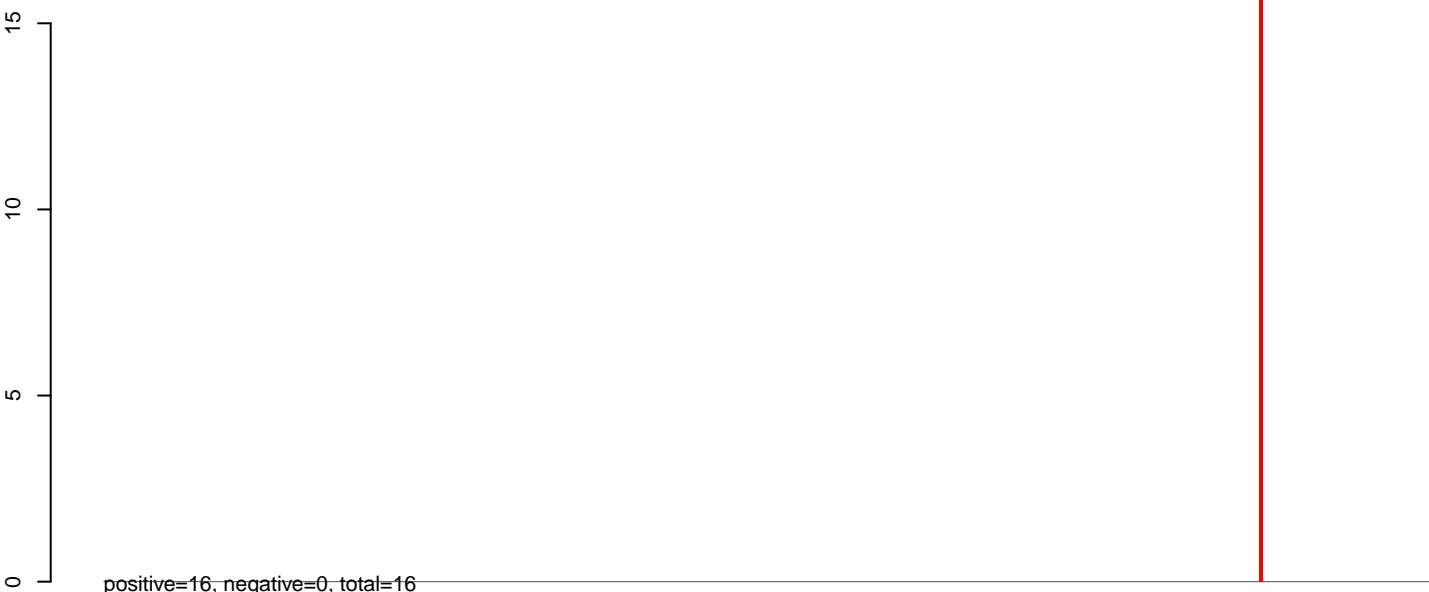


0 2000 4000 6000 8000 10000

CuQuin_SG_14dpi3.18_23.rep



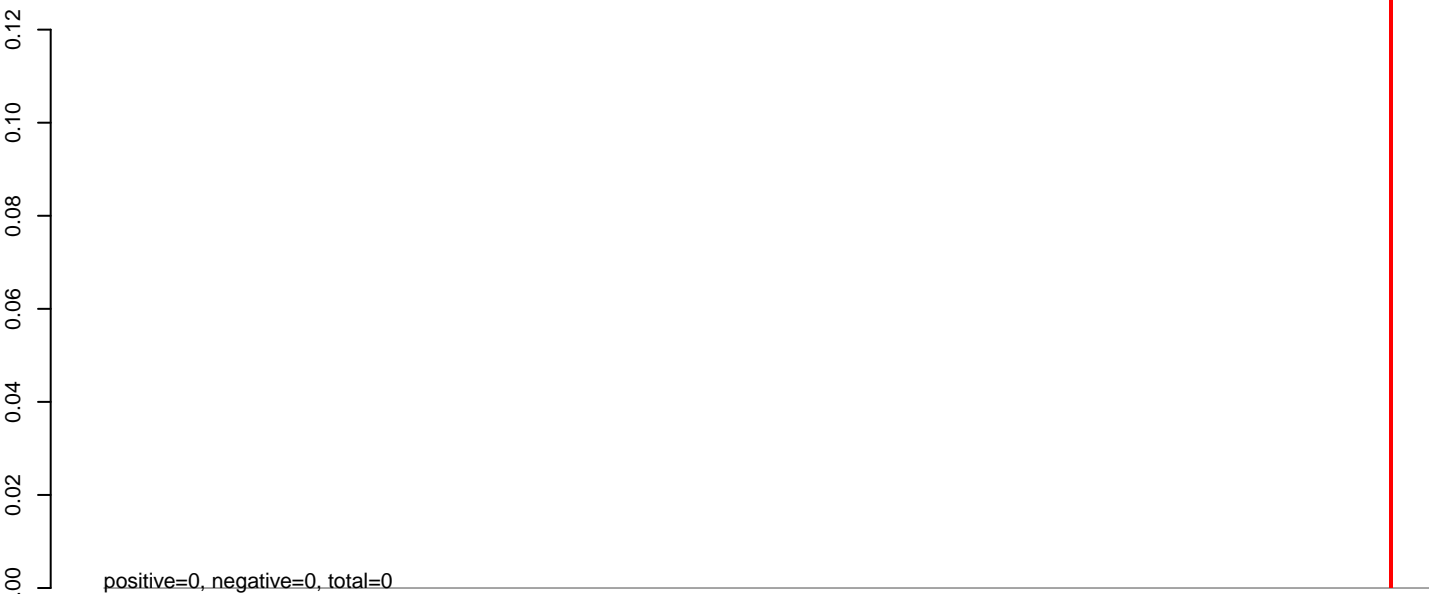
CuQuin_SG_14dpi3.24_35.rep



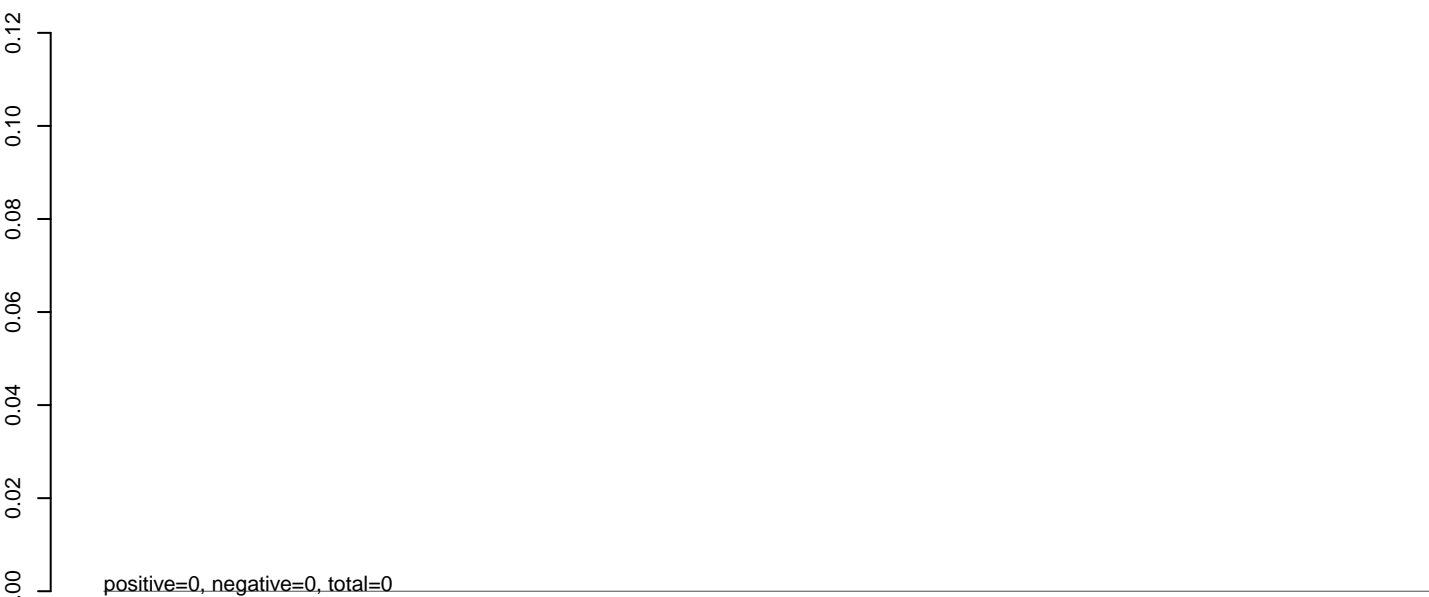
CuQuin_SG_14dpi3.rep



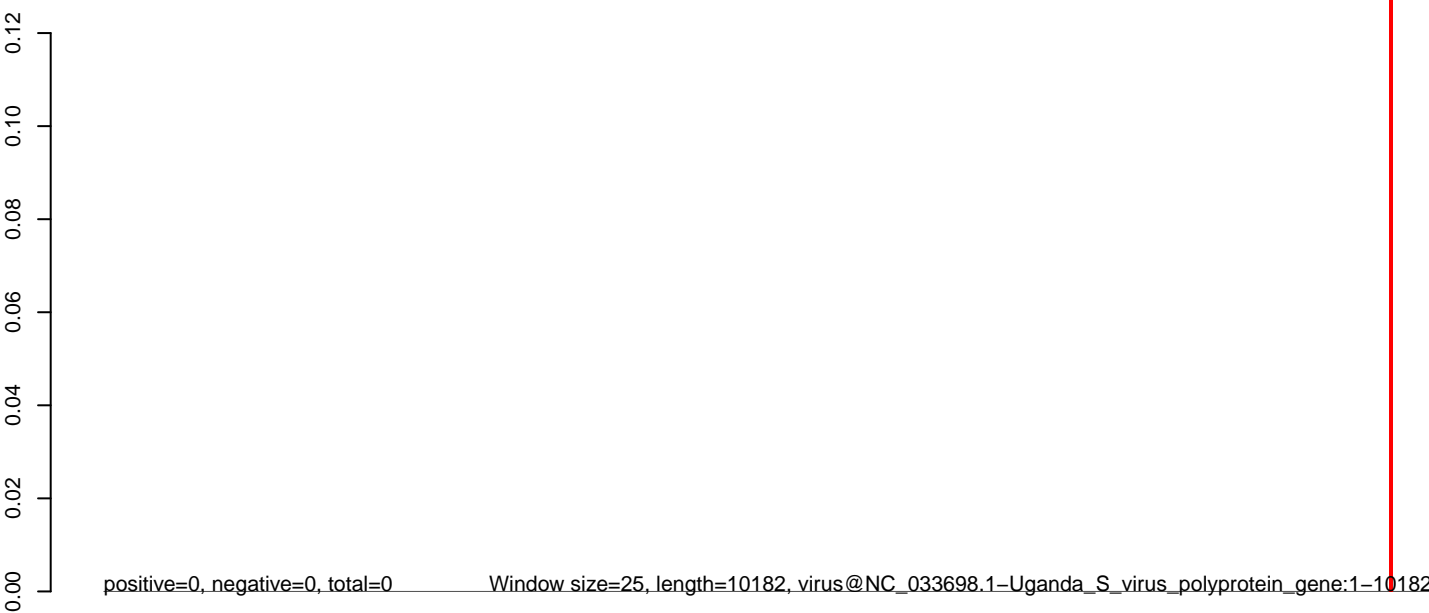
CuQuin_SG_14dpi3.18_23.rep



CuQuin_SG_14dpi3.24_35.rep

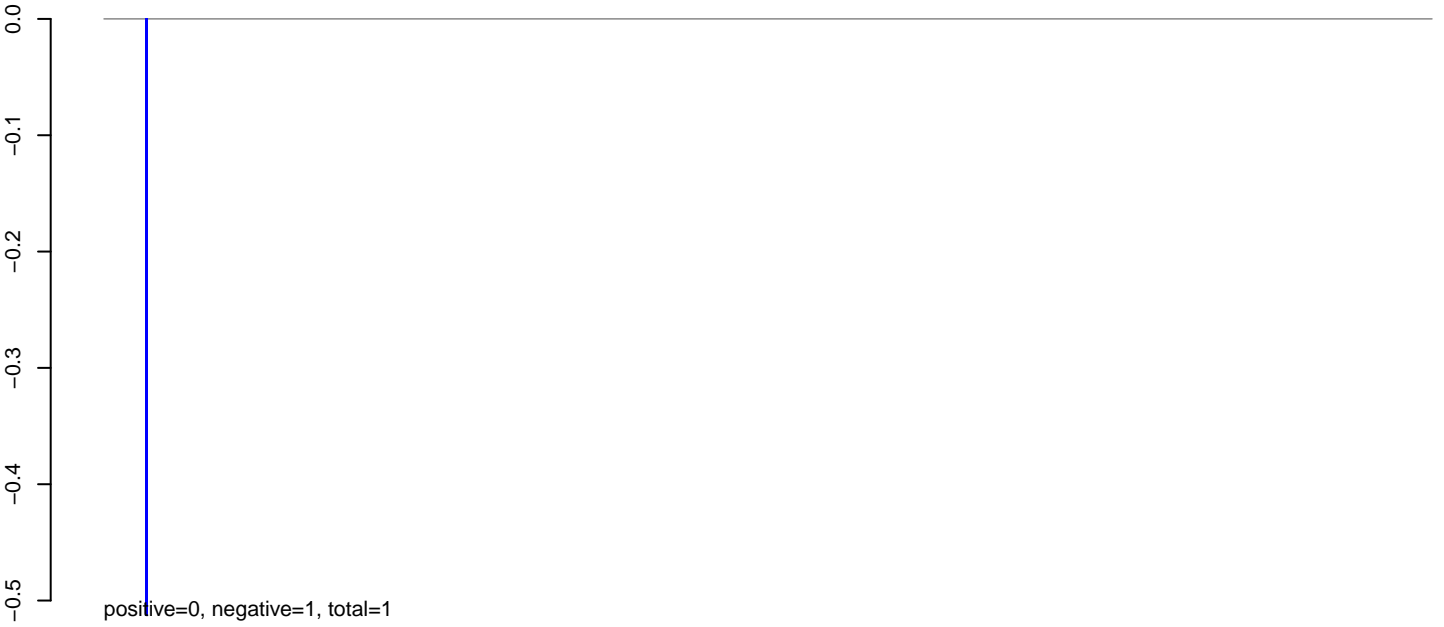


CuQuin_SG_14dpi3.rep

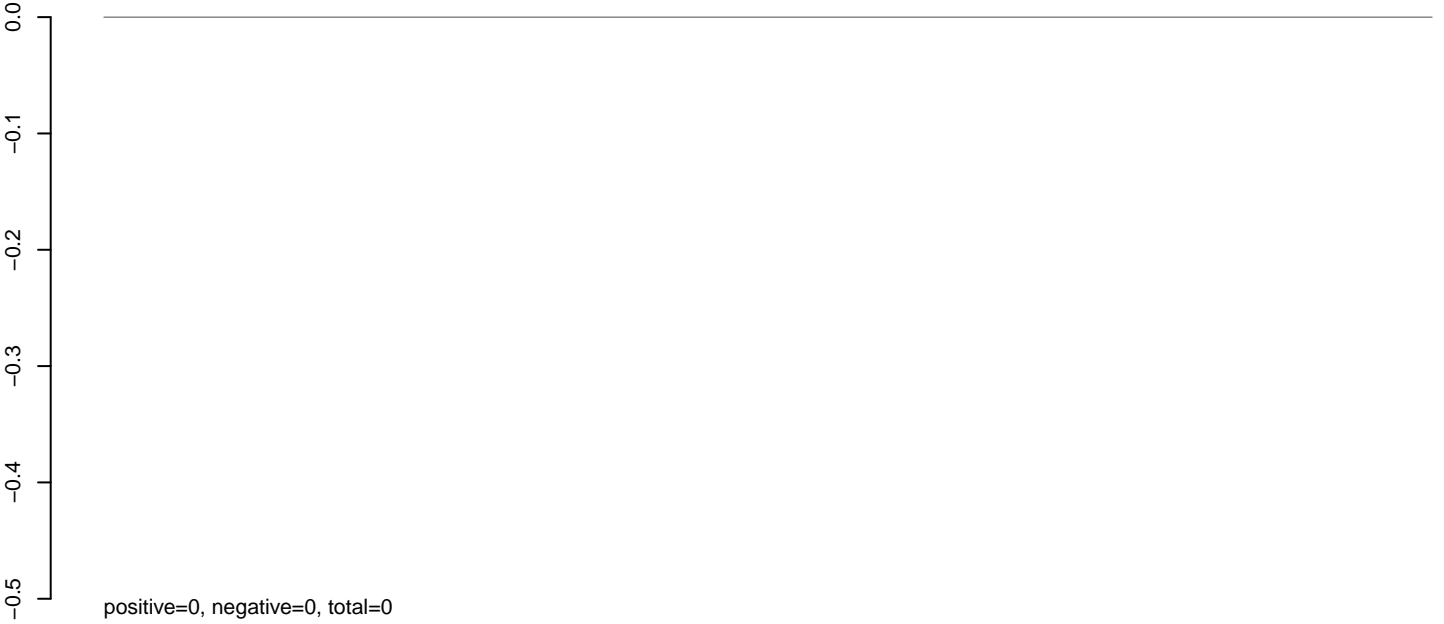


0 2000 4000 6000 8000 10000

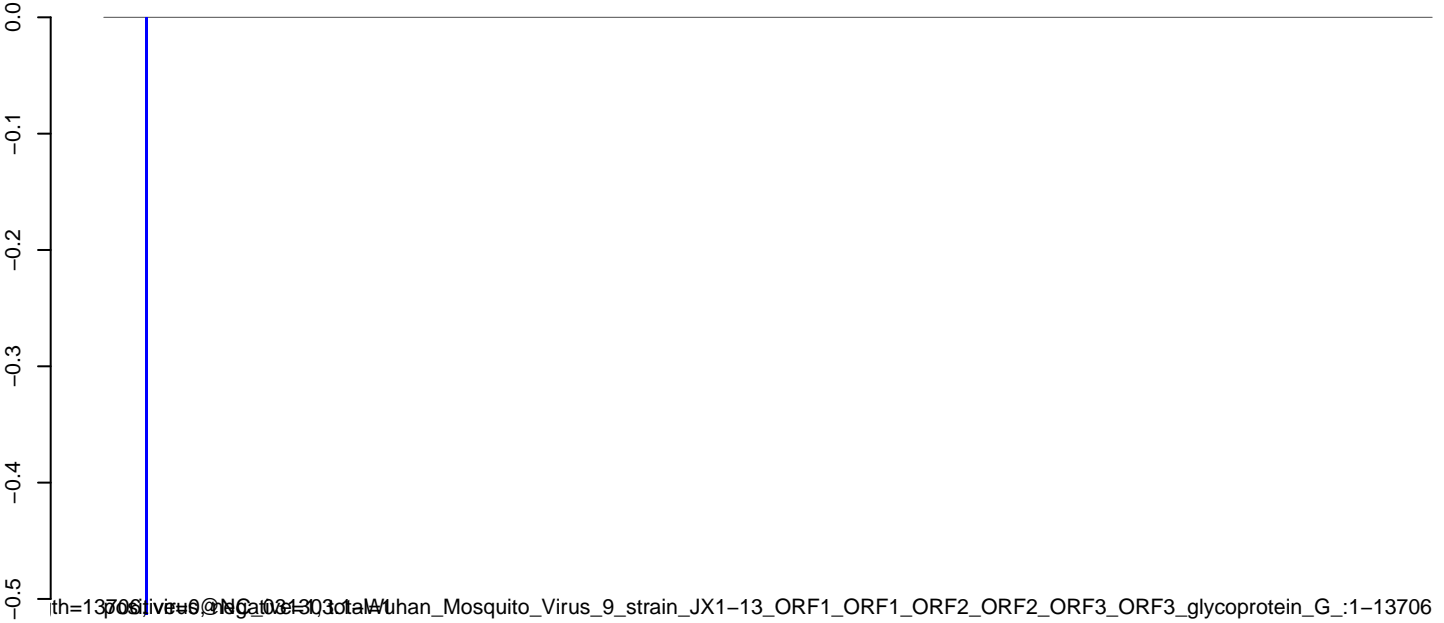
CuQuin_SG_14dpi3.18_23.rep



CuQuin_SG_14dpi3.24_35.rep



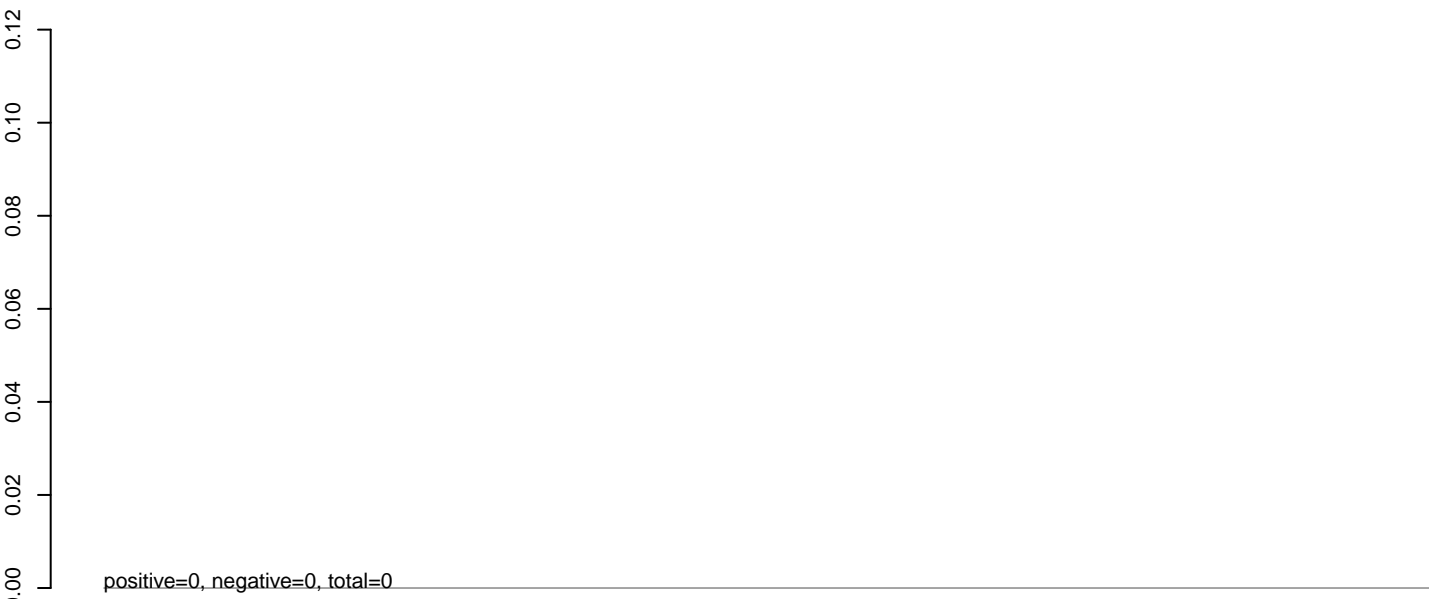
CuQuin_SG_14dpi3.rep



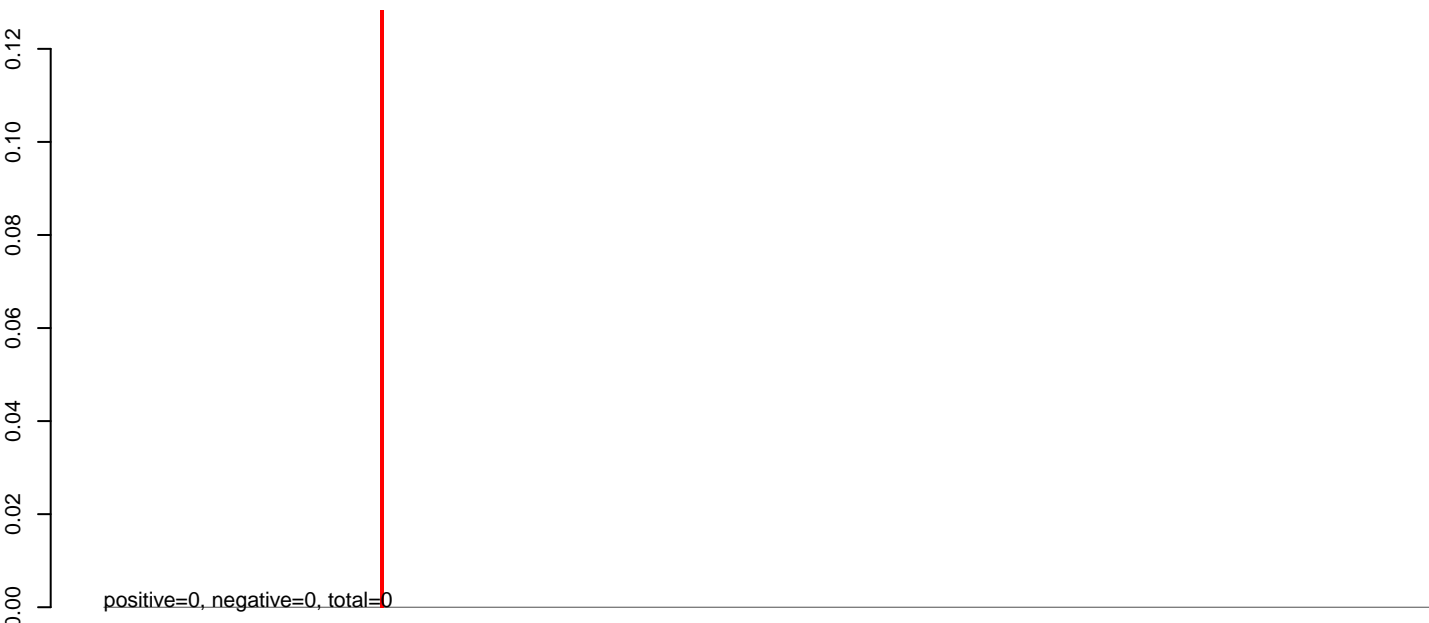
th=13706, positive=0, negative=1, total=1, Wuhan_Mosquito_Virus_9_strain_JX1-13_ORF1_ORF1_ORF2_ORF2_ORF3_ORF3_glycoprotein_G_:1-13706

0 2000 4000 6000 8000 10000 12000 14000

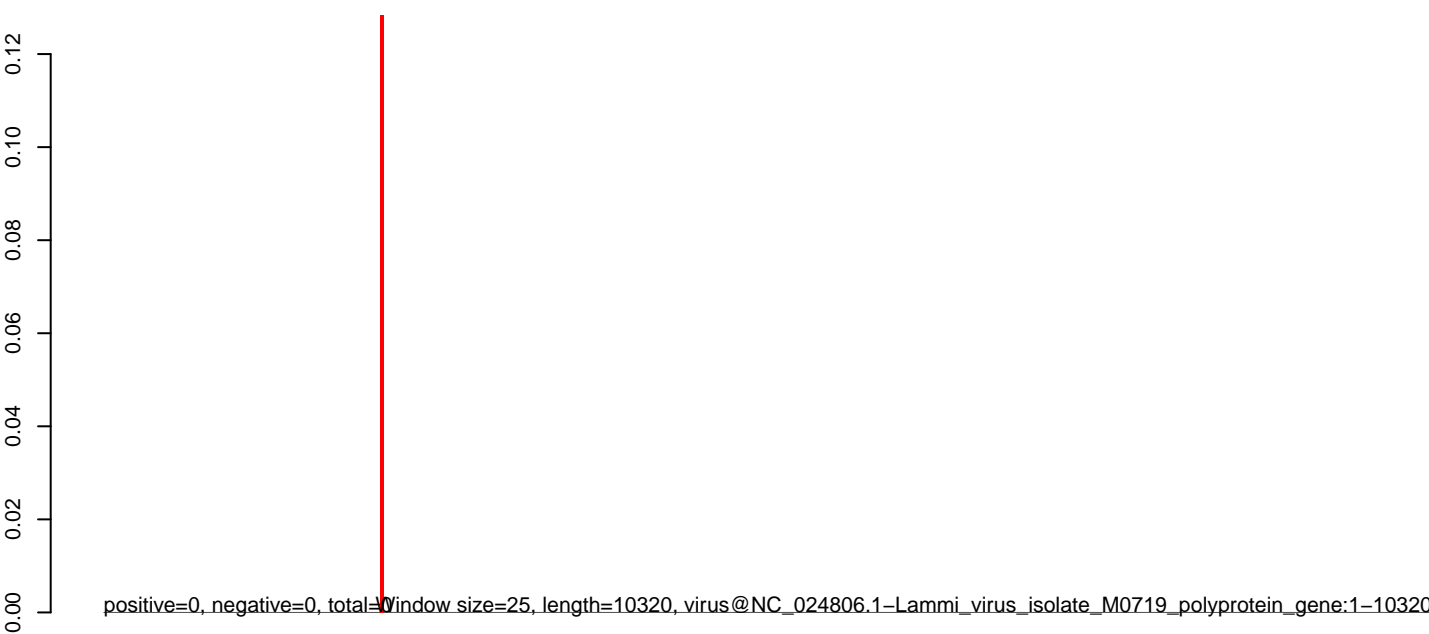
CuQuin_SG_14dpi3.18_23.rep



CuQuin_SG_14dpi3.24_35.rep



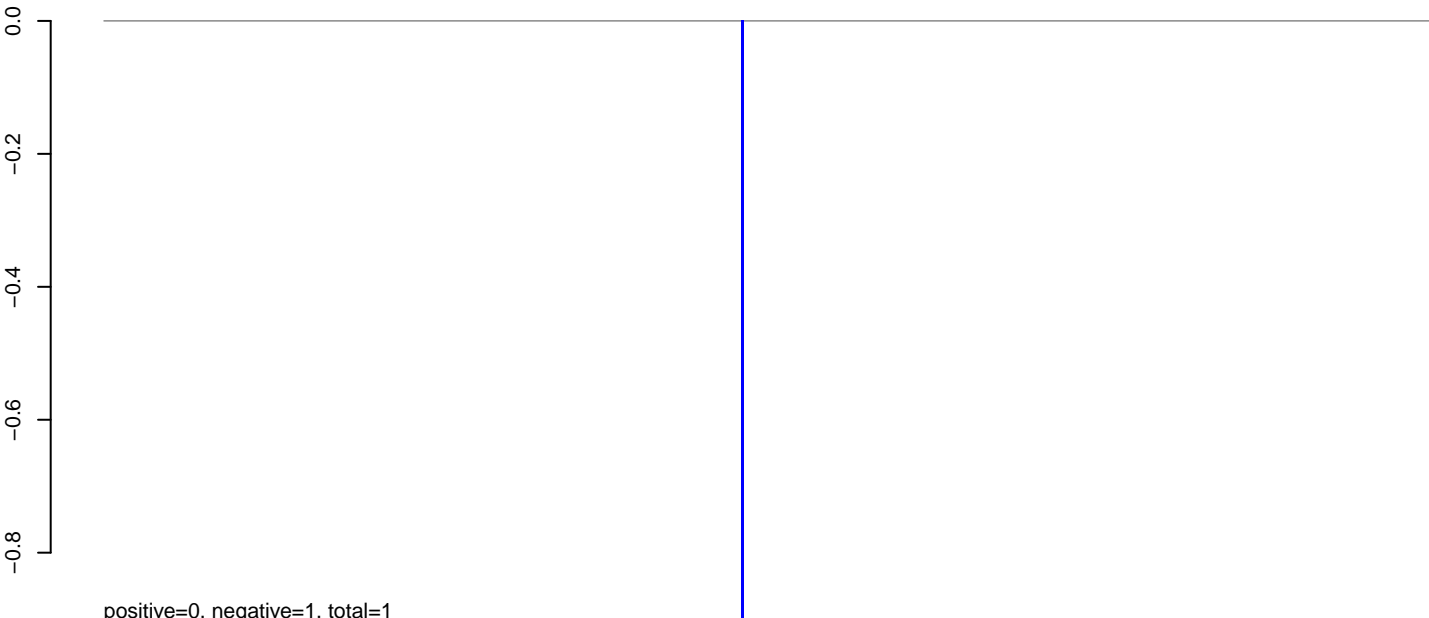
CuQuin_SG_14dpi3.rep



Window size=25, length=10320, virus@NC_024806.1-Lammi_virus_isolate_M0719_polyprotein_gene:1-10320

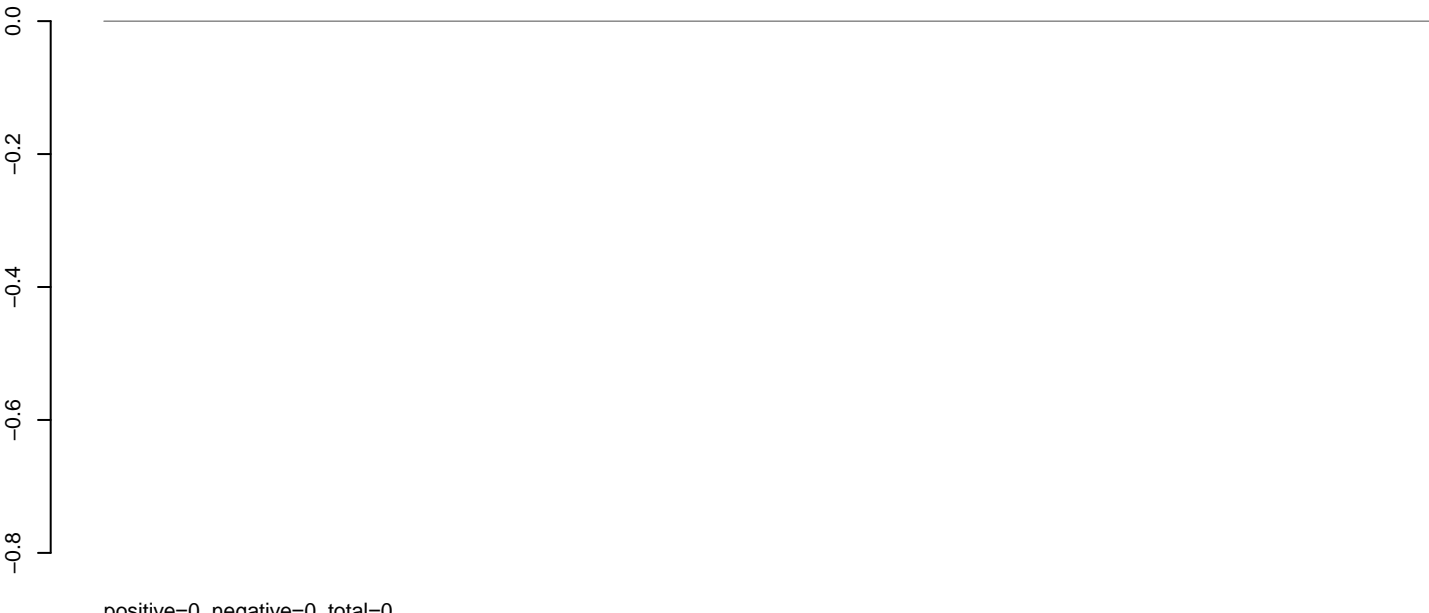
0 2000 4000 6000 8000 10000

CuQuin_SG_14dpi3.18_23.rep



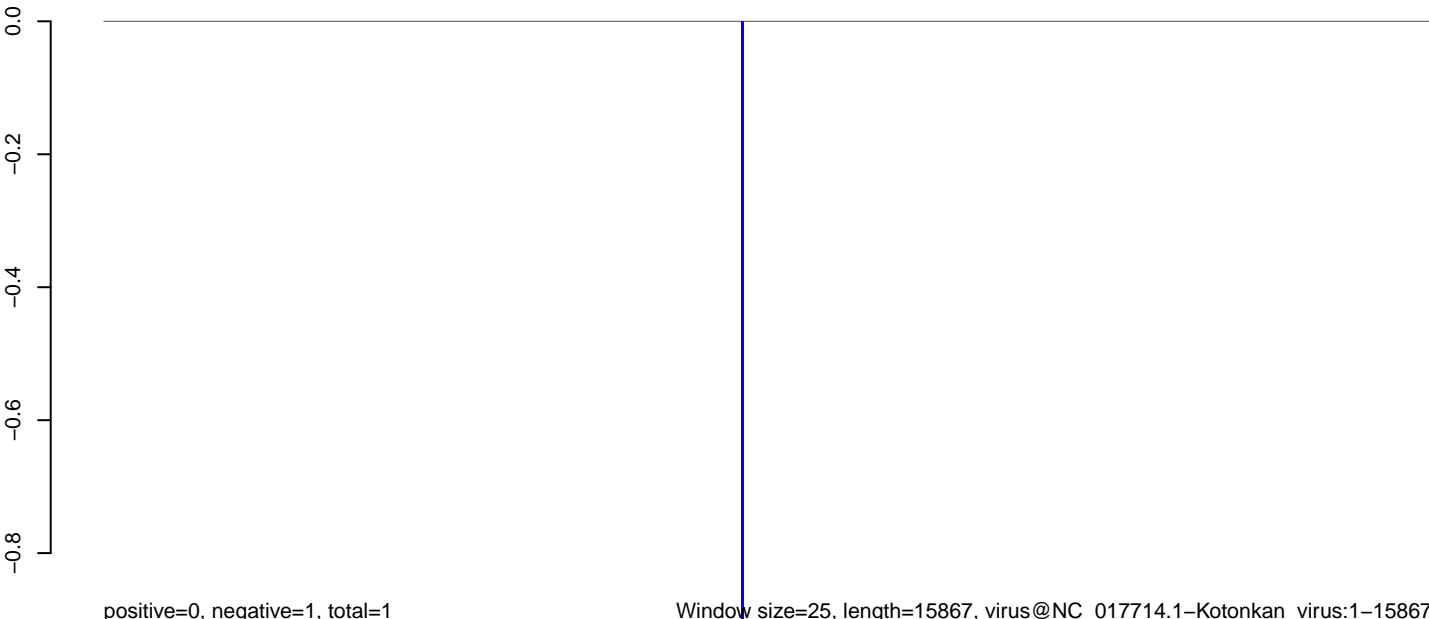
positive=0, negative=1, total=1

CuQuin_SG_14dpi3.24_35.rep



positive=0, negative=0, total=0

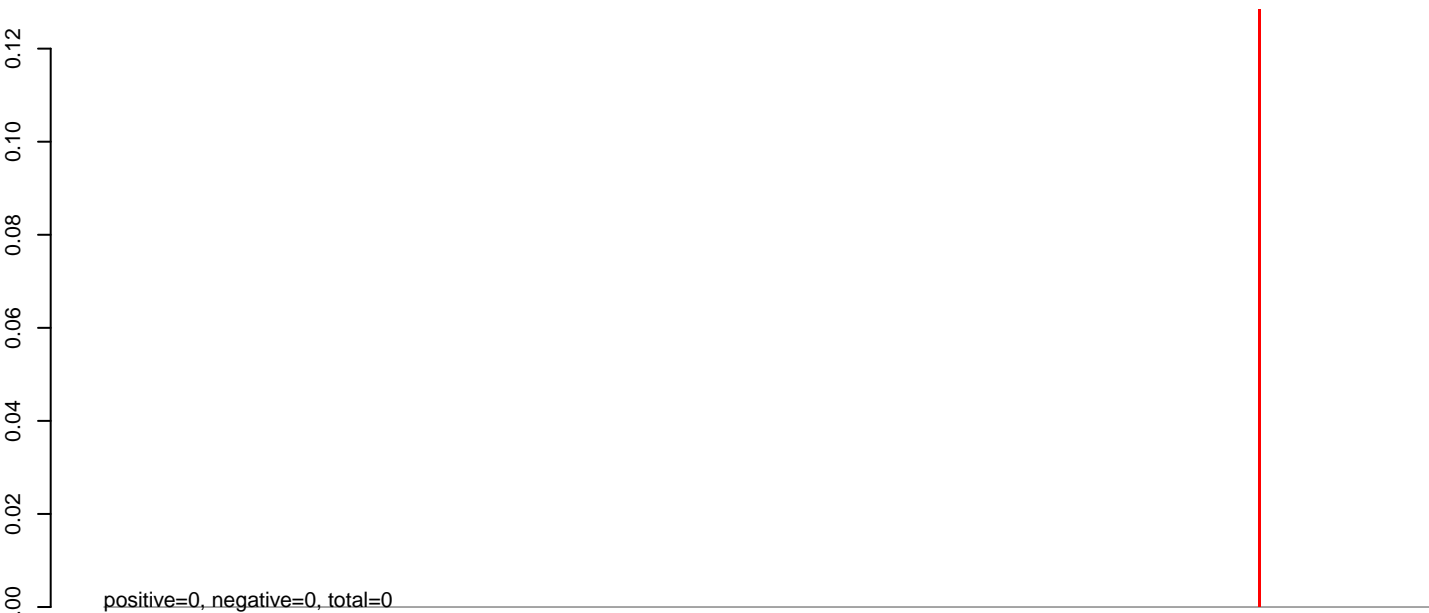
CuQuin_SG_14dpi3.rep



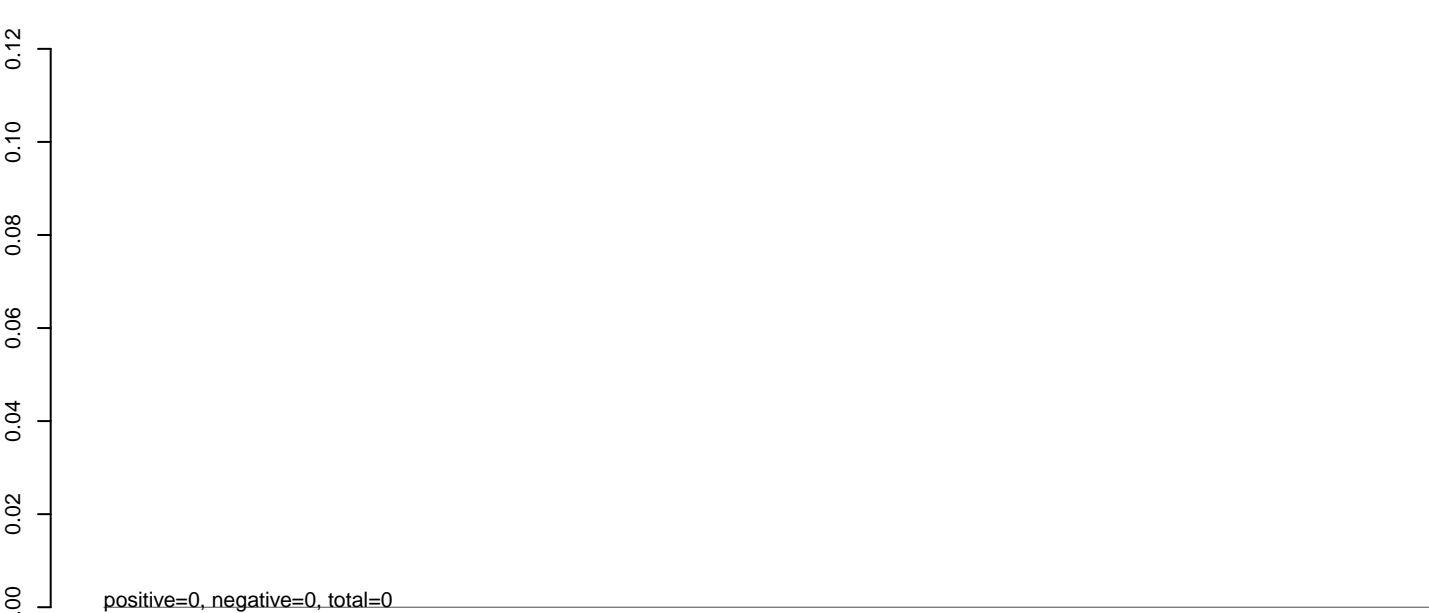
positive=0, negative=1, total=1

Window size=25, length=15867, virus@NC_017714.1-Kotonkan_virus:1-15867

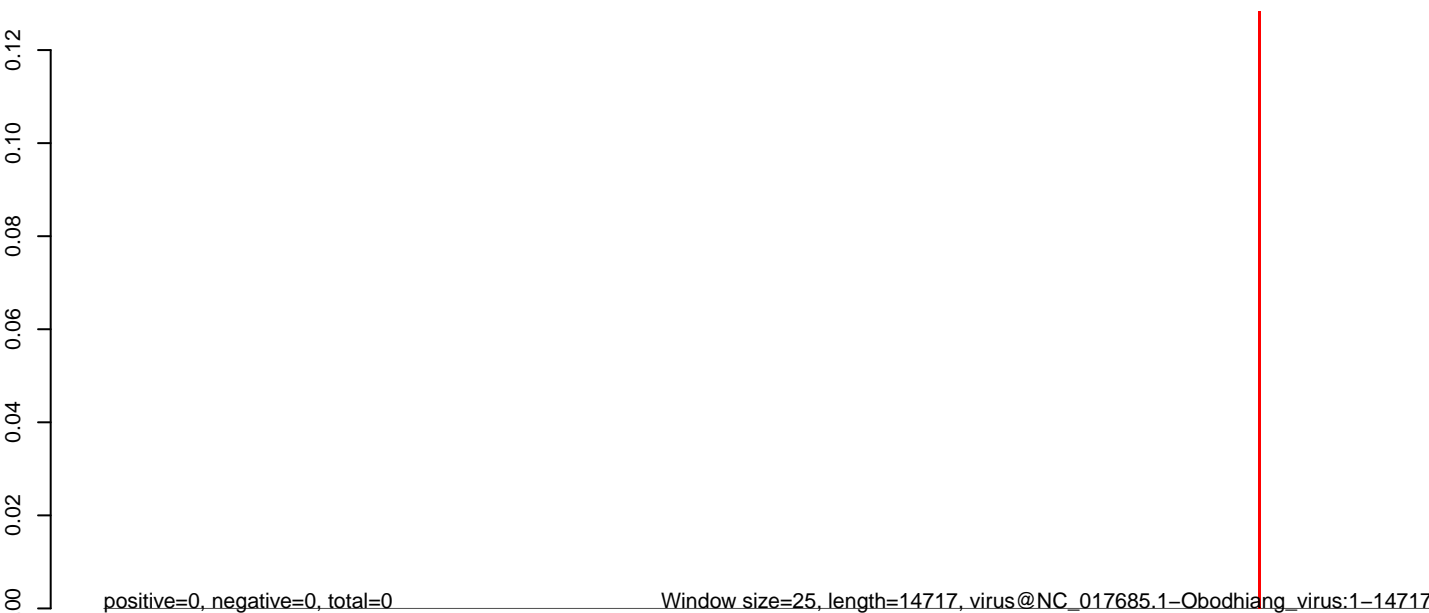
CuQuin_SG_14dpi3.18_23.rep



CuQuin_SG_14dpi3.24_35.rep



CuQuin_SG_14dpi3.rep



0 5000 10000 15000

CuQuin_SG_14dpi3.18_23.rep

0.00
-0.02
-0.04
-0.06
-0.08
-0.10
-0.12

positive=0, negative=0, total=0

CuQuin_SG_14dpi3.24_35.rep

0.00
-0.02
-0.04
-0.06
-0.08
-0.10
-0.12

positive=0, negative=0, total=0

CuQuin_SG_14dpi3.rep

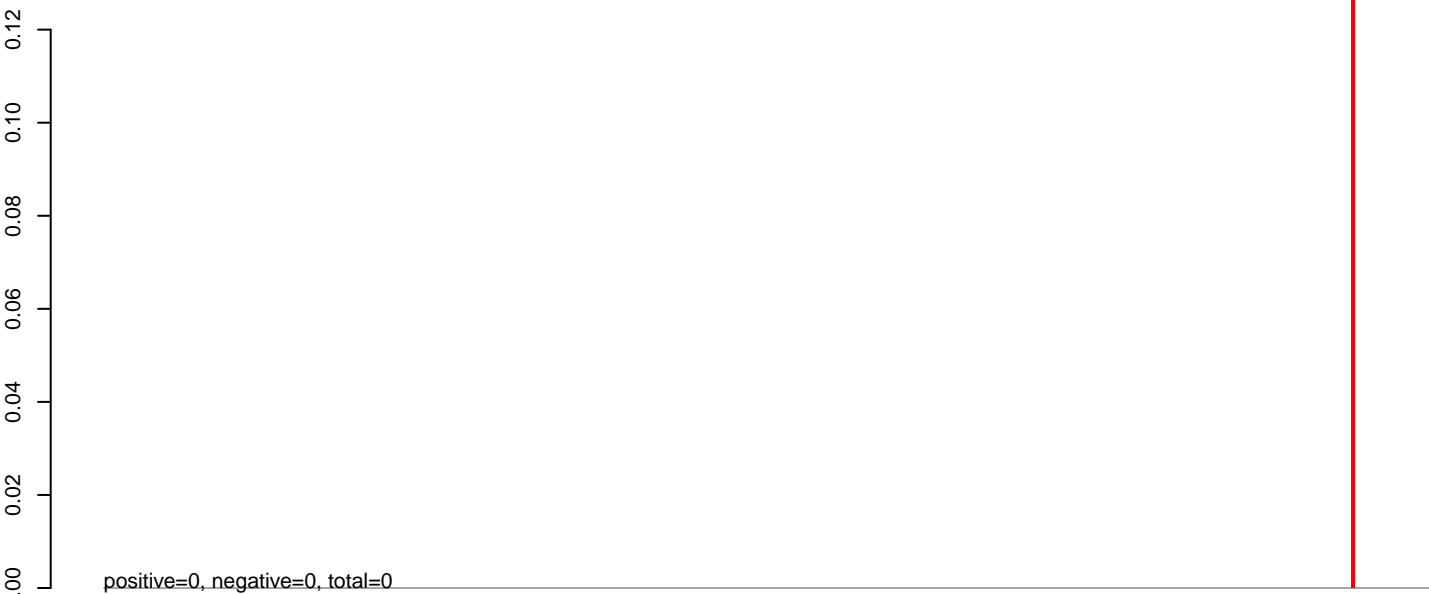
0.00
-0.02
-0.04
-0.06
-0.08
-0.10
-0.12

positive=0, negative=0, total=0

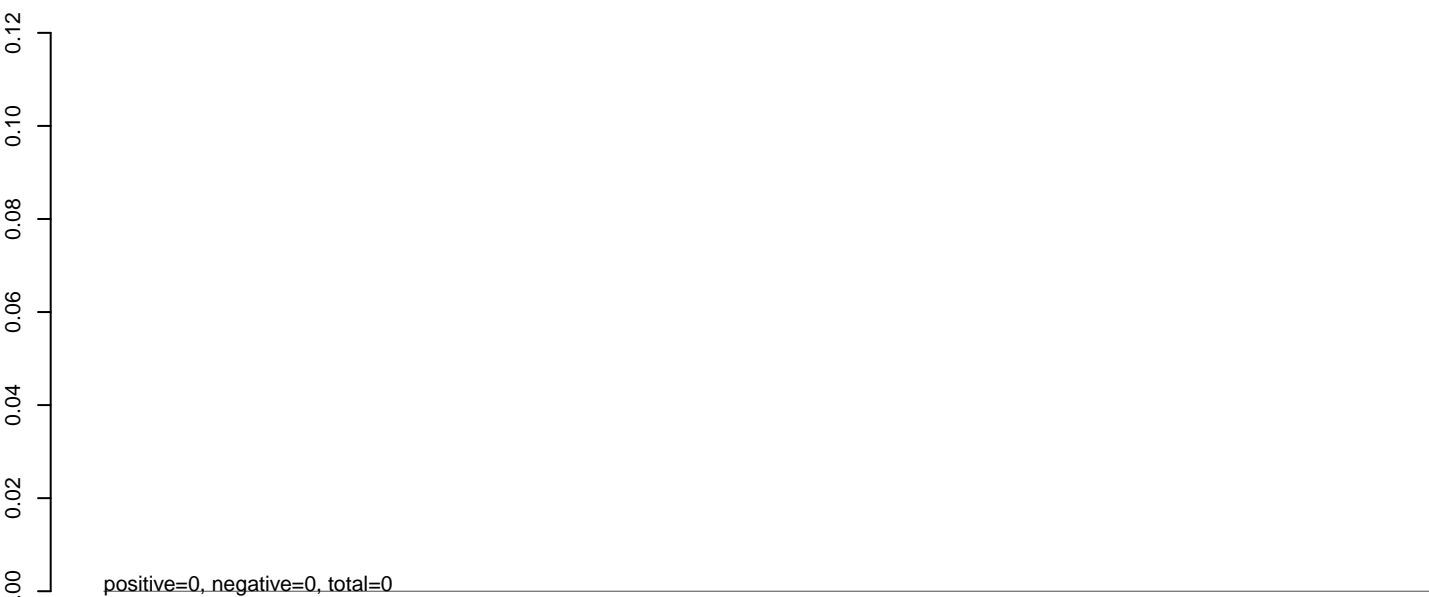
Window size=25, length=10791, virus@NC_016997.1-Donggang_virus:1-10791

0 2000 4000 6000 8000 10000

CuQuin_SG_14dpi3.18_23.rep



CuQuin_SG_14dpi3.24_35.rep

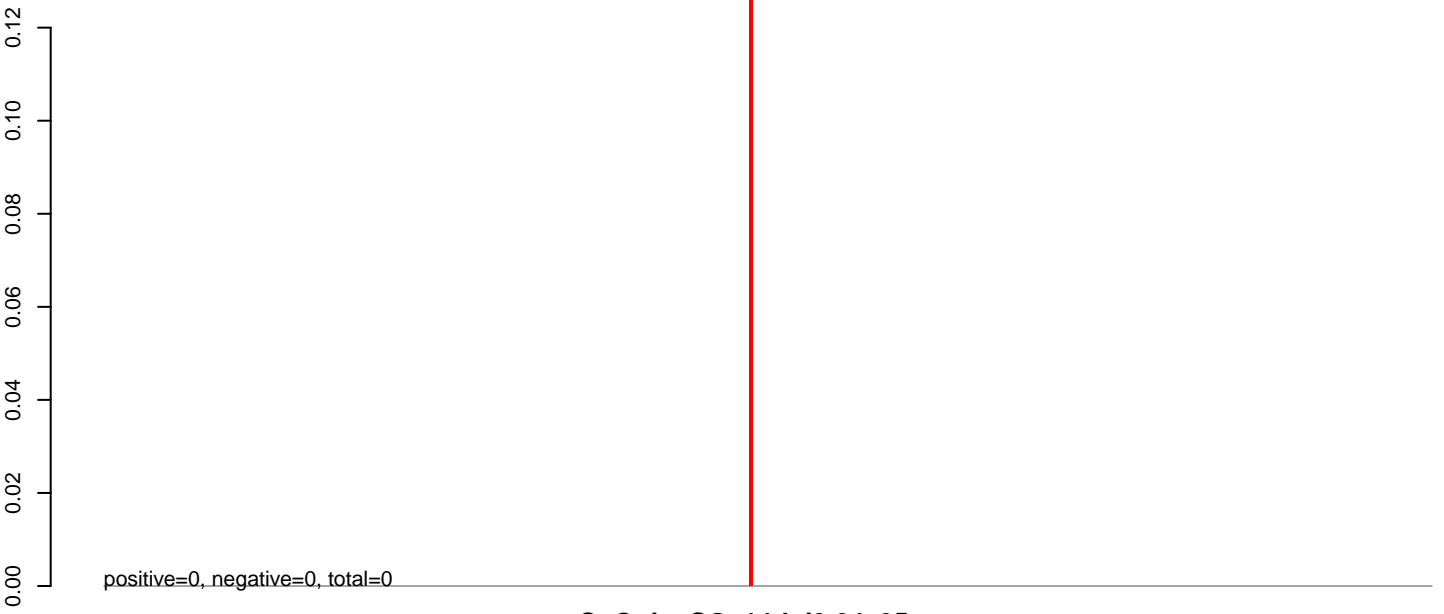


CuQuin_SG_14dpi3.rep

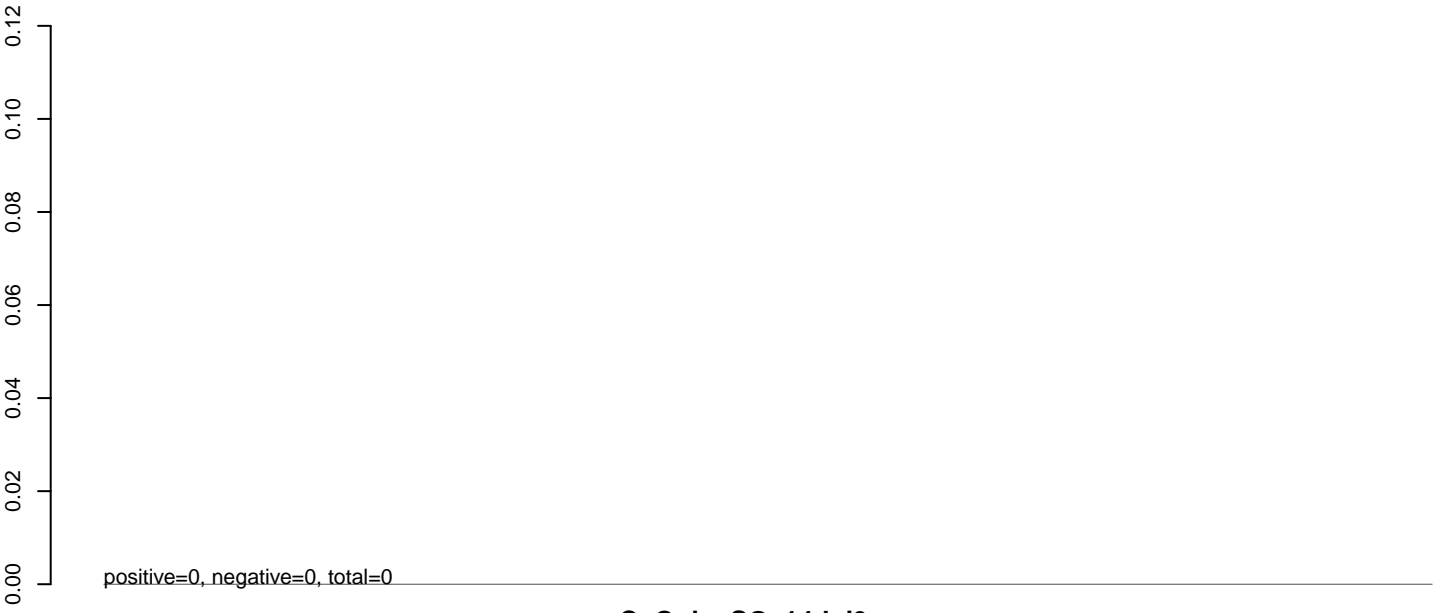


0 2000 4000 6000 8000 10000

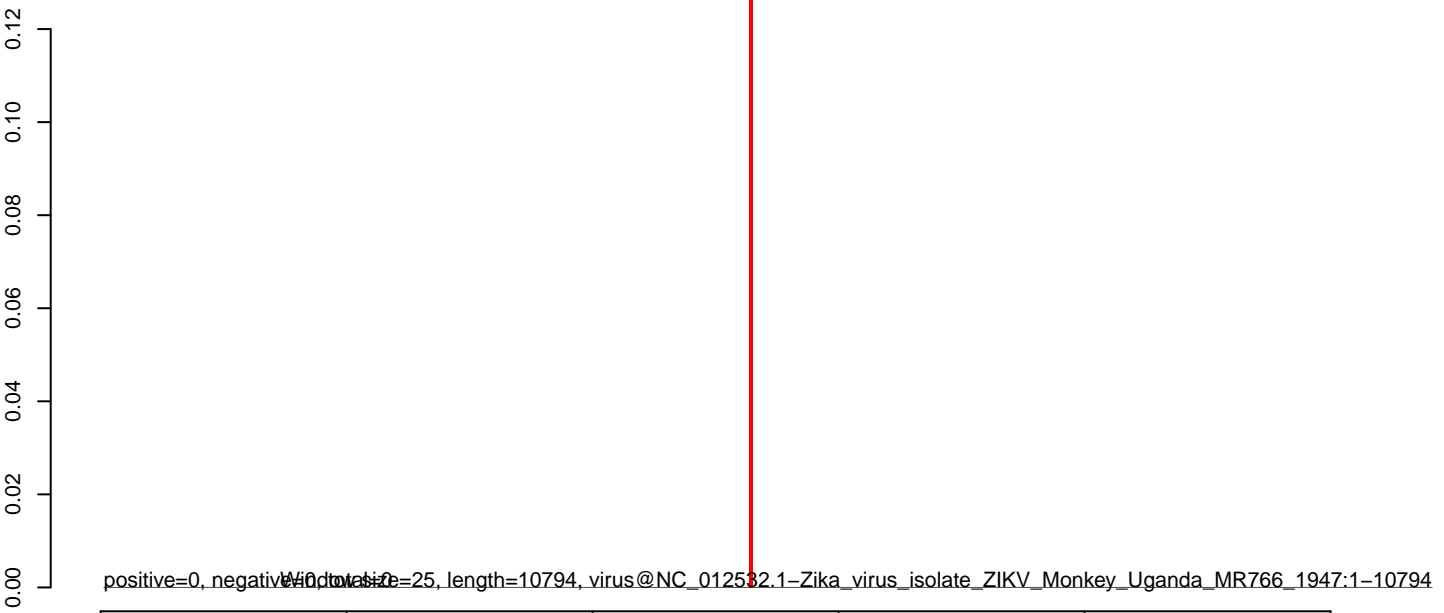
CuQuin_SG_14dpi3.18_23.rep



CuQuin_SG_14dpi3.24_35.rep



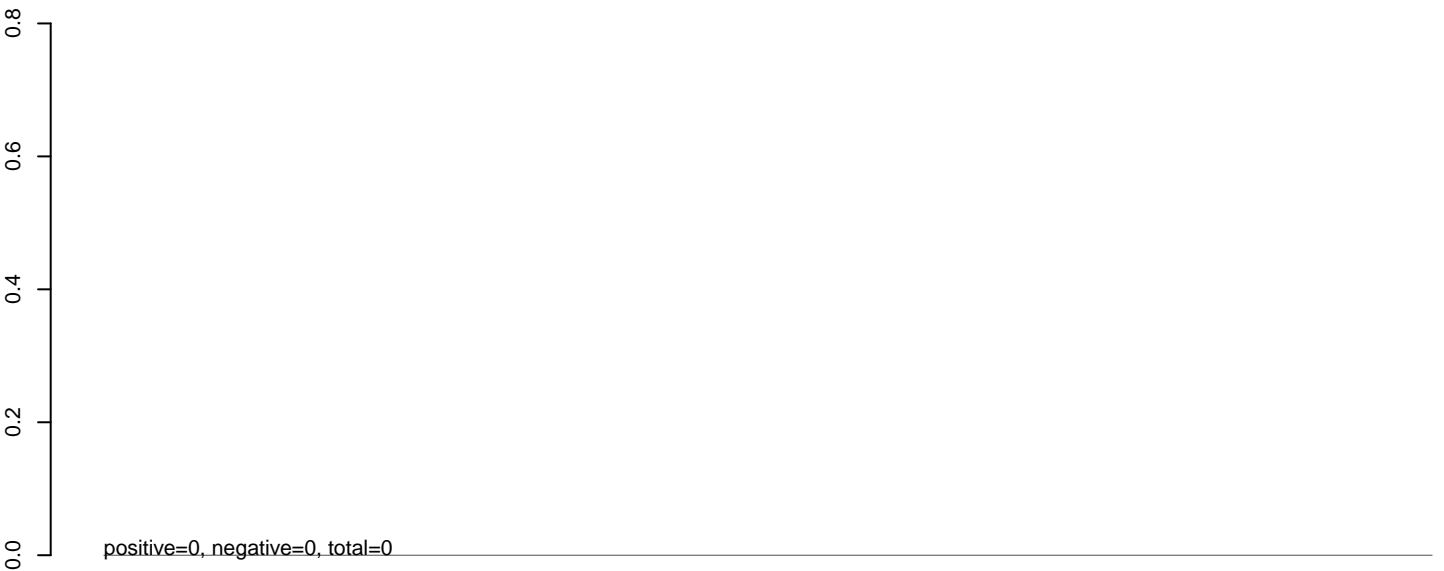
CuQuin_SG_14dpi3.rep



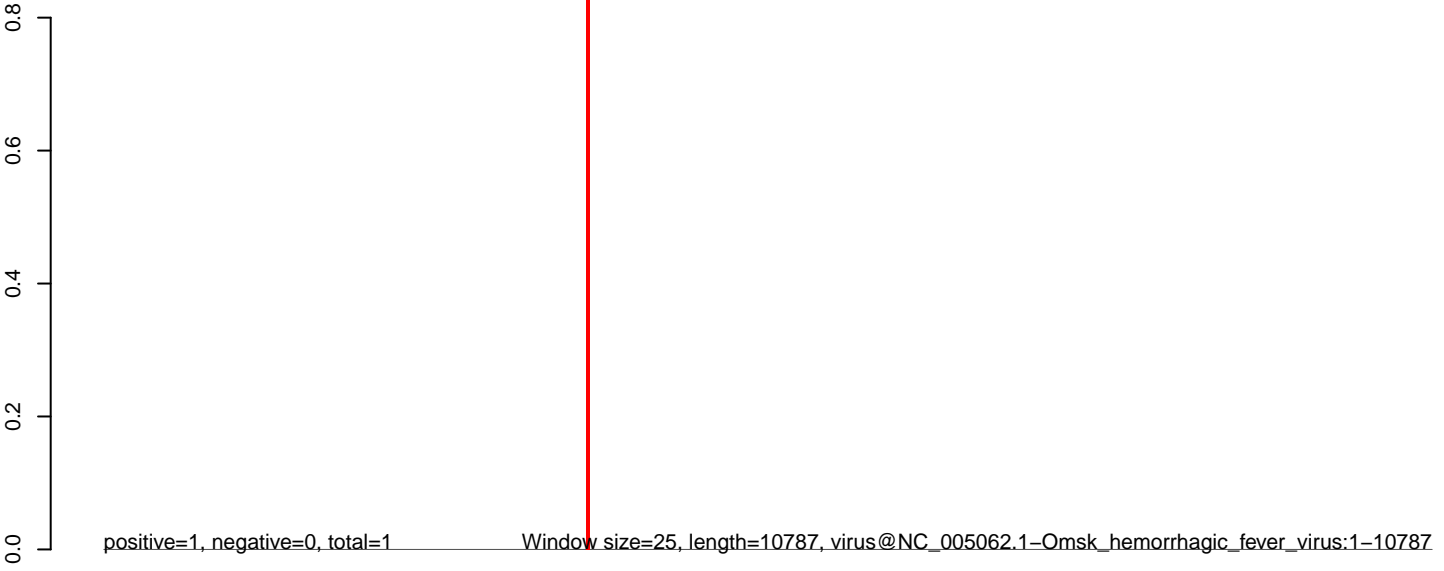
CuQuin_SG_14dpi3.18_23.rep



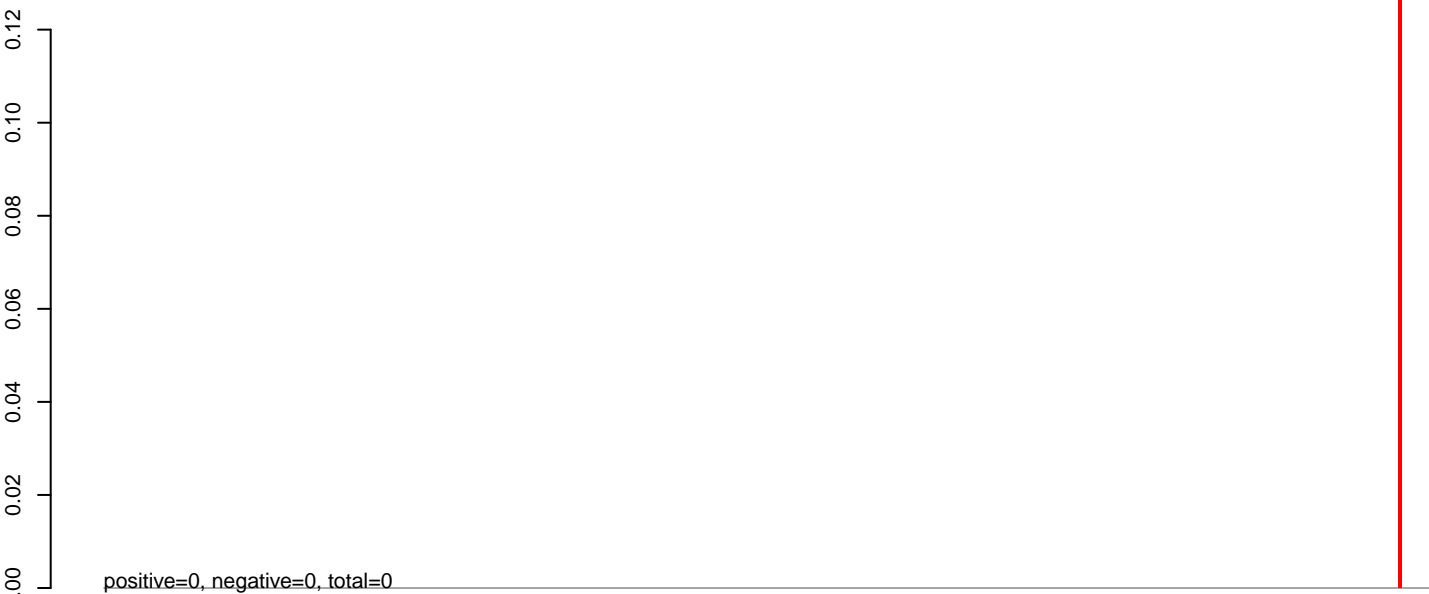
CuQuin_SG_14dpi3.24_35.rep



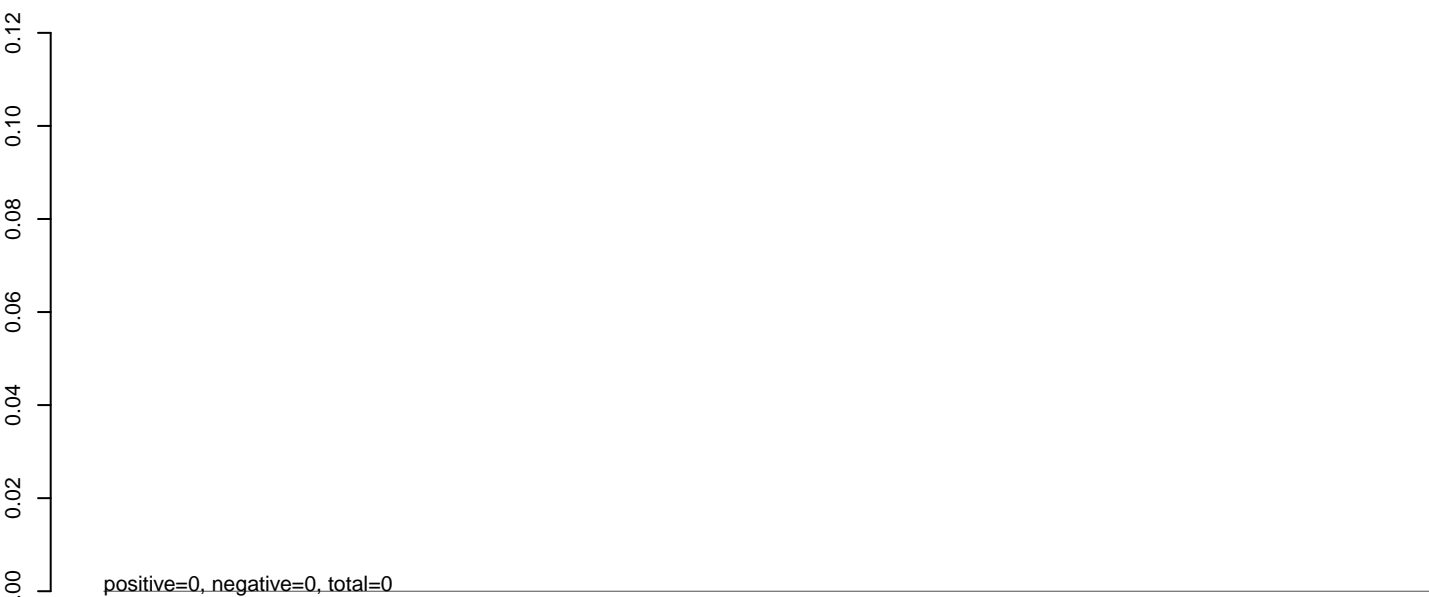
CuQuin_SG_14dpi3.rep



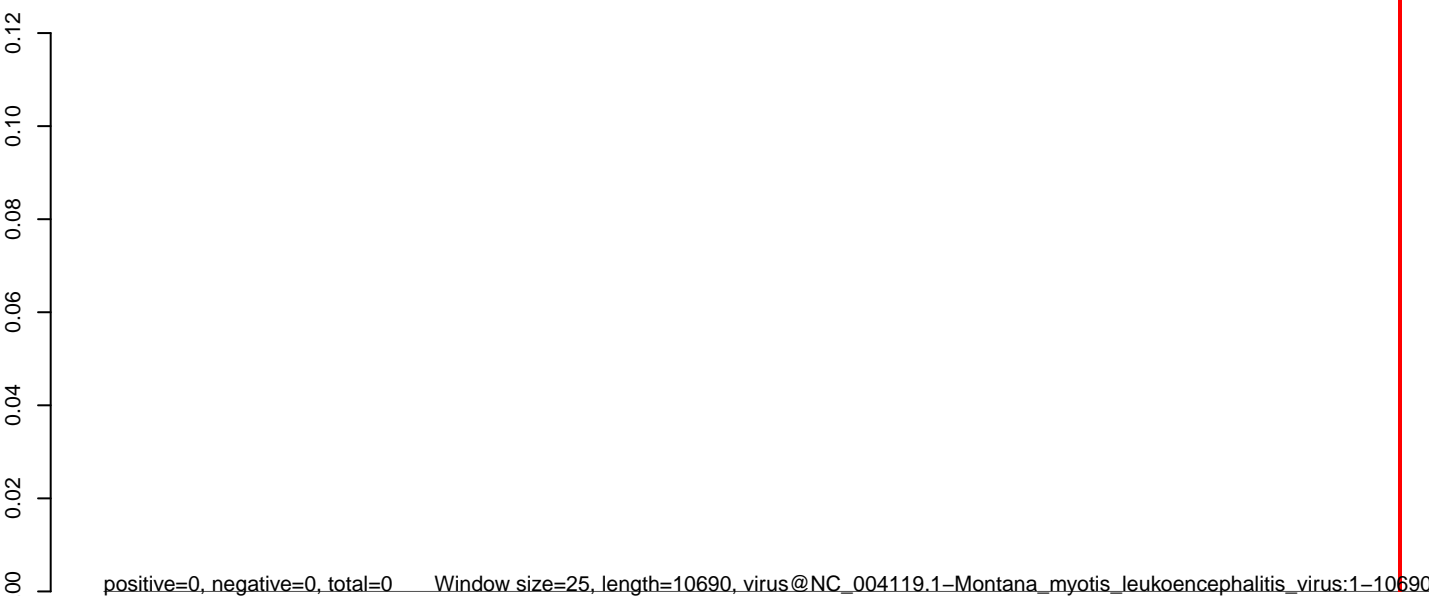
CuQuin_SG_14dpi3.18_23.rep



CuQuin_SG_14dpi3.24_35.rep

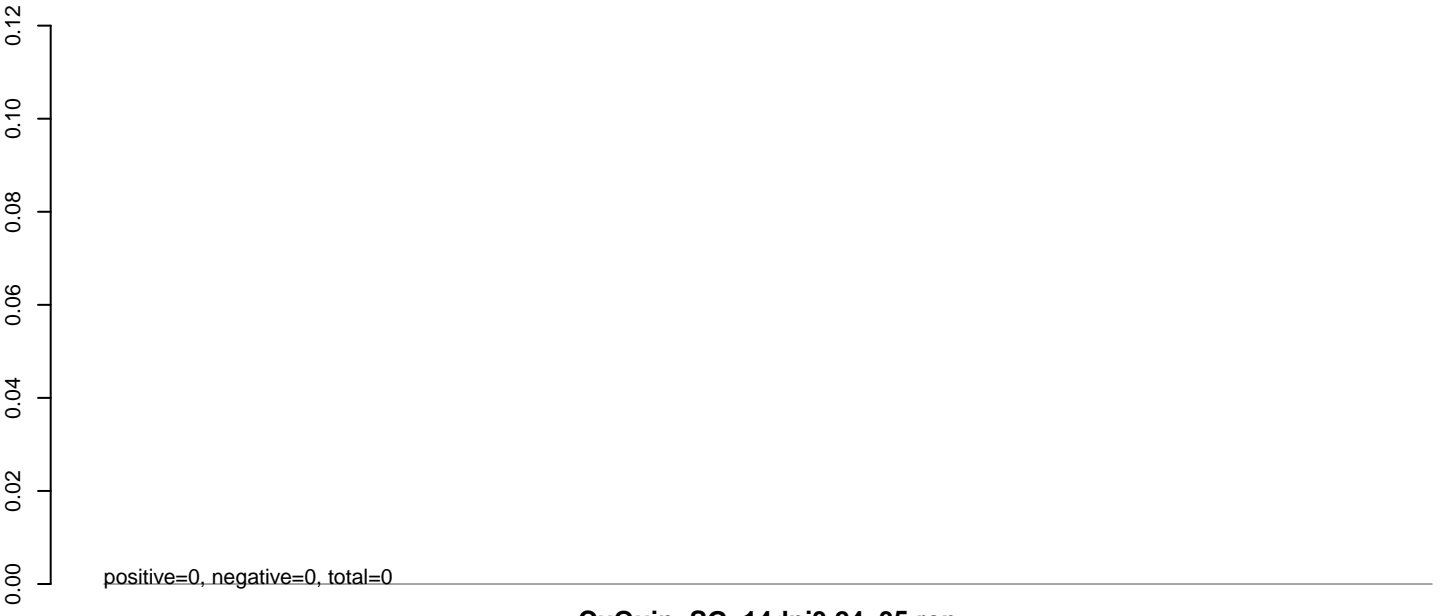


CuQuin_SG_14dpi3.rep

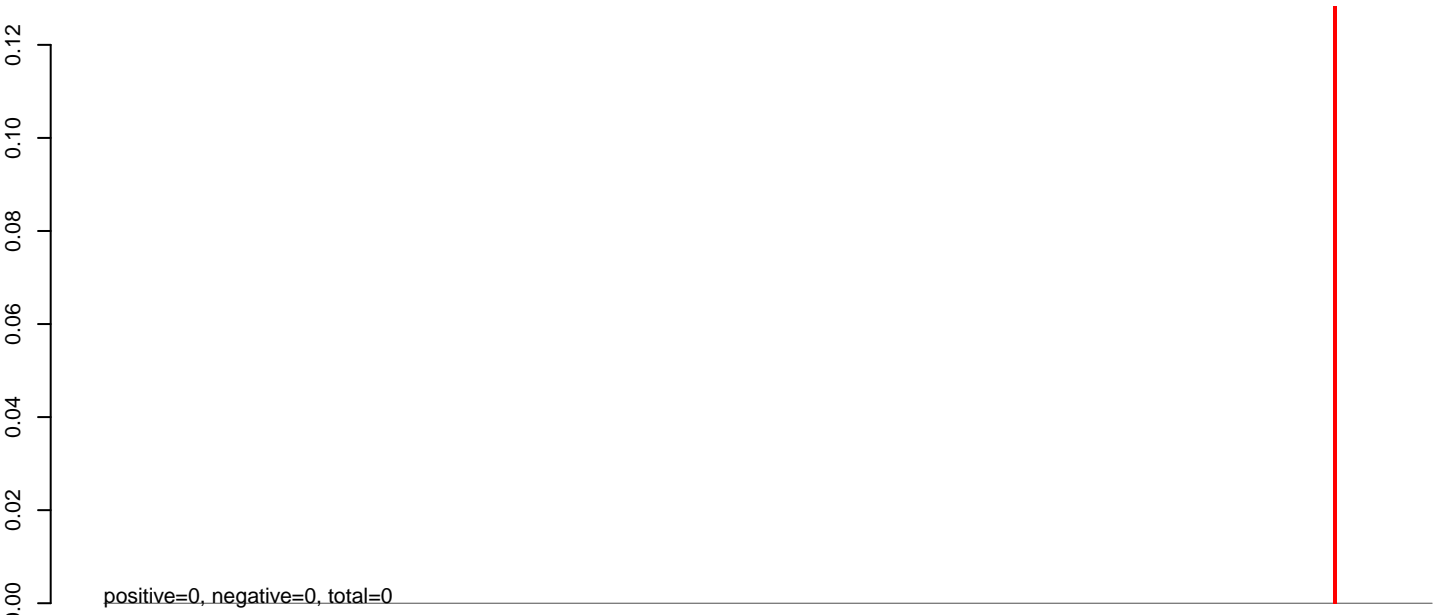


0 2000 4000 6000 8000 10000

CuQuin_SG_14dpi3.18_23.rep



CuQuin_SG_14dpi3.24_35.rep

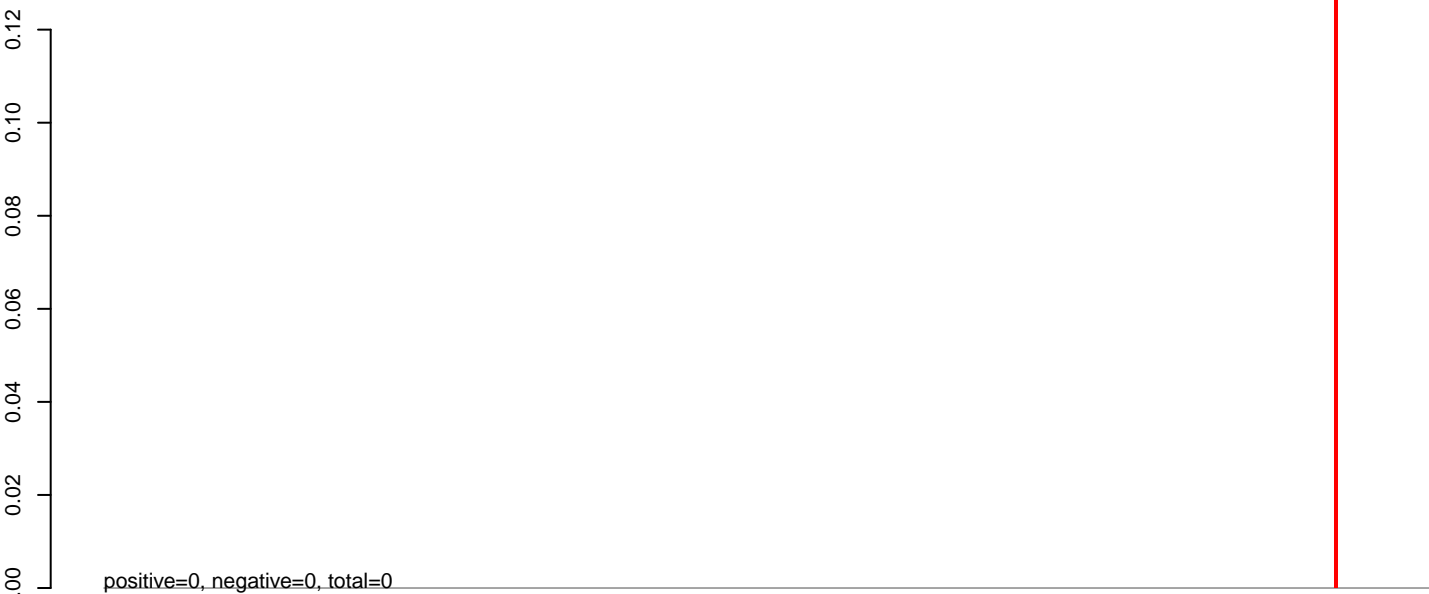


CuQuin_SG_14dpi3.rep

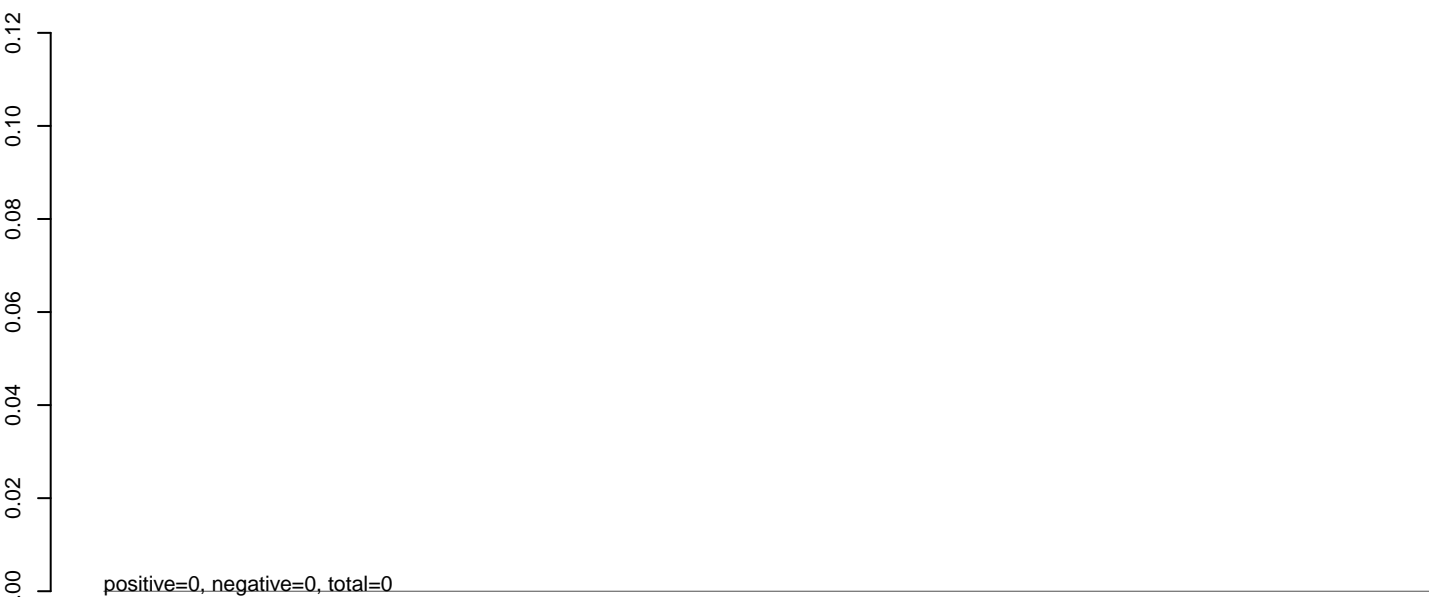


0 2000 4000 6000 8000 10000

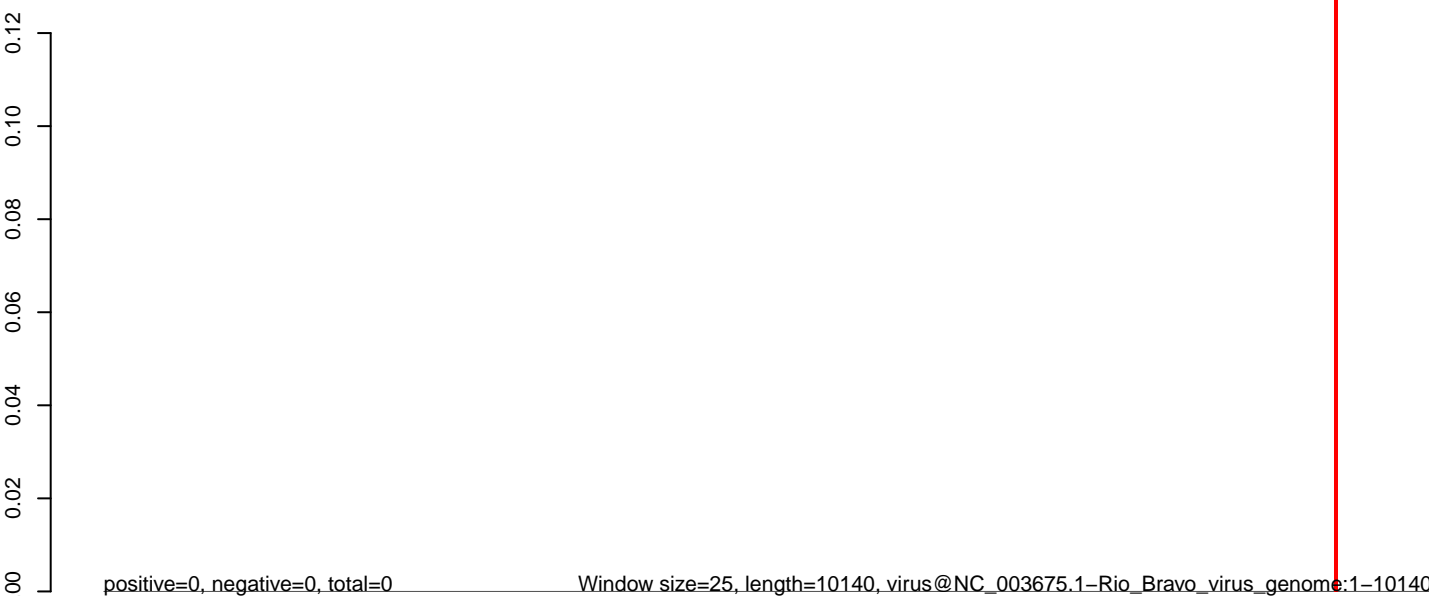
CuQuin_SG_14dpi3.18_23.rep



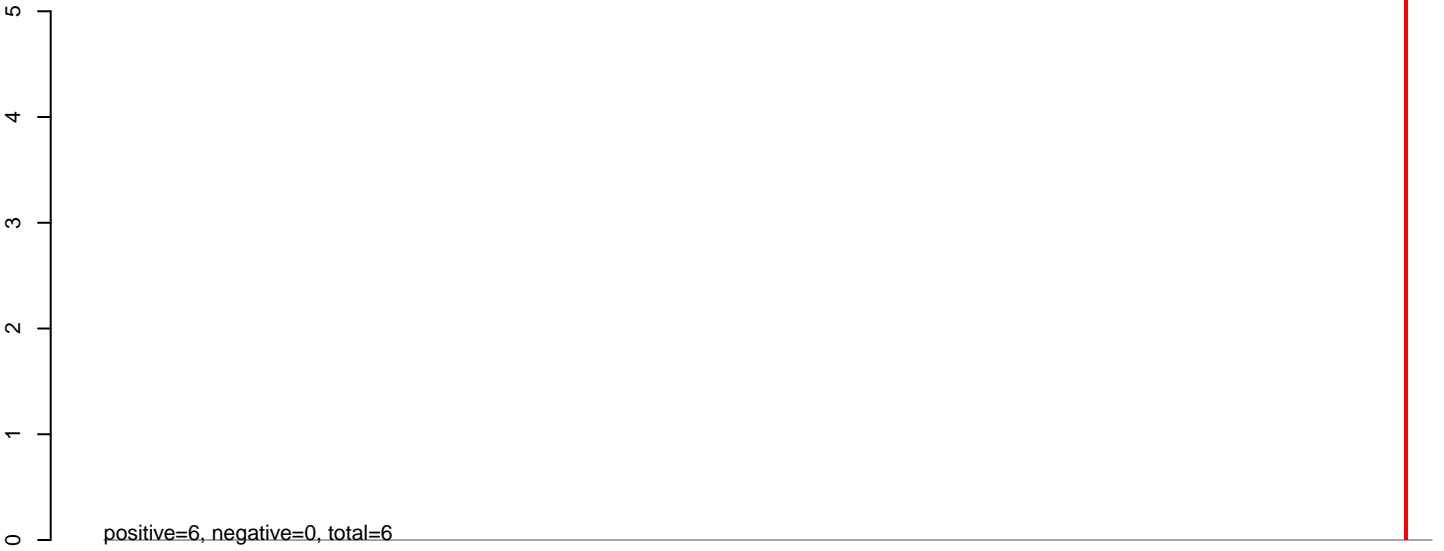
CuQuin_SG_14dpi3.24_35.rep



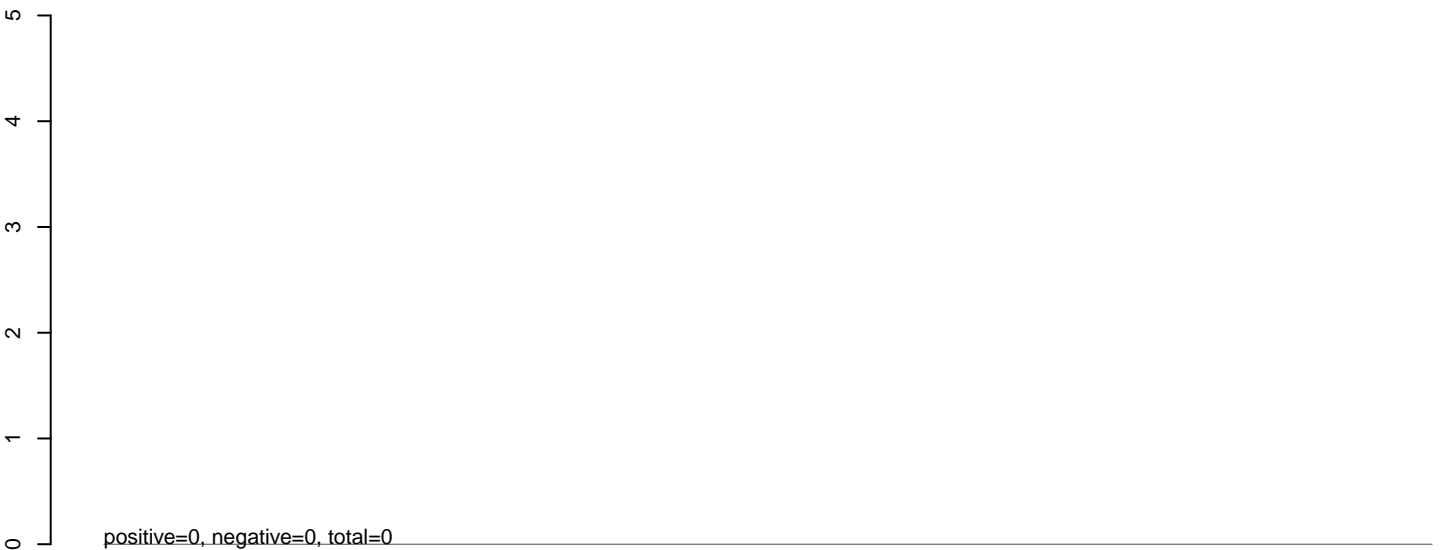
CuQuin_SG_14dpi3.rep



CuQuin_SG_14dpi3.18_23.rep



CuQuin_SG_14dpi3.24_35.rep

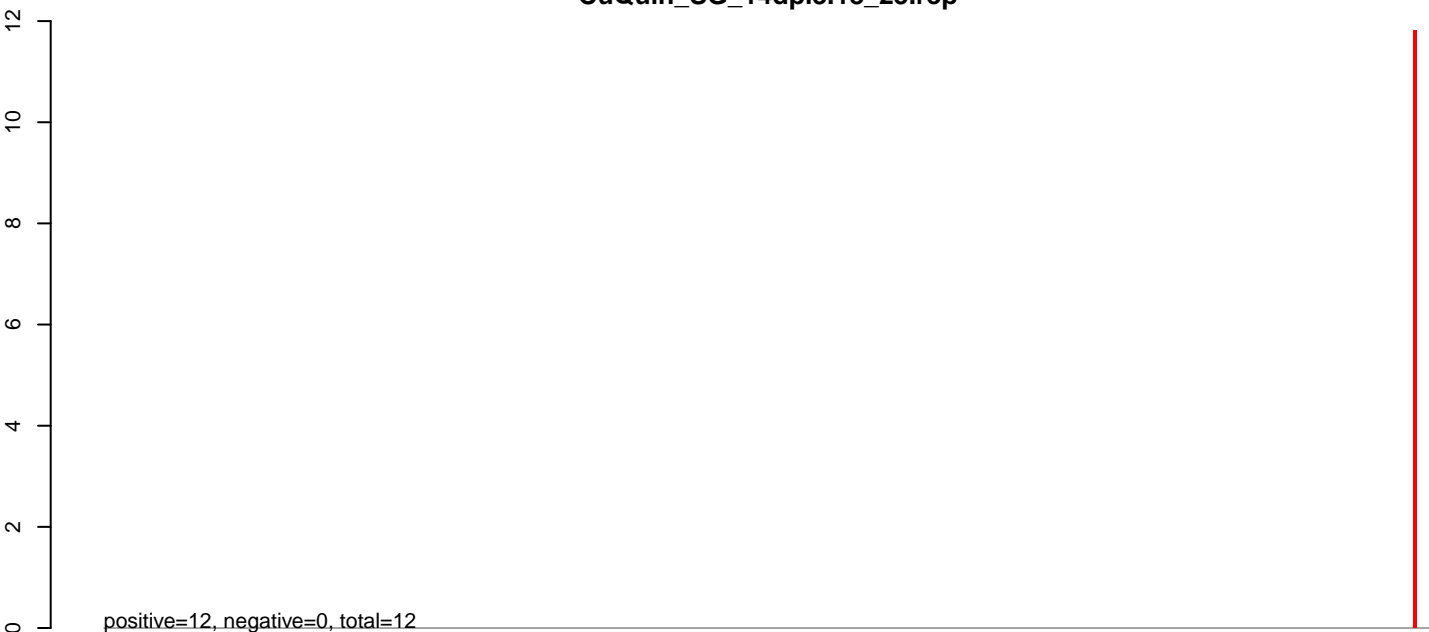


CuQuin_SG_14dpi3.rep

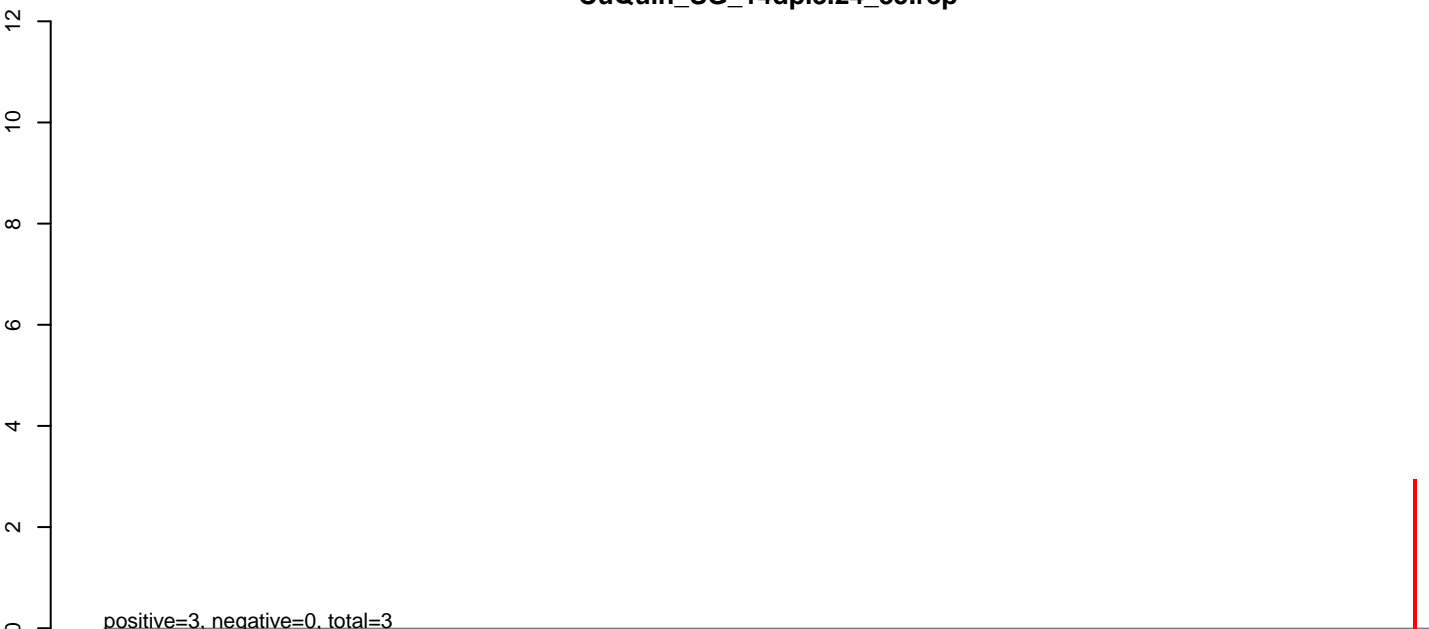


0 2000 4000 6000 8000 10000

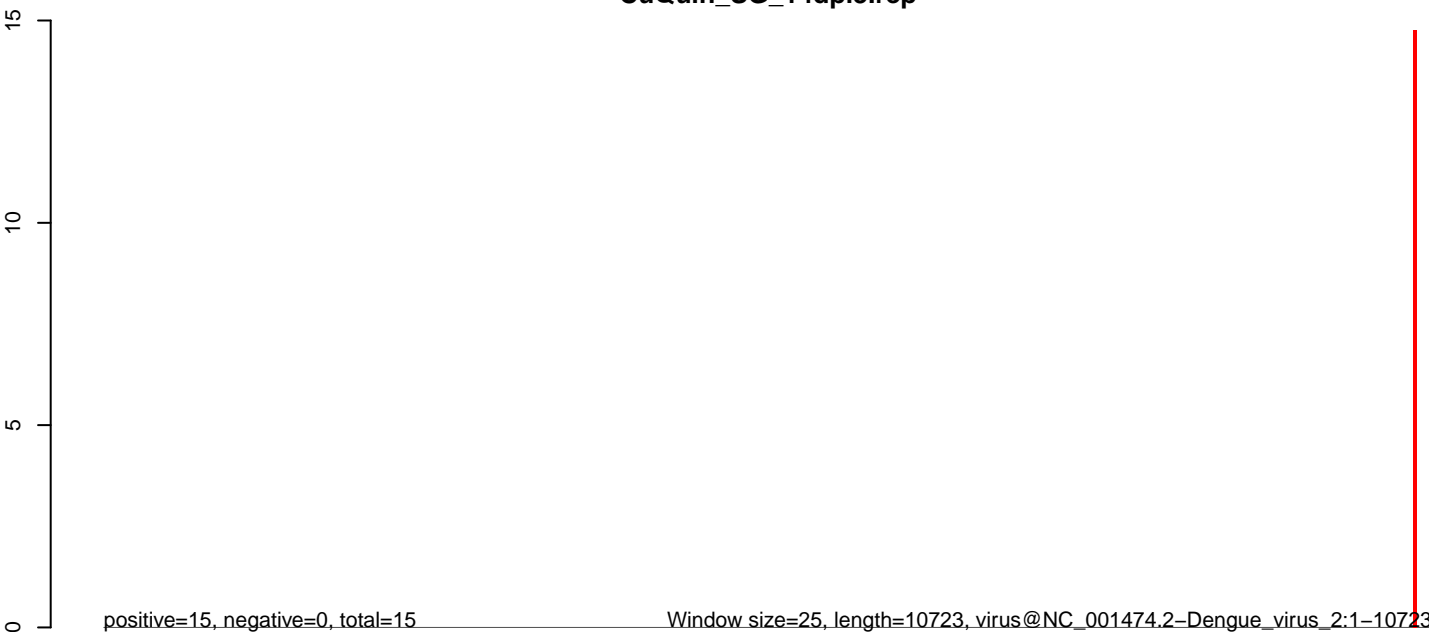
CuQuin_SG_14dpi3.18_23.rep



CuQuin_SG_14dpi3.24_35.rep

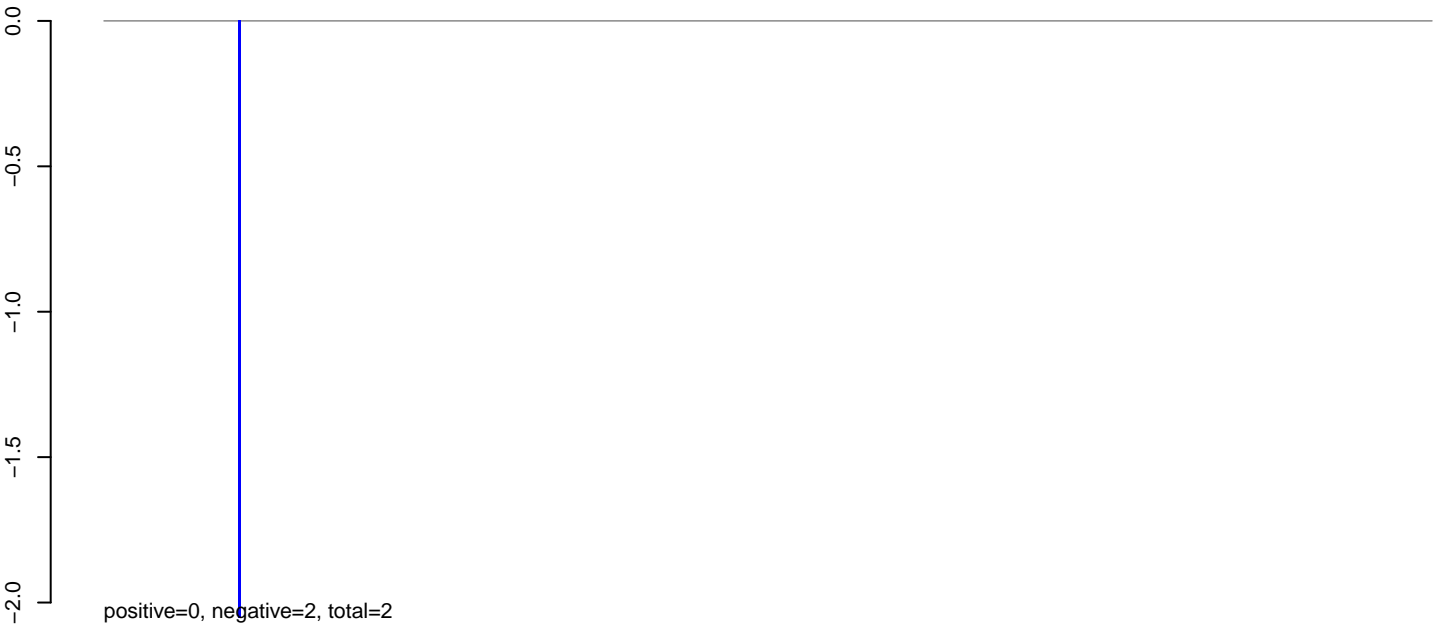


CuQuin_SG_14dpi3.rep

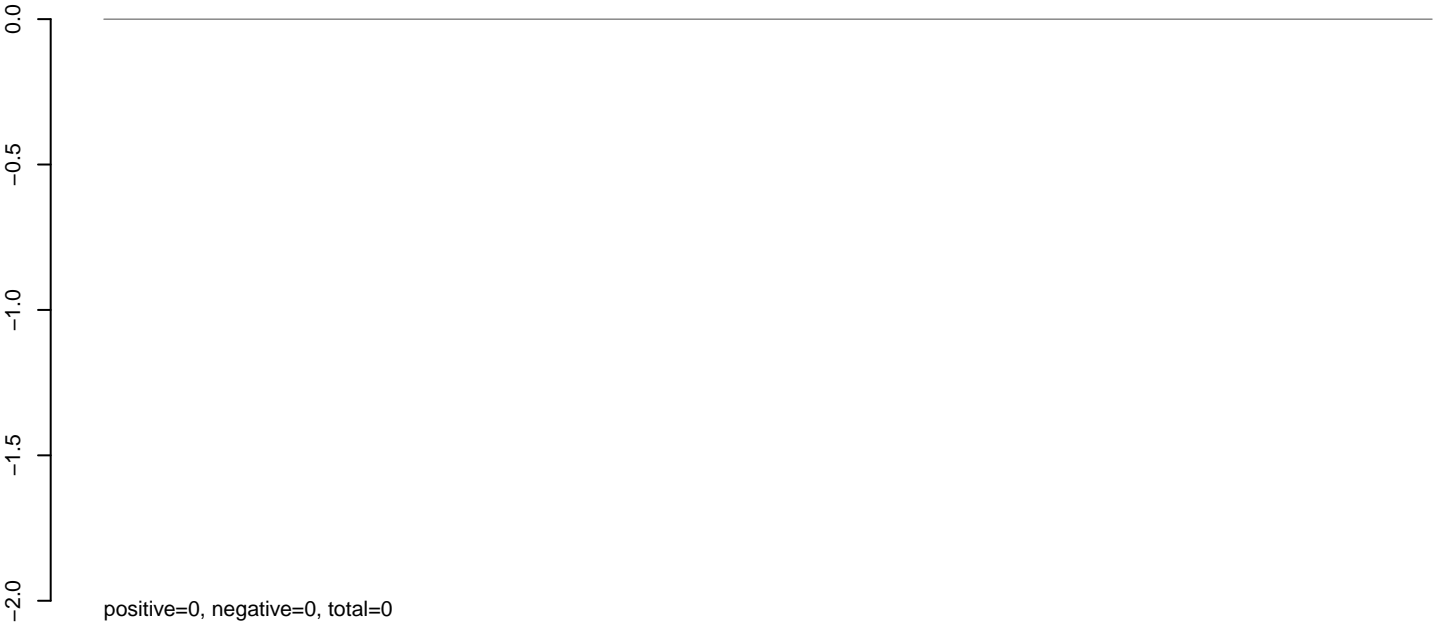


0 2000 4000 6000 8000 10000

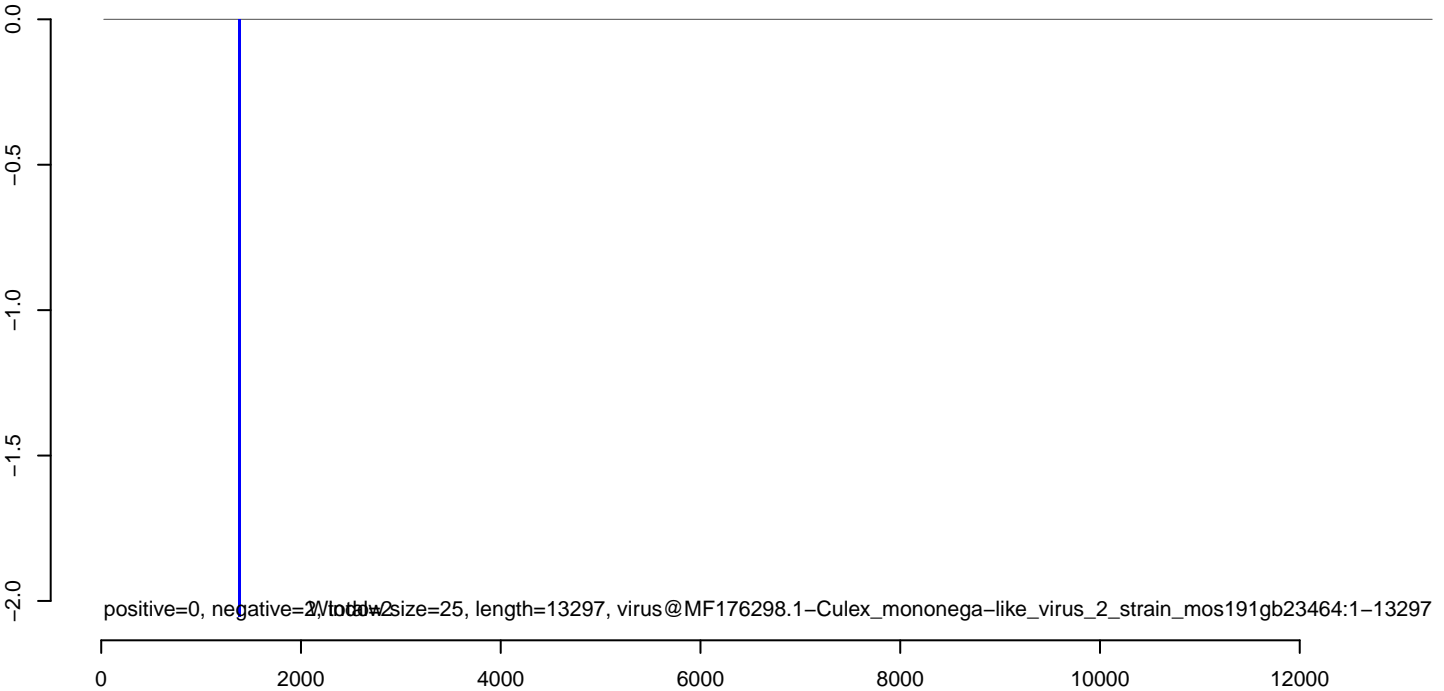
CuQuin_SG_14dpi3.18_23.rep



CuQuin_SG_14dpi3.24_35.rep



CuQuin_SG_14dpi3.rep



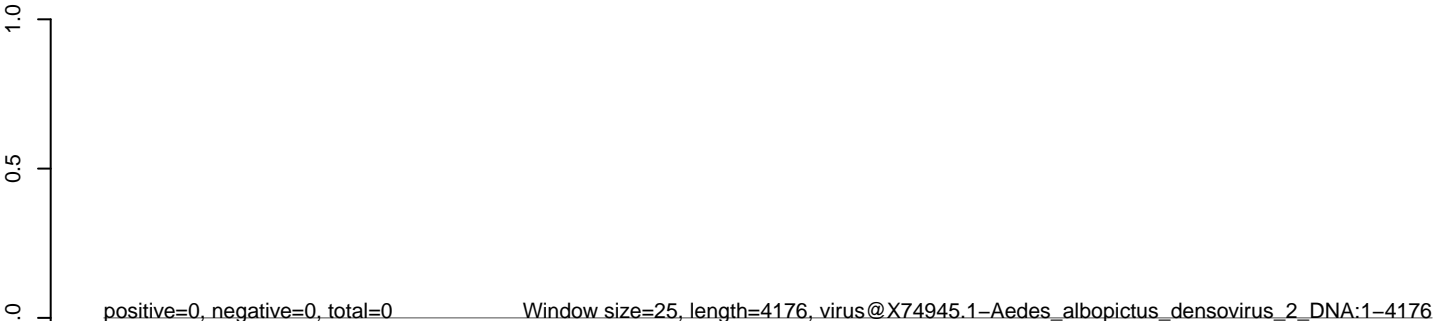
CuQuin_SG_14dpi3.18_23.rep



CuQuin_SG_14dpi3.24_35.rep



CuQuin_SG_14dpi3.rep



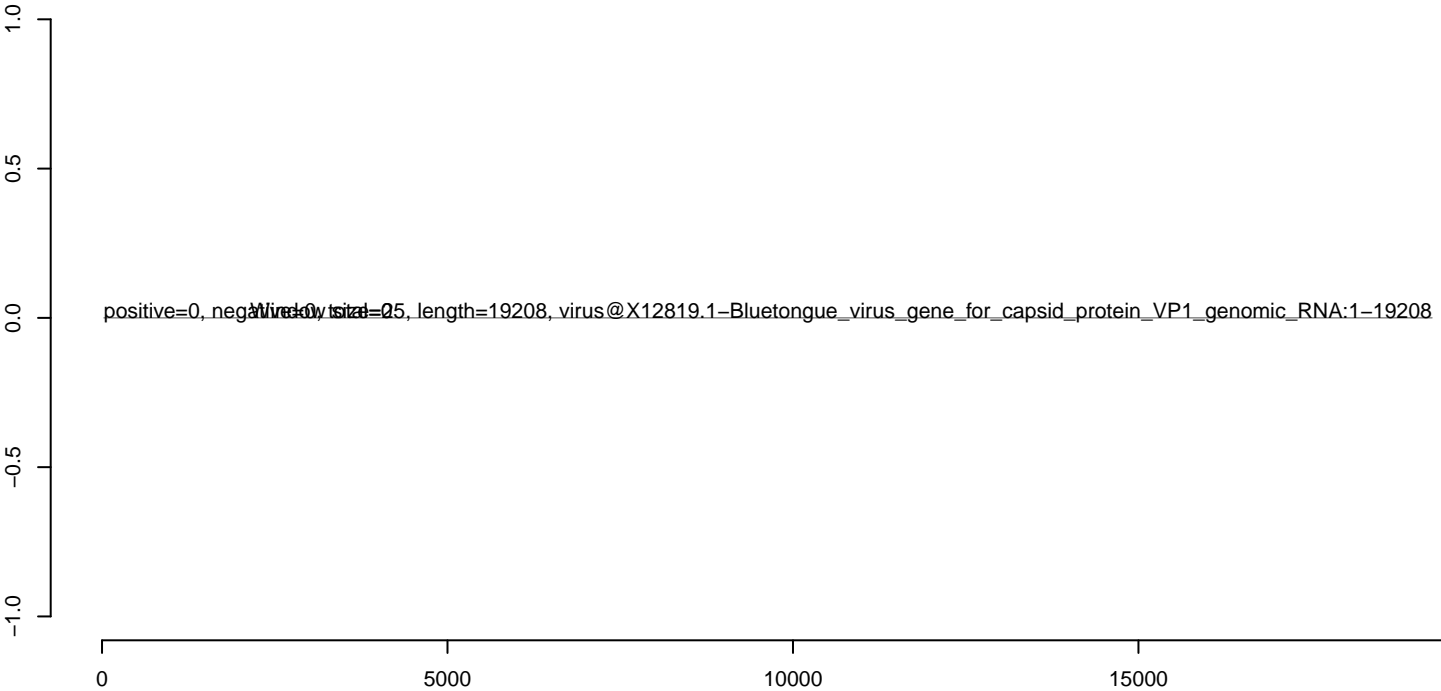
CuQuin_SG_14dpi3.18_23.rep



CuQuin_SG_14dpi3.24_35.rep



CuQuin_SG_14dpi3.rep



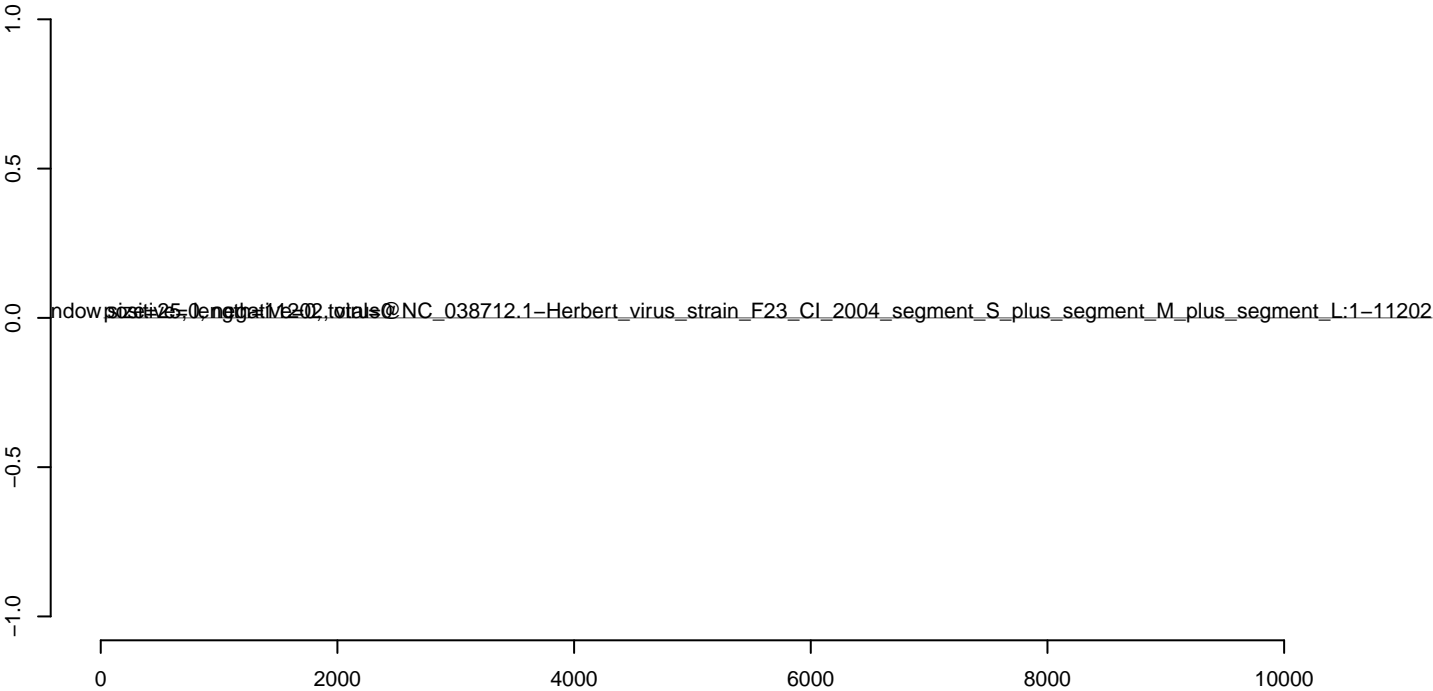
CuQuin_SG_14dpi3.18_23.rep



CuQuin_SG_14dpi3.24_35.rep



CuQuin_SG_14dpi3.rep



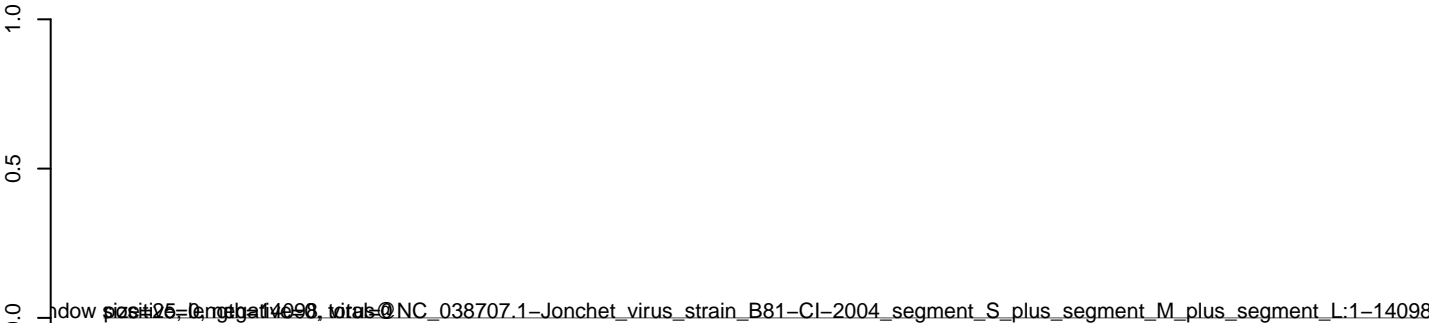
CuQuin_SG_14dpi3.18_23.rep



CuQuin_SG_14dpi3.24_35.rep



CuQuin_SG_14dpi3.rep



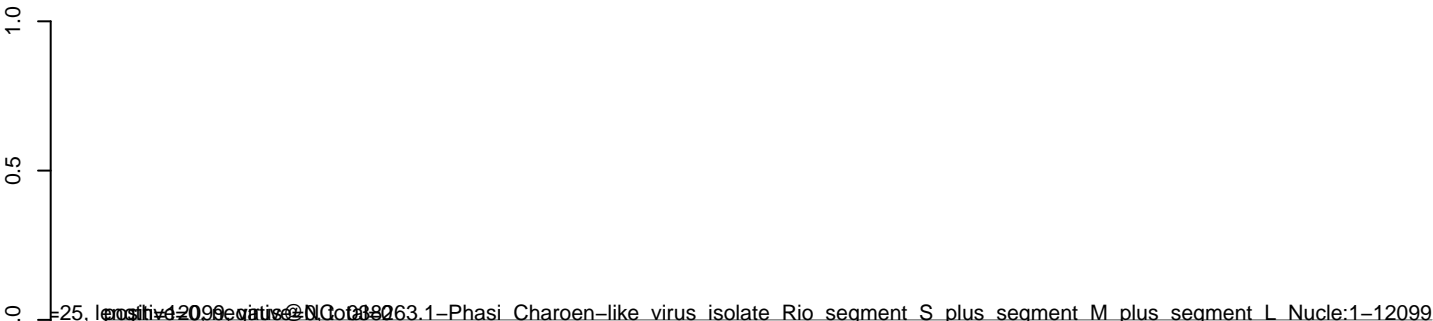
CuQuin_SG_14dpi3.18_23.rep



CuQuin_SG_14dpi3.24_35.rep



CuQuin_SG_14dpi3.rep



0 2000 4000 6000 8000 10000 12000

CuQuin_SG_14dpi3.18_23.rep



CuQuin_SG_14dpi3.24_35.rep



CuQuin_SG_14dpi3.rep



CuQuin_SG_14dpi3.18_23.rep



CuQuin_SG_14dpi3.24_35.rep



CuQuin_SG_14dpi3.rep



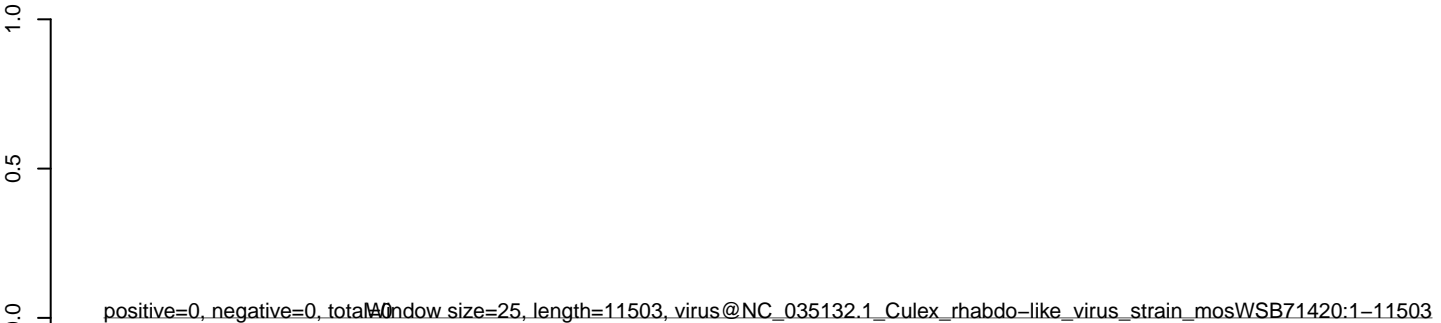
CuQuin_SG_14dpi3.18_23.rep



CuQuin_SG_14dpi3.24_35.rep



CuQuin_SG_14dpi3.rep



0 2000 4000 6000 8000 10000 12000

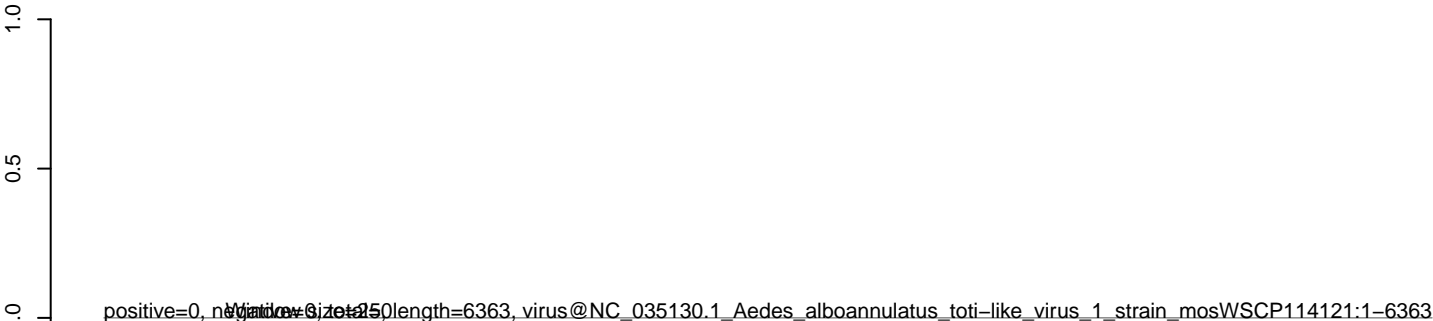
CuQuin_SG_14dpi3.18_23.rep



CuQuin_SG_14dpi3.24_35.rep



CuQuin_SG_14dpi3.rep



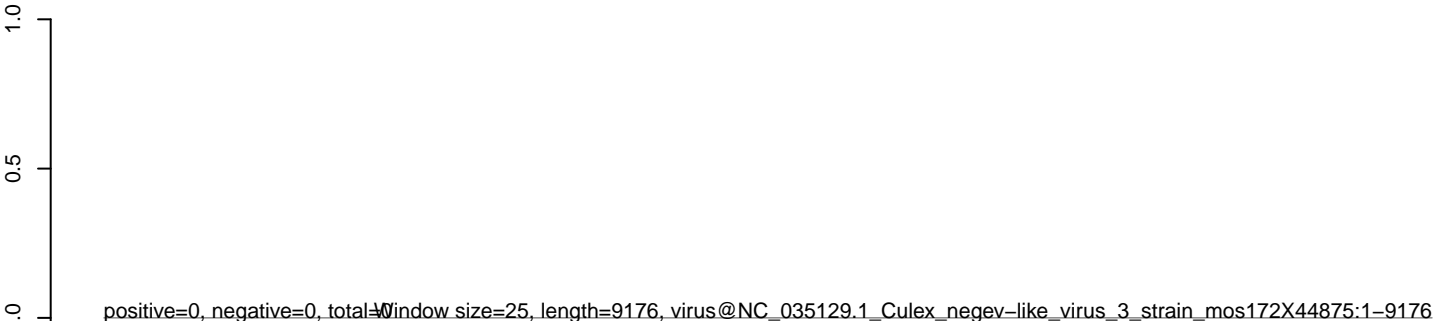
CuQuin_SG_14dpi3.18_23.rep



CuQuin_SG_14dpi3.24_35.rep



CuQuin_SG_14dpi3.rep



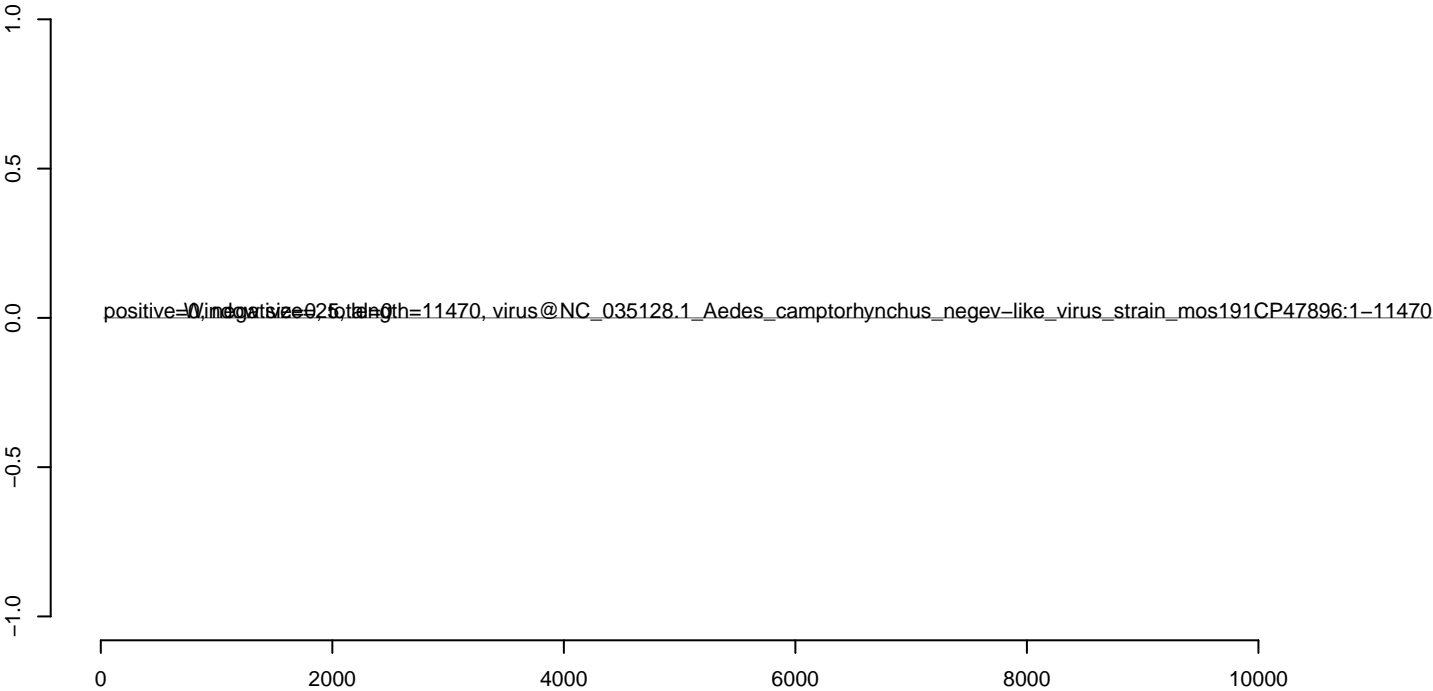
CuQuin_SG_14dpi3.18_23.rep



CuQuin_SG_14dpi3.24_35.rep



CuQuin_SG_14dpi3.rep



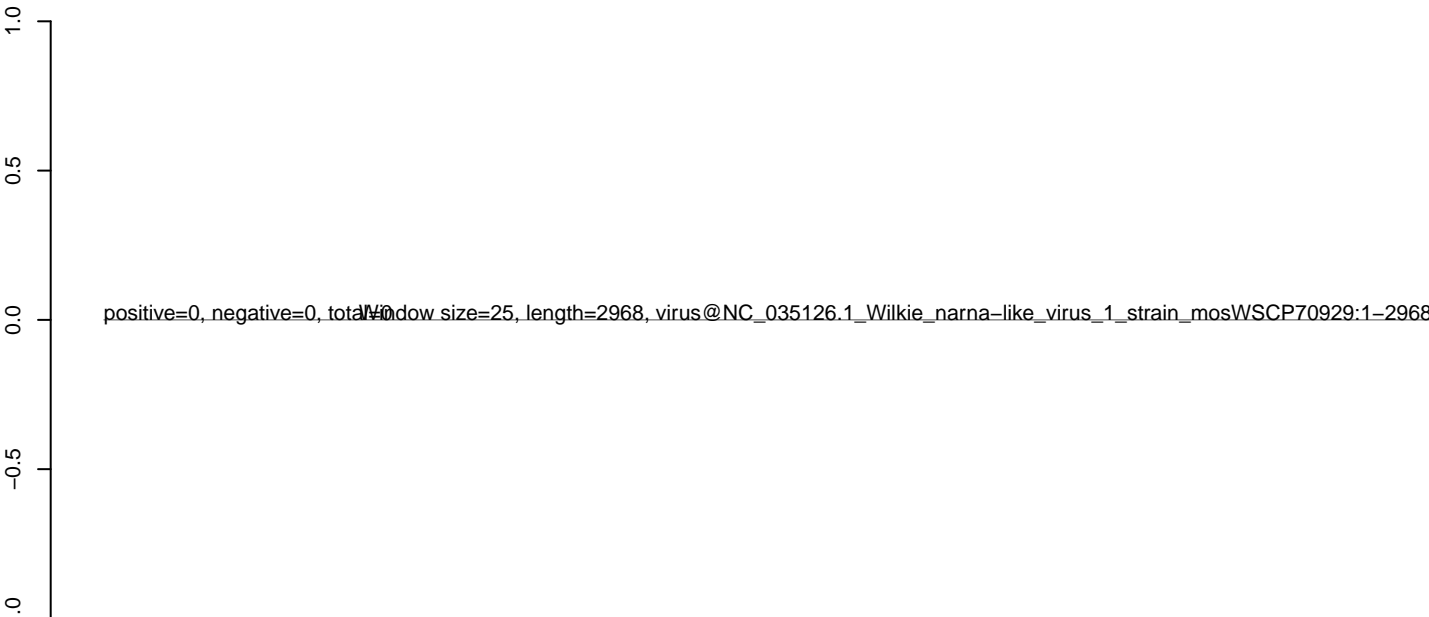
CuQuin_SG_14dpi3.18_23.rep



CuQuin_SG_14dpi3.24_35.rep



CuQuin_SG_14dpi3.rep



0 500 1000 1500 2000 2500 3000

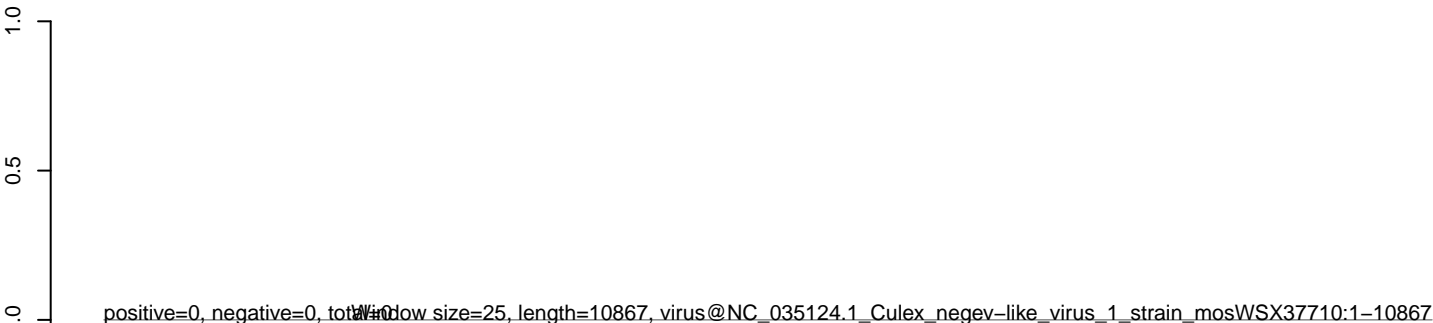
CuQuin_SG_14dpi3.18_23.rep



CuQuin_SG_14dpi3.24_35.rep



CuQuin_SG_14dpi3.rep



0 2000 4000 6000 8000 10000

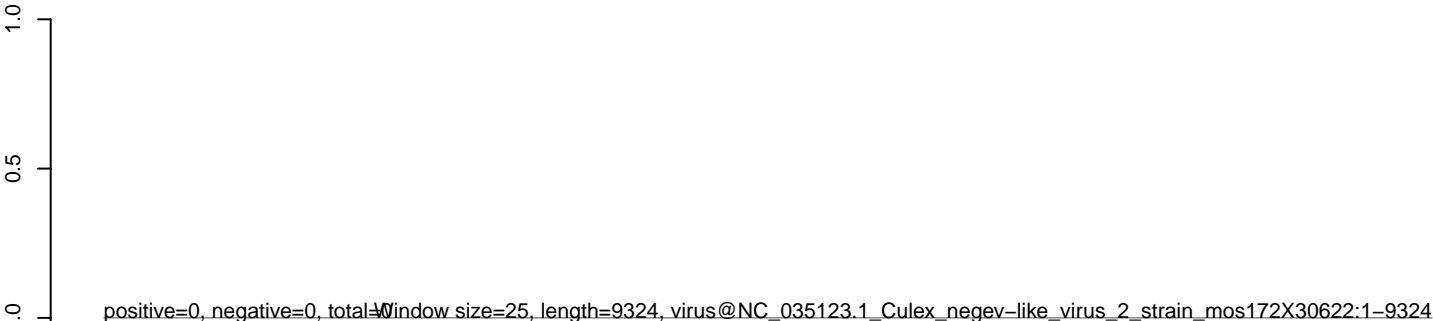
CuQuin_SG_14dpi3.18_23.rep



CuQuin_SG_14dpi3.24_35.rep



CuQuin_SG_14dpi3.rep



0 2000 4000 6000 8000

CuQuin_SG_14dpi3.18_23.rep



CuQuin_SG_14dpi3.24_35.rep



CuQuin_SG_14dpi3.rep



0 500 1000 1500 2000 2500 3000

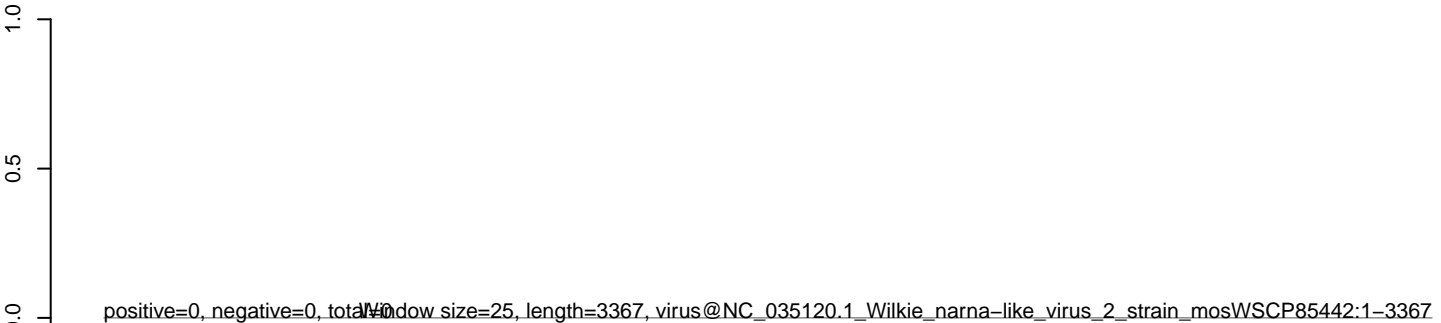
CuQuin_SG_14dpi3.18_23.rep



CuQuin_SG_14dpi3.24_35.rep



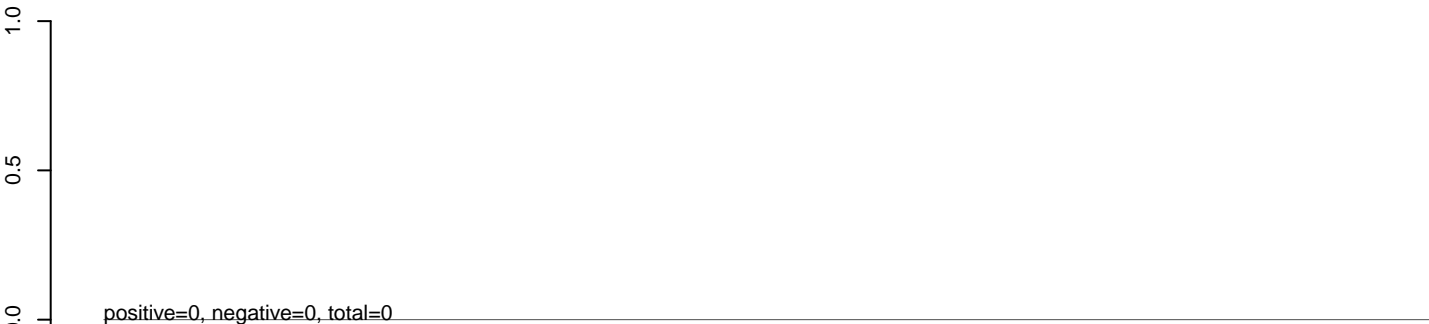
CuQuin_SG_14dpi3.rep



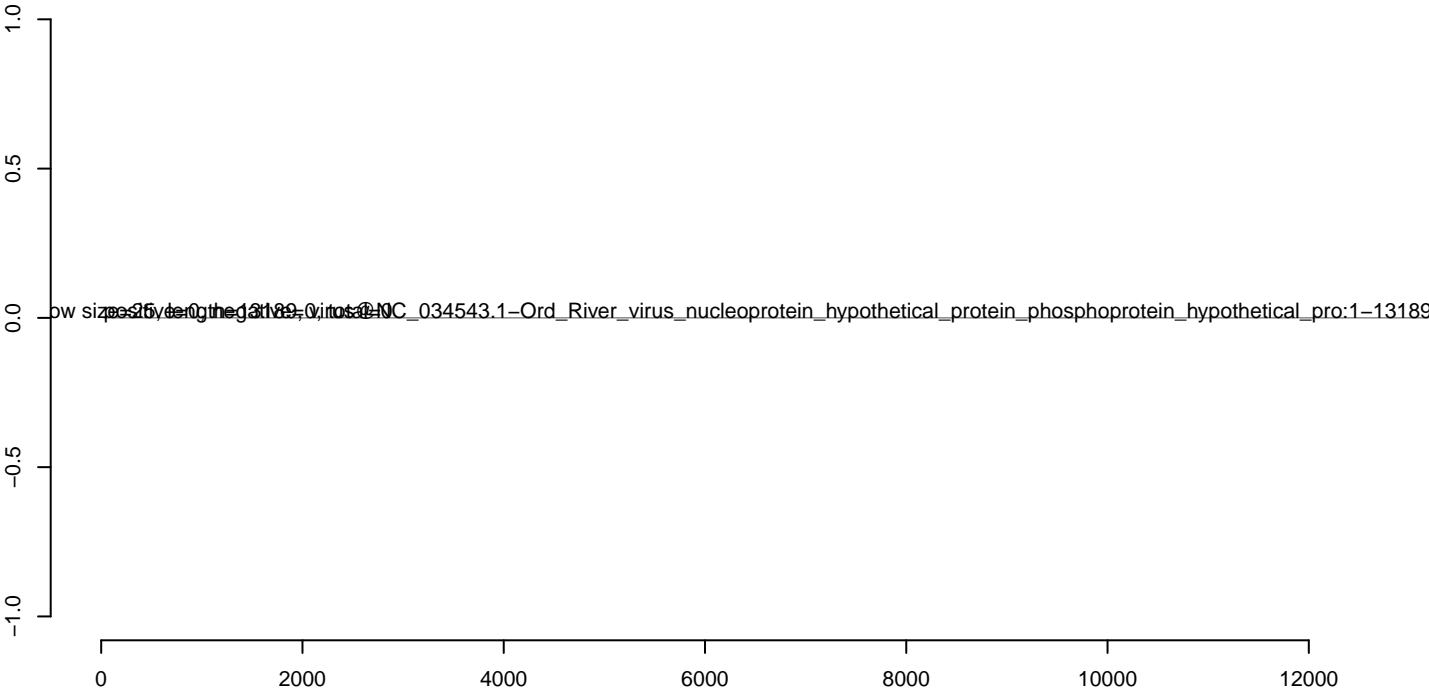
CuQuin_SG_14dpi3.18_23.rep



CuQuin_SG_14dpi3.24_35.rep



CuQuin_SG_14dpi3.rep



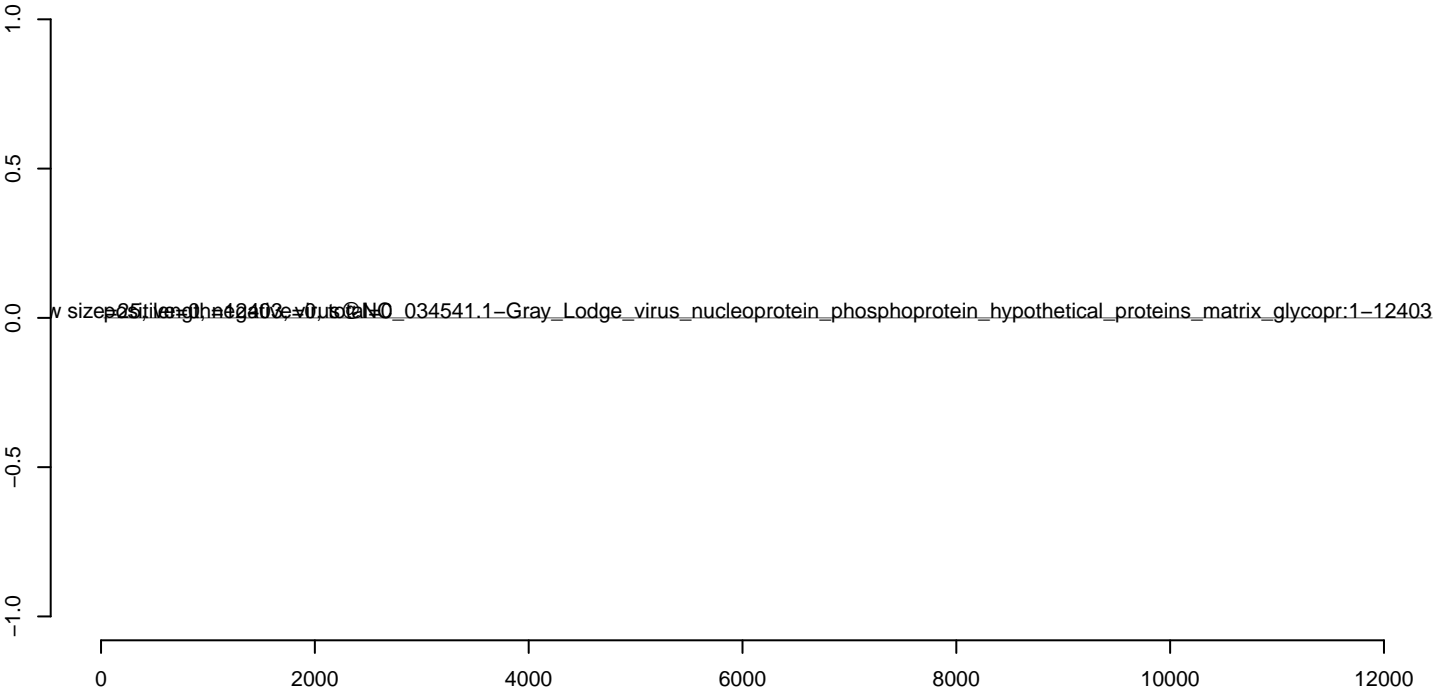
CuQuin_SG_14dpi3.18_23.rep



CuQuin_SG_14dpi3.24_35.rep



CuQuin_SG_14dpi3.rep



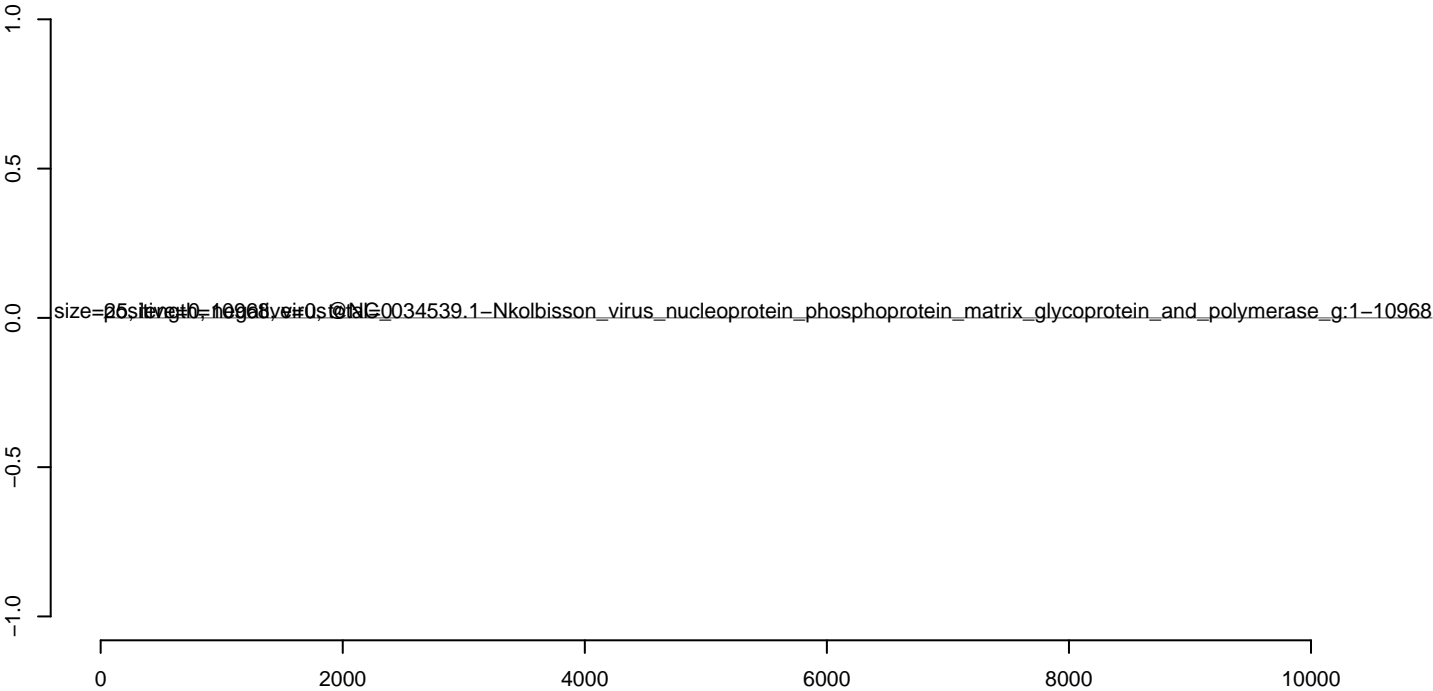
CuQuin_SG_14dpi3.18_23.rep



CuQuin_SG_14dpi3.24_35.rep



CuQuin_SG_14dpi3.rep



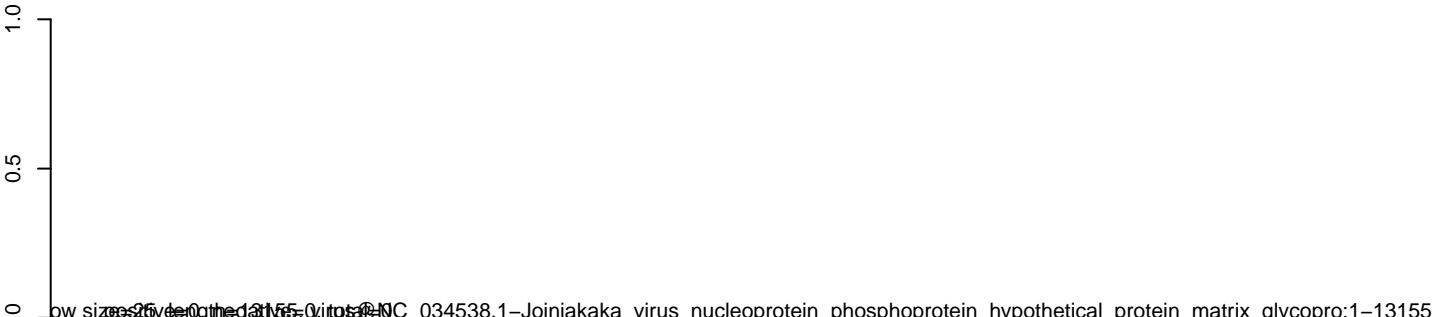
CuQuin_SG_14dpi3.18_23.rep



CuQuin_SG_14dpi3.24_35.rep



CuQuin_SG_14dpi3.rep



0 2000 4000 6000 8000 10000 12000

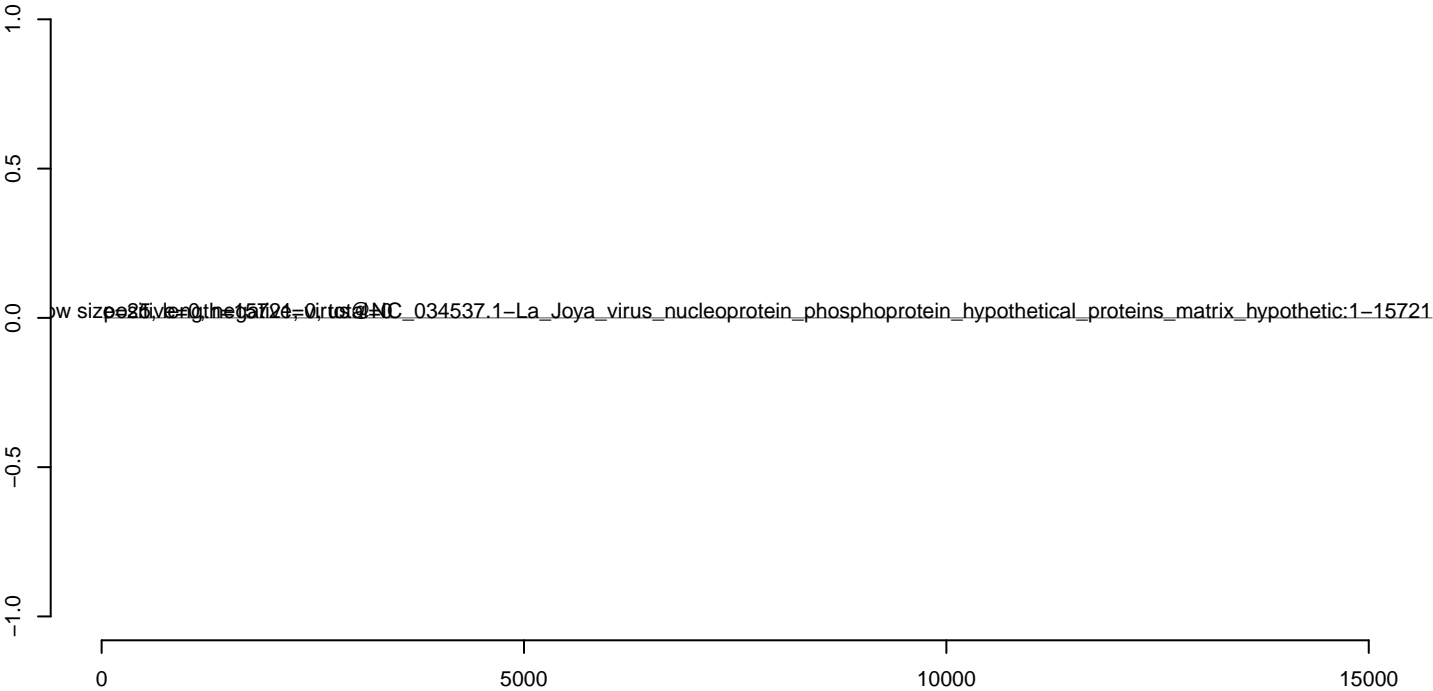
CuQuin_SG_14dpi3.18_23.rep



CuQuin_SG_14dpi3.24_35.rep



CuQuin_SG_14dpi3.rep



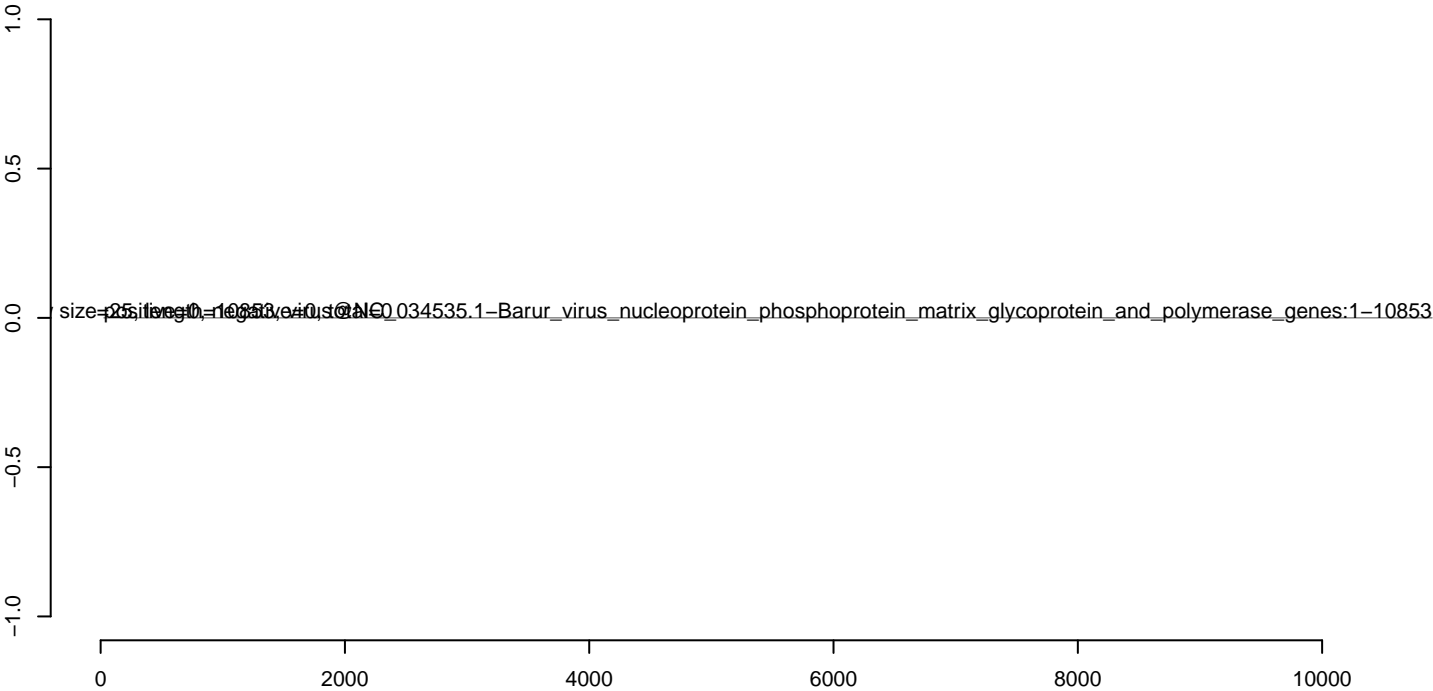
CuQuin_SG_14dpi3.18_23.rep



CuQuin_SG_14dpi3.24_35.rep



CuQuin_SG_14dpi3.rep



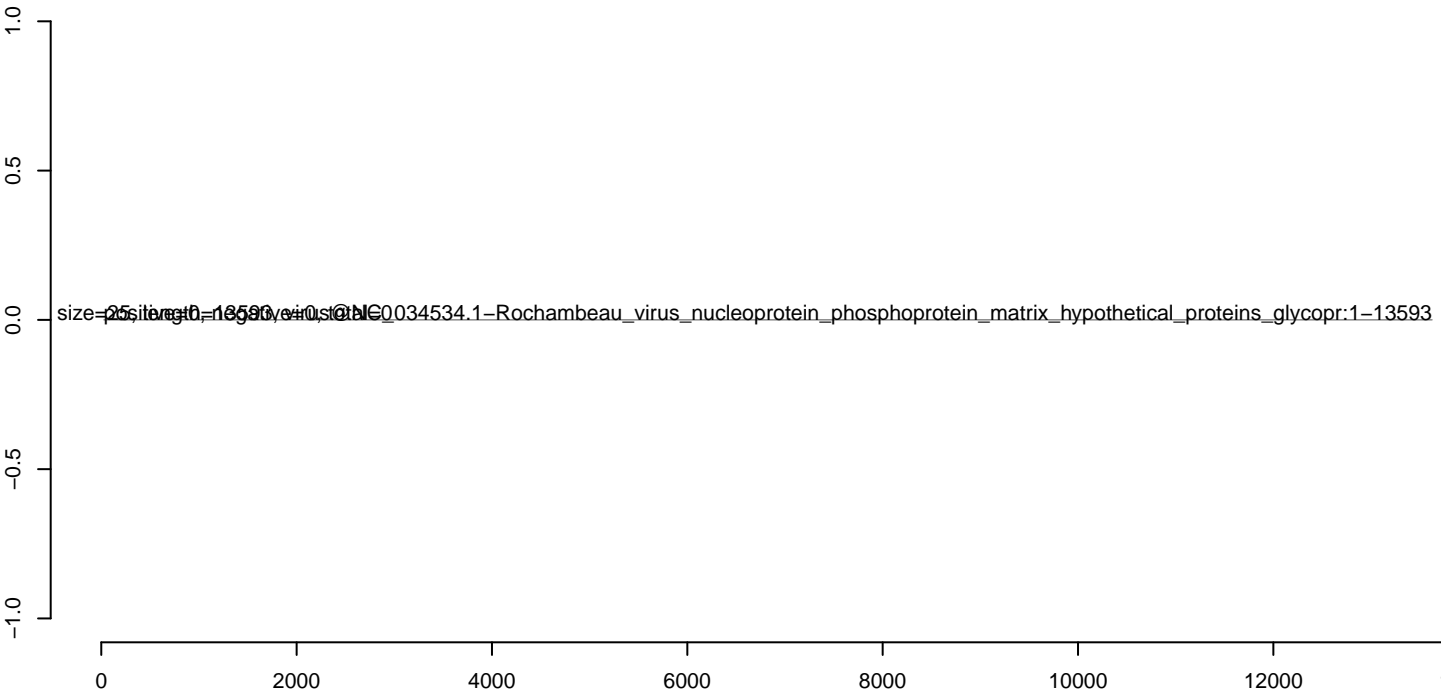
CuQuin_SG_14dpi3.18_23.rep



CuQuin_SG_14dpi3.24_35.rep



CuQuin_SG_14dpi3.rep



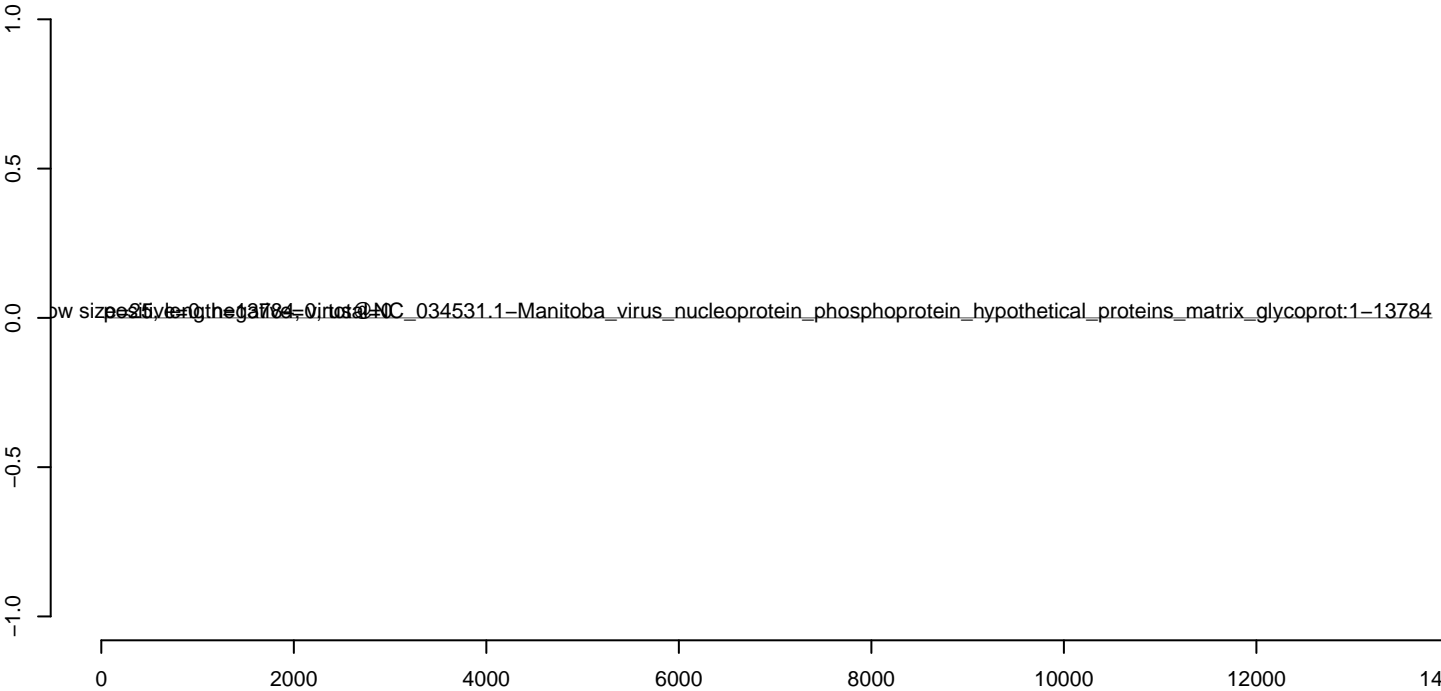
CuQuin_SG_14dpi3.18_23.rep



CuQuin_SG_14dpi3.24_35.rep



CuQuin_SG_14dpi3.rep



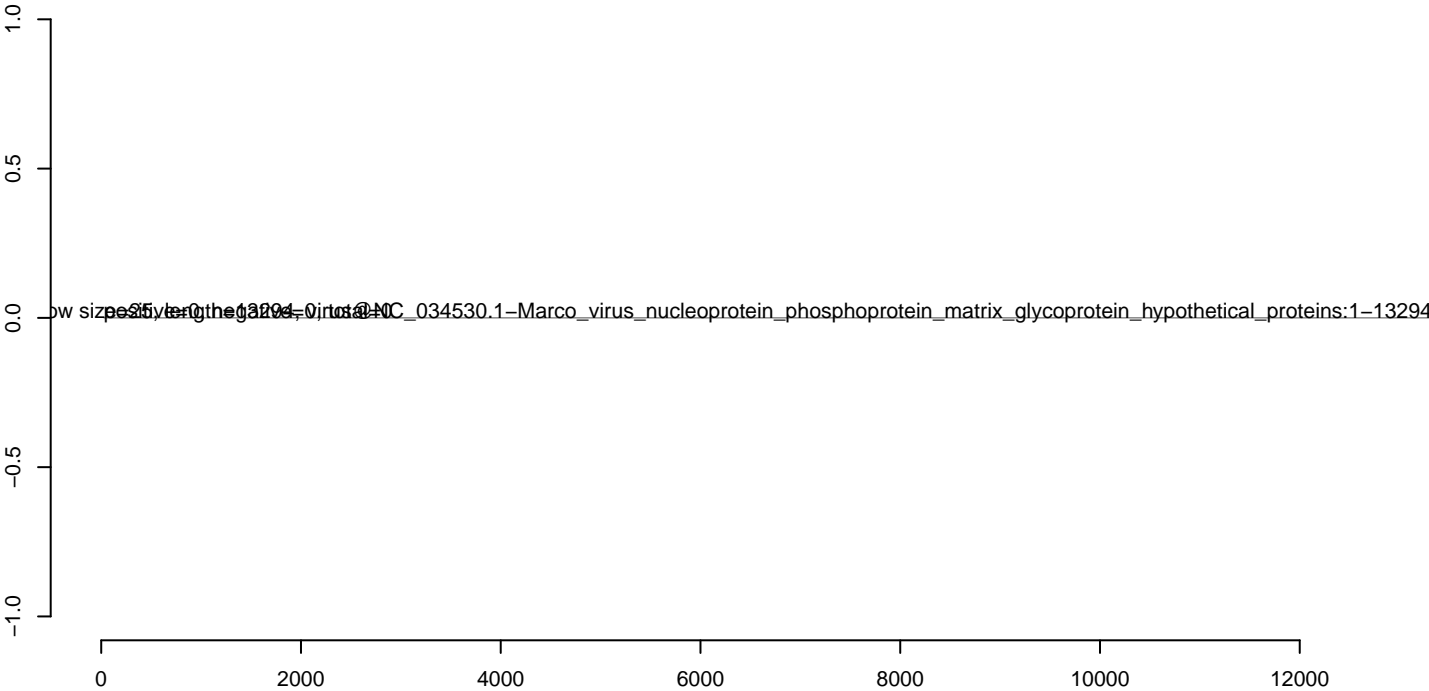
CuQuin_SG_14dpi3.18_23.rep



CuQuin_SG_14dpi3.24_35.rep



CuQuin_SG_14dpi3.rep



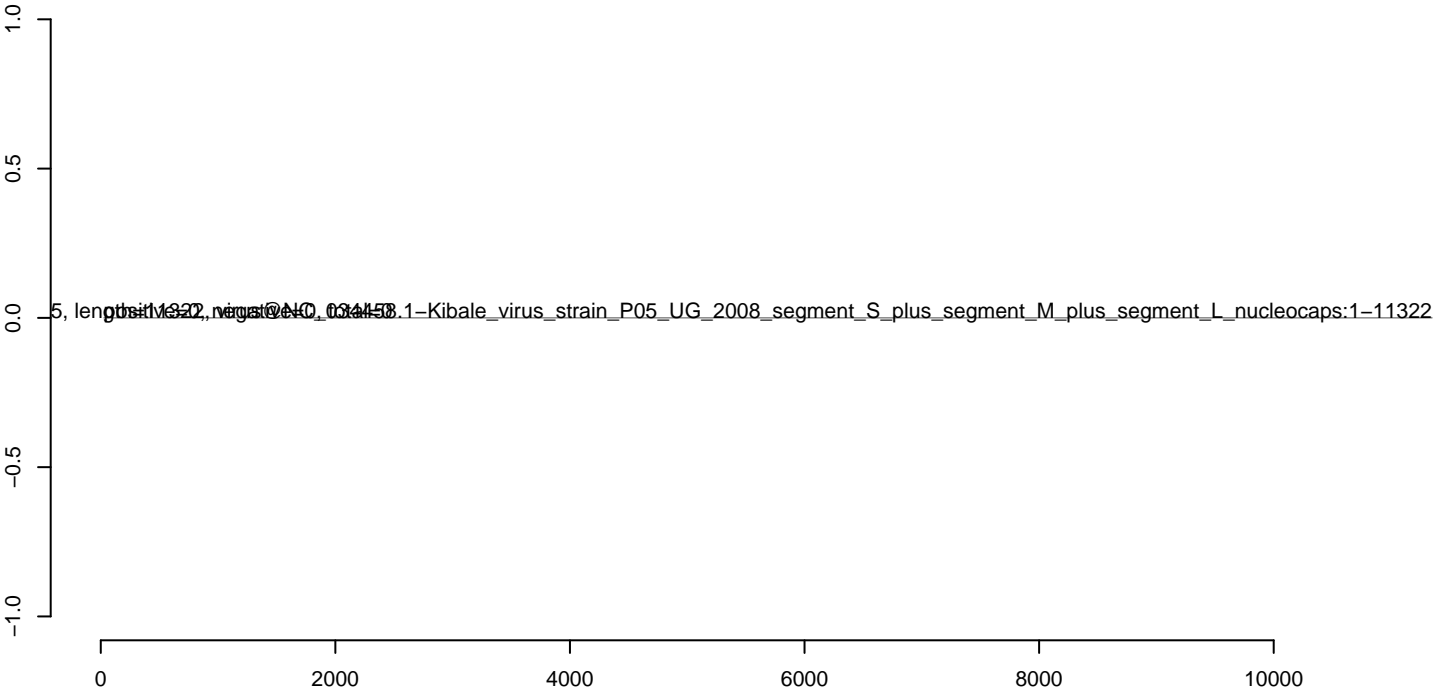
CuQuin_SG_14dpi3.18_23.rep



CuQuin_SG_14dpi3.24_35.rep



CuQuin_SG_14dpi3.rep



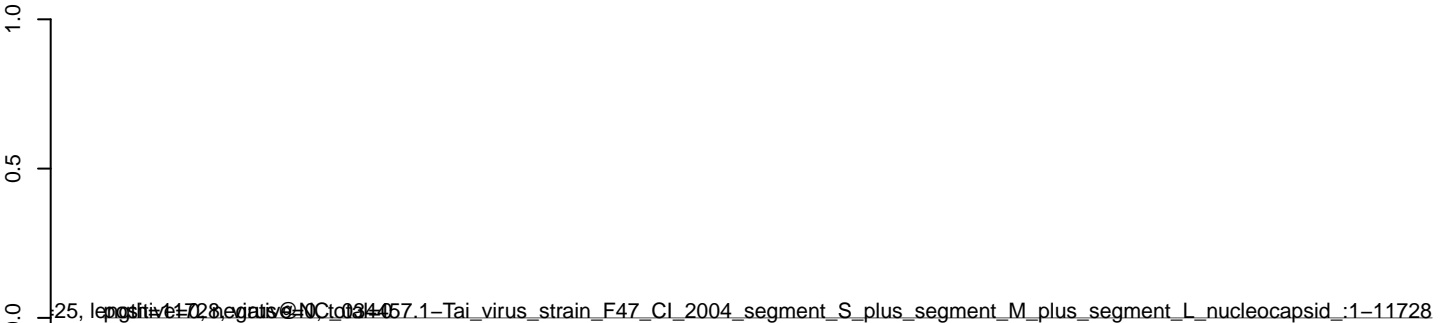
CuQuin_SG_14dpi3.18_23.rep



CuQuin_SG_14dpi3.24_35.rep



CuQuin_SG_14dpi3.rep



0 2000 4000 6000 8000 10000 12000

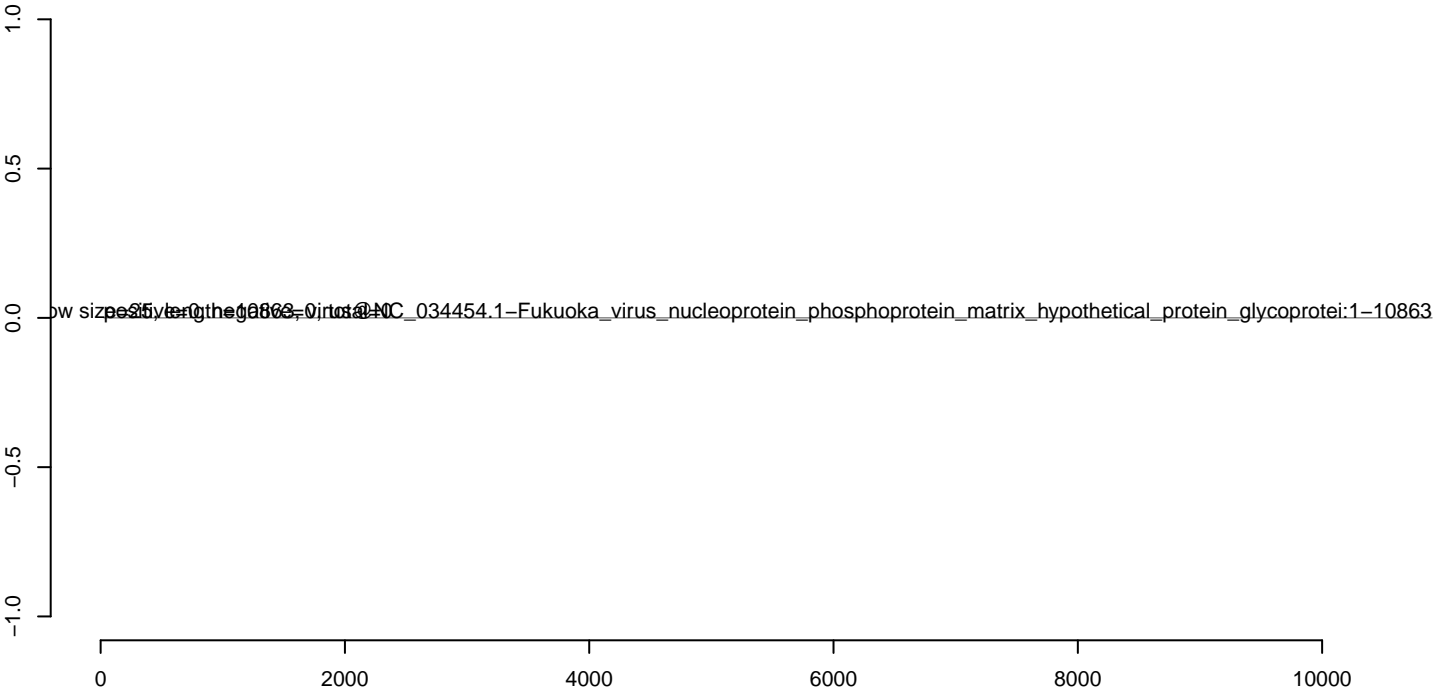
CuQuin_SG_14dpi3.18_23.rep



CuQuin_SG_14dpi3.24_35.rep



CuQuin_SG_14dpi3.rep



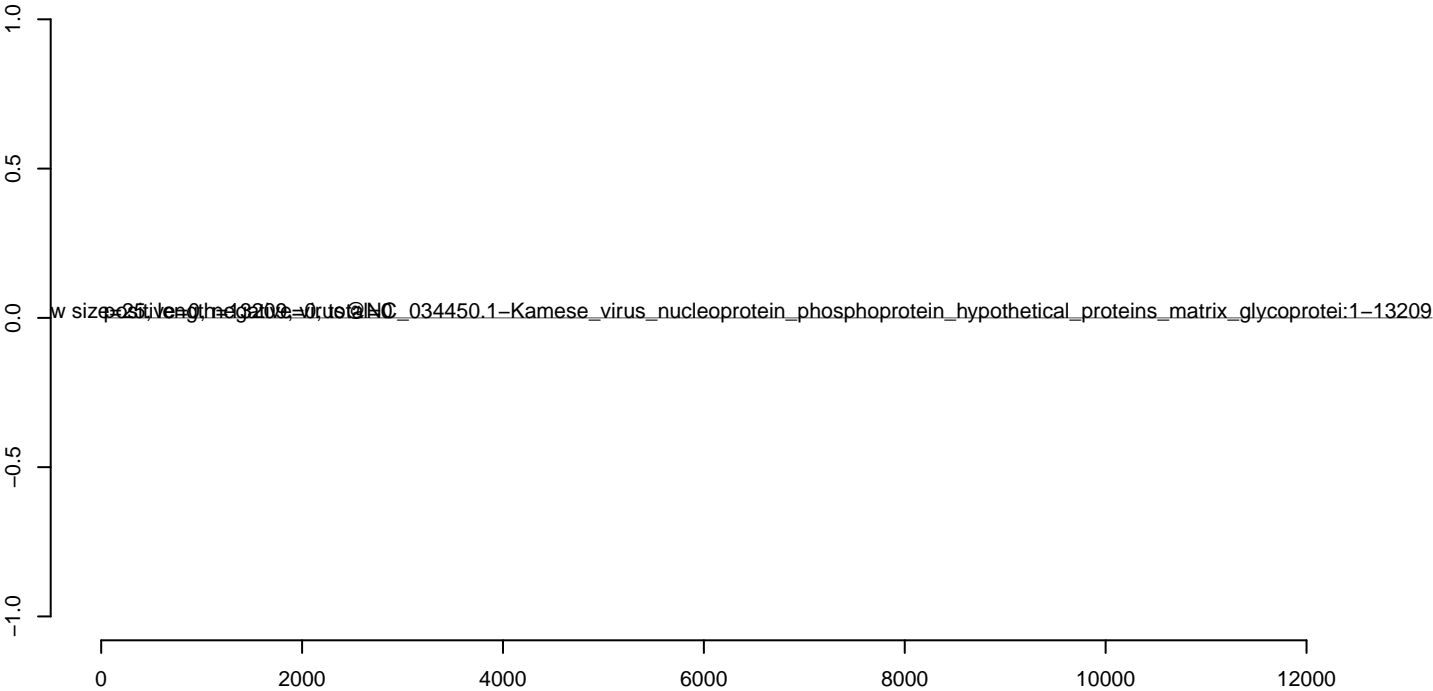
CuQuin_SG_14dpi3.18_23.rep



CuQuin_SG_14dpi3.24_35.rep



CuQuin_SG_14dpi3.rep



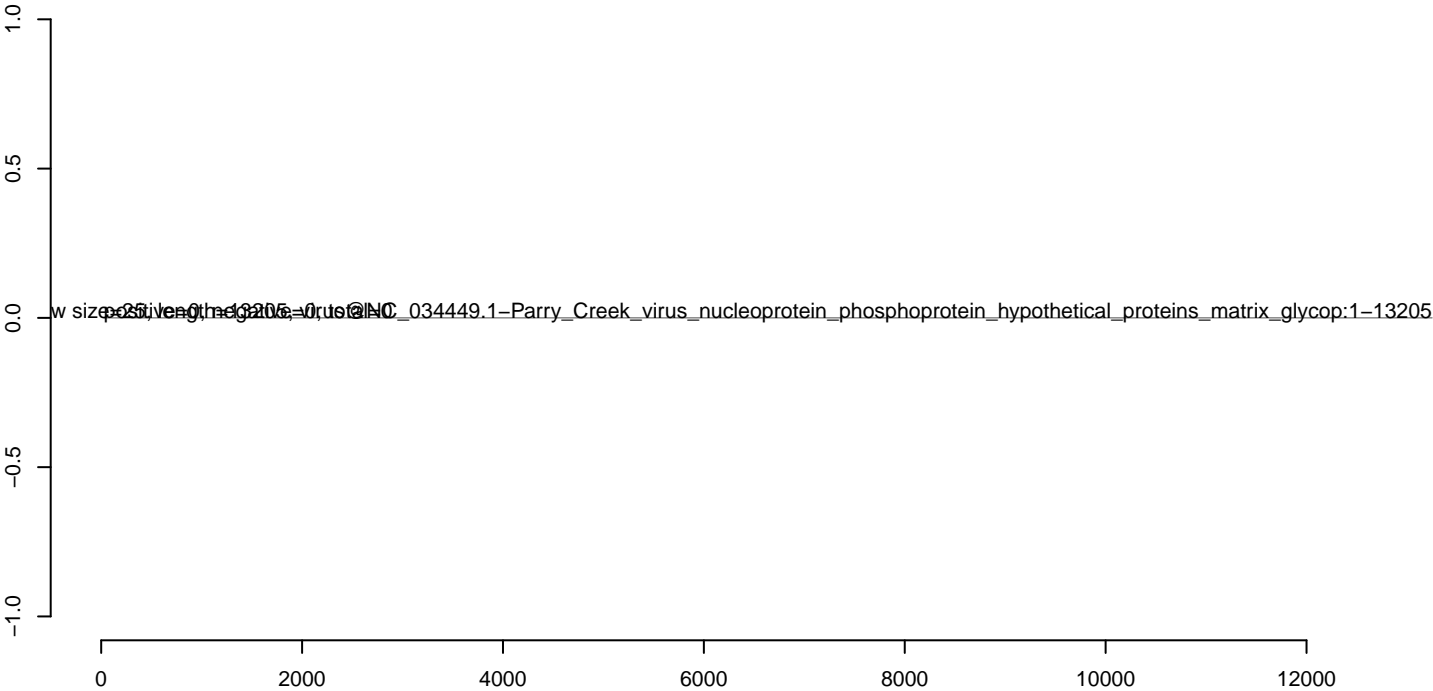
CuQuin_SG_14dpi3.18_23.rep



CuQuin_SG_14dpi3.24_35.rep



CuQuin_SG_14dpi3.rep



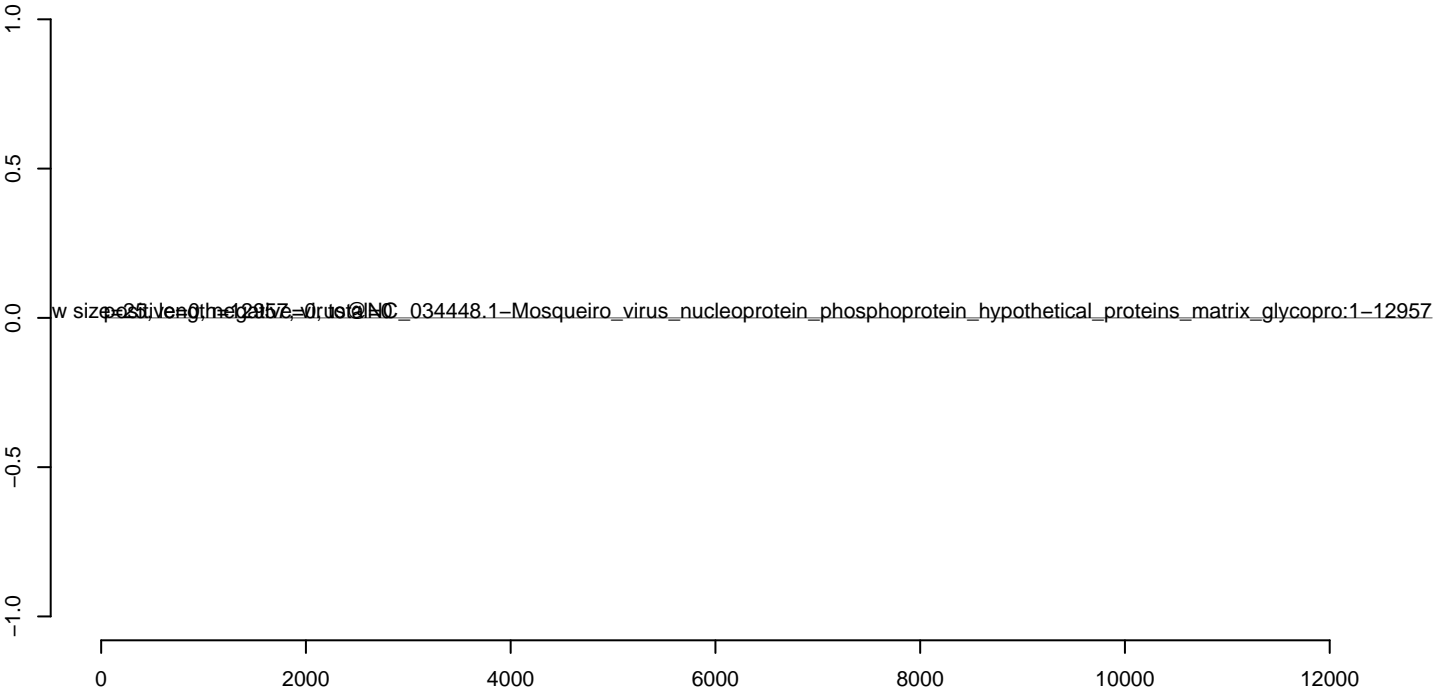
CuQuin_SG_14dpi3.18_23.rep



CuQuin_SG_14dpi3.24_35.rep



CuQuin_SG_14dpi3.rep



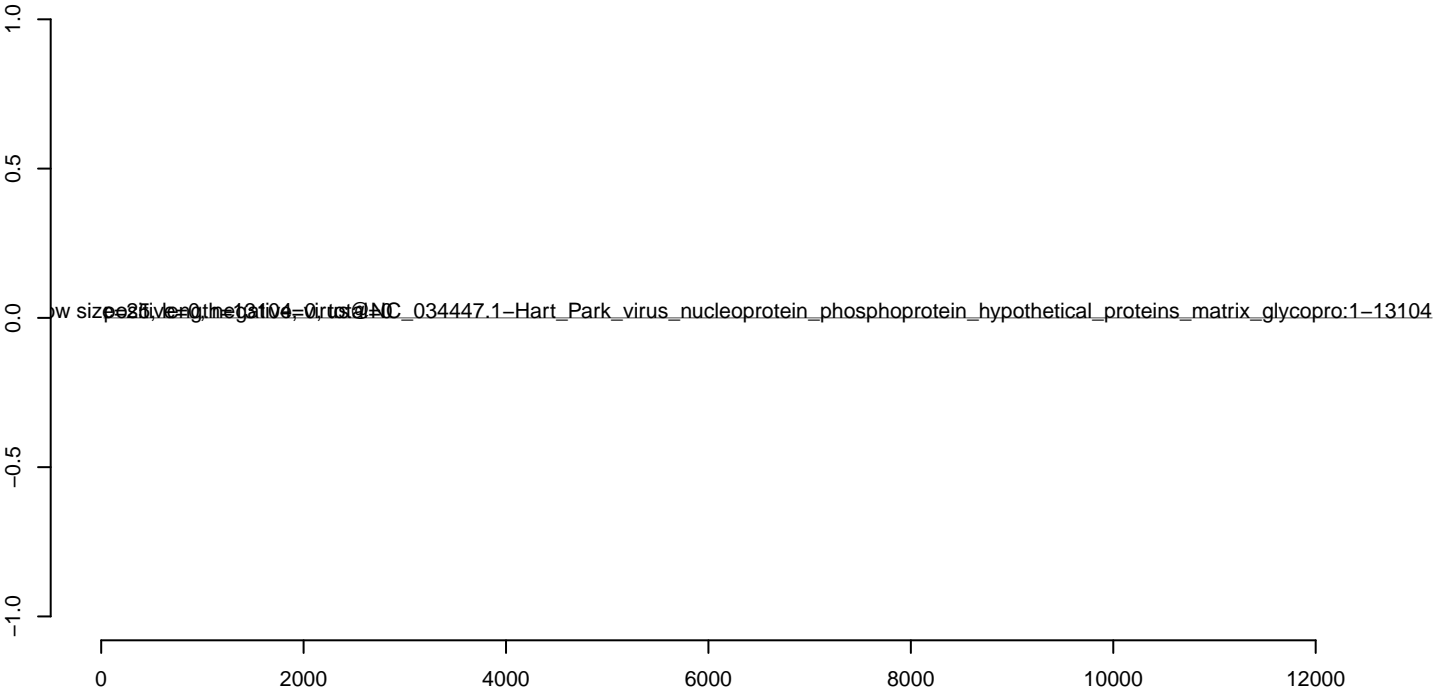
CuQuin_SG_14dpi3.18_23.rep



CuQuin_SG_14dpi3.24_35.rep



CuQuin_SG_14dpi3.rep



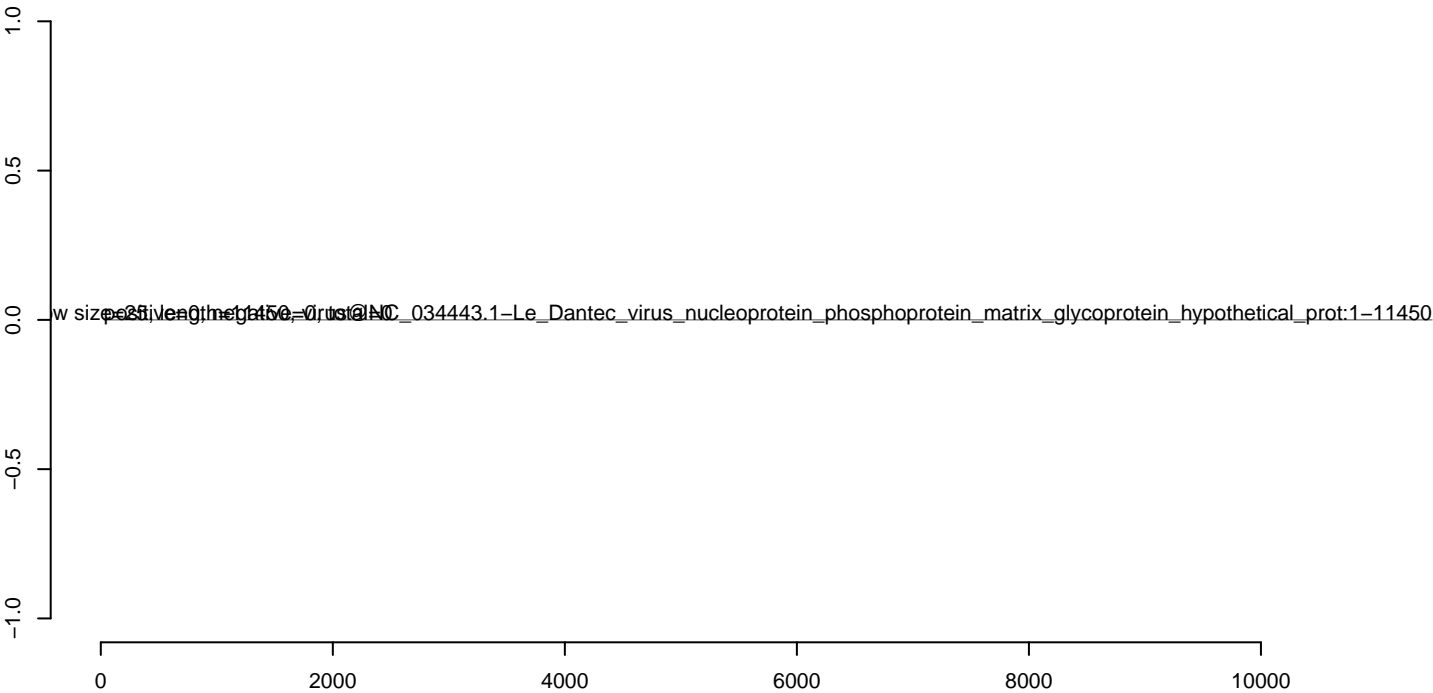
CuQuin_SG_14dpi3.18_23.rep



CuQuin_SG_14dpi3.24_35.rep



CuQuin_SG_14dpi3.rep



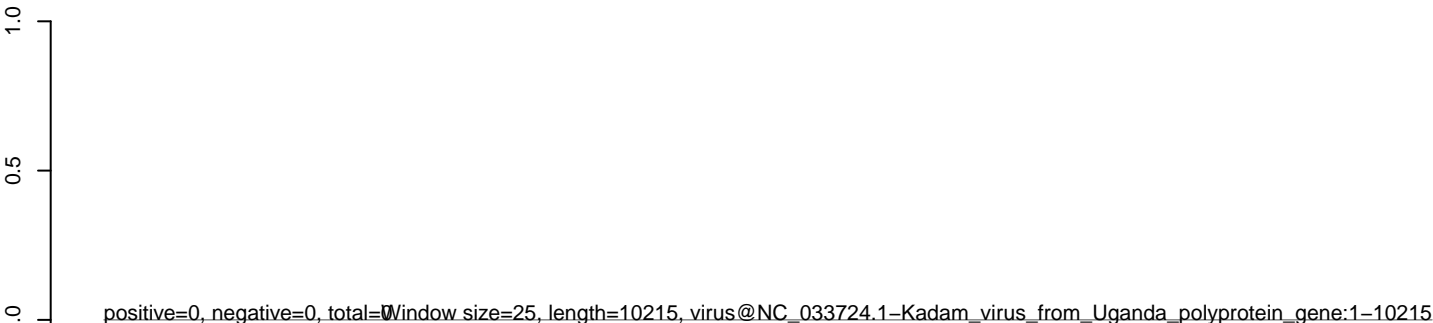
CuQuin_SG_14dpi3.18_23.rep



CuQuin_SG_14dpi3.24_35.rep



CuQuin_SG_14dpi3.rep



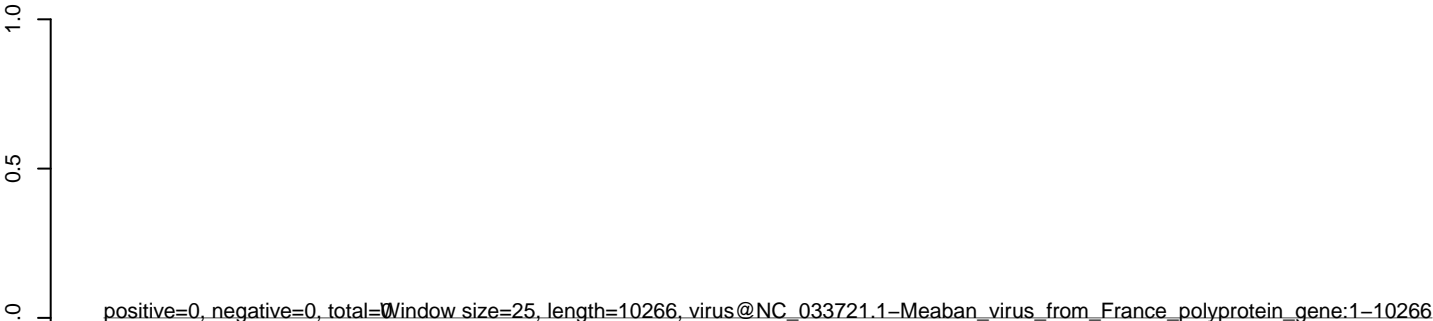
CuQuin_SG_14dpi3.18_23.rep



CuQuin_SG_14dpi3.24_35.rep



CuQuin_SG_14dpi3.rep



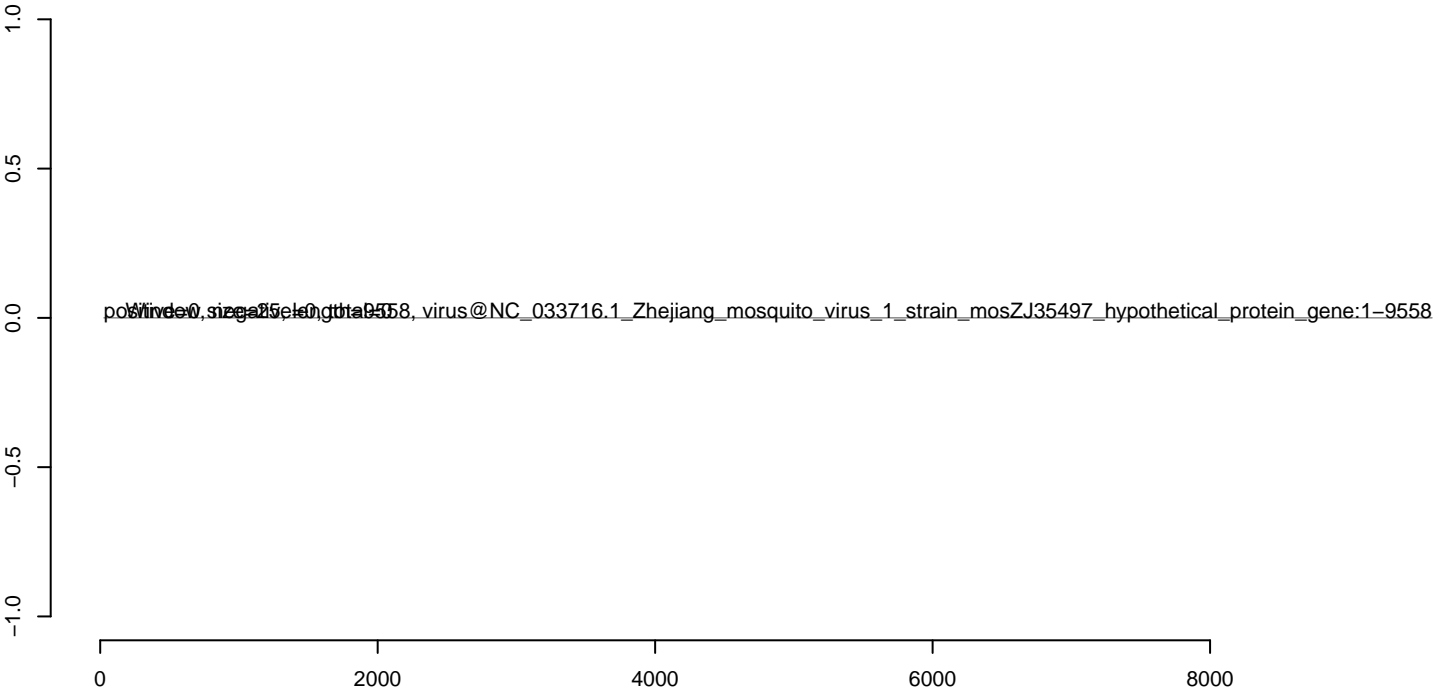
CuQuin_SG_14dpi3.18_23.rep



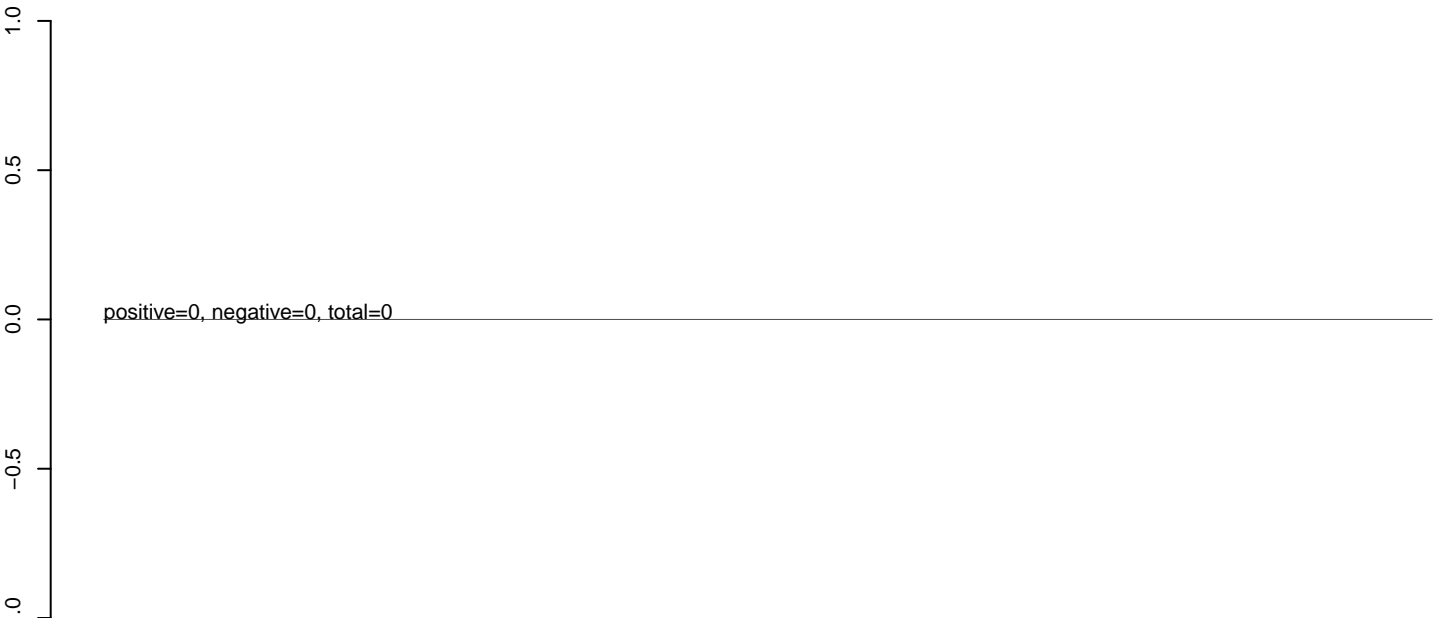
CuQuin_SG_14dpi3.24_35.rep



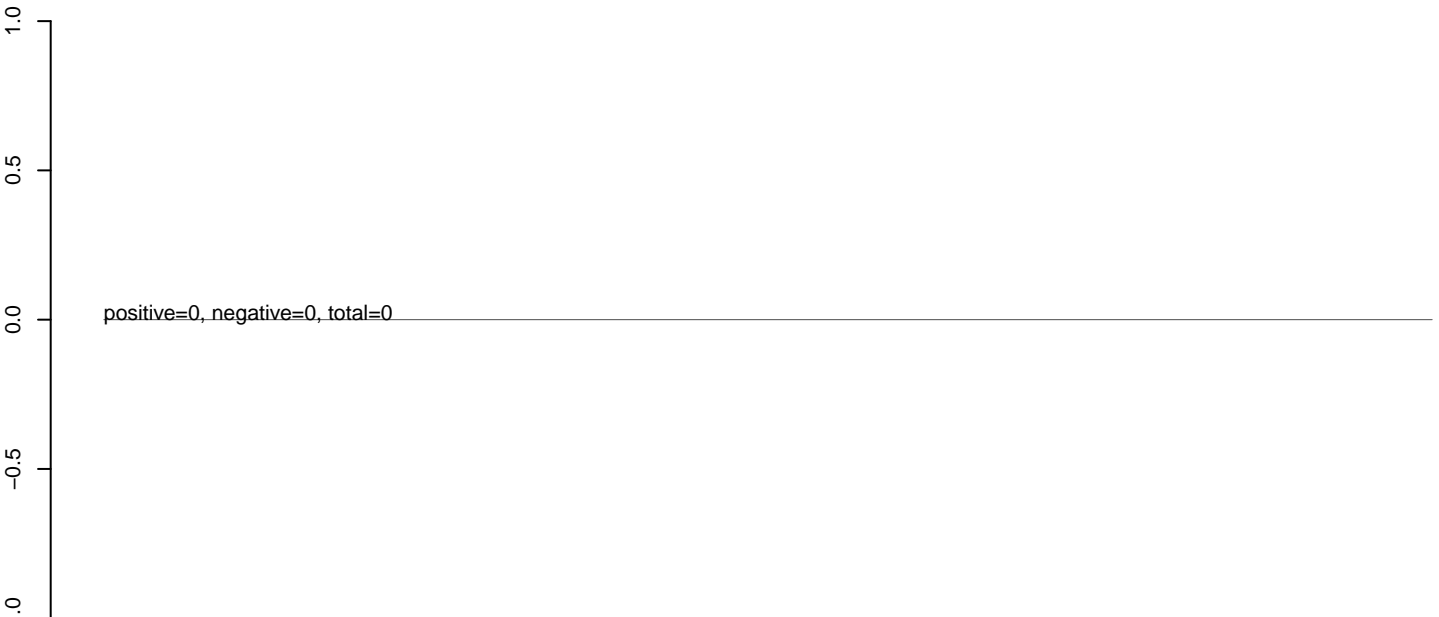
CuQuin_SG_14dpi3.rep



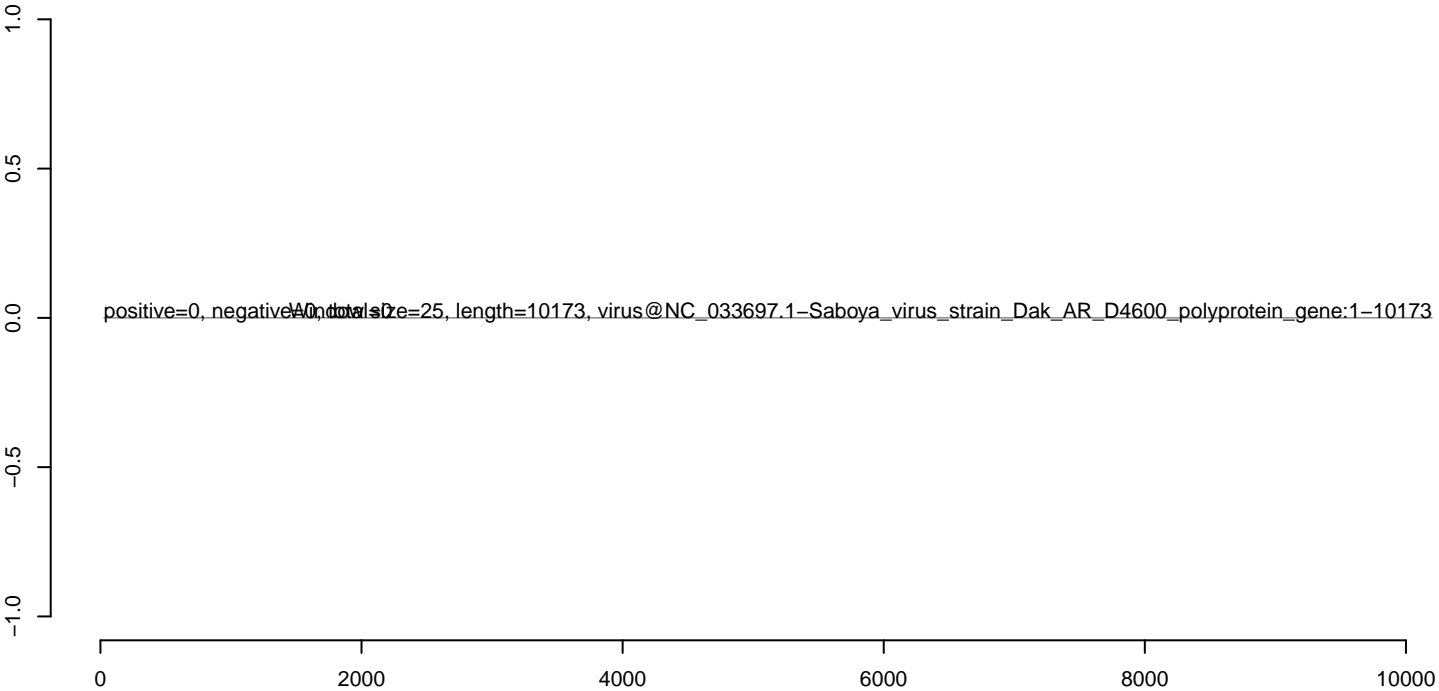
CuQuin_SG_14dpi3.18_23.rep



CuQuin_SG_14dpi3.24_35.rep



CuQuin_SG_14dpi3.rep



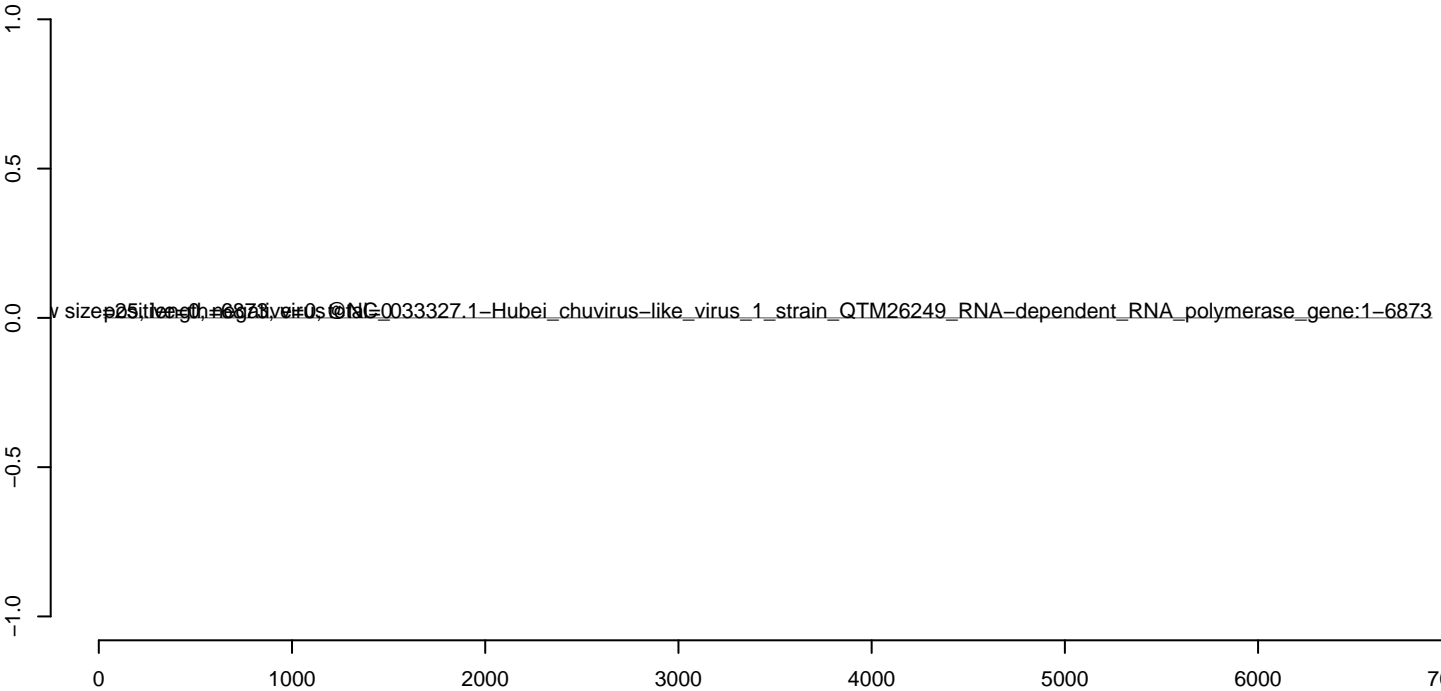
CuQuin_SG_14dpi3.18_23.rep



CuQuin_SG_14dpi3.24_35.rep



CuQuin_SG_14dpi3.rep



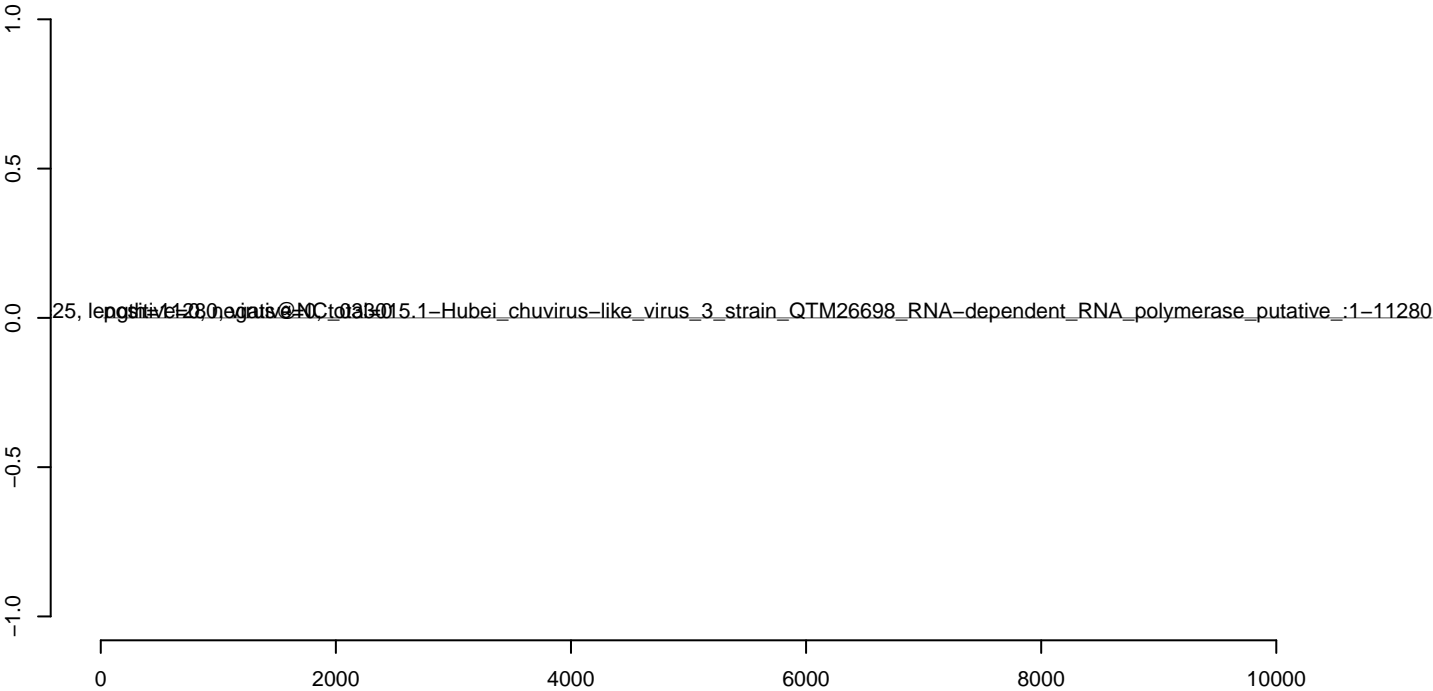
CuQuin_SG_14dpi3.18_23.rep



CuQuin_SG_14dpi3.24_35.rep



CuQuin_SG_14dpi3.rep



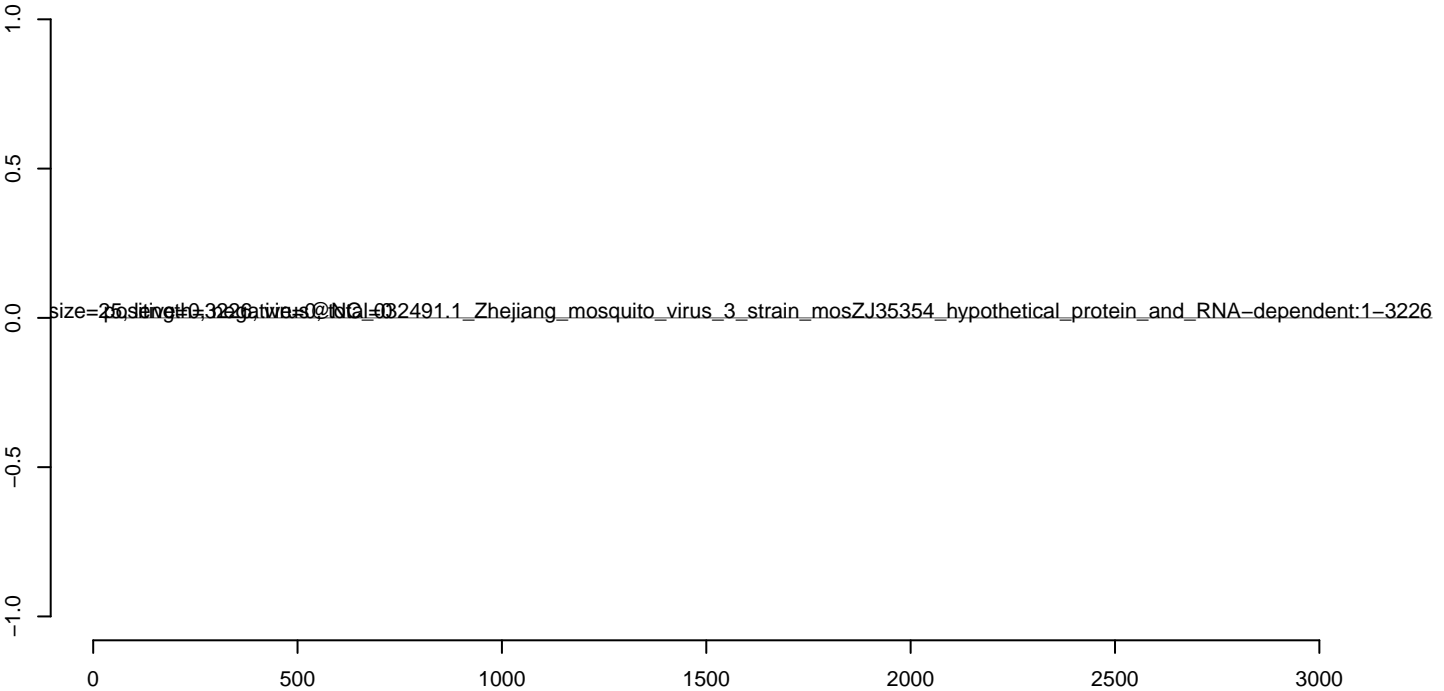
CuQuin_SG_14dpi3.18_23.rep



CuQuin_SG_14dpi3.24_35.rep



CuQuin_SG_14dpi3.rep



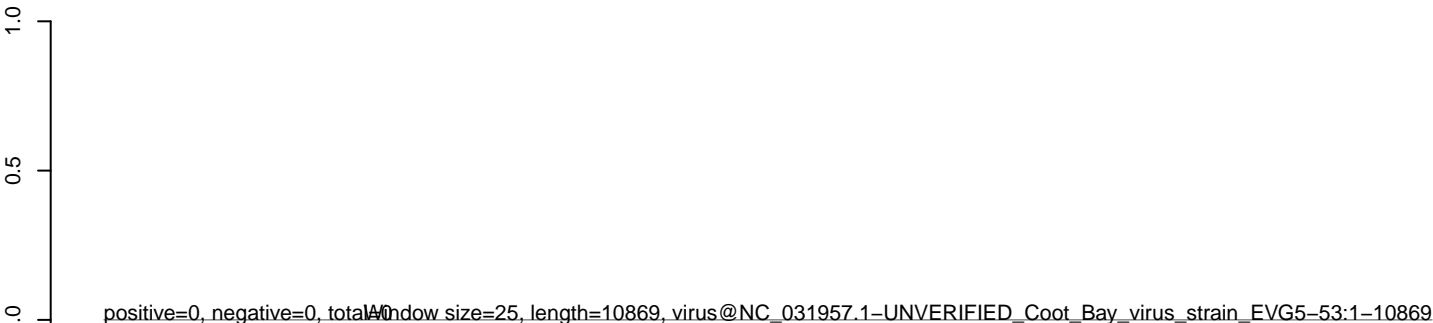
CuQuin_SG_14dpi3.18_23.rep



CuQuin_SG_14dpi3.24_35.rep



CuQuin_SG_14dpi3.rep



0 2000 4000 6000 8000 10000

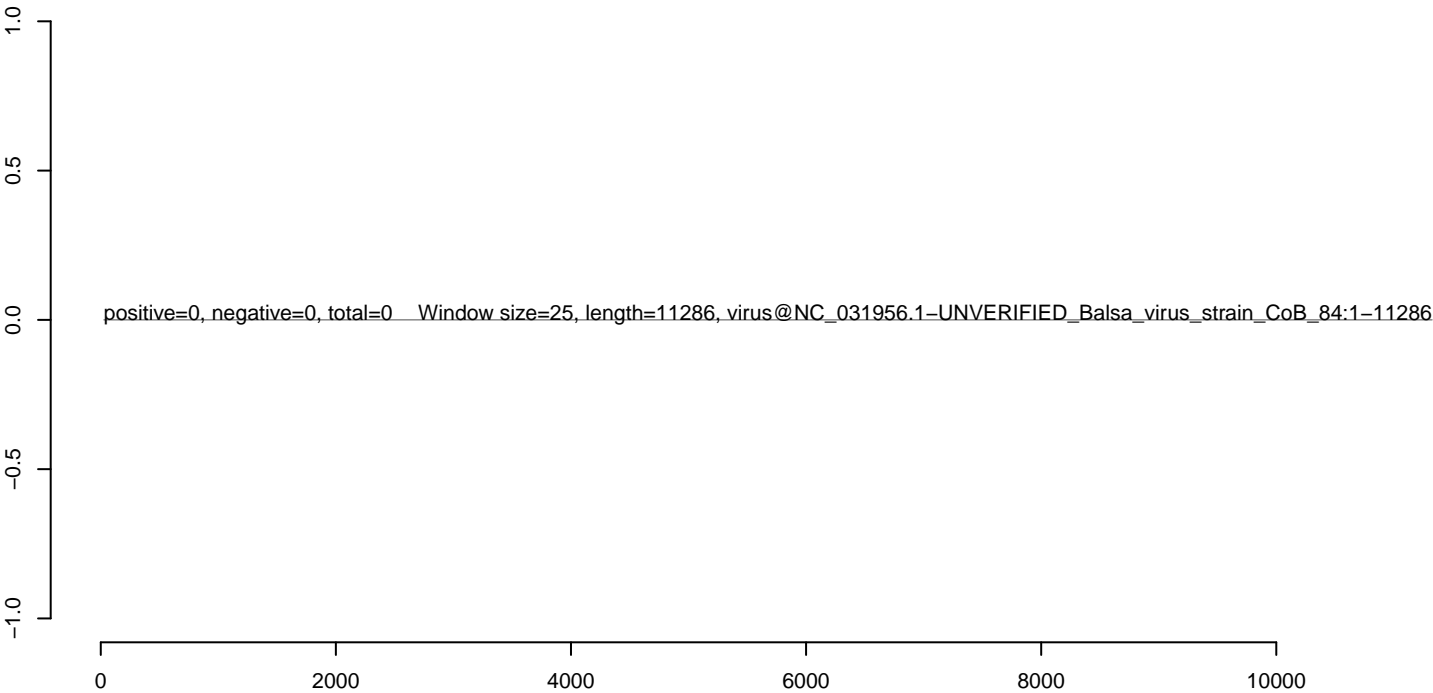
CuQuin_SG_14dpi3.18_23.rep



CuQuin_SG_14dpi3.24_35.rep



CuQuin_SG_14dpi3.rep



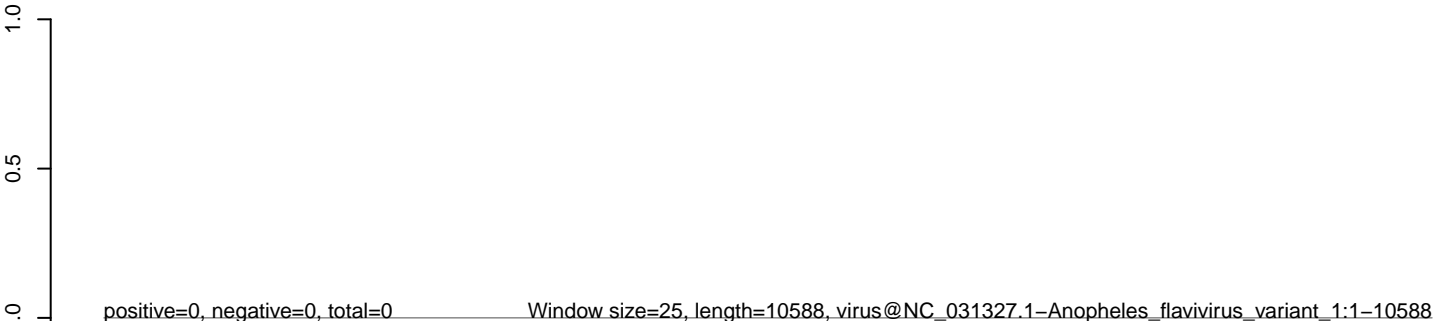
CuQuin_SG_14dpi3.18_23.rep



CuQuin_SG_14dpi3.24_35.rep



CuQuin_SG_14dpi3.rep



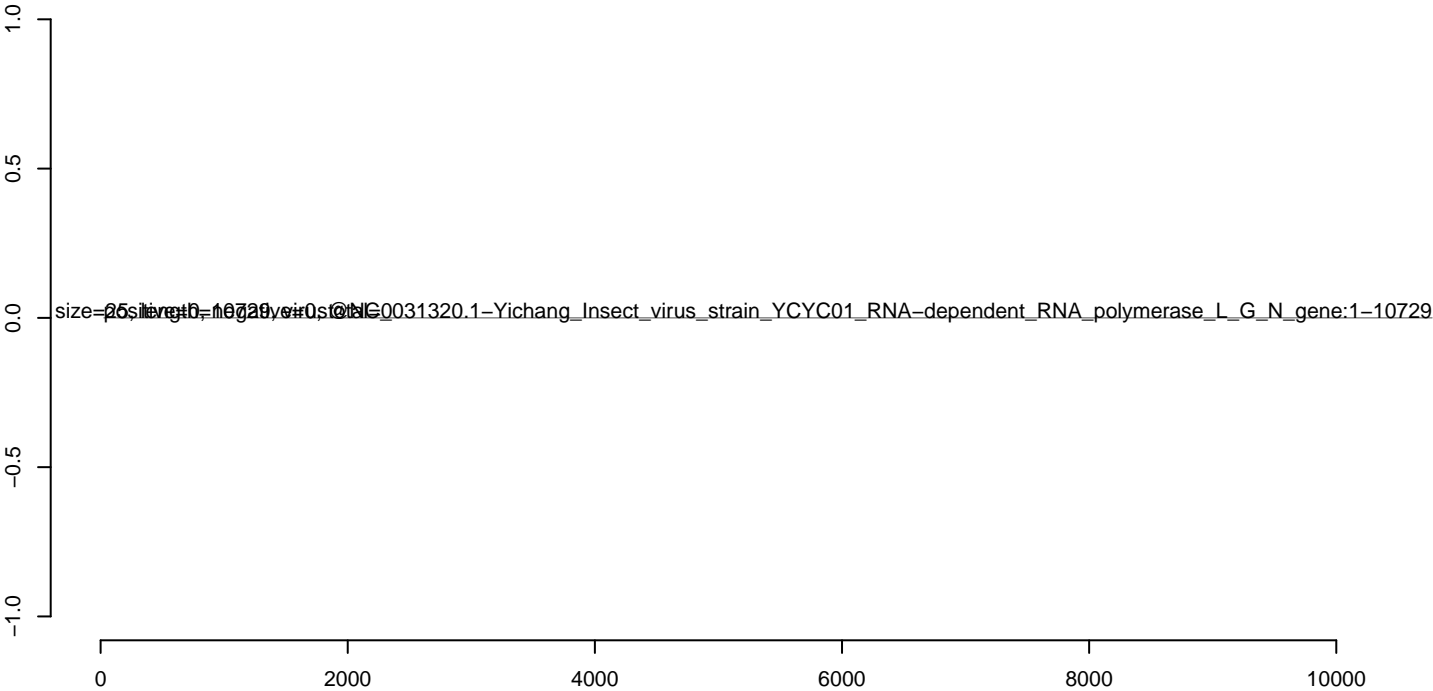
CuQuin_SG_14dpi3.18_23.rep



CuQuin_SG_14dpi3.24_35.rep



CuQuin_SG_14dpi3.rep



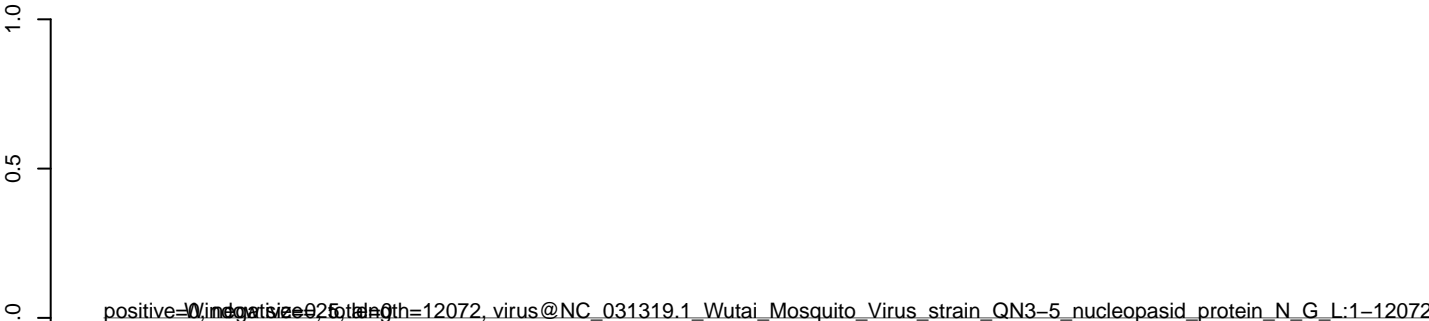
CuQuin_SG_14dpi3.18_23.rep



CuQuin_SG_14dpi3.24_35.rep



CuQuin_SG_14dpi3.rep



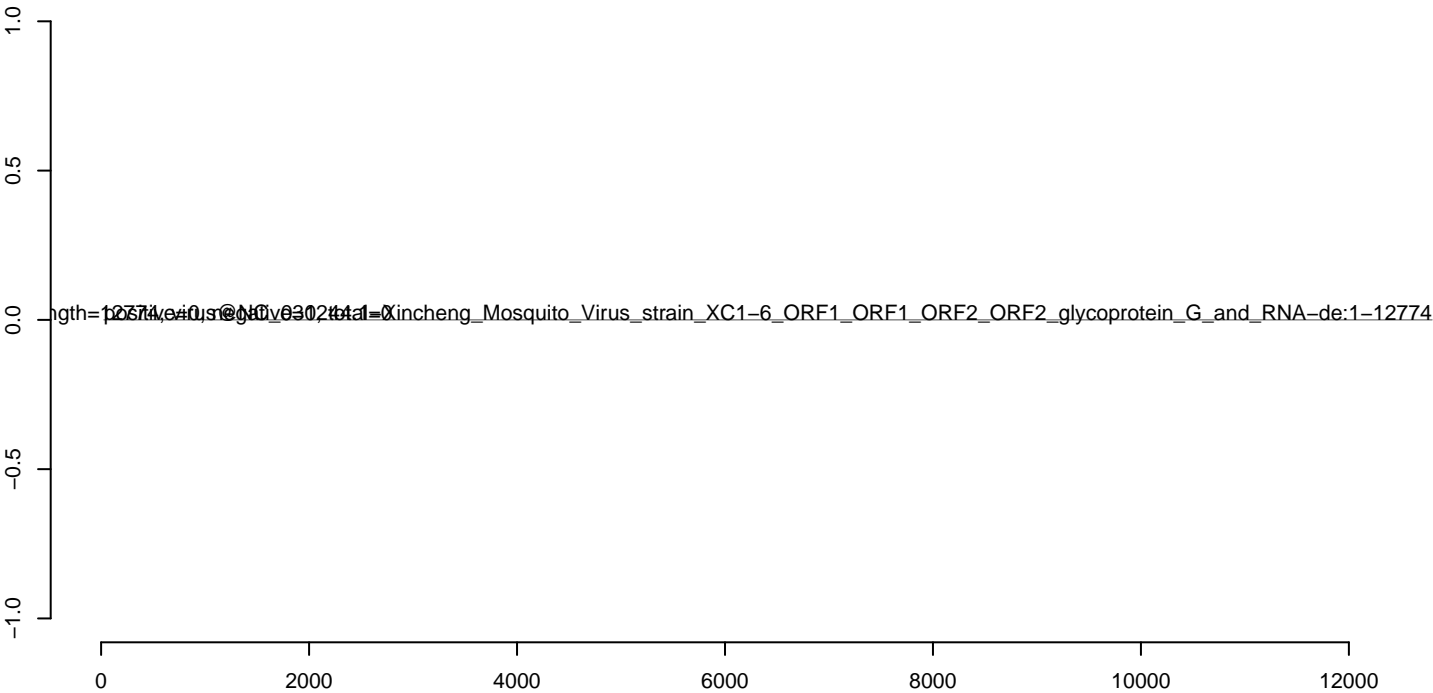
CuQuin_SG_14dpi3.18_23.rep



CuQuin_SG_14dpi3.24_35.rep



CuQuin_SG_14dpi3.rep



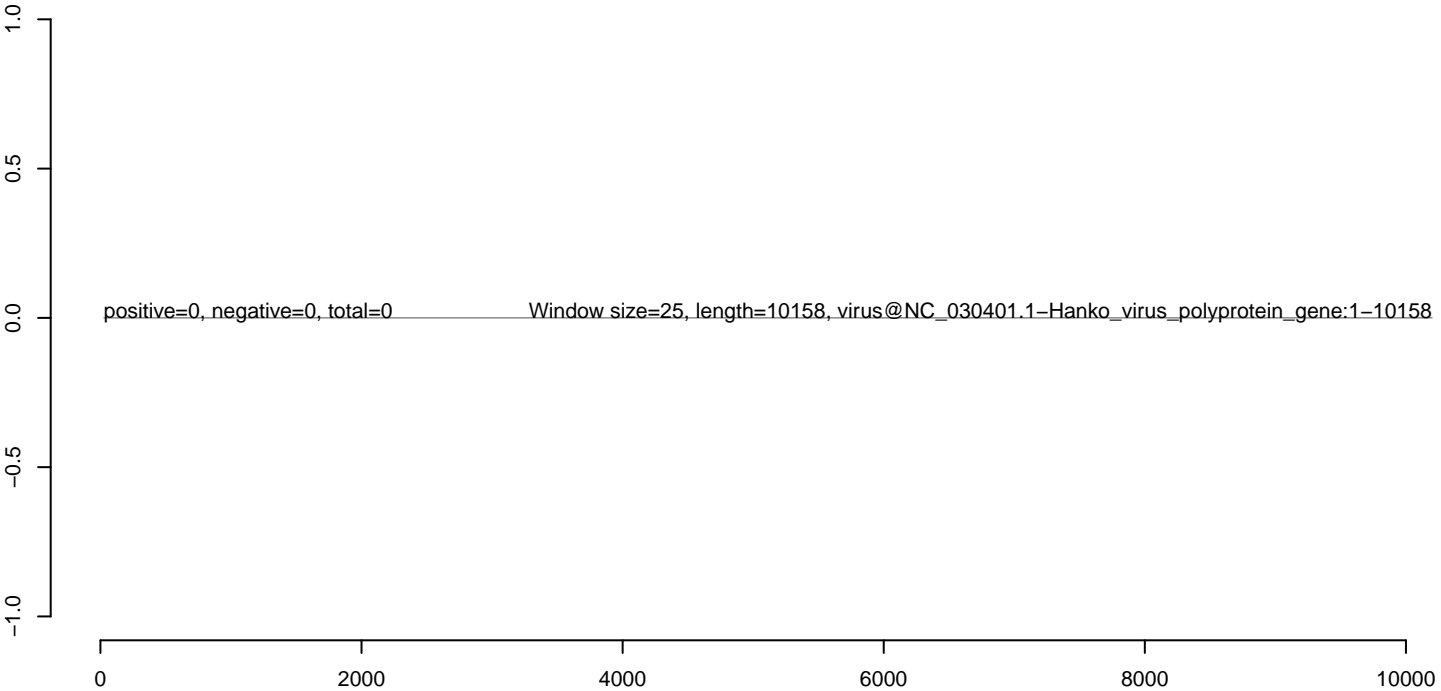
CuQuin_SG_14dpi3.18_23.rep



CuQuin_SG_14dpi3.24_35.rep



CuQuin_SG_14dpi3.rep



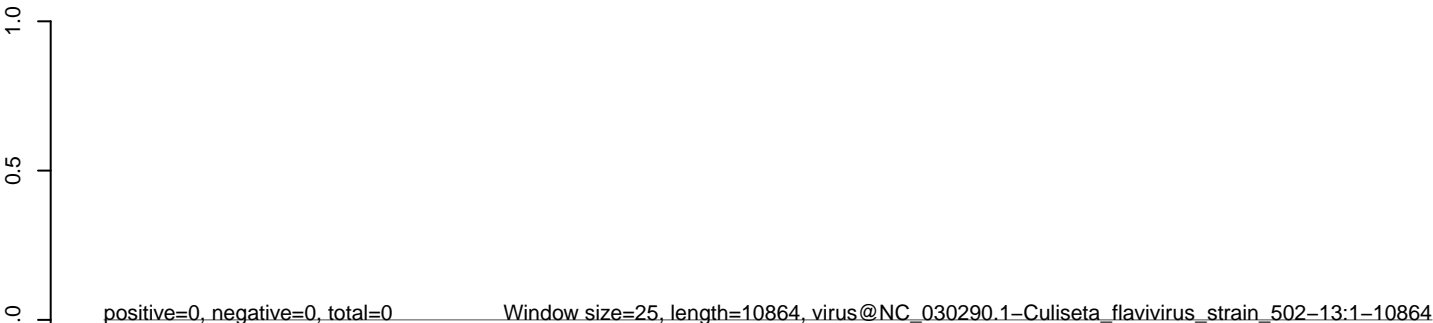
CuQuin_SG_14dpi3.18_23.rep



CuQuin_SG_14dpi3.24_35.rep



CuQuin_SG_14dpi3.rep



0 2000 4000 6000 8000 10000

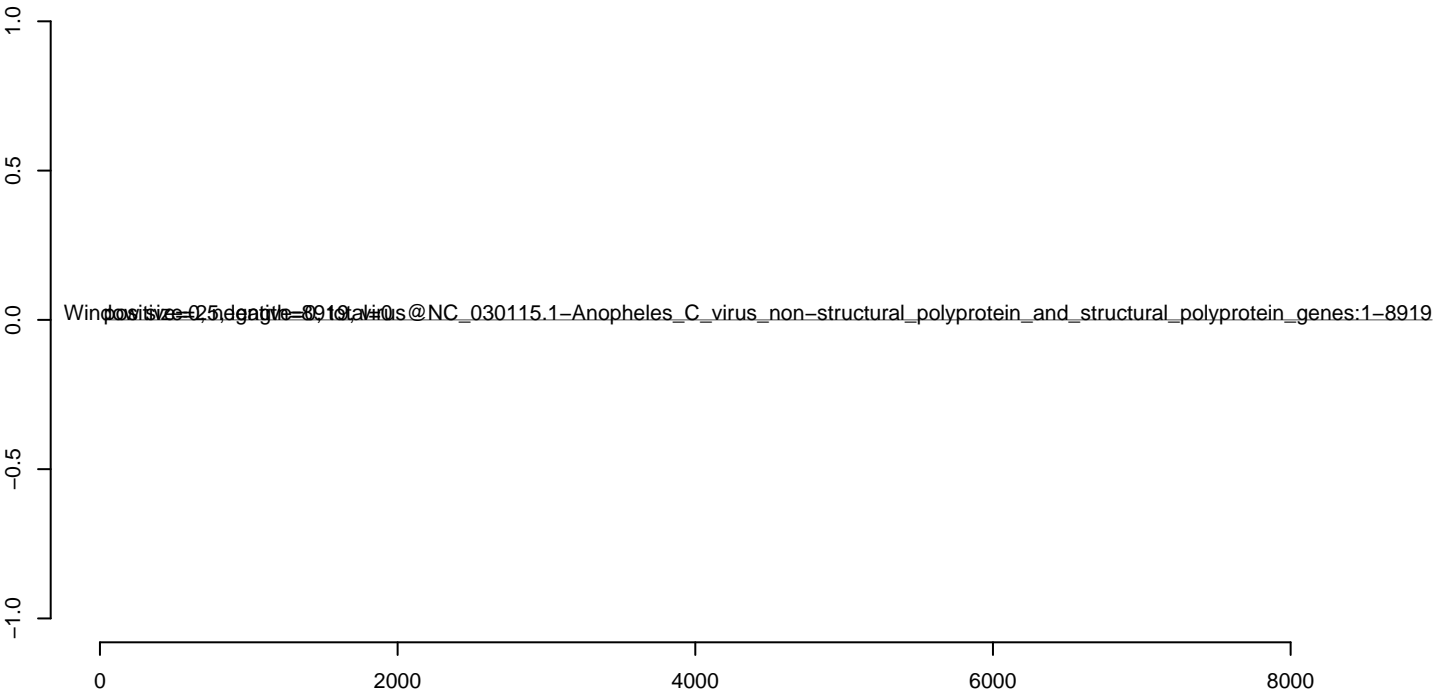
CuQuin_SG_14dpi3.18_23.rep



CuQuin_SG_14dpi3.24_35.rep



CuQuin_SG_14dpi3.rep



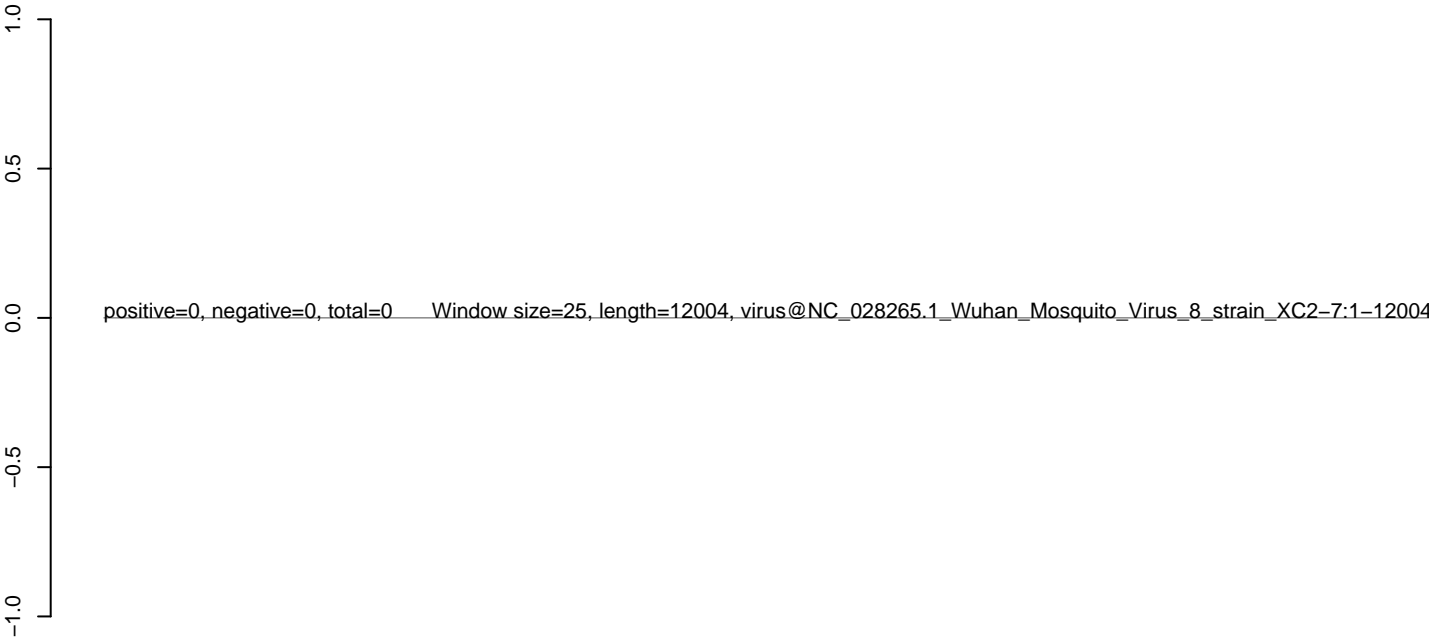
CuQuin_SG_14dpi3.18_23.rep



CuQuin_SG_14dpi3.24_35.rep



CuQuin_SG_14dpi3.rep



0 2000 4000 6000 8000 10000 12000

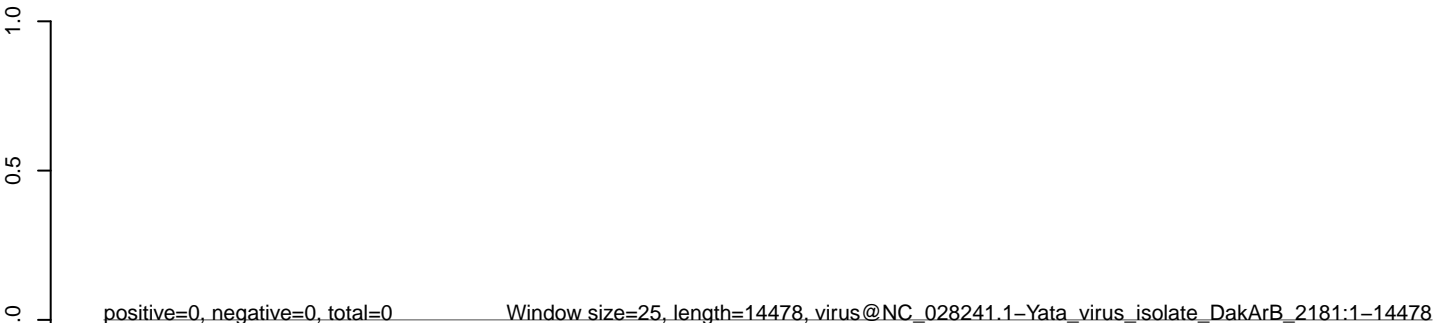
CuQuin_SG_14dpi3.18_23.rep



CuQuin_SG_14dpi3.24_35.rep



CuQuin_SG_14dpi3.rep



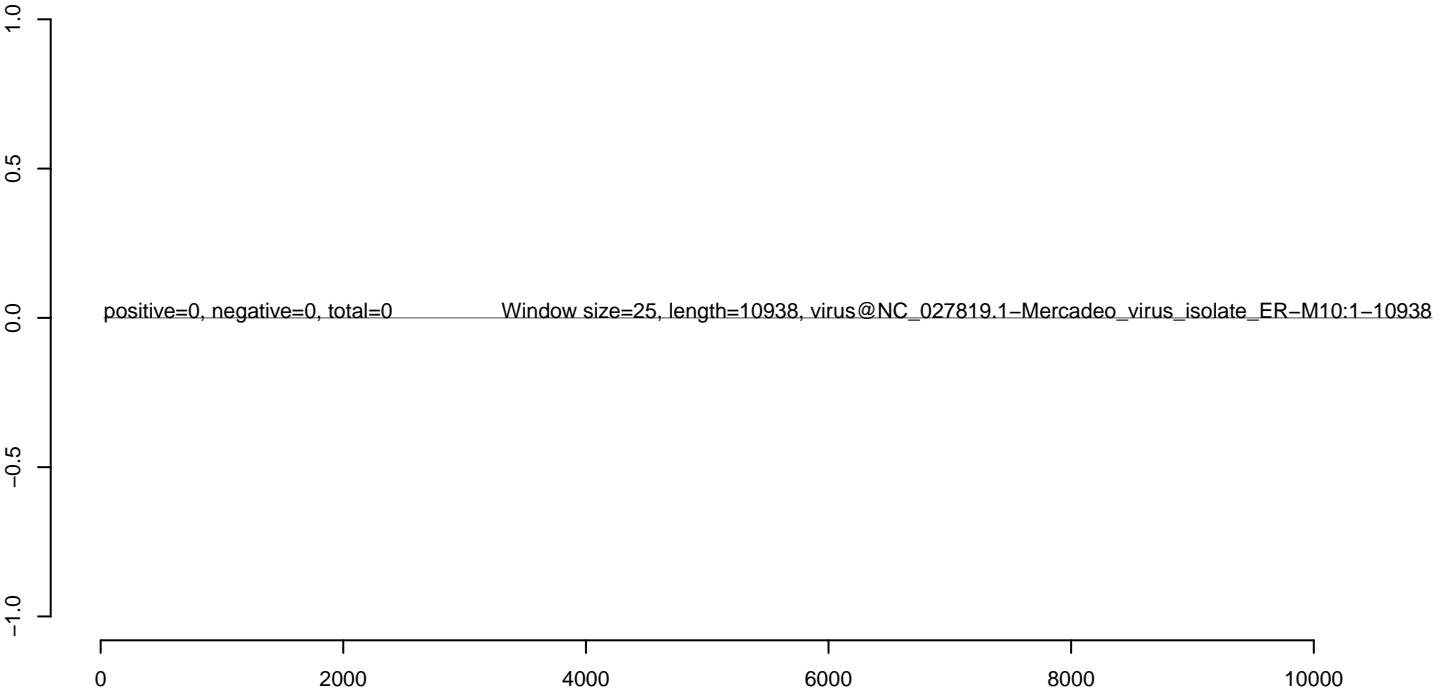
CuQuin_SG_14dpi3.18_23.rep



CuQuin_SG_14dpi3.24_35.rep



CuQuin_SG_14dpi3.rep



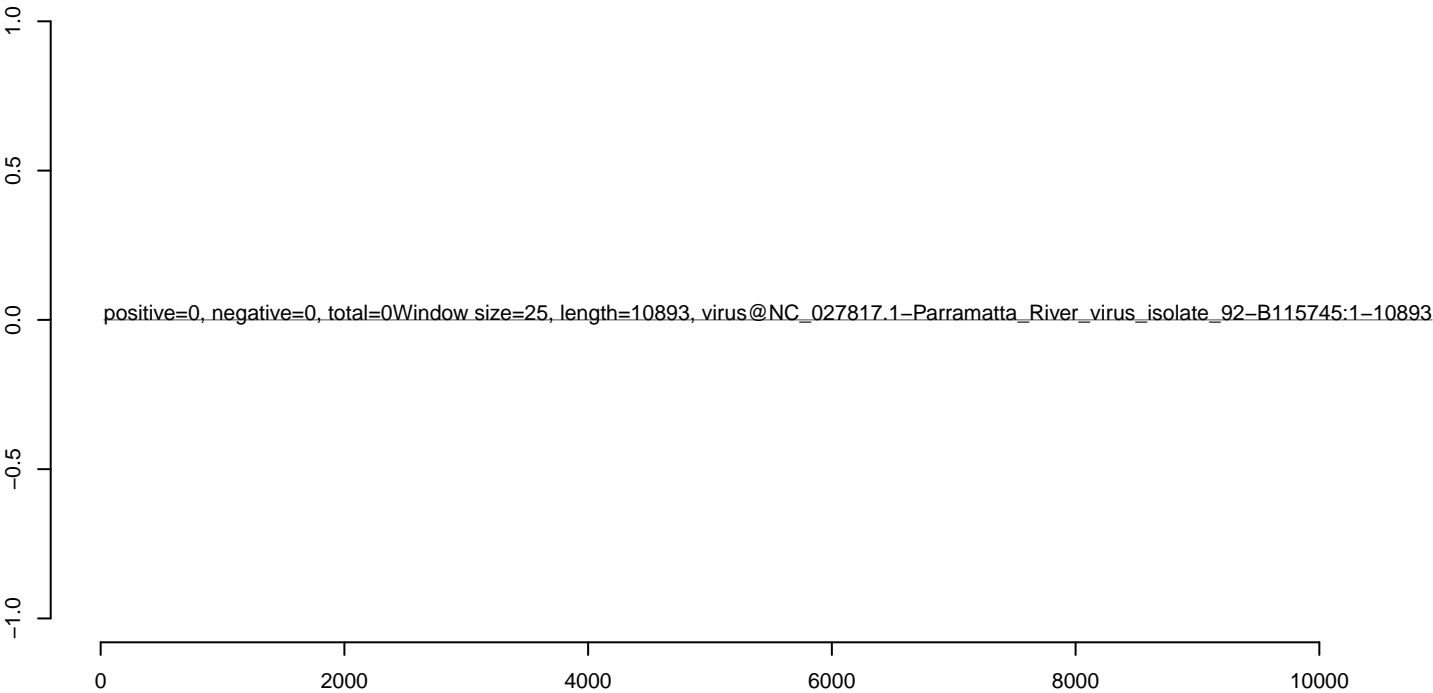
CuQuin_SG_14dpi3.18_23.rep



CuQuin_SG_14dpi3.24_35.rep



CuQuin_SG_14dpi3.rep



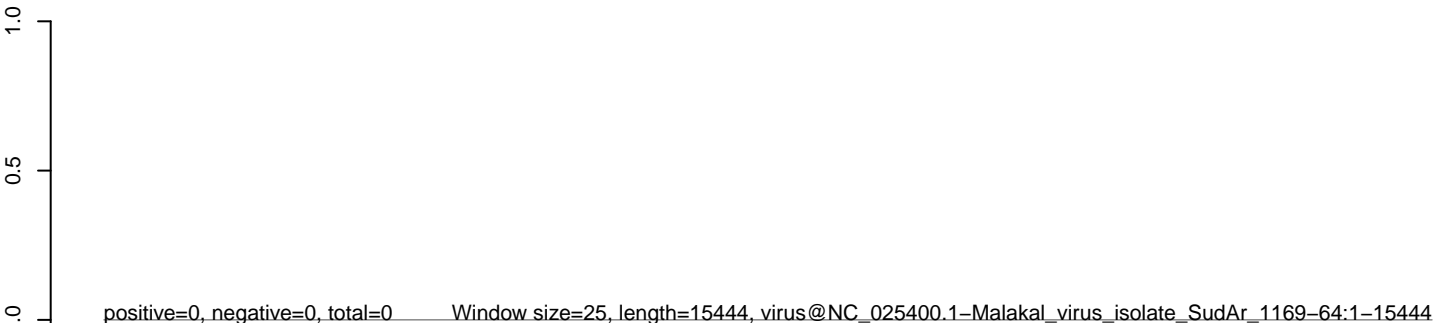
CuQuin_SG_14dpi3.18_23.rep



CuQuin_SG_14dpi3.24_35.rep



CuQuin_SG_14dpi3.rep



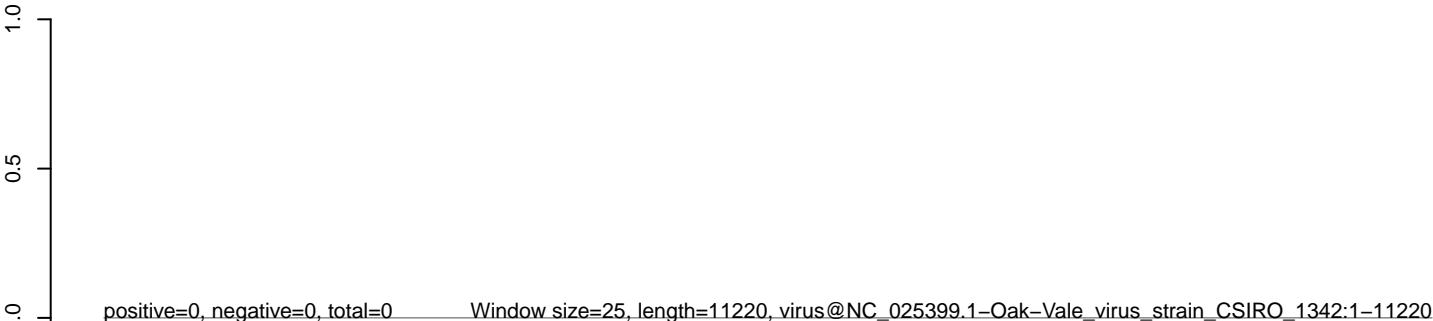
CuQuin_SG_14dpi3.18_23.rep



CuQuin_SG_14dpi3.24_35.rep



CuQuin_SG_14dpi3.rep



0 2000 4000 6000 8000 10000

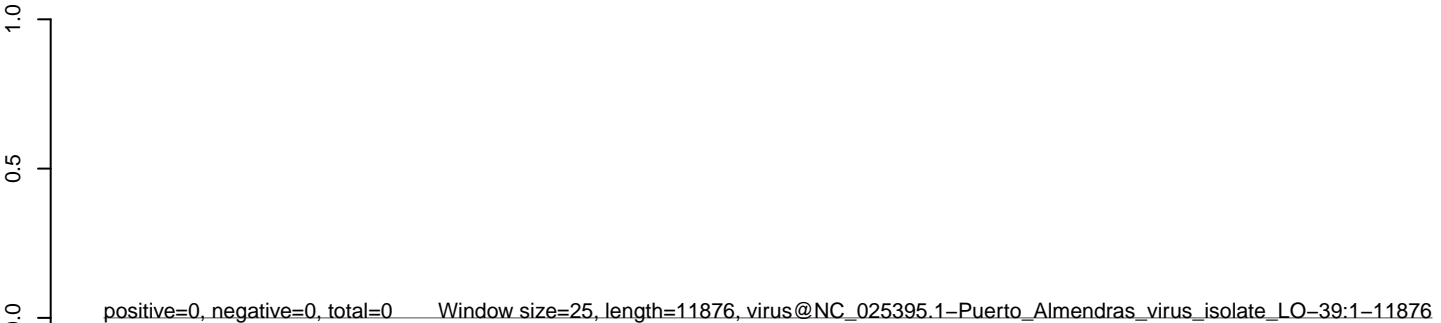
CuQuin_SG_14dpi3.18_23.rep



CuQuin_SG_14dpi3.24_35.rep



CuQuin_SG_14dpi3.rep



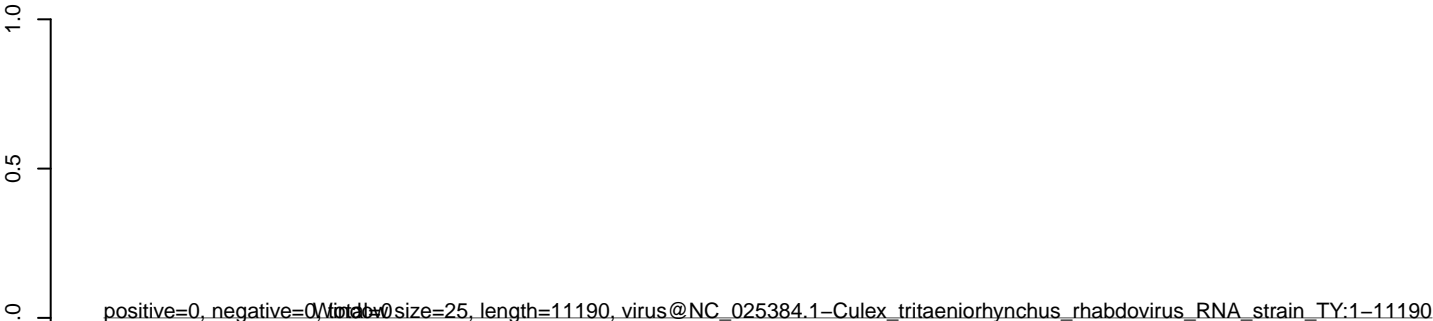
CuQuin_SG_14dpi3.18_23.rep



CuQuin_SG_14dpi3.24_35.rep



CuQuin_SG_14dpi3.rep



0 2000 4000 6000 8000 10000

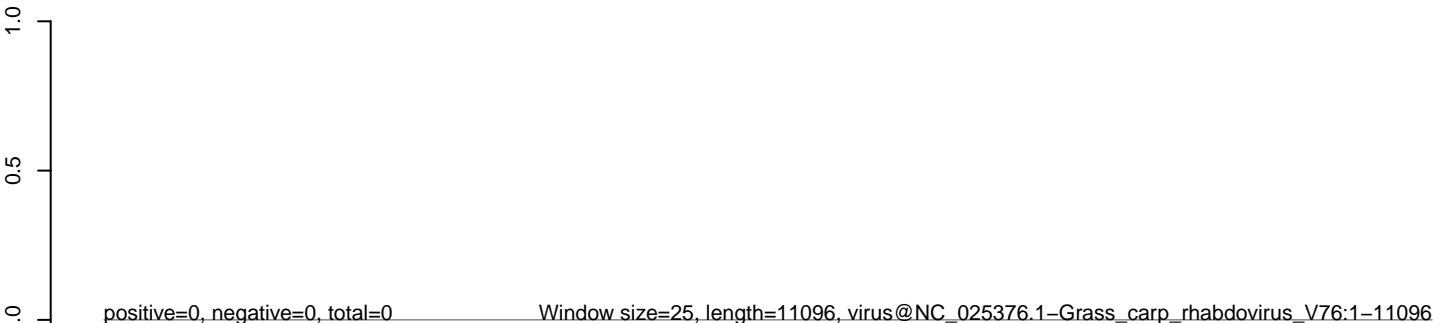
CuQuin_SG_14dpi3.18_23.rep



CuQuin_SG_14dpi3.24_35.rep



CuQuin_SG_14dpi3.rep



0 2000 4000 6000 8000 10000

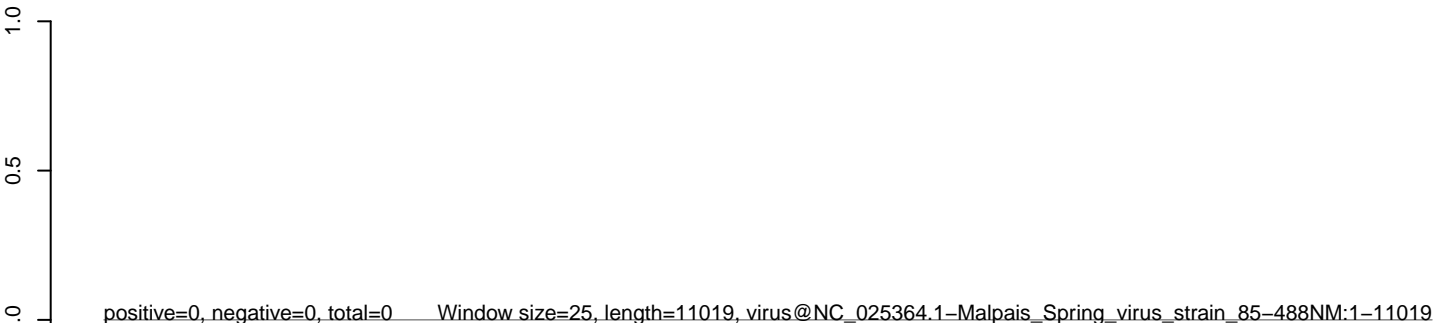
CuQuin_SG_14dpi3.18_23.rep



CuQuin_SG_14dpi3.24_35.rep



CuQuin_SG_14dpi3.rep



0 2000 4000 6000 8000 10000

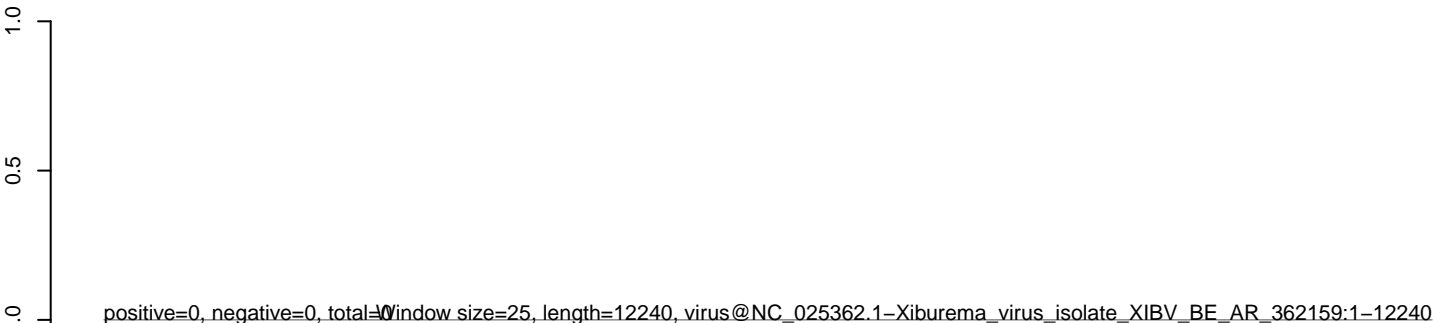
CuQuin_SG_14dpi3.18_23.rep



CuQuin_SG_14dpi3.24_35.rep



CuQuin_SG_14dpi3.rep



0 2000 4000 6000 8000 10000 12000

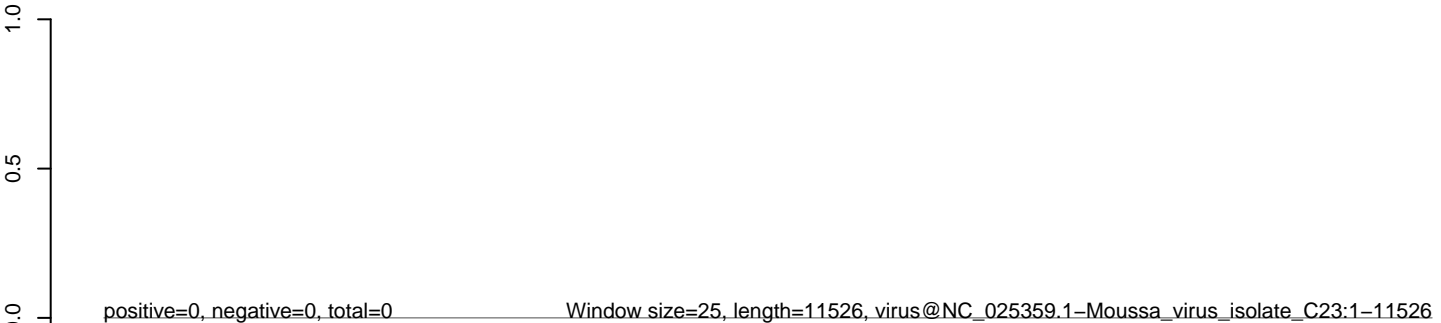
CuQuin_SG_14dpi3.18_23.rep



CuQuin_SG_14dpi3.24_35.rep



CuQuin_SG_14dpi3.rep



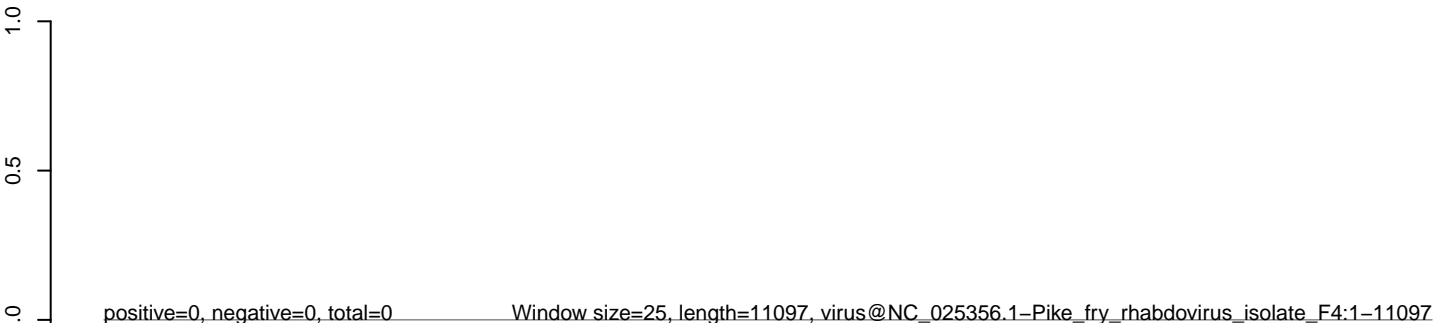
CuQuin_SG_14dpi3.18_23.rep



CuQuin_SG_14dpi3.24_35.rep



CuQuin_SG_14dpi3.rep



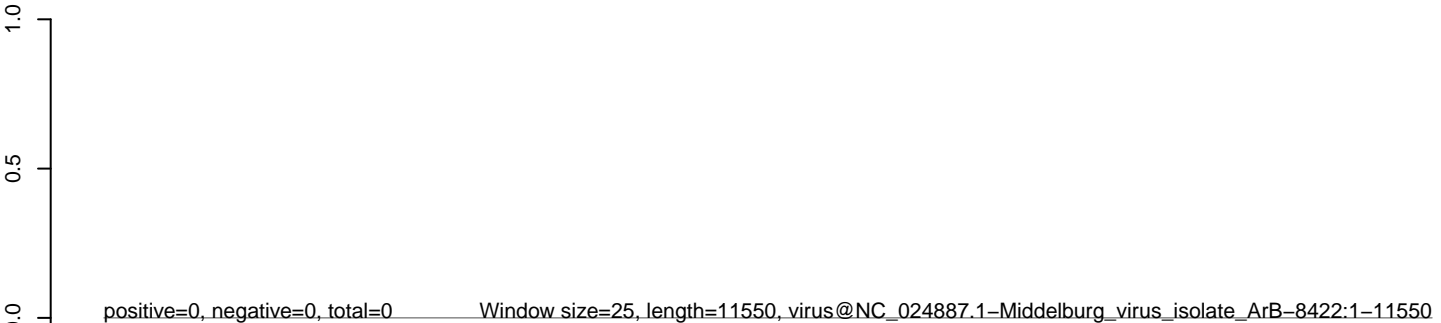
CuQuin_SG_14dpi3.18_23.rep



CuQuin_SG_14dpi3.24_35.rep



CuQuin_SG_14dpi3.rep



0 2000 4000 6000 8000 10000 12000

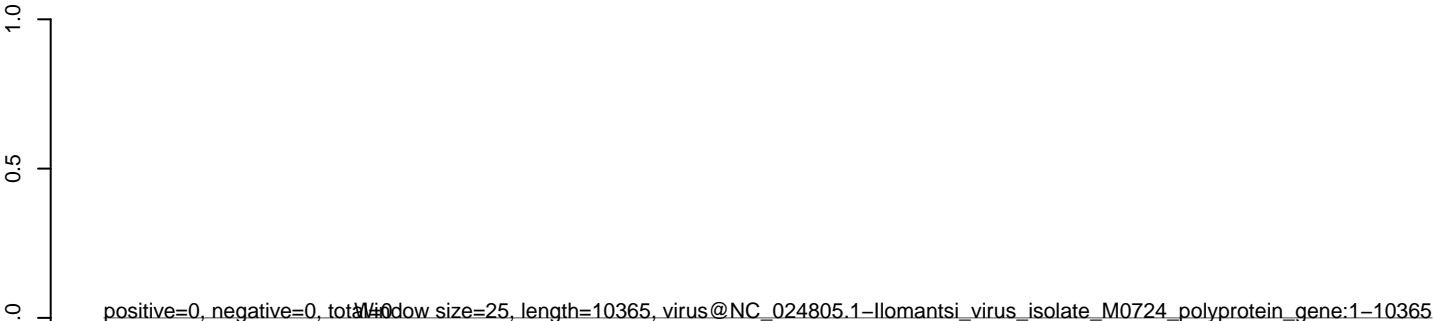
CuQuin_SG_14dpi3.18_23.rep



CuQuin_SG_14dpi3.24_35.rep



CuQuin_SG_14dpi3.rep



0 2000 4000 6000 8000 10000

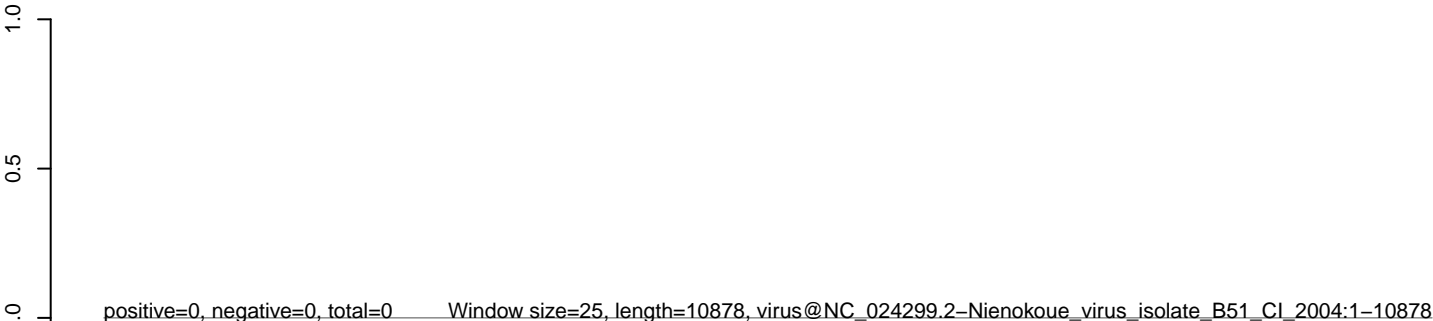
CuQuin_SG_14dpi3.18_23.rep



CuQuin_SG_14dpi3.24_35.rep

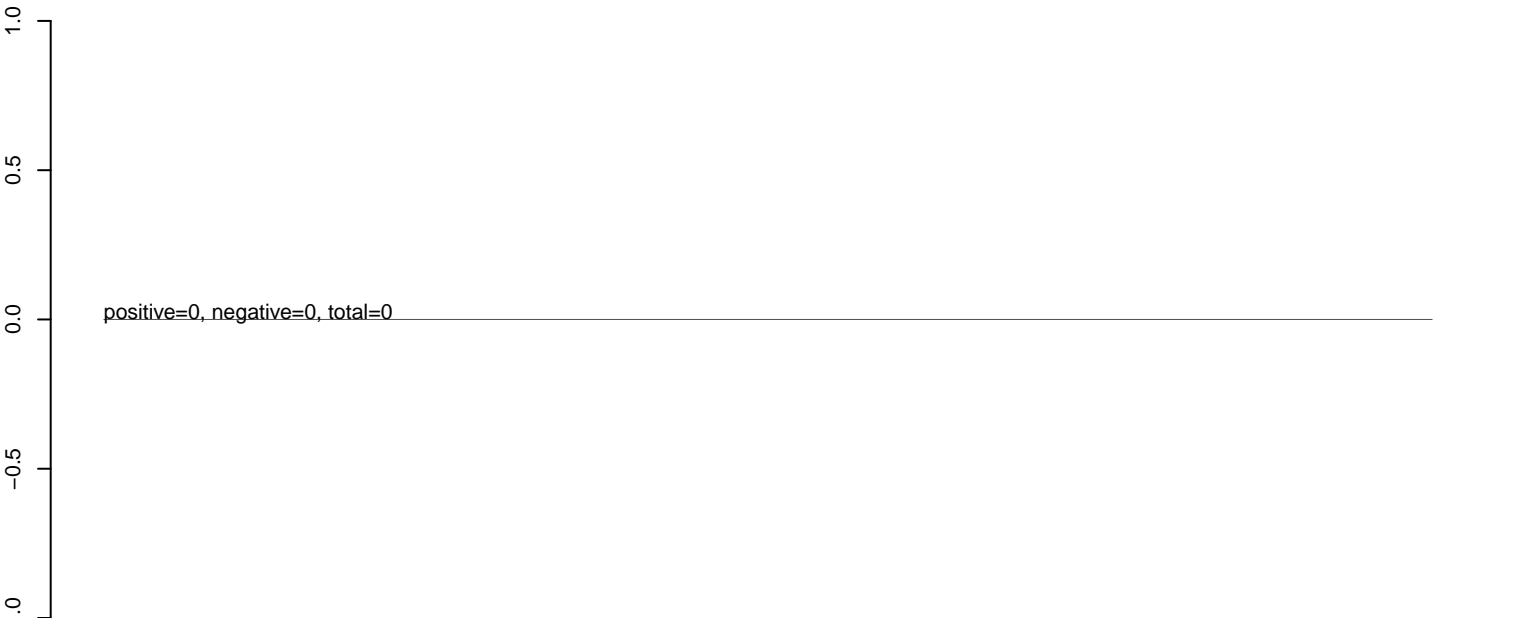


CuQuin_SG_14dpi3.rep

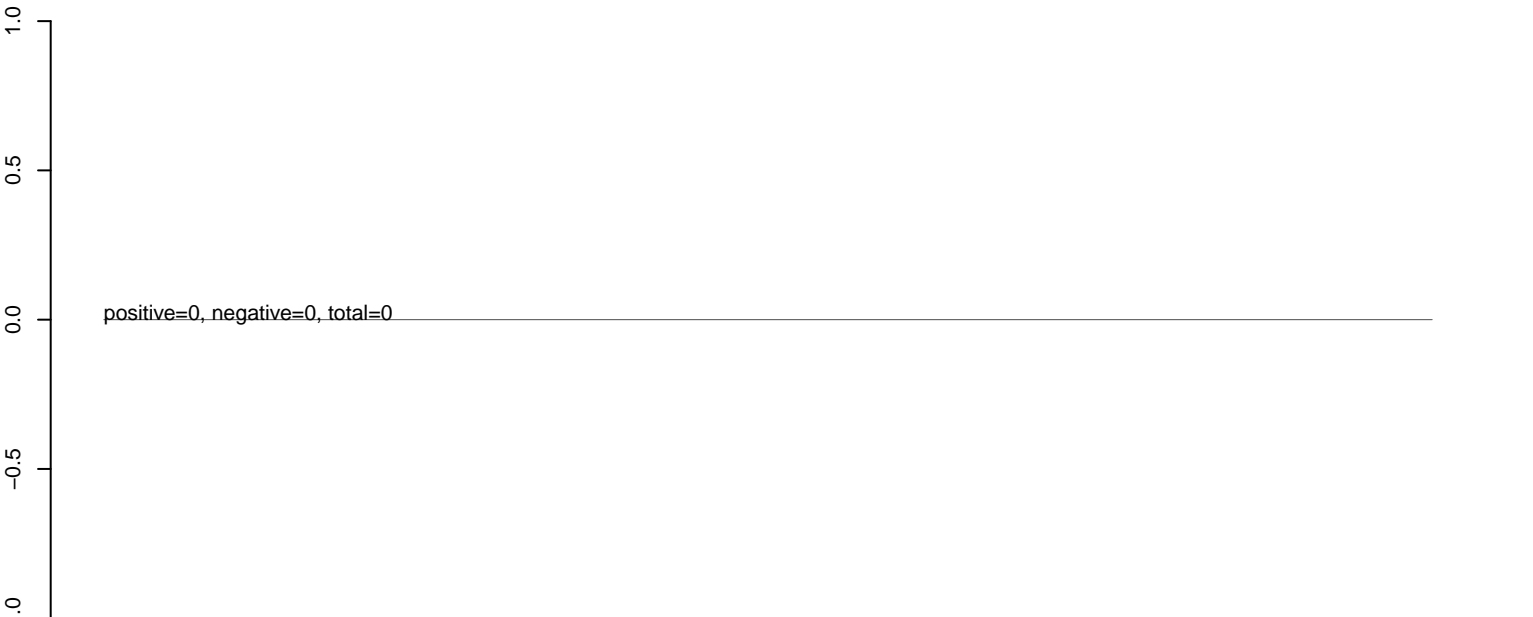


0 2000 4000 6000 8000 10000

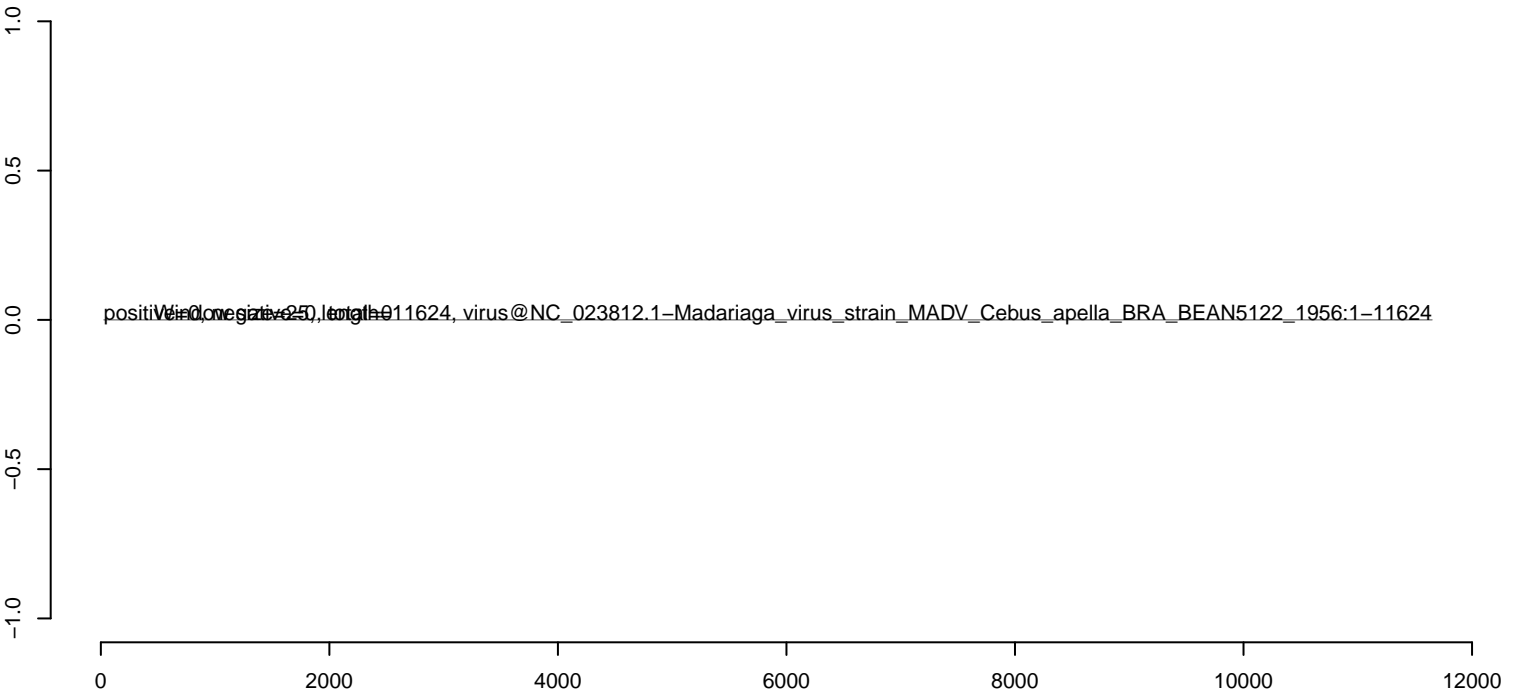
CuQuin_SG_14dpi3.18_23.rep



CuQuin_SG_14dpi3.24_35.rep



CuQuin_SG_14dpi3.rep



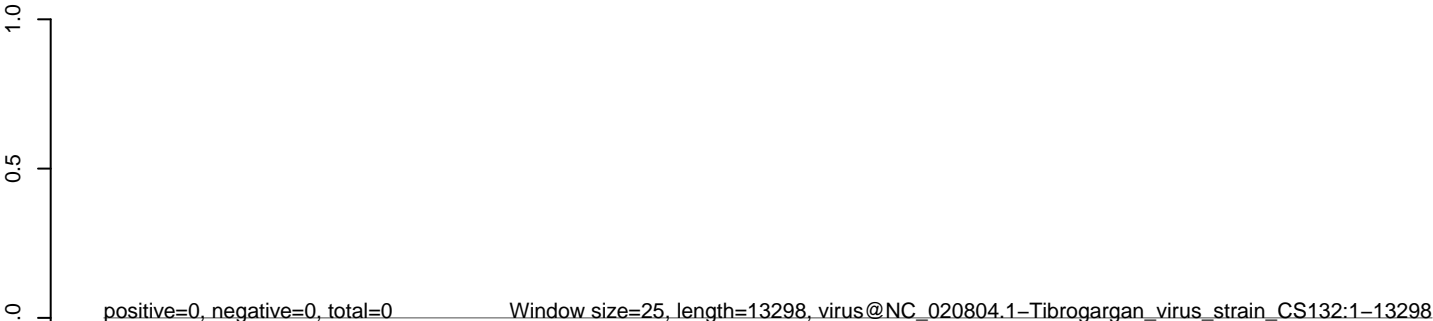
CuQuin_SG_14dpi3.18_23.rep



CuQuin_SG_14dpi3.24_35.rep



CuQuin_SG_14dpi3.rep



0 2000 4000 6000 8000 10000 12000

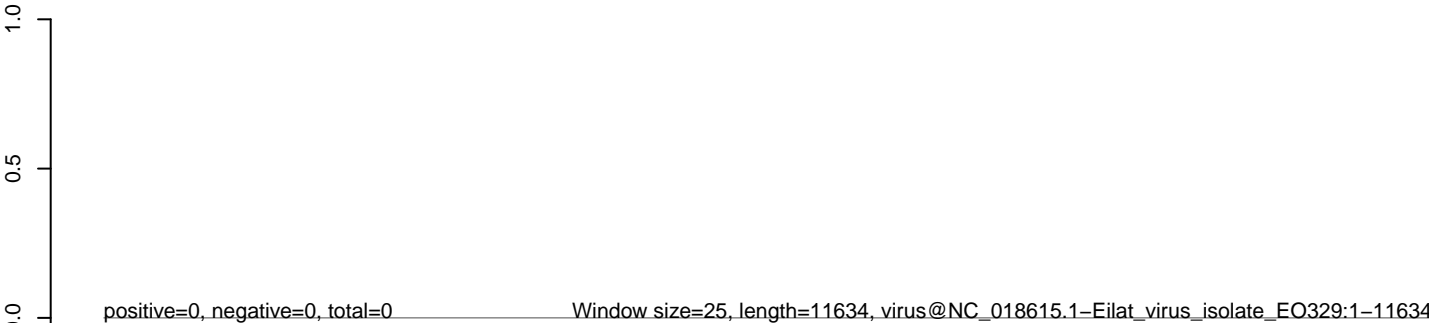
CuQuin_SG_14dpi3.18_23.rep



CuQuin_SG_14dpi3.24_35.rep



CuQuin_SG_14dpi3.rep



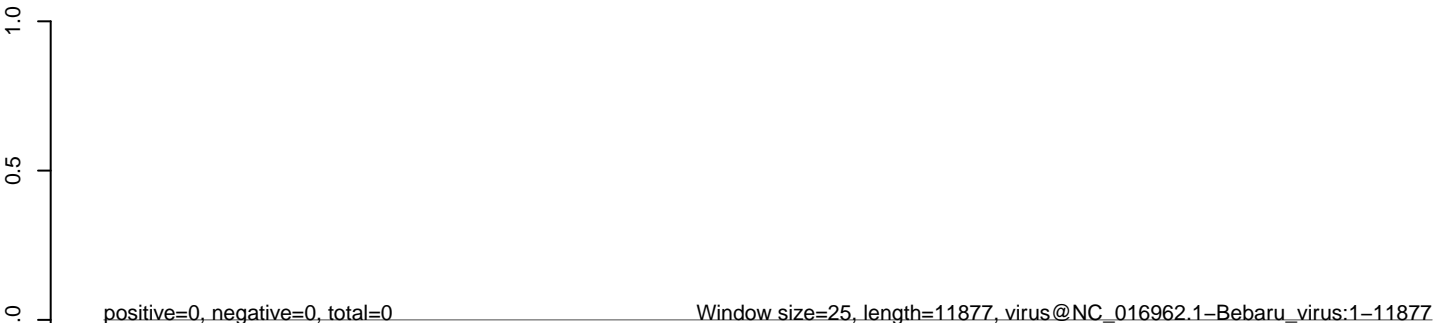
CuQuin_SG_14dpi3.18_23.rep



CuQuin_SG_14dpi3.24_35.rep



CuQuin_SG_14dpi3.rep



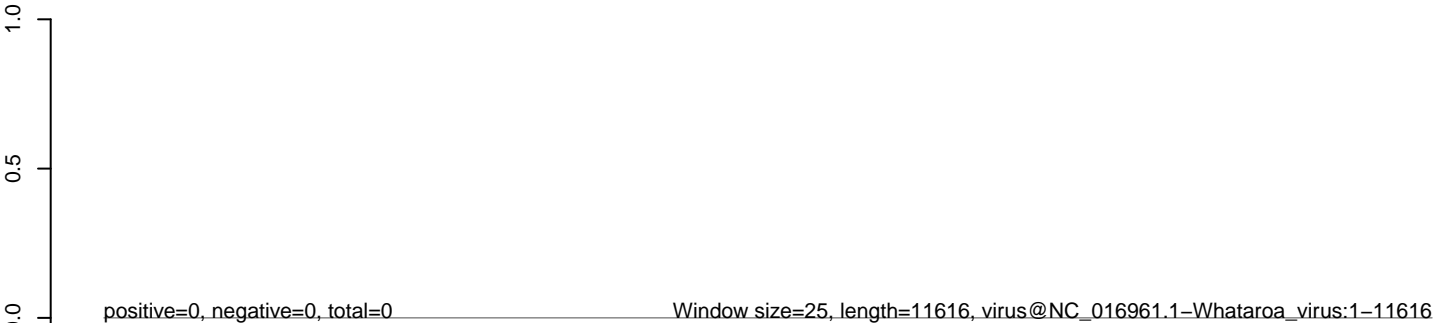
CuQuin_SG_14dpi3.18_23.rep



CuQuin_SG_14dpi3.24_35.rep



CuQuin_SG_14dpi3.rep



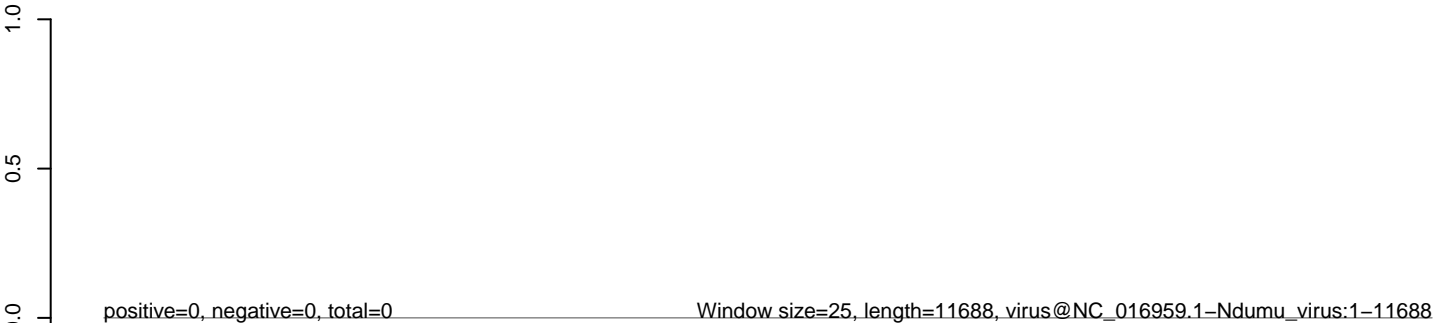
CuQuin_SG_14dpi3.18_23.rep



CuQuin_SG_14dpi3.24_35.rep



CuQuin_SG_14dpi3.rep



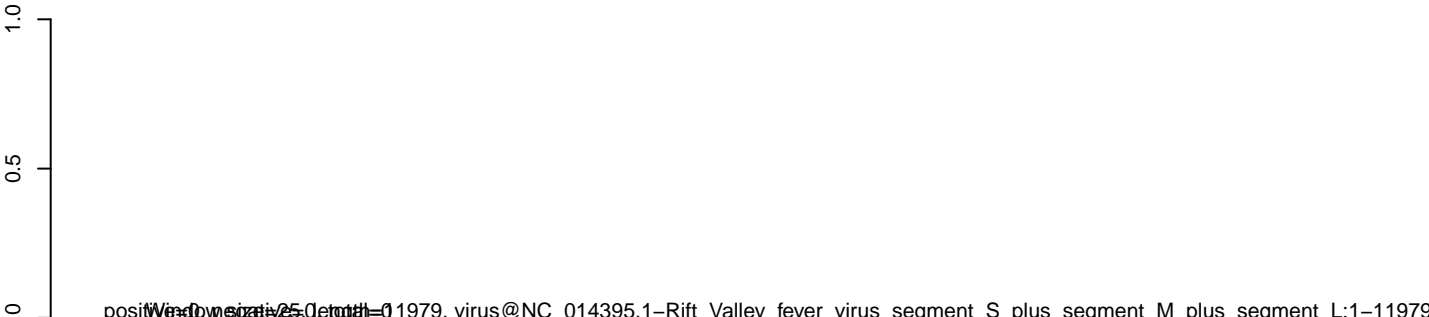
CuQuin_SG_14dpi3.18_23.rep



CuQuin_SG_14dpi3.24_35.rep



CuQuin_SG_14dpi3.rep



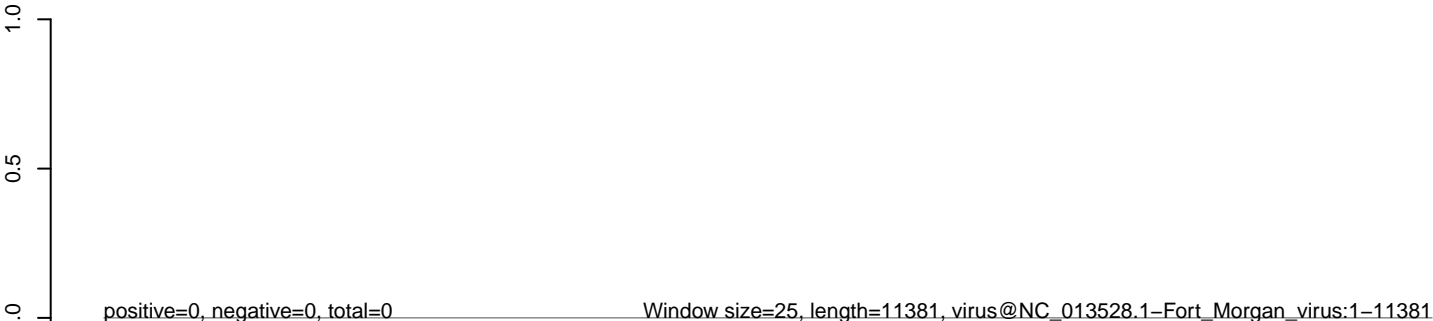
CuQuin_SG_14dpi3.18_23.rep



CuQuin_SG_14dpi3.24_35.rep



CuQuin_SG_14dpi3.rep



0 2000 4000 6000 8000 10000

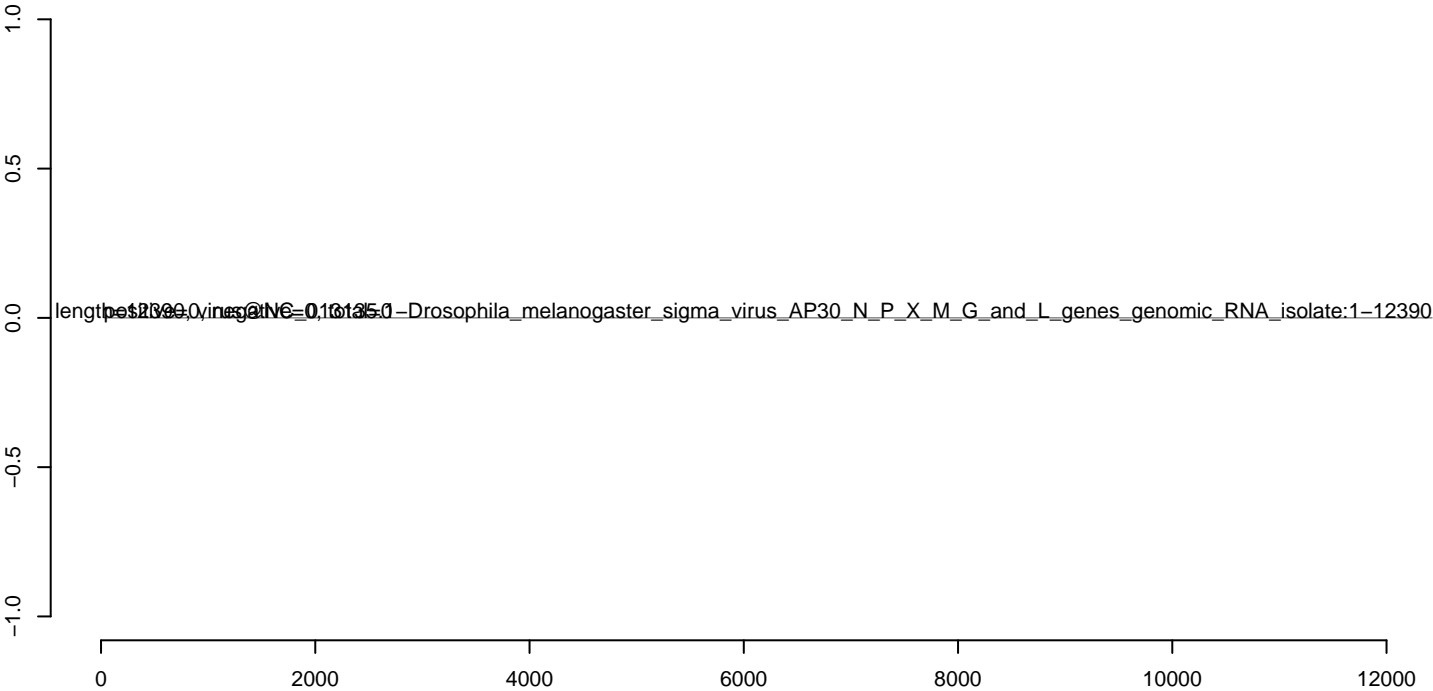
CuQuin_SG_14dpi3.18_23.rep



CuQuin_SG_14dpi3.24_35.rep



CuQuin_SG_14dpi3.rep



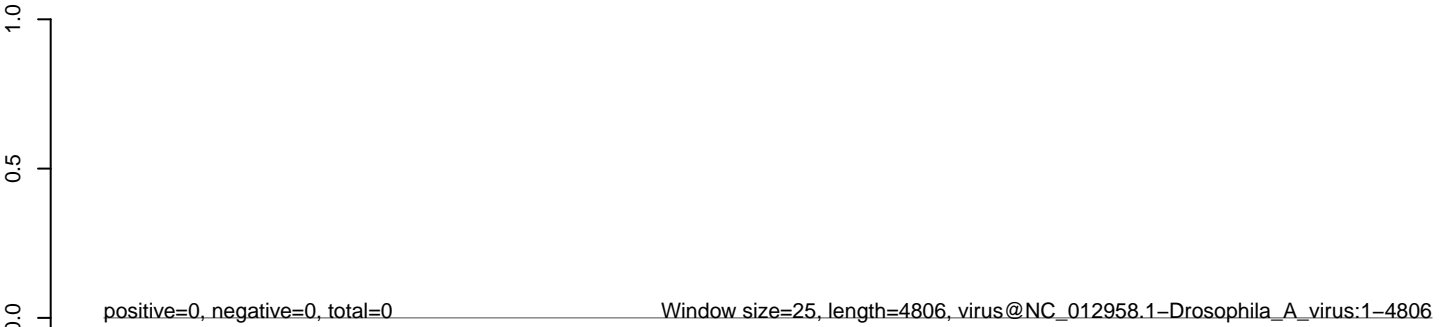
CuQuin_SG_14dpi3.18_23.rep



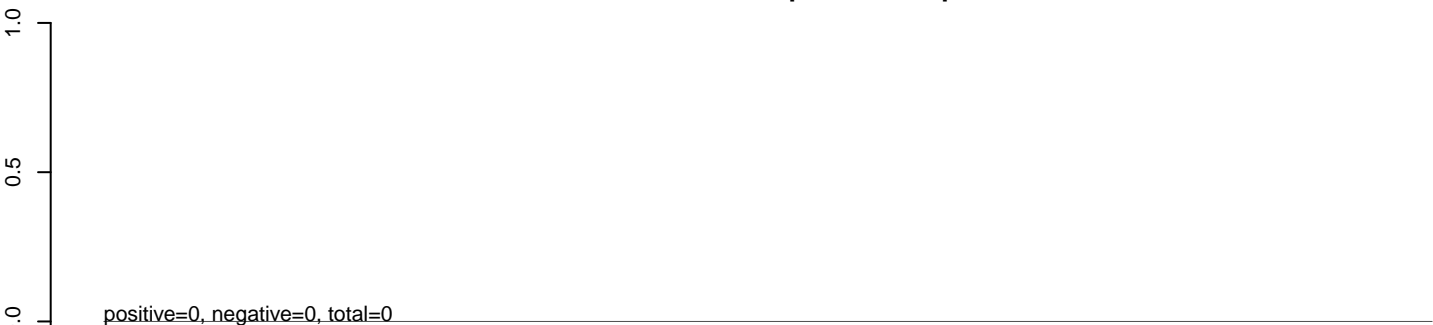
CuQuin_SG_14dpi3.24_35.rep



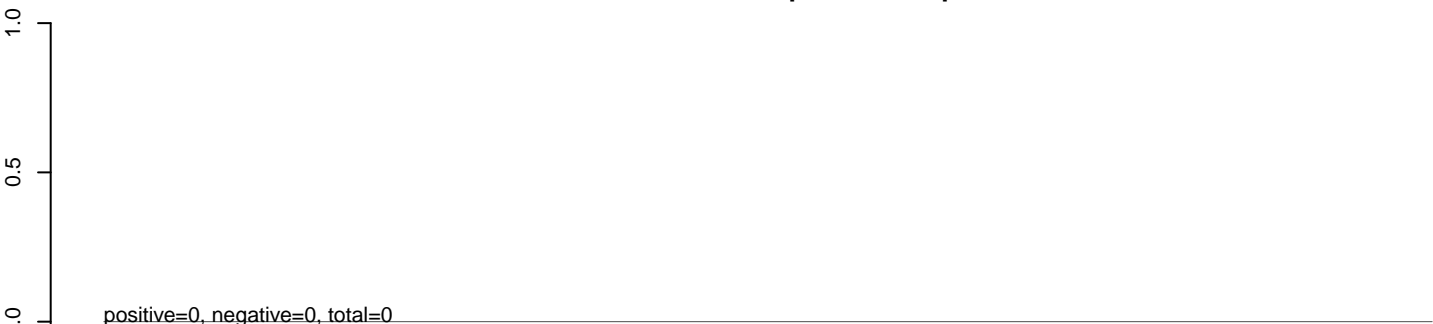
CuQuin_SG_14dpi3.rep



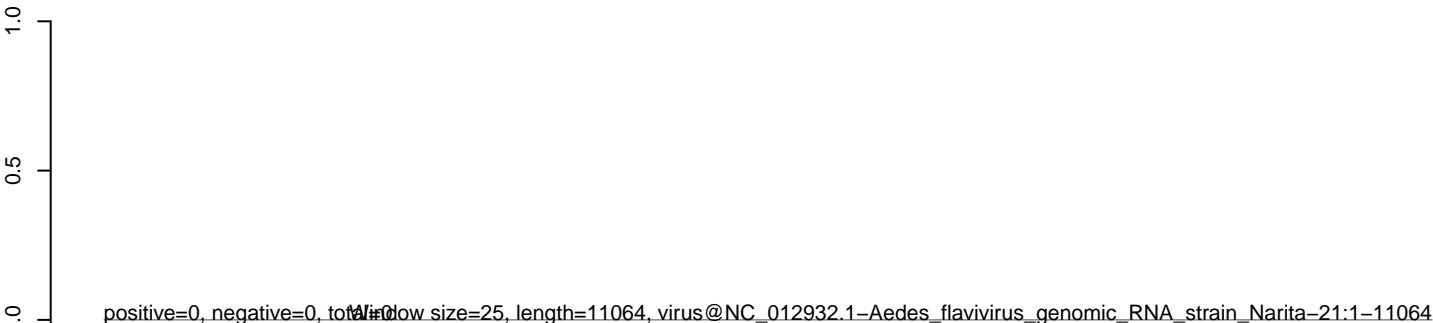
CuQuin_SG_14dpi3.18_23.rep



CuQuin_SG_14dpi3.24_35.rep



CuQuin_SG_14dpi3.rep



0 2000 4000 6000 8000 10000

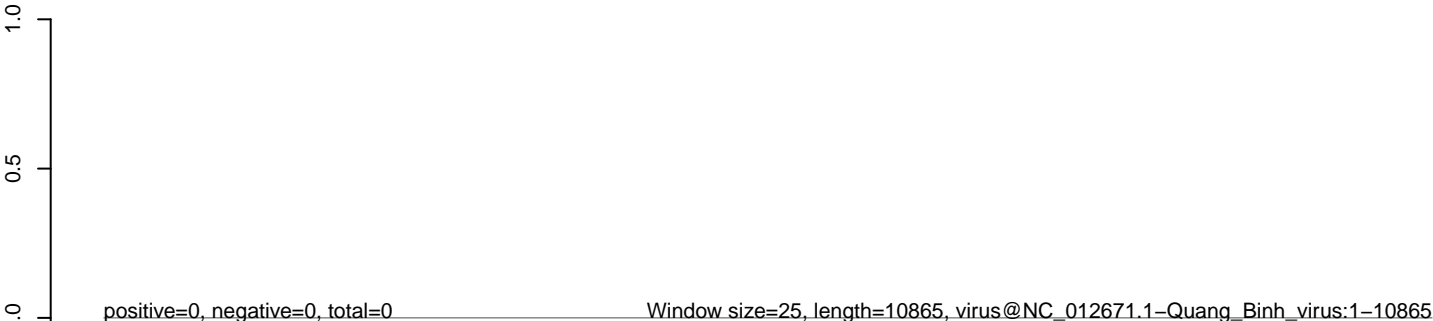
CuQuin_SG_14dpi3.18_23.rep



CuQuin_SG_14dpi3.24_35.rep



CuQuin_SG_14dpi3.rep

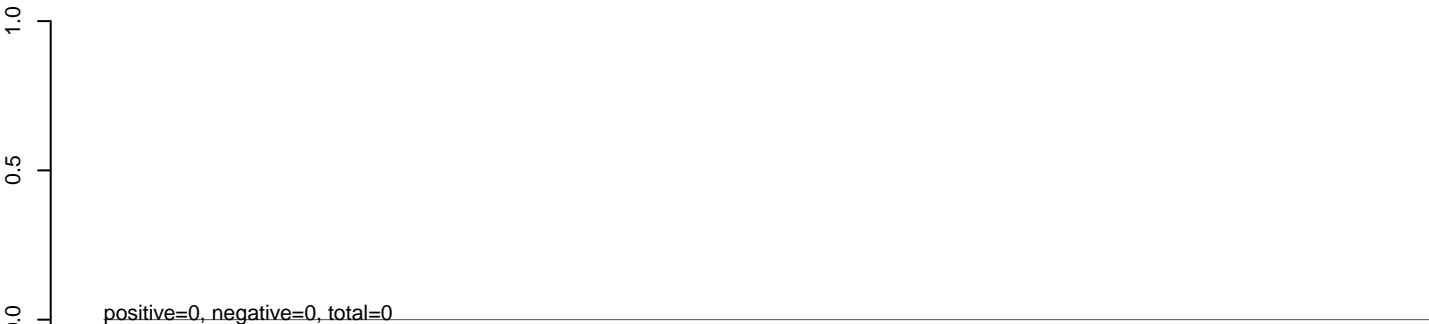


0 2000 4000 6000 8000 10000

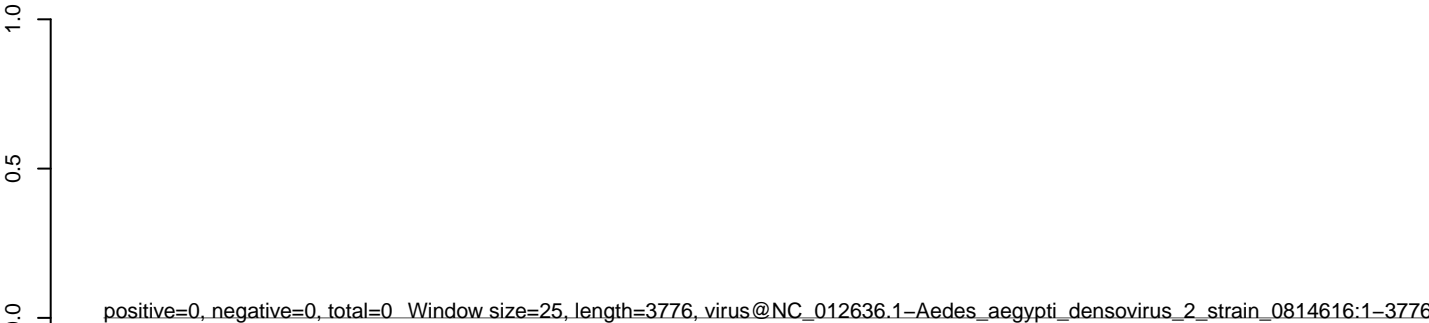
CuQuin_SG_14dpi3.18_23.rep



CuQuin_SG_14dpi3.24_35.rep



CuQuin_SG_14dpi3.rep



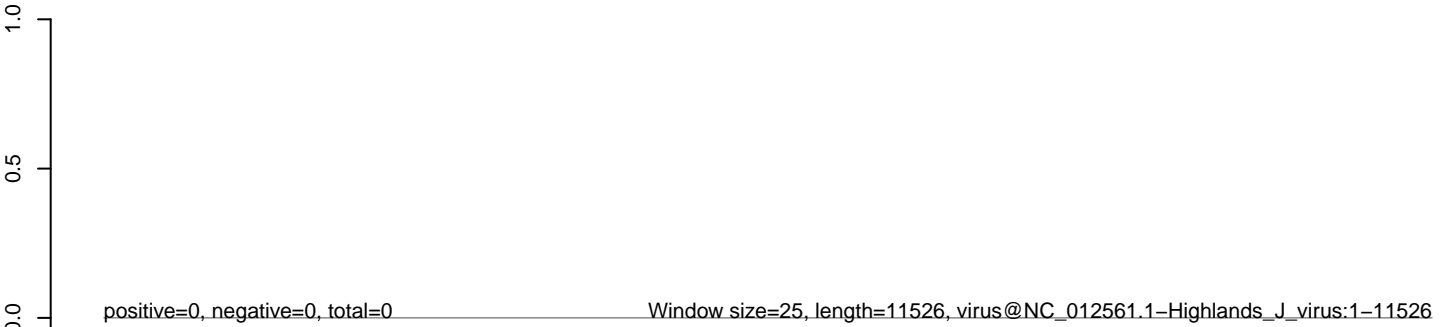
CuQuin_SG_14dpi3.18_23.rep



CuQuin_SG_14dpi3.24_35.rep



CuQuin_SG_14dpi3.rep



0 2000 4000 6000 8000 10000 12000

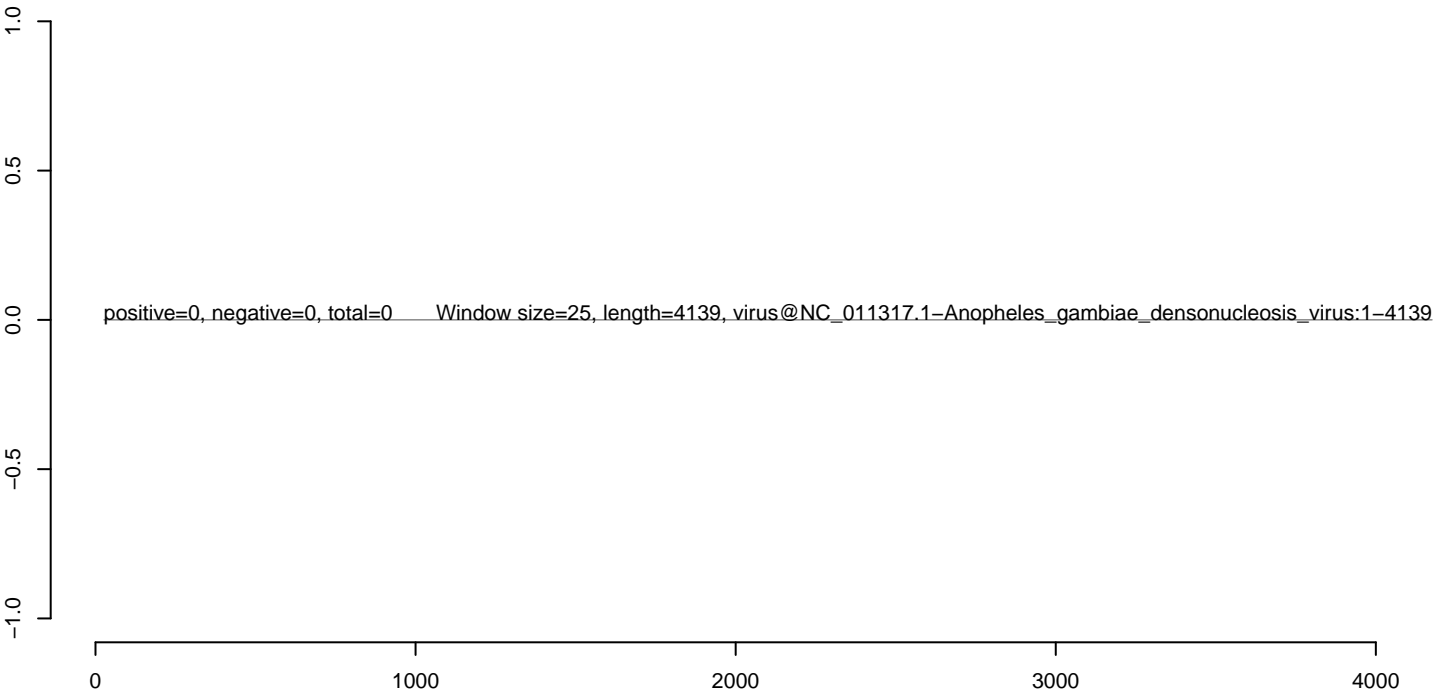
CuQuin_SG_14dpi3.18_23.rep



CuQuin_SG_14dpi3.24_35.rep



CuQuin_SG_14dpi3.rep



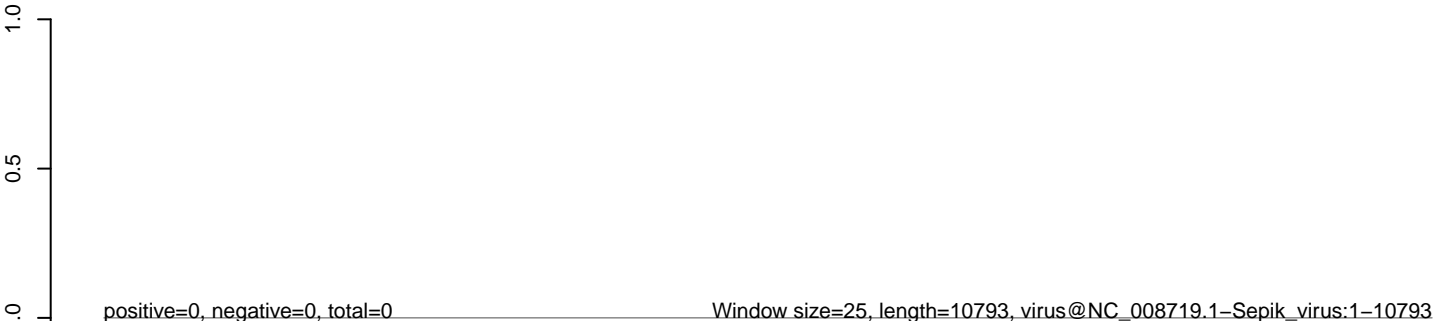
CuQuin_SG_14dpi3.18_23.rep



CuQuin_SG_14dpi3.24_35.rep



CuQuin_SG_14dpi3.rep



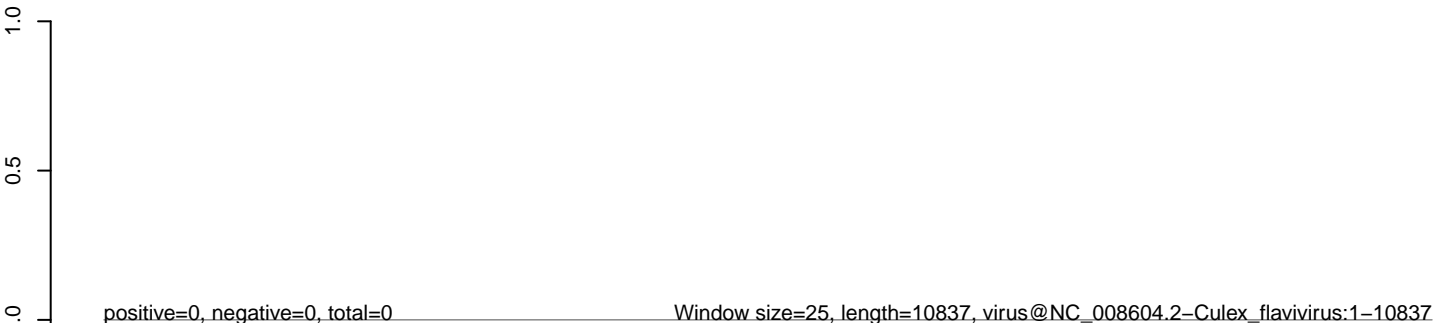
CuQuin_SG_14dpi3.18_23.rep



CuQuin_SG_14dpi3.24_35.rep



CuQuin_SG_14dpi3.rep



0 2000 4000 6000 8000 10000

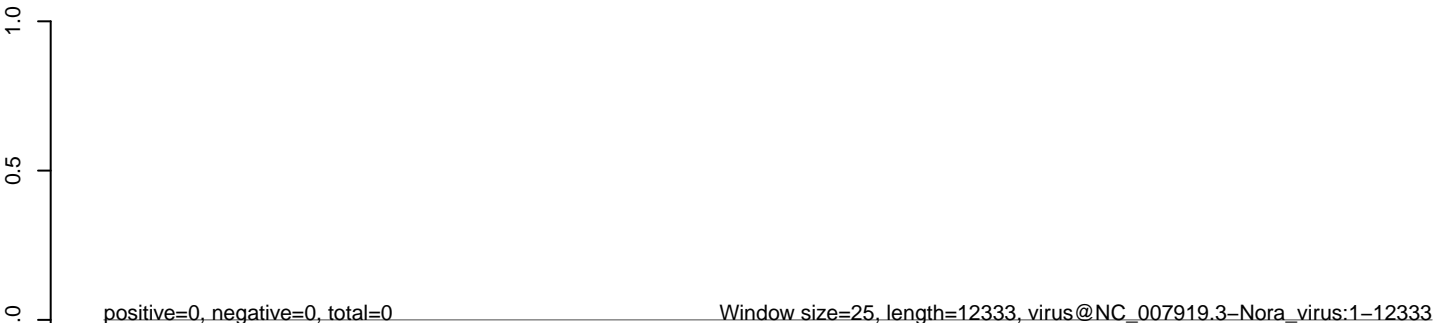
CuQuin_SG_14dpi3.18_23.rep



CuQuin_SG_14dpi3.24_35.rep



CuQuin_SG_14dpi3.rep



0 2000 4000 6000 8000 10000 12000

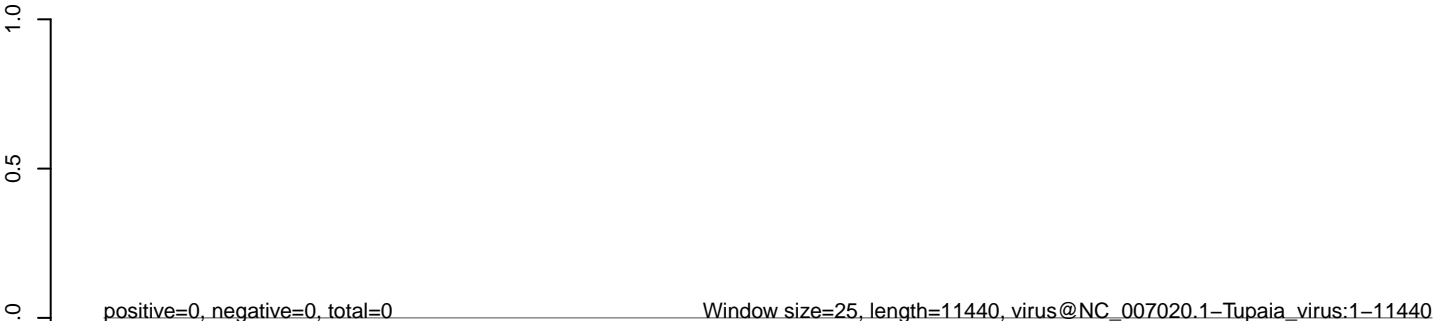
CuQuin_SG_14dpi3.18_23.rep



CuQuin_SG_14dpi3.24_35.rep



CuQuin_SG_14dpi3.rep



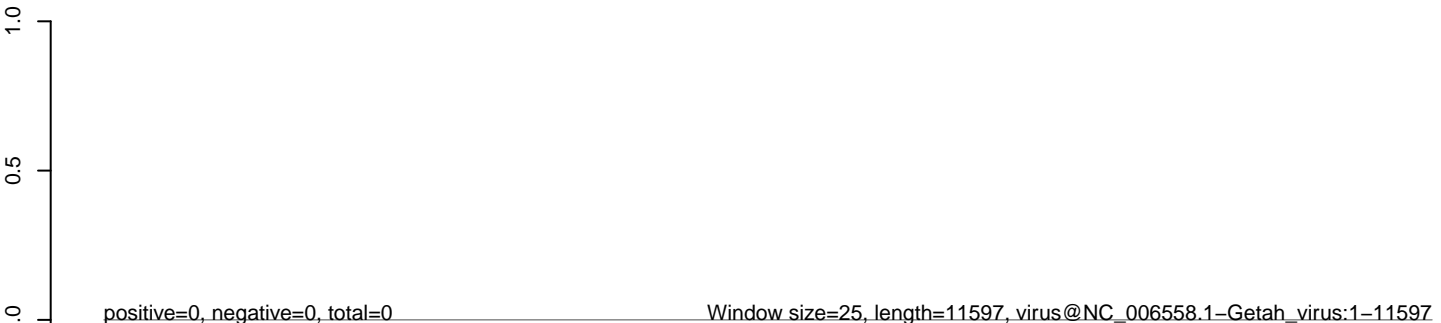
CuQuin_SG_14dpi3.18_23.rep



CuQuin_SG_14dpi3.24_35.rep



CuQuin_SG_14dpi3.rep



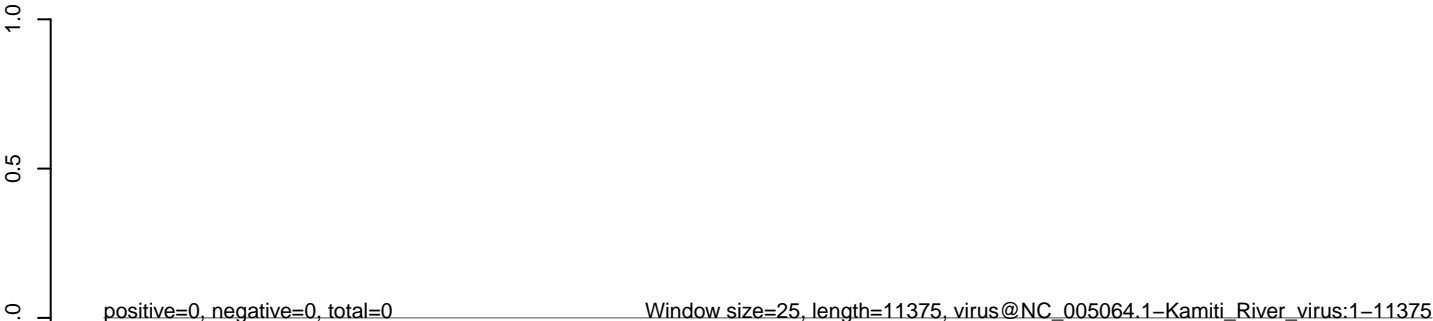
CuQuin_SG_14dpi3.18_23.rep



CuQuin_SG_14dpi3.24_35.rep



CuQuin_SG_14dpi3.rep



0 2000 4000 6000 8000 10000

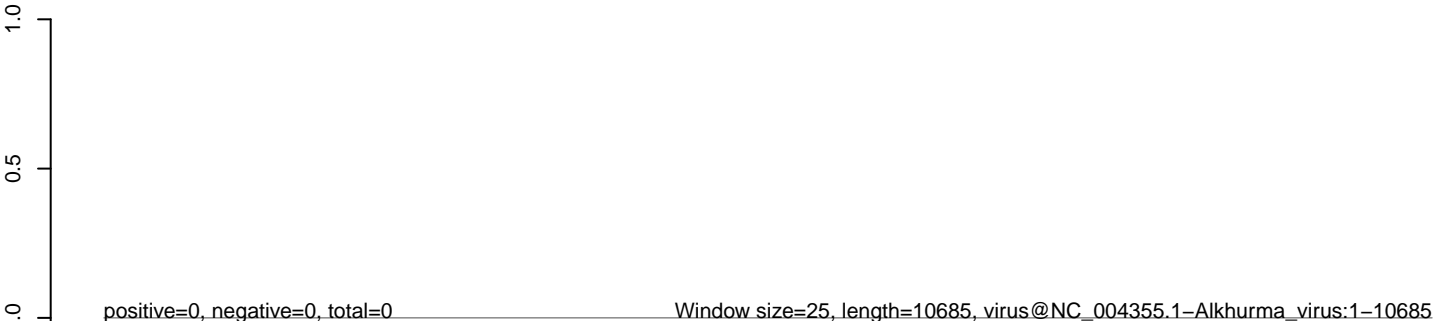
CuQuin_SG_14dpi3.18_23.rep



CuQuin_SG_14dpi3.24_35.rep



CuQuin_SG_14dpi3.rep



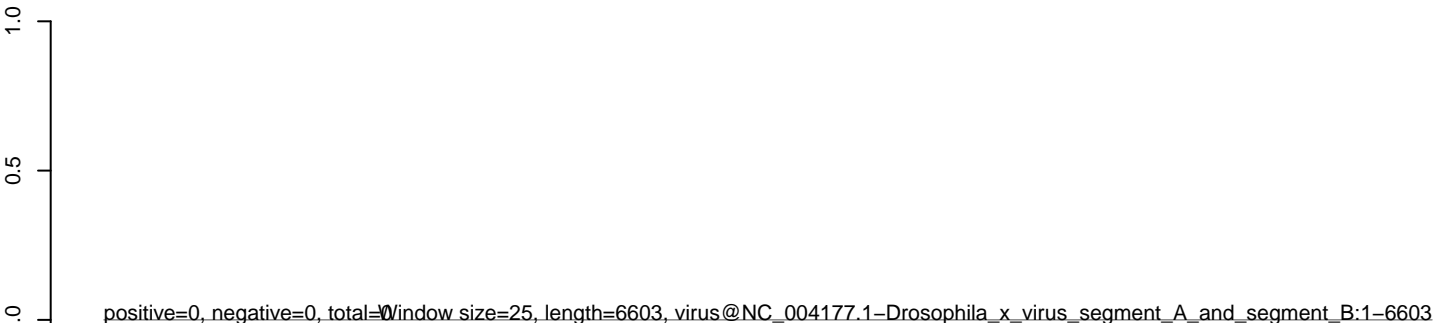
CuQuin_SG_14dpi3.18_23.rep



CuQuin_SG_14dpi3.24_35.rep



CuQuin_SG_14dpi3.rep



0 1000 2000 3000 4000 5000 6000

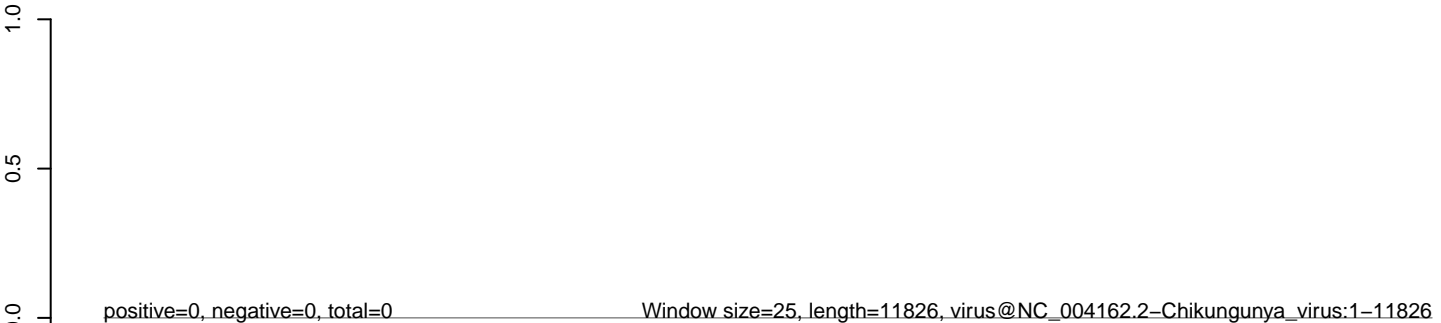
CuQuin_SG_14dpi3.18_23.rep



CuQuin_SG_14dpi3.24_35.rep



CuQuin_SG_14dpi3.rep



0 2000 4000 6000 8000 10000 12000

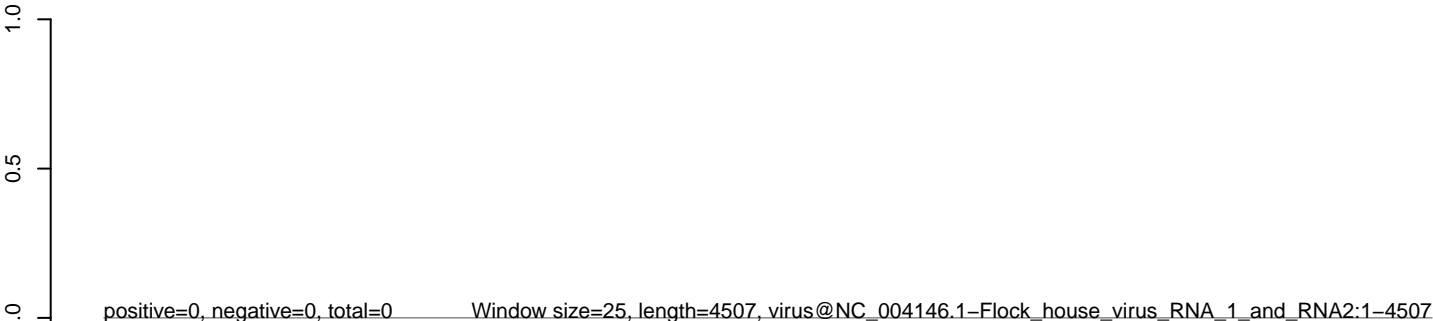
CuQuin_SG_14dpi3.18_23.rep



CuQuin_SG_14dpi3.24_35.rep



CuQuin_SG_14dpi3.rep



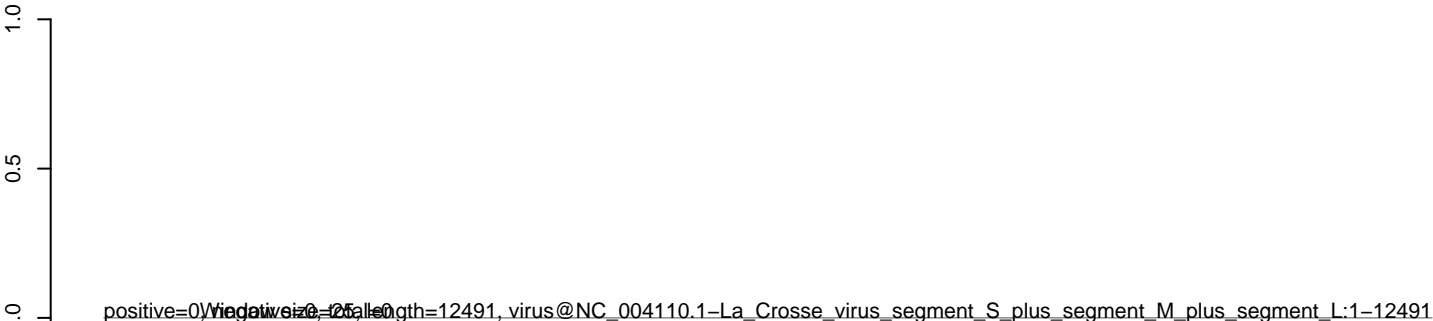
CuQuin_SG_14dpi3.18_23.rep



CuQuin_SG_14dpi3.24_35.rep



CuQuin_SG_14dpi3.rep



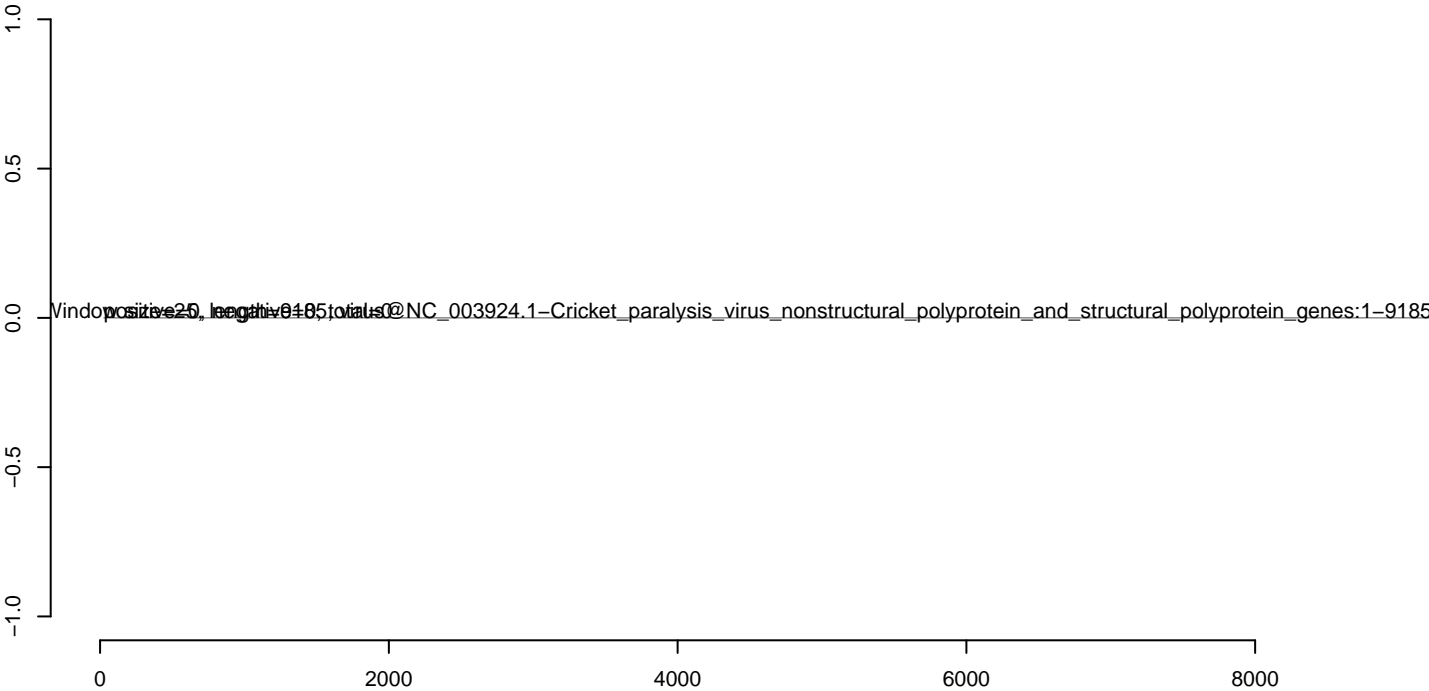
CuQuin_SG_14dpi3.18_23.rep



CuQuin_SG_14dpi3.24_35.rep



CuQuin_SG_14dpi3.rep



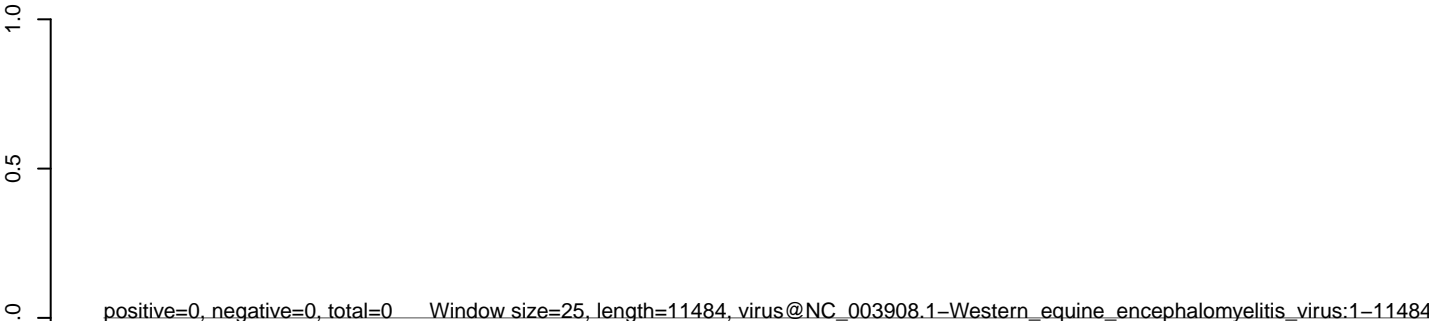
CuQuin_SG_14dpi3.18_23.rep



CuQuin_SG_14dpi3.24_35.rep



CuQuin_SG_14dpi3.rep



0 2000 4000 6000 8000 10000

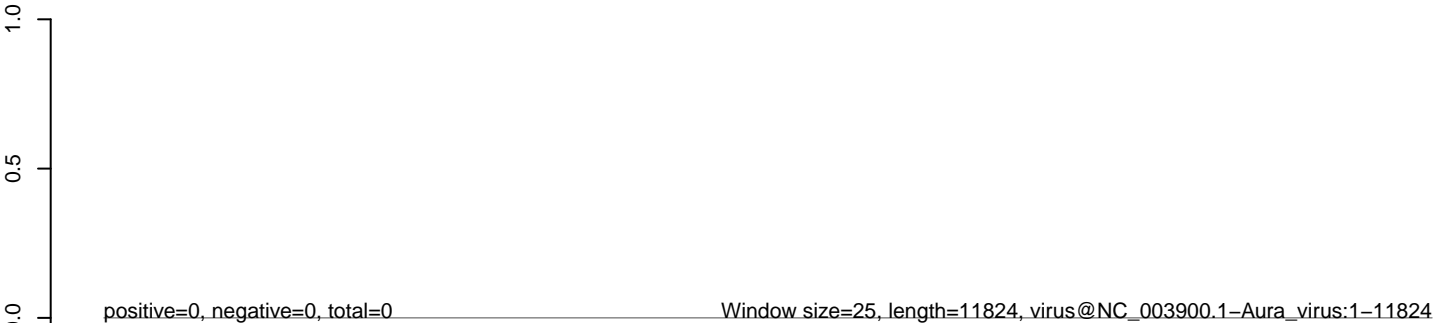
CuQuin_SG_14dpi3.18_23.rep



CuQuin_SG_14dpi3.24_35.rep



CuQuin_SG_14dpi3.rep



0 2000 4000 6000 8000 10000 12000

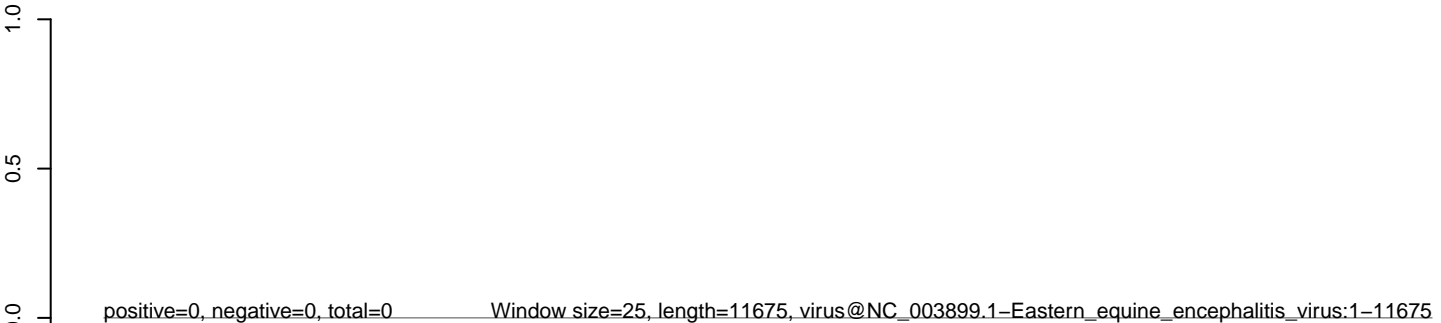
CuQuin_SG_14dpi3.18_23.rep



CuQuin_SG_14dpi3.24_35.rep



CuQuin_SG_14dpi3.rep



0 2000 4000 6000 8000 10000 12000

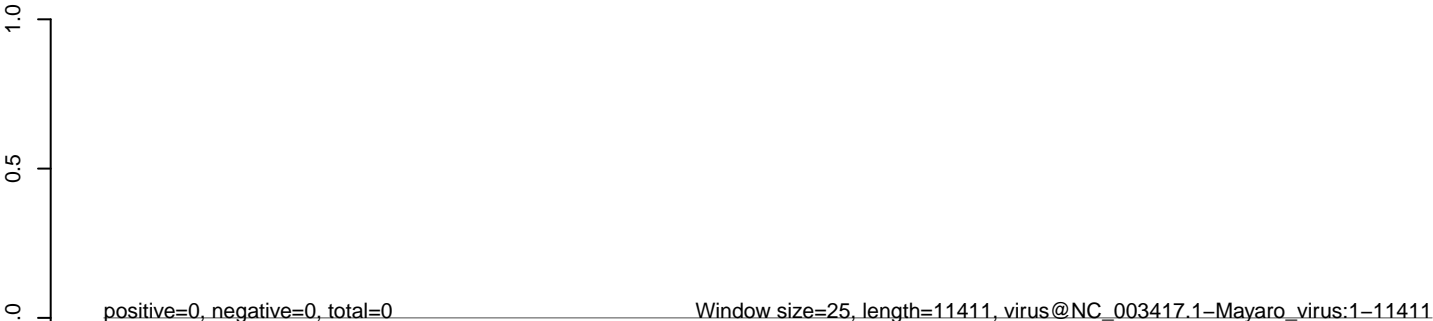
CuQuin_SG_14dpi3.18_23.rep



CuQuin_SG_14dpi3.24_35.rep



CuQuin_SG_14dpi3.rep



0 2000 4000 6000 8000 10000

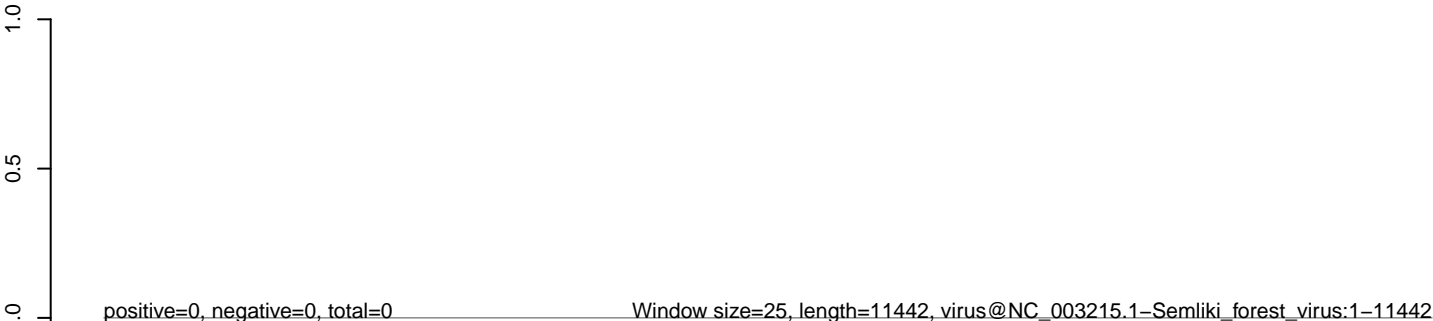
CuQuin_SG_14dpi3.18_23.rep



CuQuin_SG_14dpi3.24_35.rep



CuQuin_SG_14dpi3.rep



0 2000 4000 6000 8000 10000

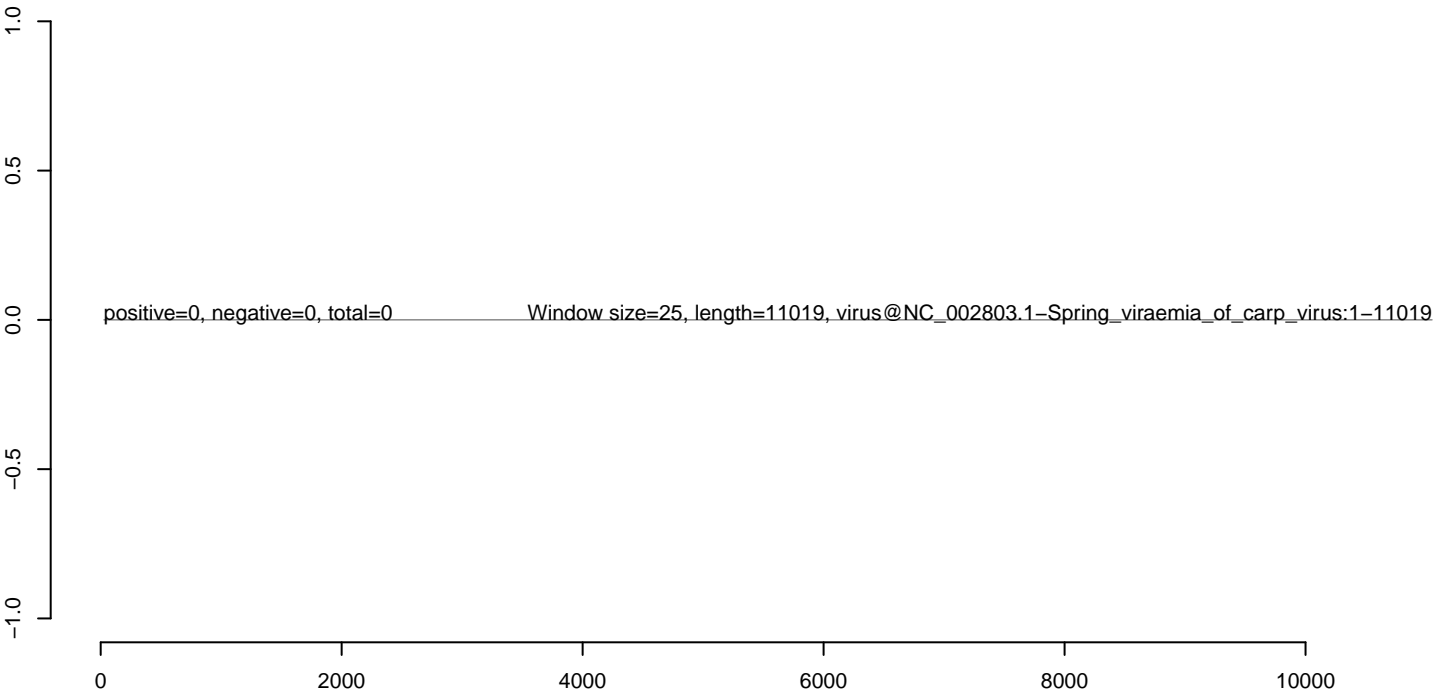
CuQuin_SG_14dpi3.18_23.rep



CuQuin_SG_14dpi3.24_35.rep



CuQuin_SG_14dpi3.rep



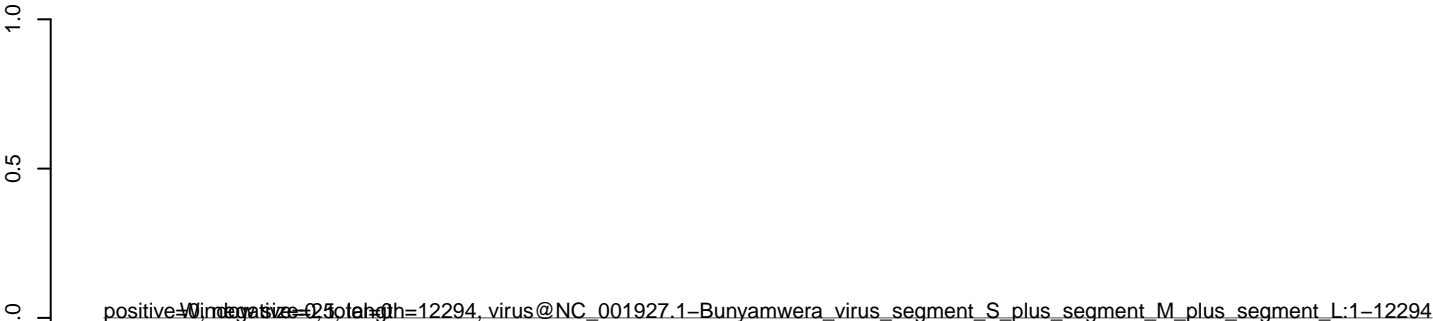
CuQuin_SG_14dpi3.18_23.rep



CuQuin_SG_14dpi3.24_35.rep



CuQuin_SG_14dpi3.rep



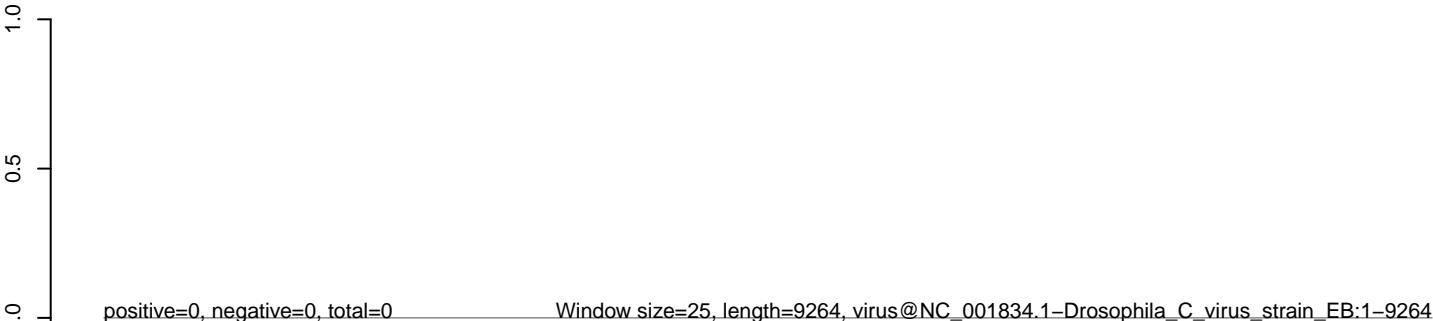
CuQuin_SG_14dpi3.18_23.rep



CuQuin_SG_14dpi3.24_35.rep



CuQuin_SG_14dpi3.rep



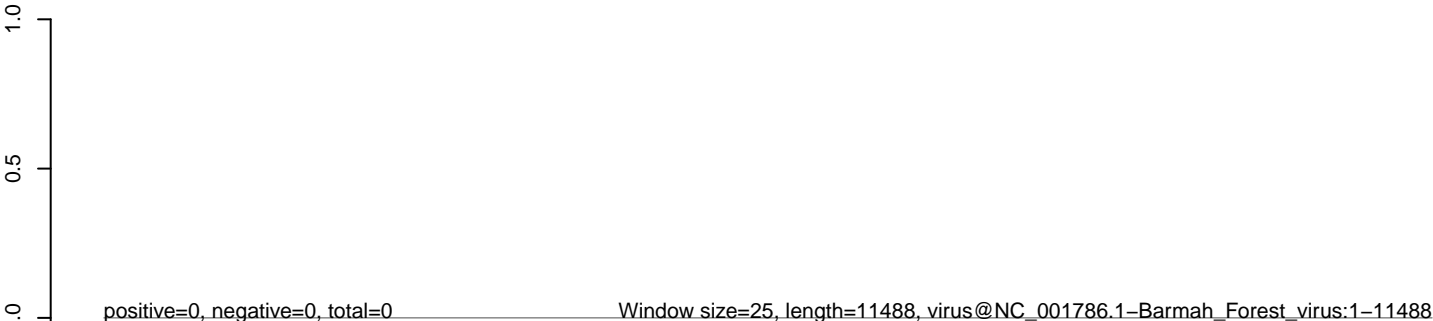
CuQuin_SG_14dpi3.18_23.rep



CuQuin_SG_14dpi3.24_35.rep



CuQuin_SG_14dpi3.rep



0 2000 4000 6000 8000 10000

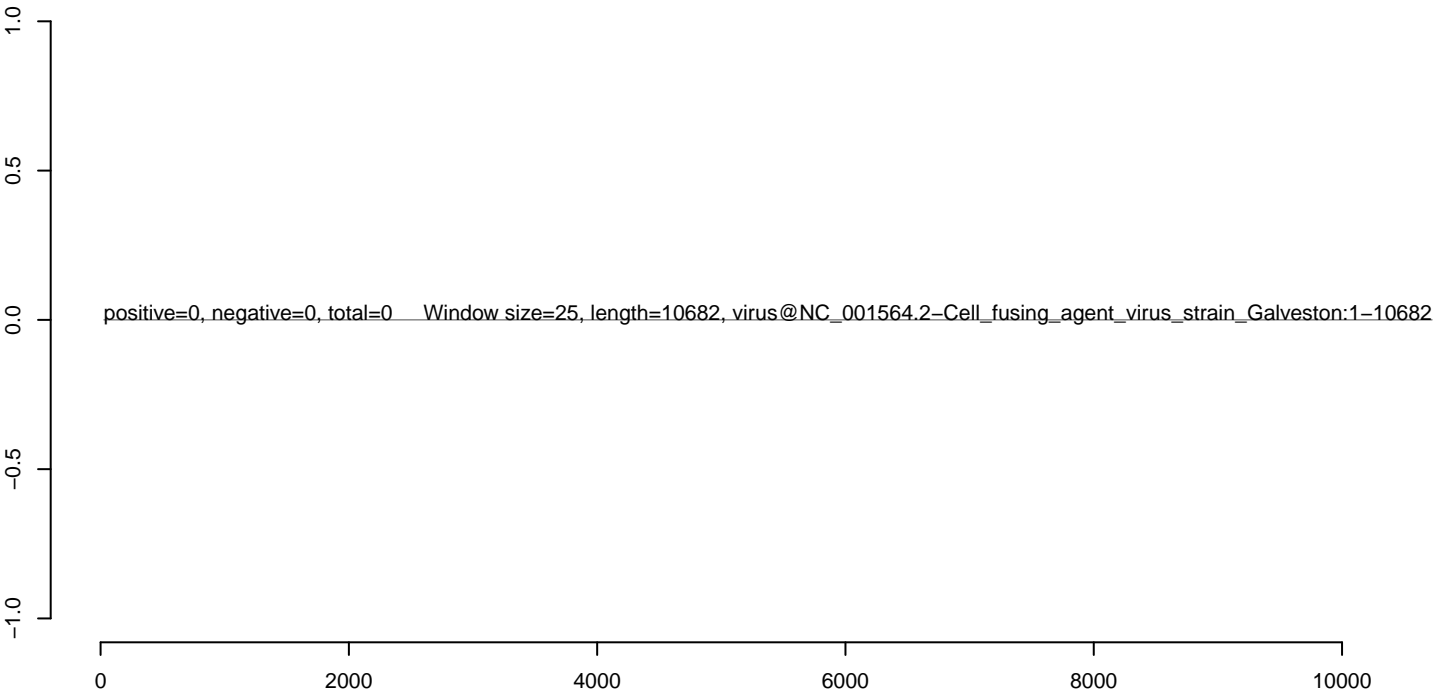
CuQuin_SG_14dpi3.18_23.rep



CuQuin_SG_14dpi3.24_35.rep



CuQuin_SG_14dpi3.rep



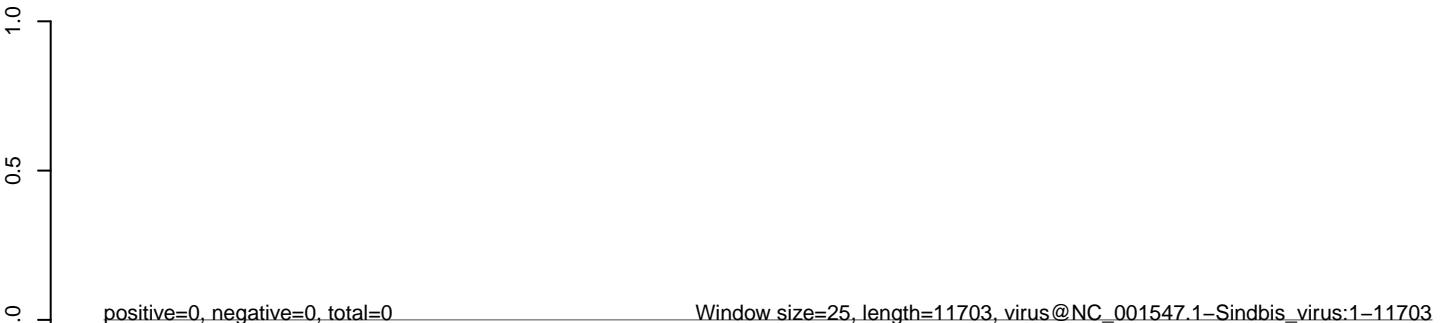
CuQuin_SG_14dpi3.18_23.rep



CuQuin_SG_14dpi3.24_35.rep



CuQuin_SG_14dpi3.rep



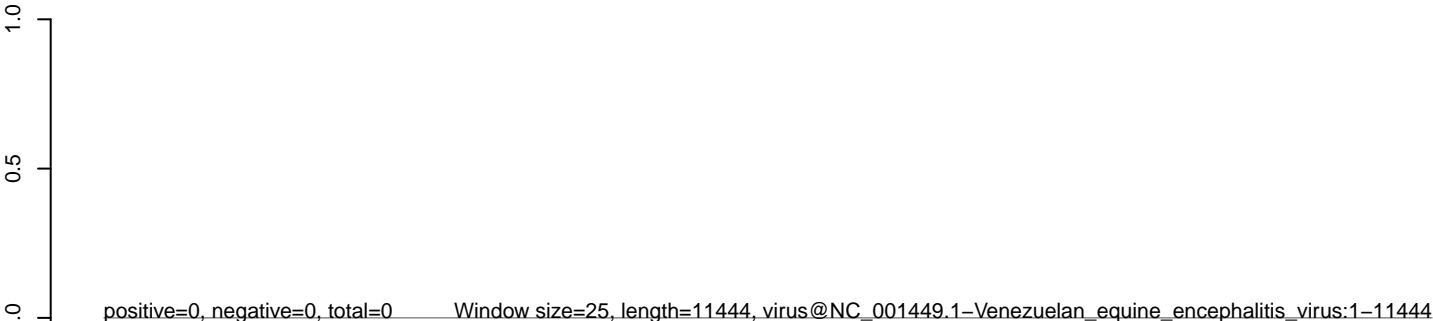
CuQuin_SG_14dpi3.18_23.rep



CuQuin_SG_14dpi3.24_35.rep



CuQuin_SG_14dpi3.rep



0 2000 4000 6000 8000 10000

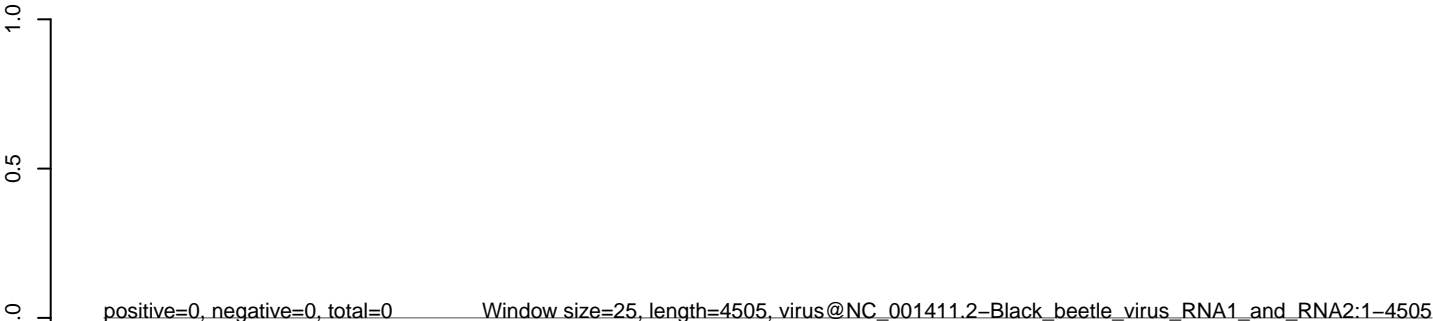
CuQuin_SG_14dpi3.18_23.rep



CuQuin_SG_14dpi3.24_35.rep



CuQuin_SG_14dpi3.rep



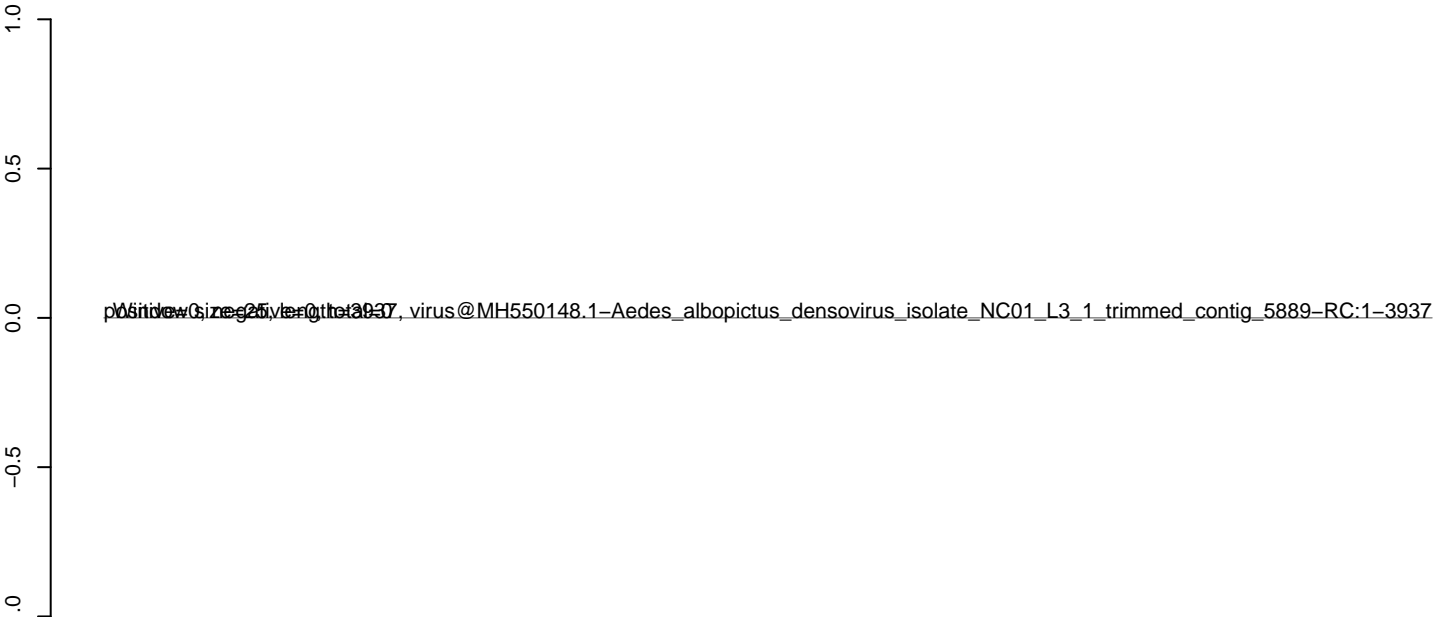
CuQuin_SG_14dpi3.18_23.rep



CuQuin_SG_14dpi3.24_35.rep



CuQuin_SG_14dpi3.rep



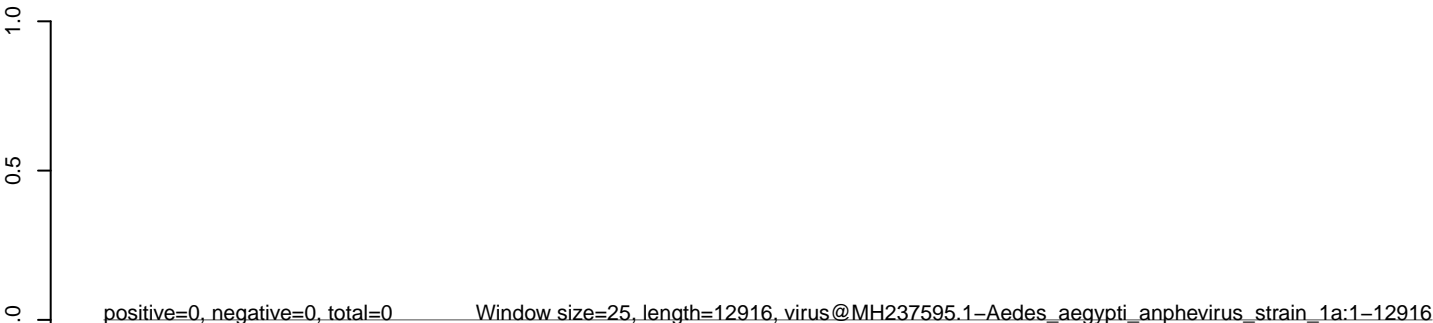
CuQuin_SG_14dpi3.18_23.rep



CuQuin_SG_14dpi3.24_35.rep

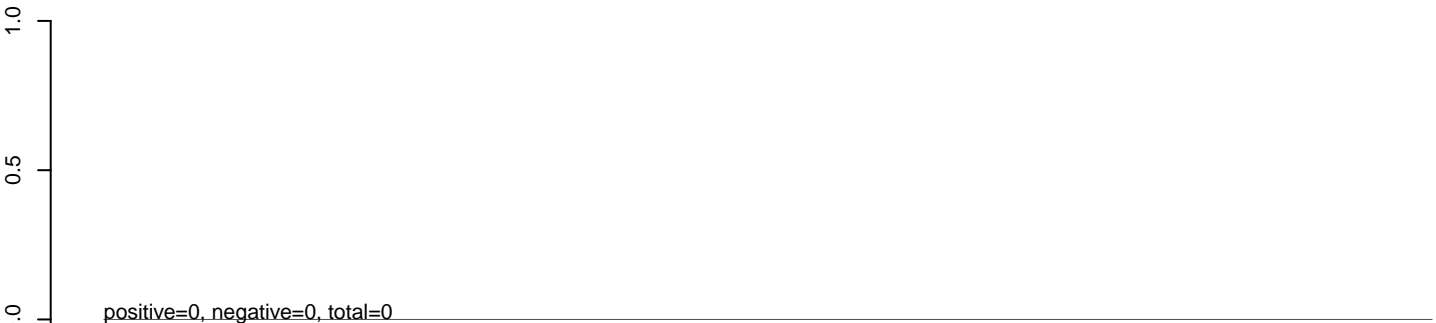


CuQuin_SG_14dpi3.rep

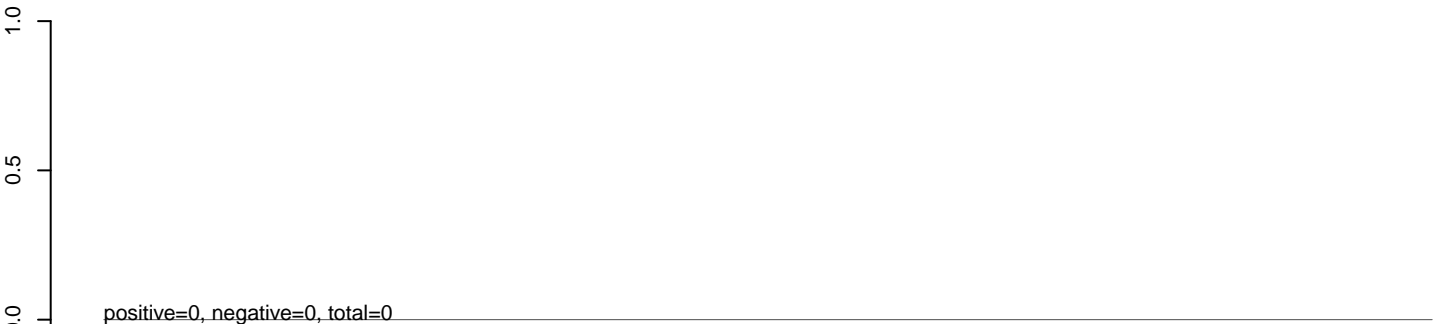


0 2000 4000 6000 8000 10000 12000

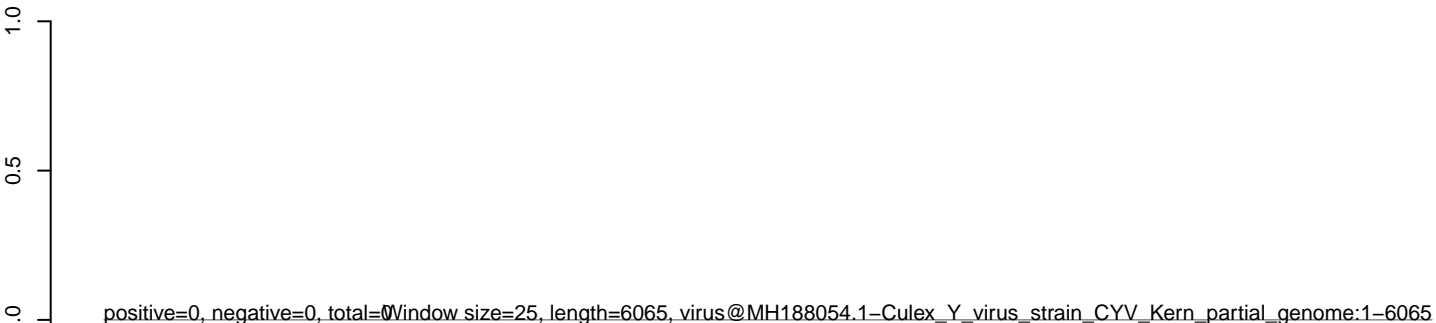
CuQuin_SG_14dpi3.18_23.rep



CuQuin_SG_14dpi3.24_35.rep



CuQuin_SG_14dpi3.rep



0 1000 2000 3000 4000 5000 6000

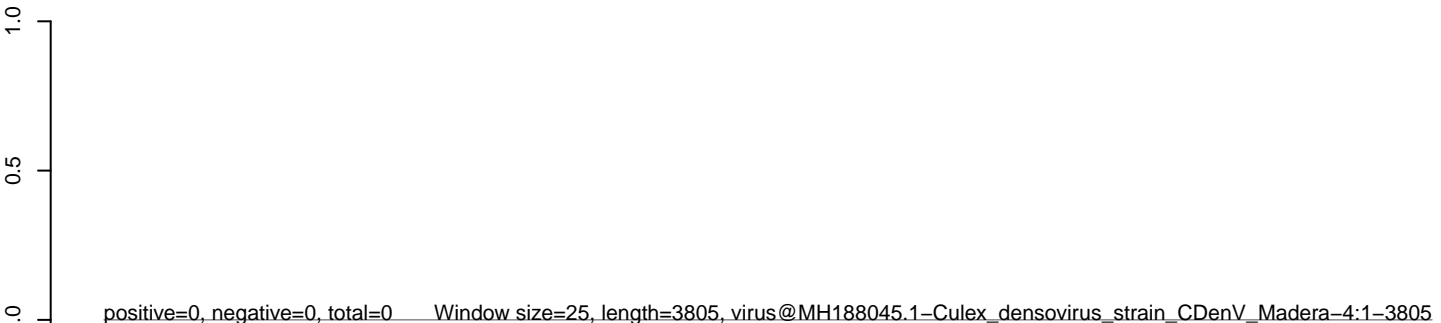
CuQuin_SG_14dpi3.18_23.rep



CuQuin_SG_14dpi3.24_35.rep



CuQuin_SG_14dpi3.rep



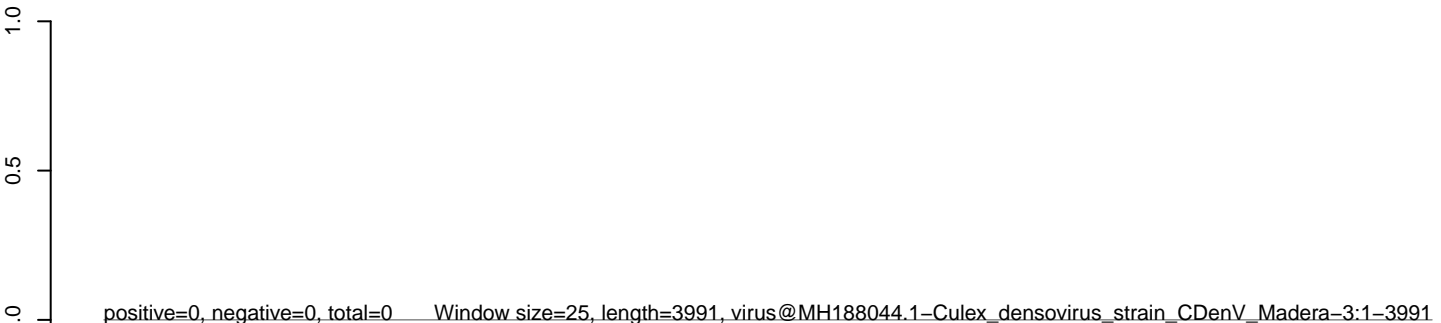
CuQuin_SG_14dpi3.18_23.rep



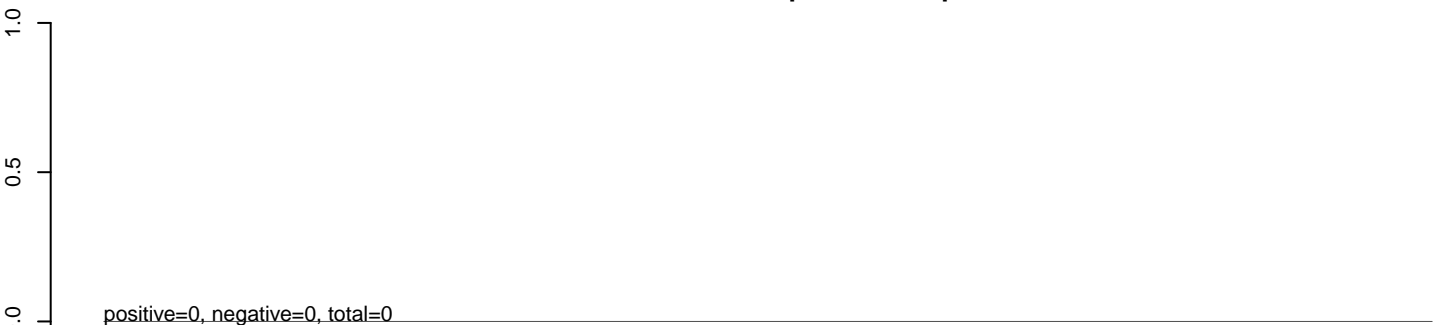
CuQuin_SG_14dpi3.24_35.rep



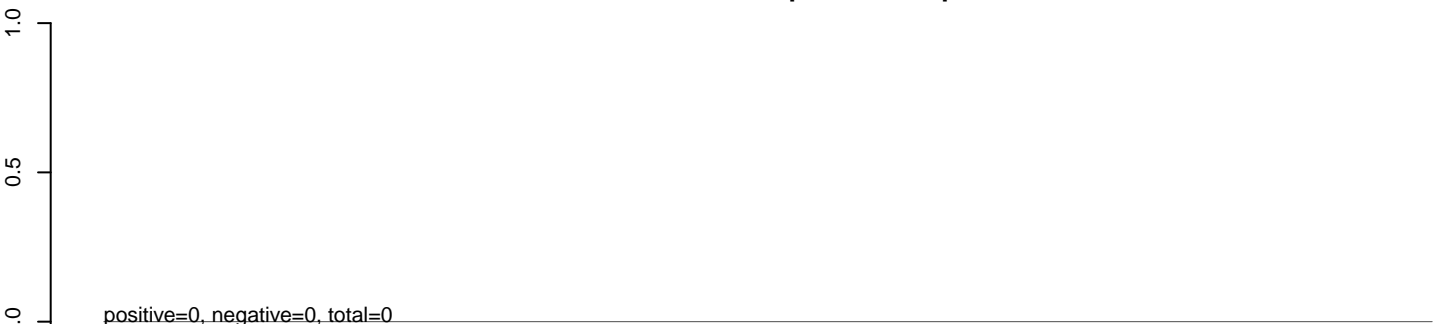
CuQuin_SG_14dpi3.rep



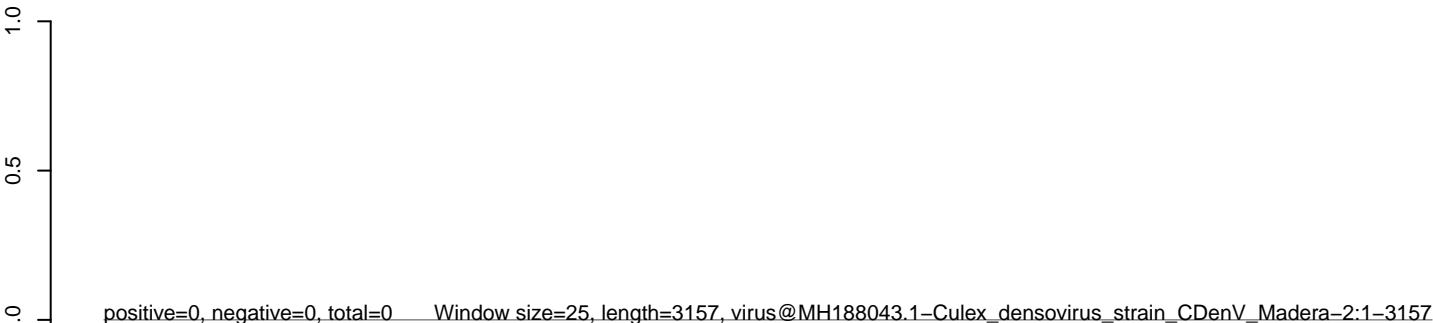
CuQuin_SG_14dpi3.18_23.rep



CuQuin_SG_14dpi3.24_35.rep



CuQuin_SG_14dpi3.rep



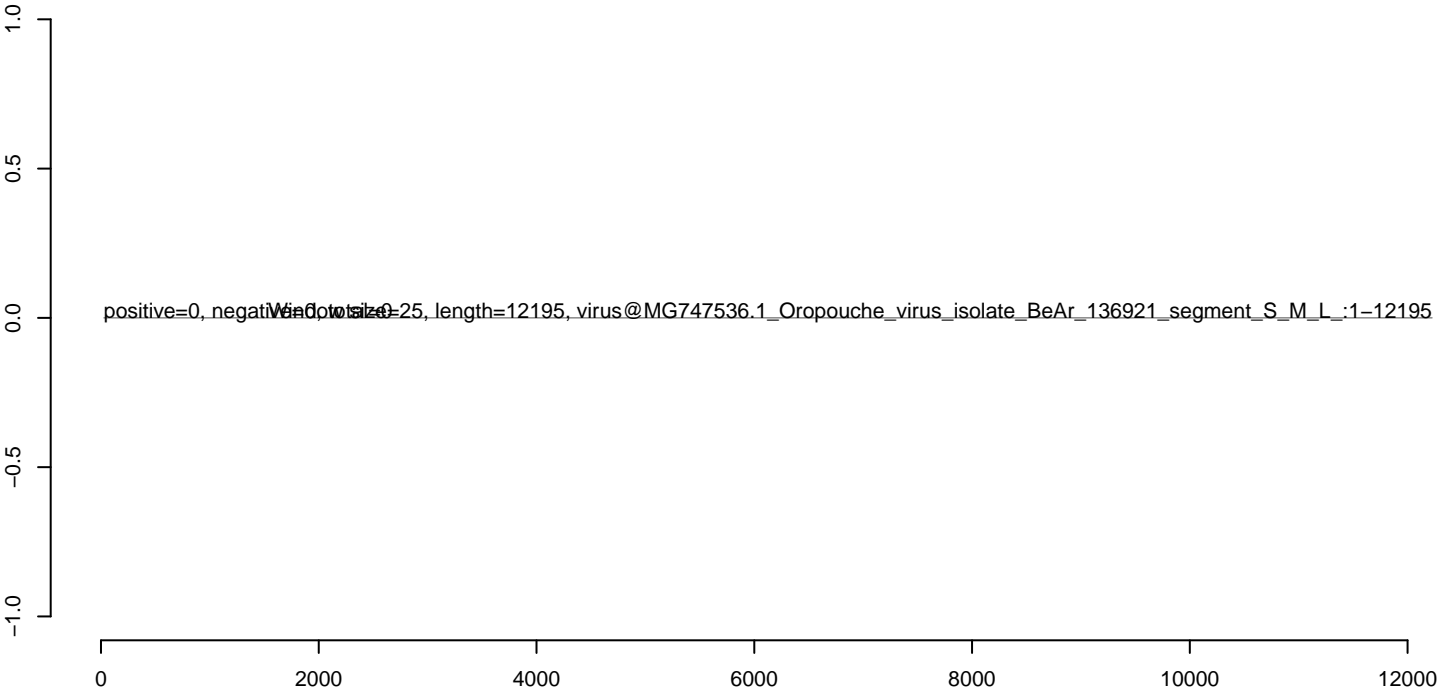
CuQuin_SG_14dpi3.18_23.rep



CuQuin_SG_14dpi3.24_35.rep



CuQuin_SG_14dpi3.rep



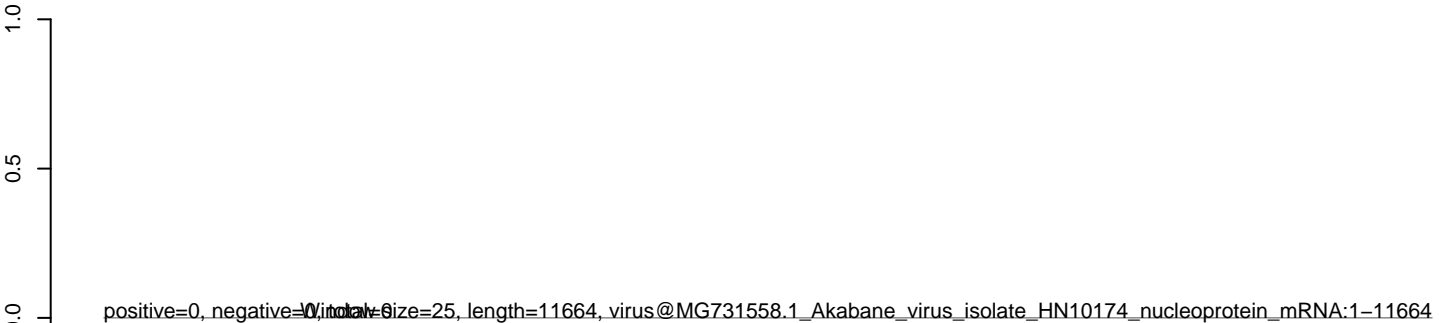
CuQuin_SG_14dpi3.18_23.rep



CuQuin_SG_14dpi3.24_35.rep



CuQuin_SG_14dpi3.rep



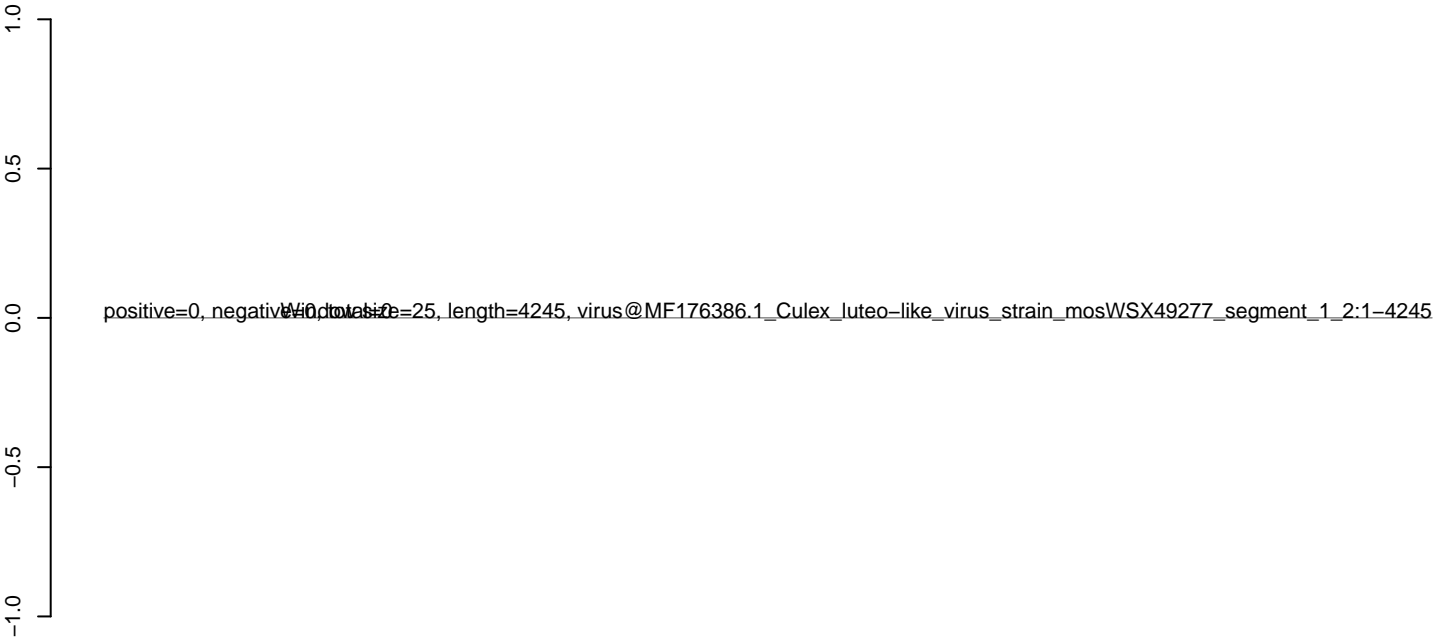
CuQuin_SG_14dpi3.18_23.rep



CuQuin_SG_14dpi3.24_35.rep



CuQuin_SG_14dpi3.rep



0 1000 2000 3000 4000

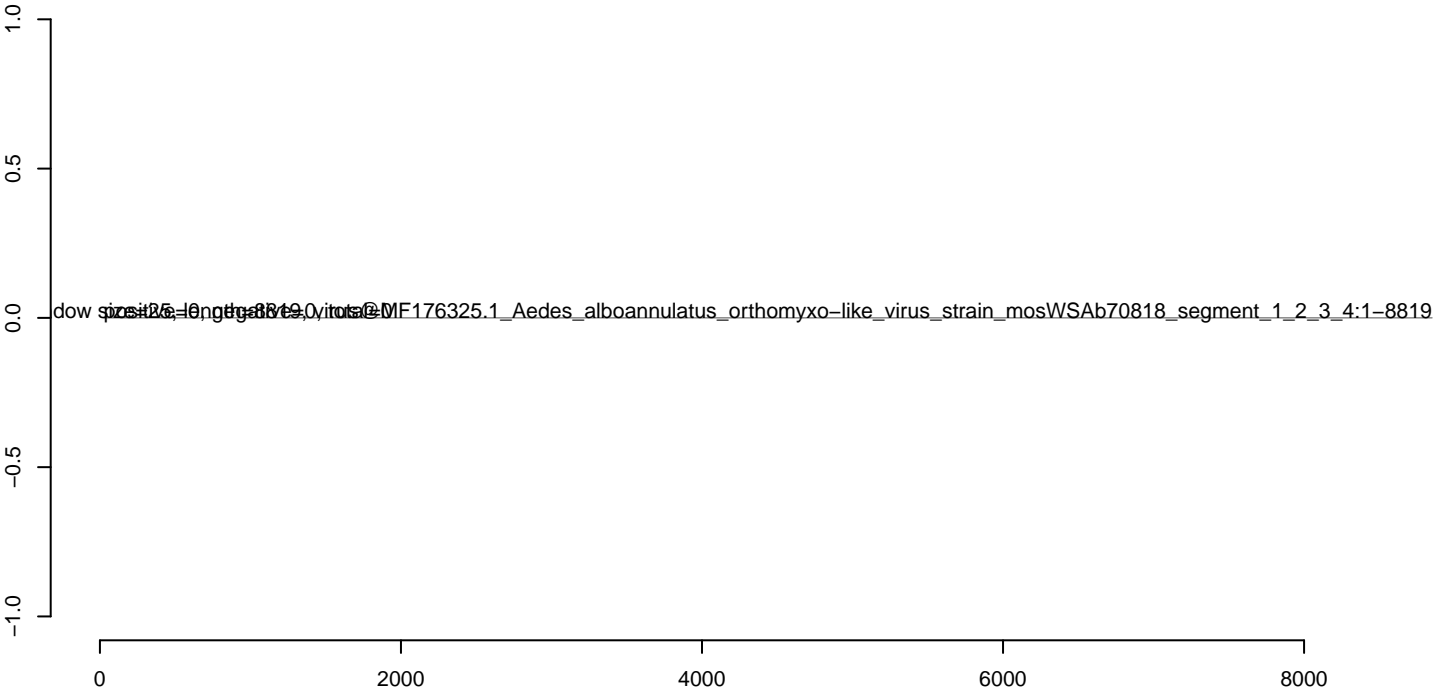
CuQuin_SG_14dpi3.18_23.rep



CuQuin_SG_14dpi3.24_35.rep



CuQuin_SG_14dpi3.rep



CuQuin_SG_14dpi3.18_23.rep



CuQuin_SG_14dpi3.24_35.rep



CuQuin_SG_14dpi3.rep



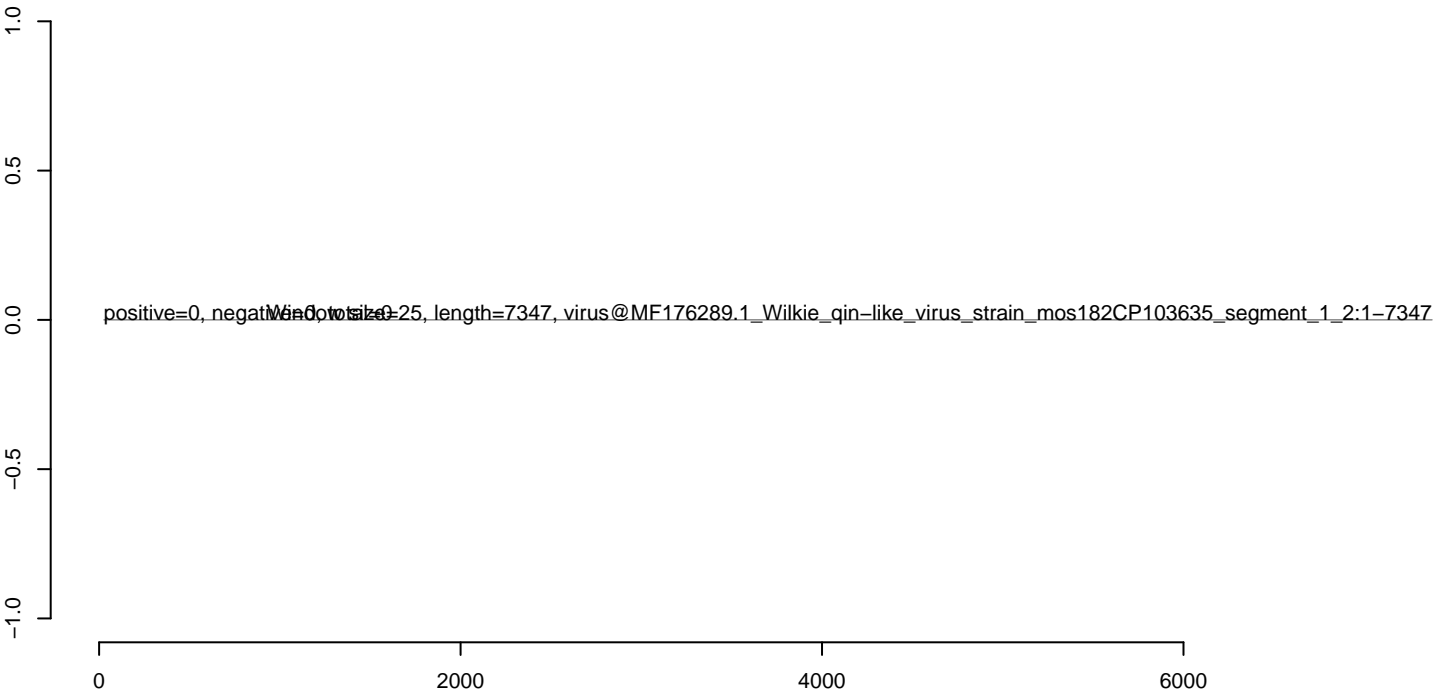
CuQuin_SG_14dpi3.18_23.rep



CuQuin_SG_14dpi3.24_35.rep



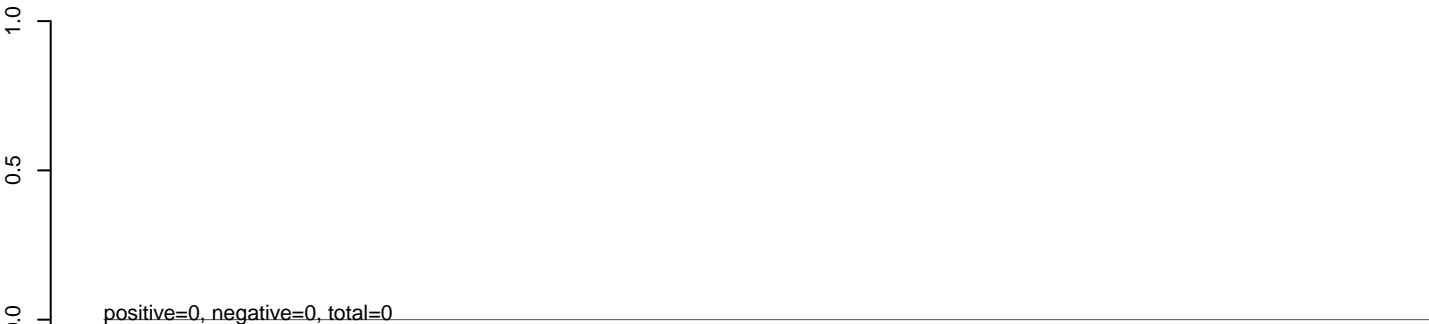
CuQuin_SG_14dpi3.rep



CuQuin_SG_14dpi3.18_23.rep



CuQuin_SG_14dpi3.24_35.rep



CuQuin_SG_14dpi3.rep



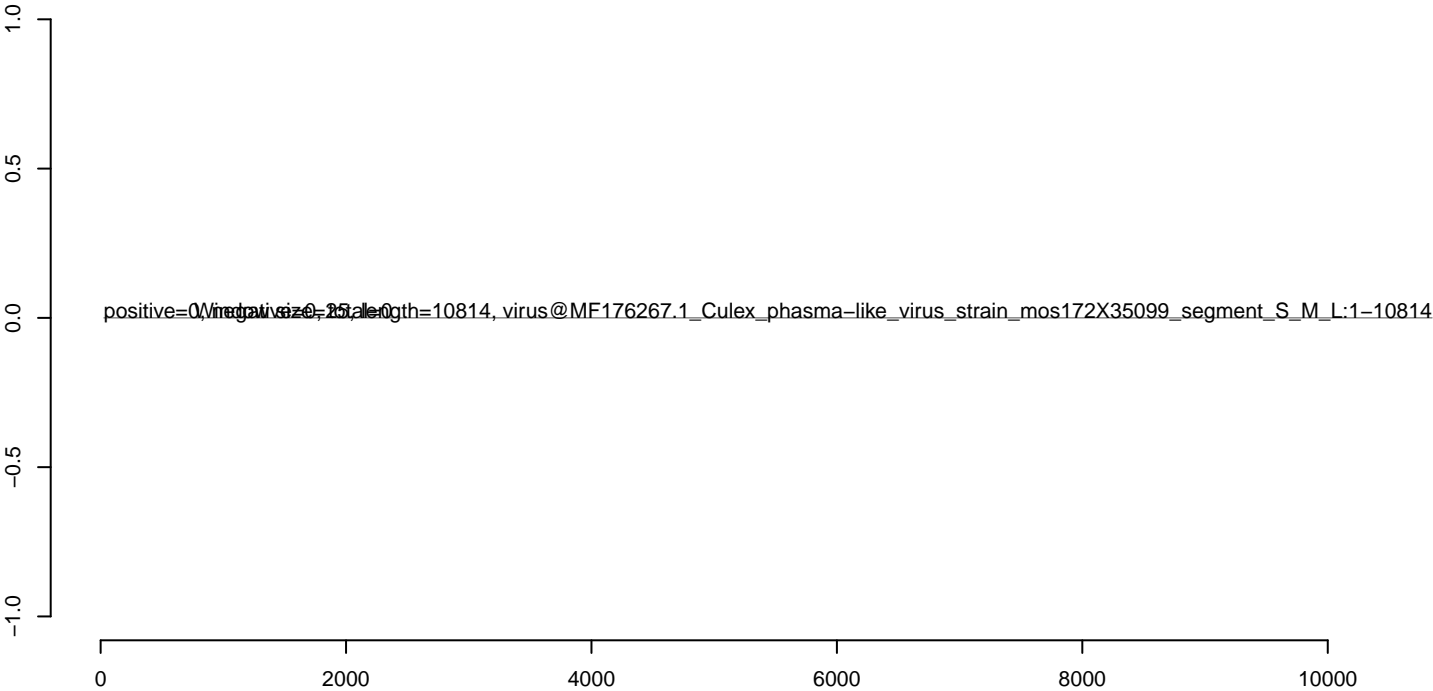
CuQuin_SG_14dpi3.18_23.rep



CuQuin_SG_14dpi3.24_35.rep



CuQuin_SG_14dpi3.rep



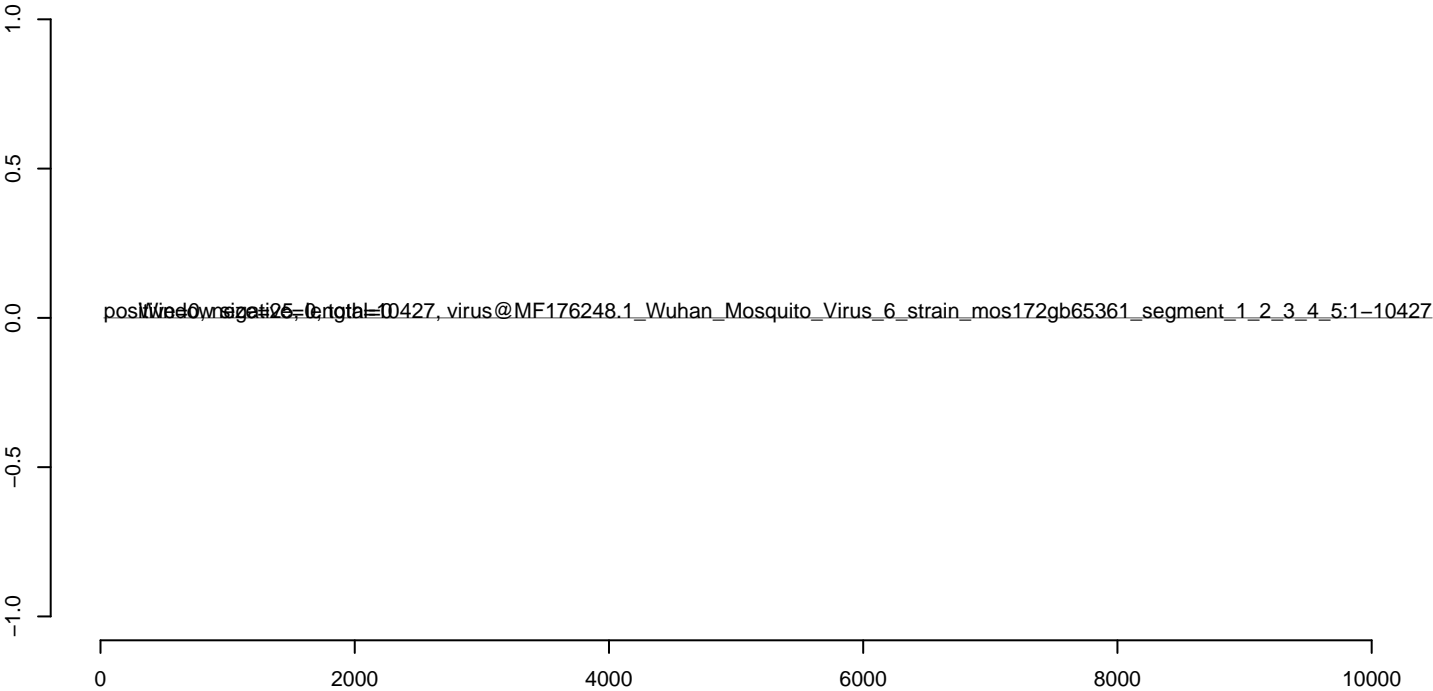
CuQuin_SG_14dpi3.18_23.rep



CuQuin_SG_14dpi3.24_35.rep



CuQuin_SG_14dpi3.rep



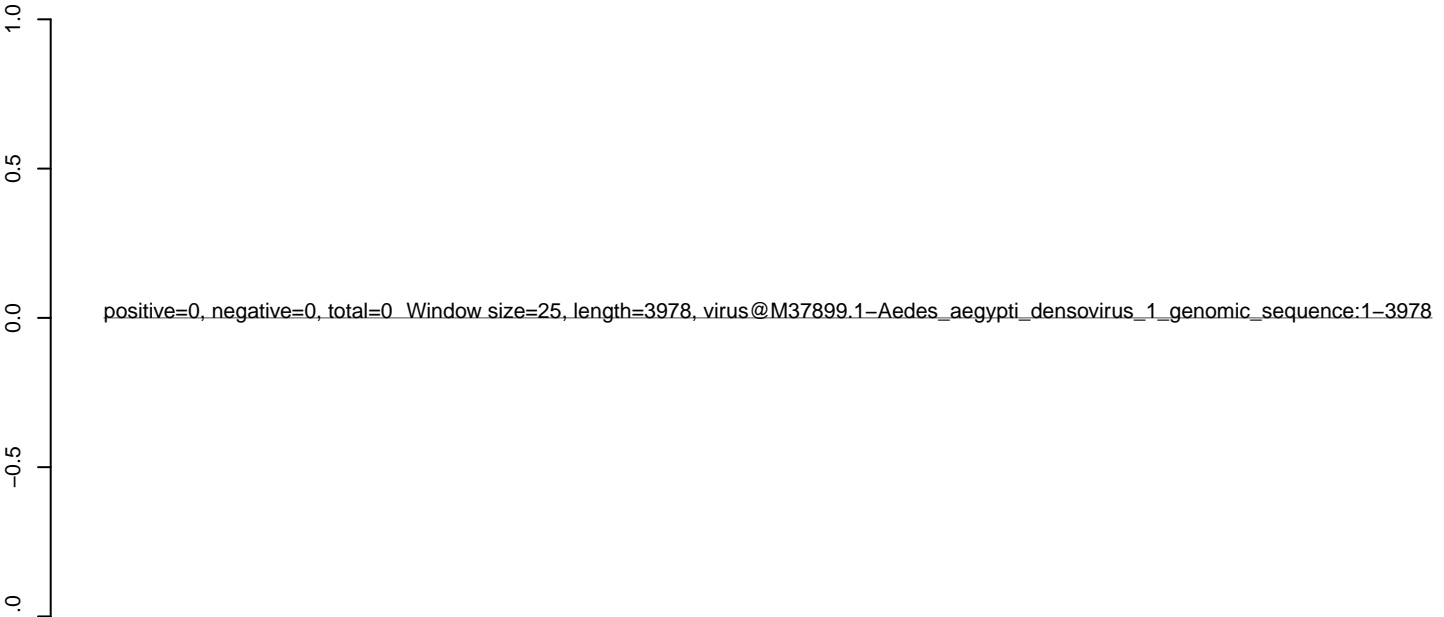
CuQuin_SG_14dpi3.18_23.rep



CuQuin_SG_14dpi3.24_35.rep



CuQuin_SG_14dpi3.rep



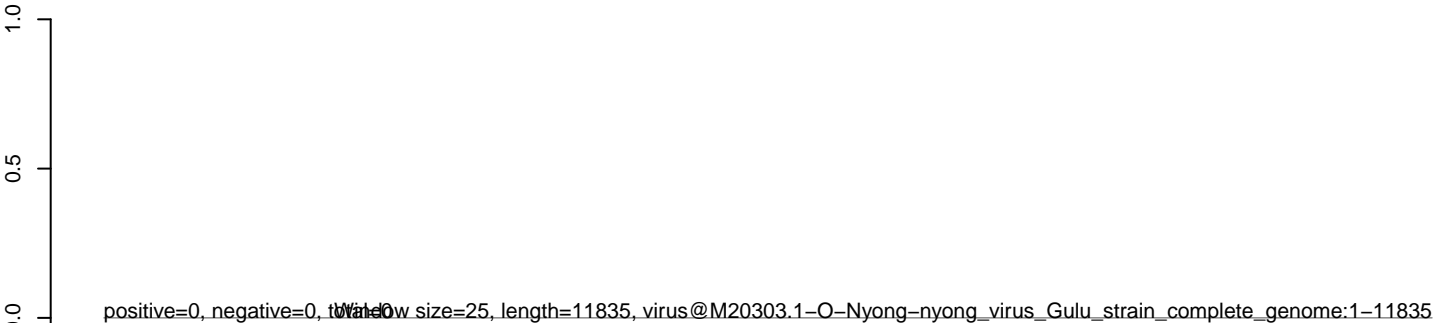
CuQuin_SG_14dpi3.18_23.rep



CuQuin_SG_14dpi3.24_35.rep



CuQuin_SG_14dpi3.rep



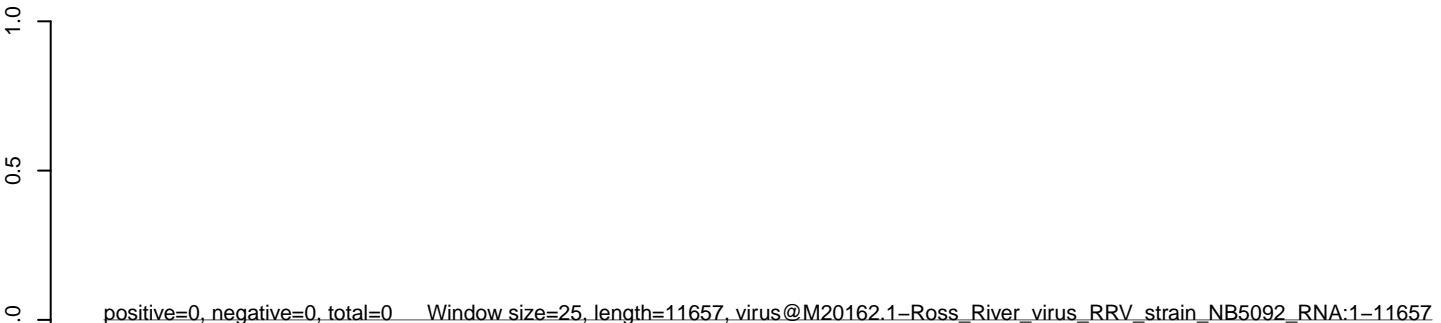
CuQuin_SG_14dpi3.18_23.rep



CuQuin_SG_14dpi3.24_35.rep



CuQuin_SG_14dpi3.rep



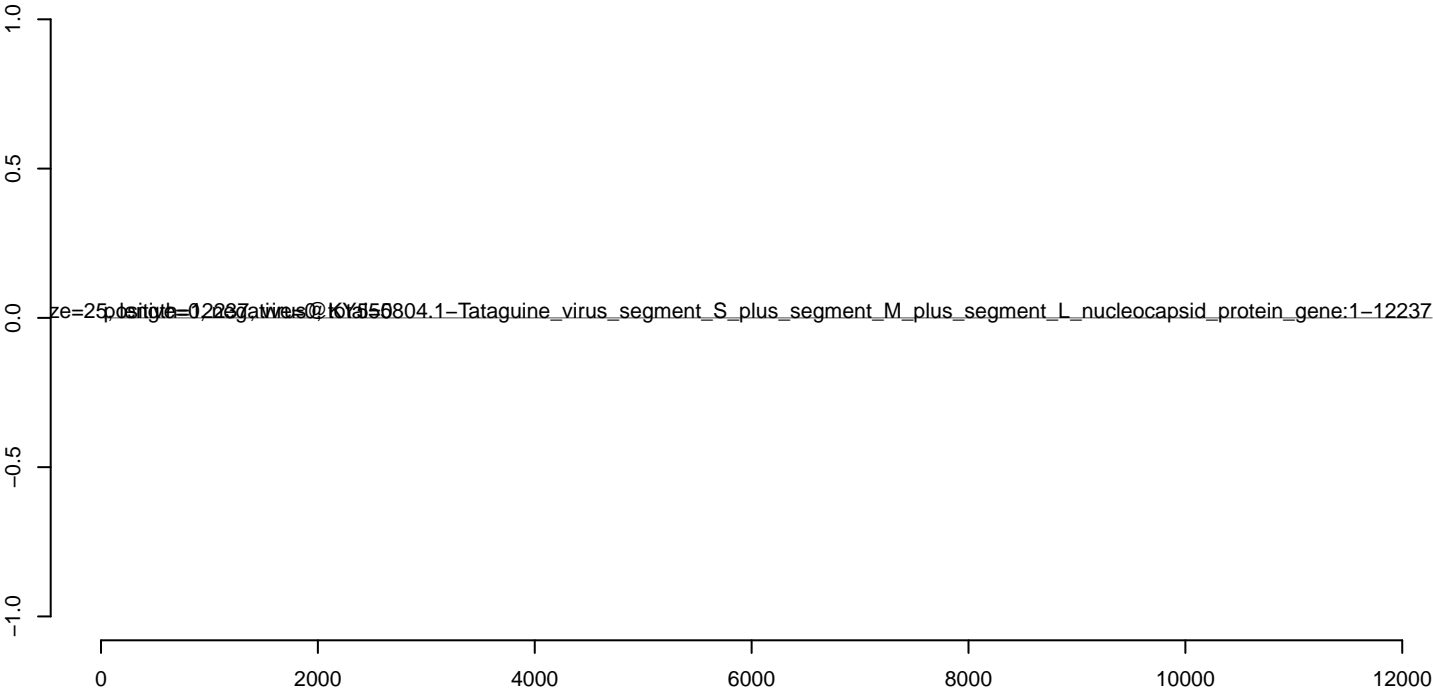
CuQuin_SG_14dpi3.18_23.rep



CuQuin_SG_14dpi3.24_35.rep



CuQuin_SG_14dpi3.rep



CuQuin_SG_14dpi3.18_23.rep



CuQuin_SG_14dpi3.24_35.rep



CuQuin_SG_14dpi3.rep



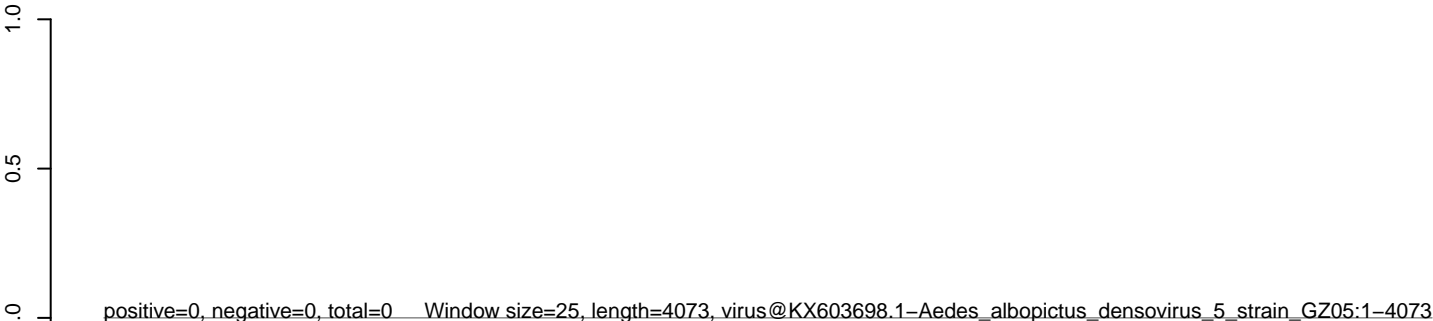
CuQuin_SG_14dpi3.18_23.rep



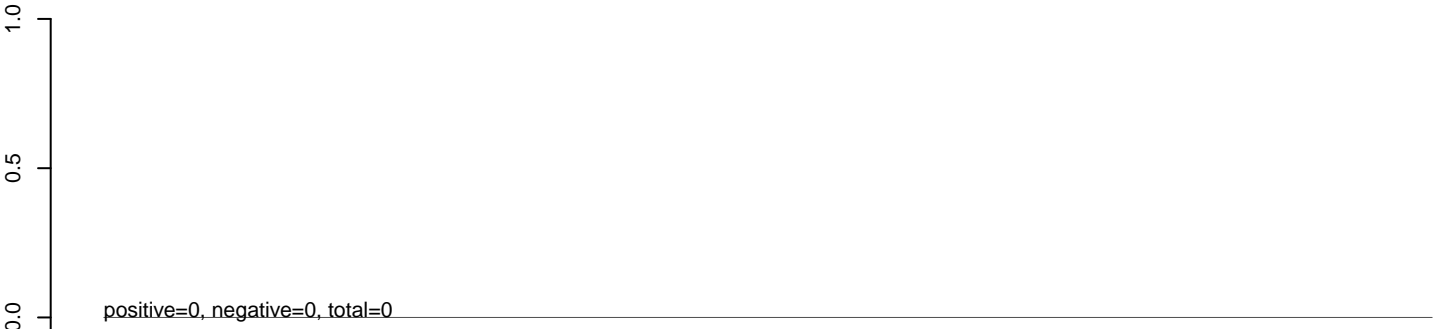
CuQuin_SG_14dpi3.24_35.rep



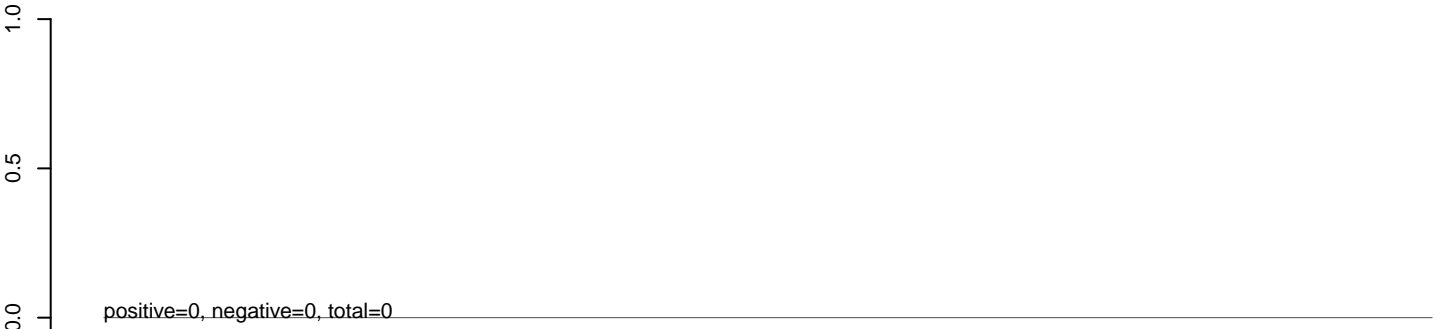
CuQuin_SG_14dpi3.rep



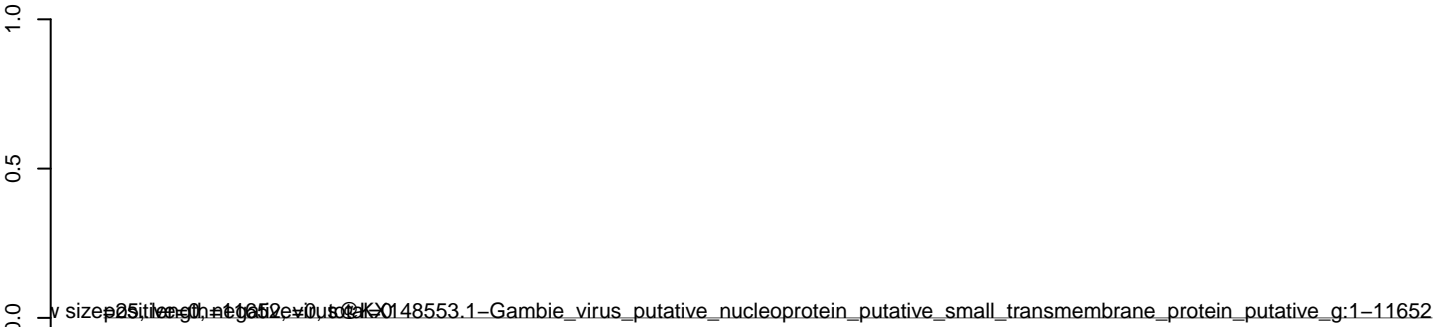
CuQuin_SG_14dpi3.18_23.rep



CuQuin_SG_14dpi3.24_35.rep



CuQuin_SG_14dpi3.rep



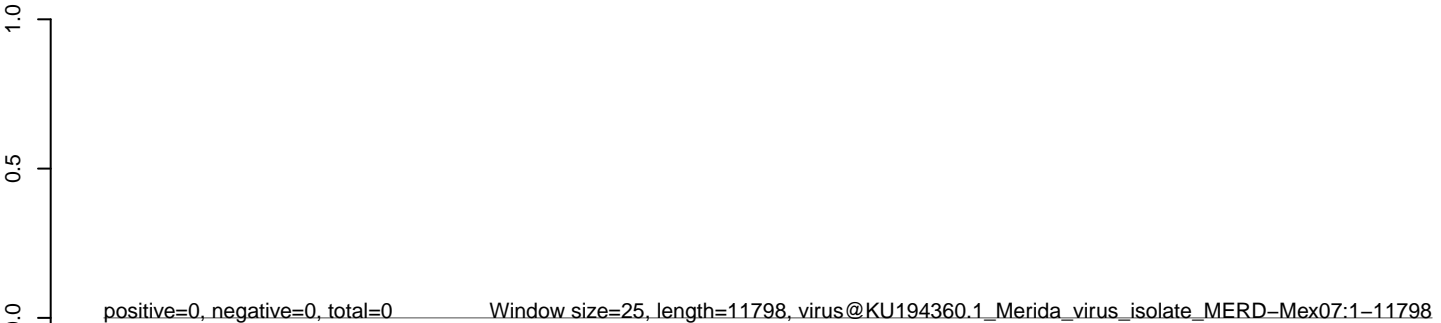
CuQuin_SG_14dpi3.18_23.rep



CuQuin_SG_14dpi3.24_35.rep

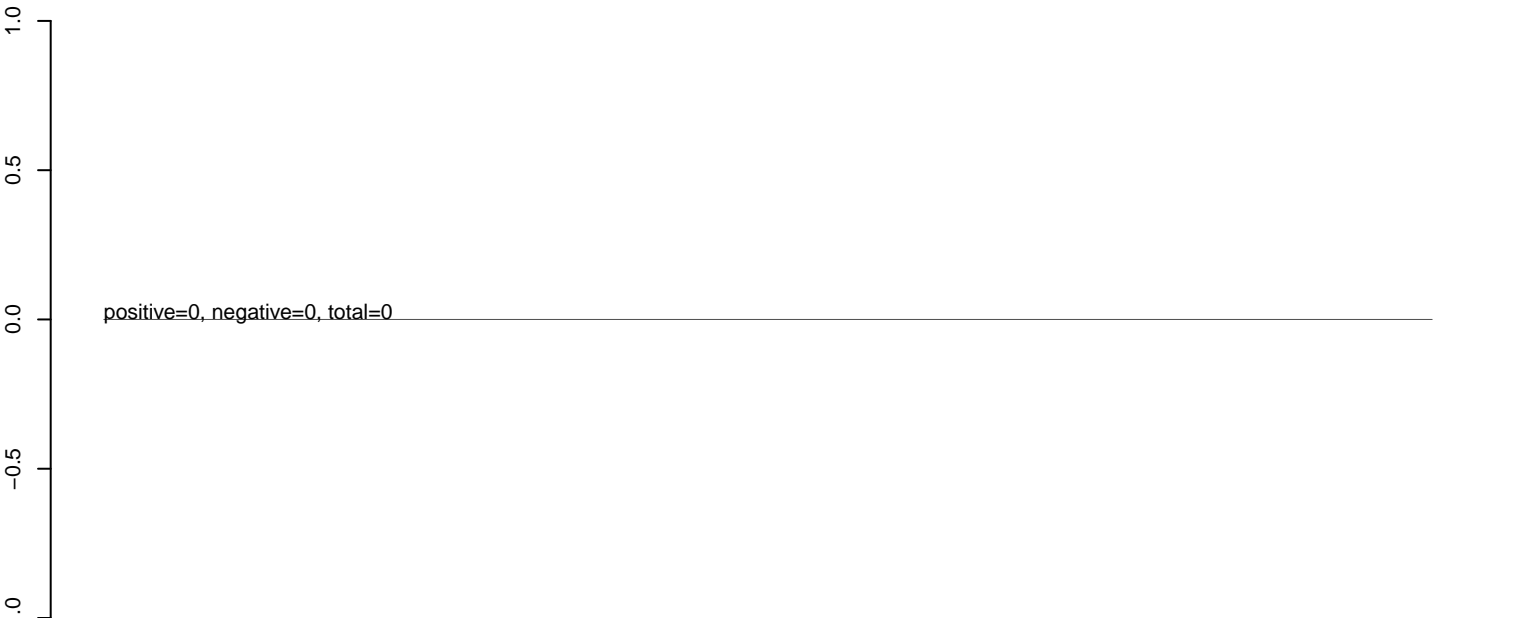


CuQuin_SG_14dpi3.rep

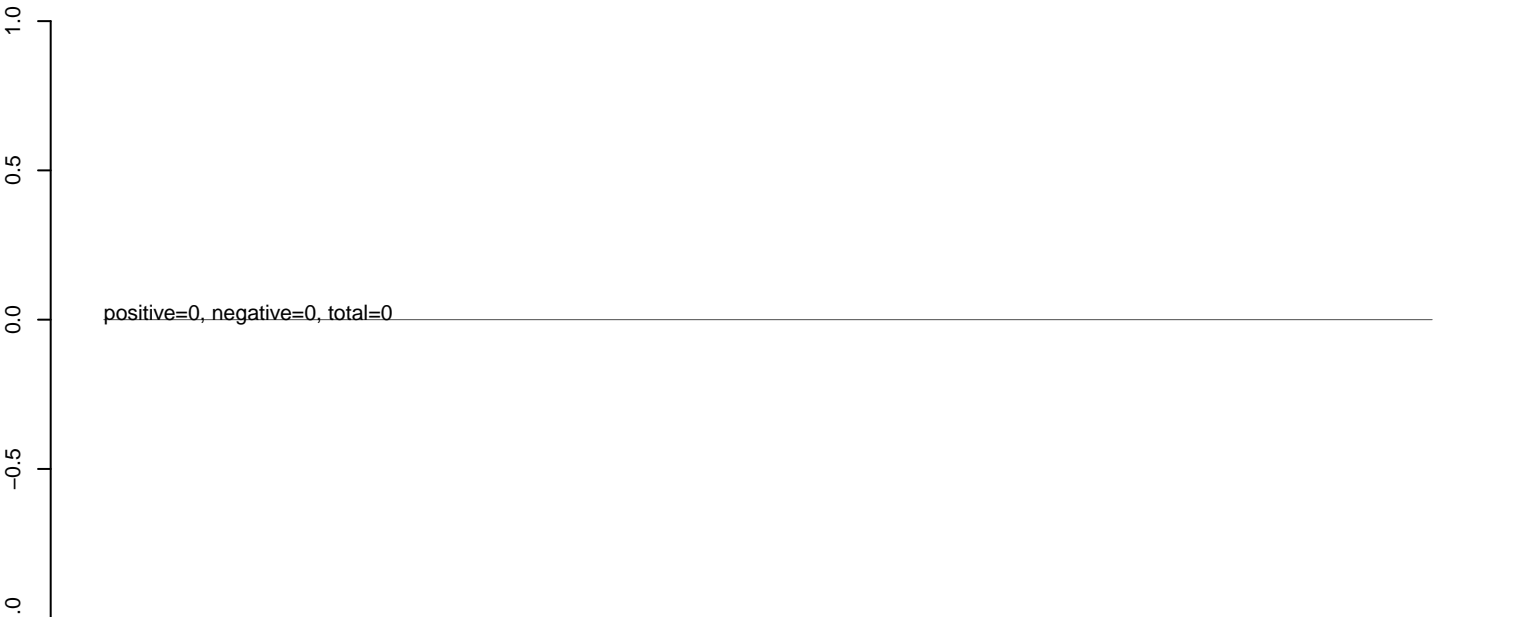


0 2000 4000 6000 8000 10000 12000

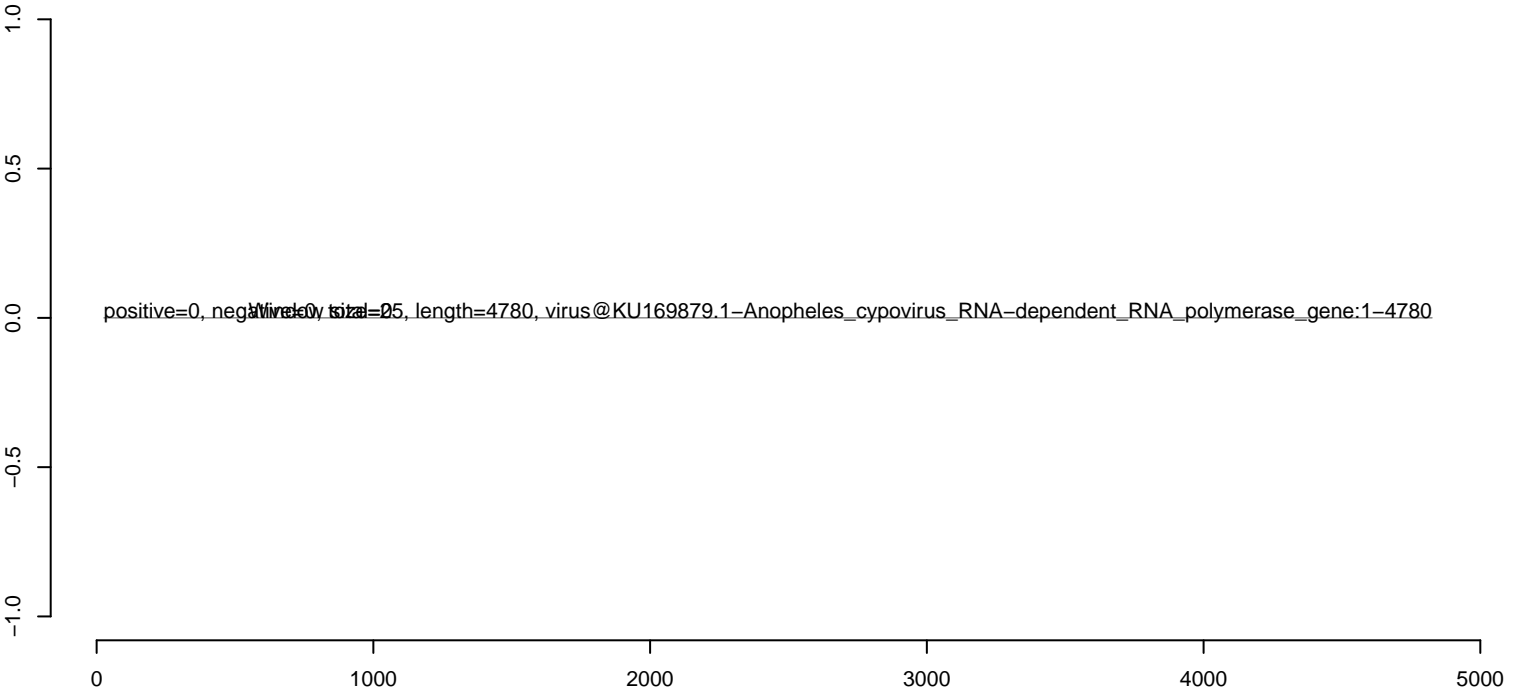
CuQuin_SG_14dpi3.18_23.rep



CuQuin_SG_14dpi3.24_35.rep



CuQuin_SG_14dpi3.rep



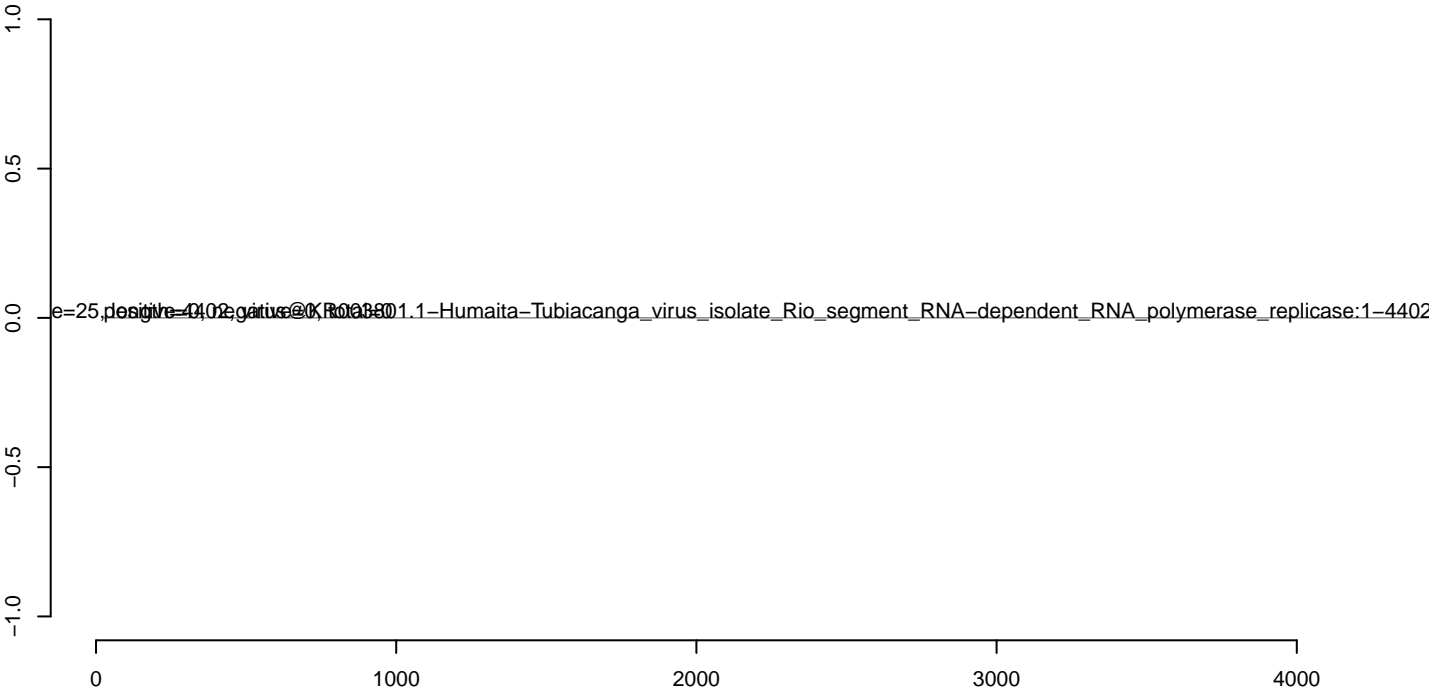
CuQuin_SG_14dpi3.18_23.rep



CuQuin_SG_14dpi3.24_35.rep



CuQuin_SG_14dpi3.rep



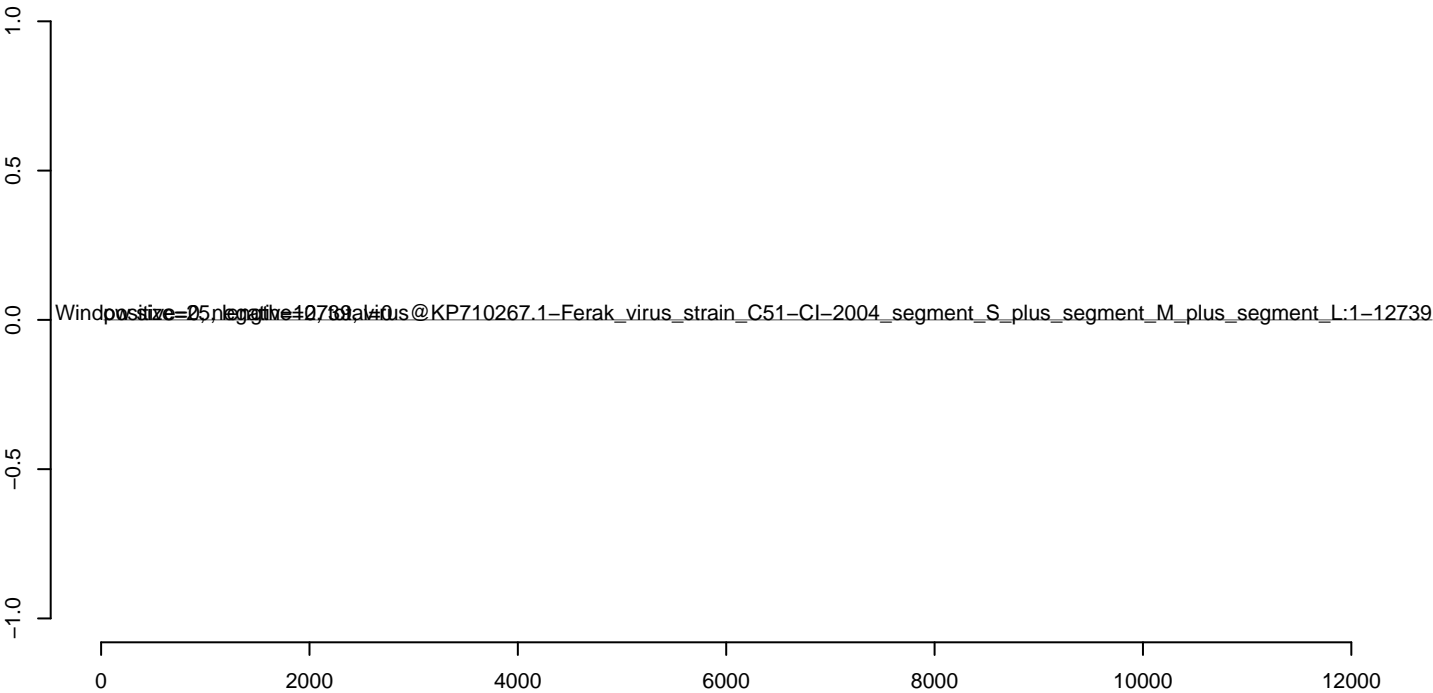
CuQuin_SG_14dpi3.18_23.rep



CuQuin_SG_14dpi3.24_35.rep



CuQuin_SG_14dpi3.rep



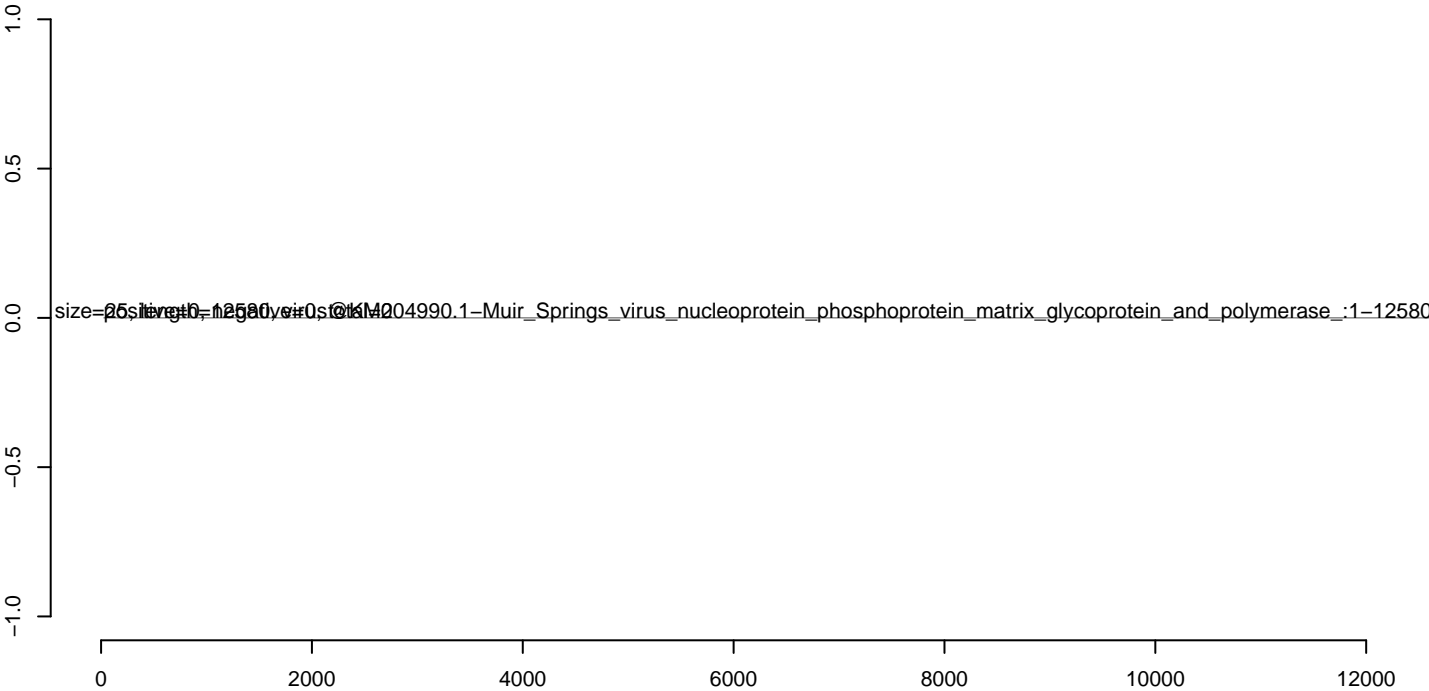
CuQuin_SG_14dpi3.18_23.rep



CuQuin_SG_14dpi3.24_35.rep



CuQuin_SG_14dpi3.rep



CuQuin_SG_14dpi3.18_23.rep



CuQuin_SG_14dpi3.24_35.rep



CuQuin_SG_14dpi3.rep



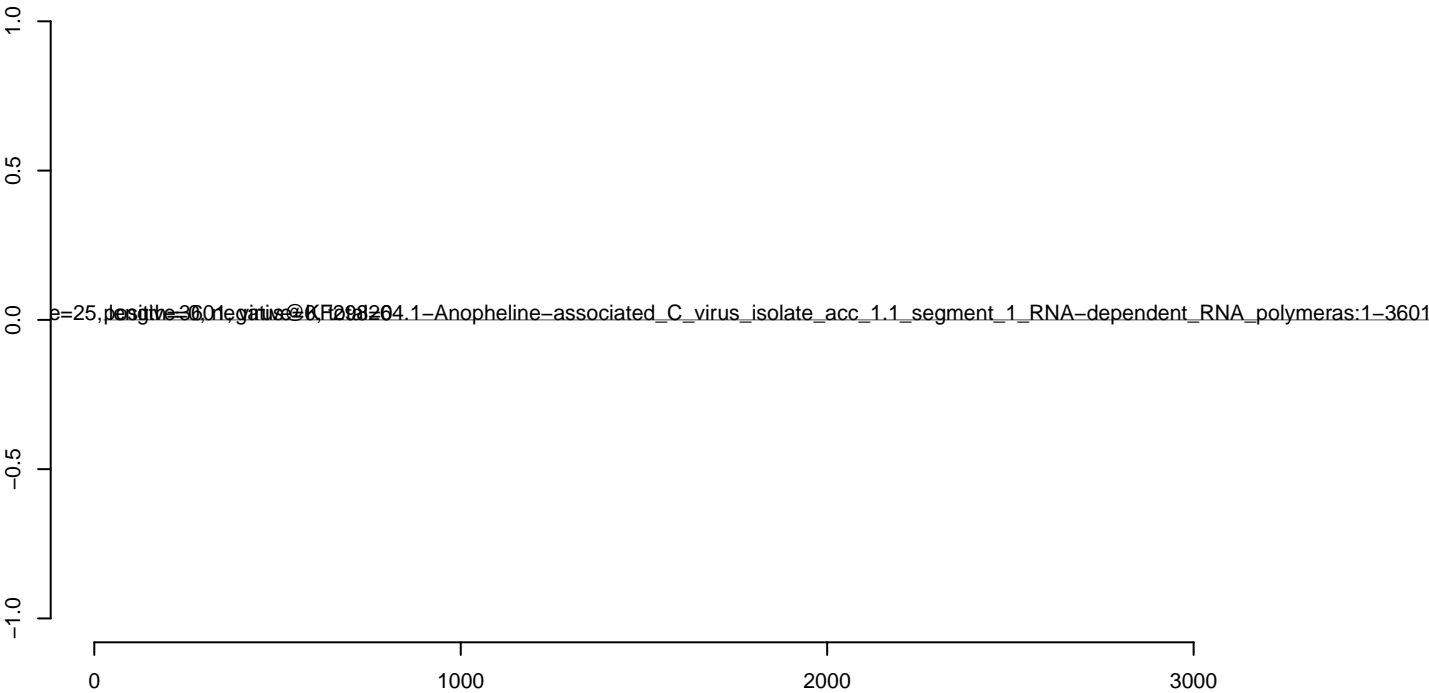
CuQuin_SG_14dpi3.18_23.rep



CuQuin_SG_14dpi3.24_35.rep



CuQuin_SG_14dpi3.rep



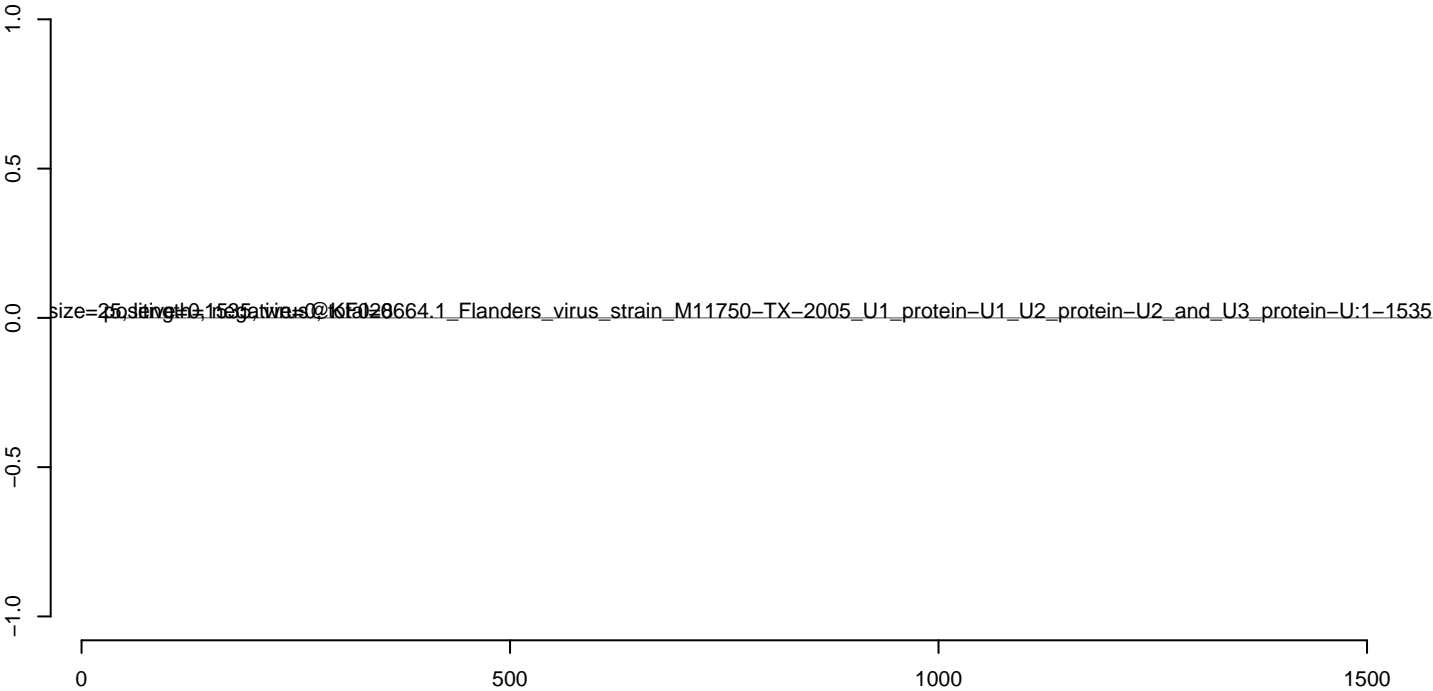
CuQuin_SG_14dpi3.18_23.rep



CuQuin_SG_14dpi3.24_35.rep



CuQuin_SG_14dpi3.rep



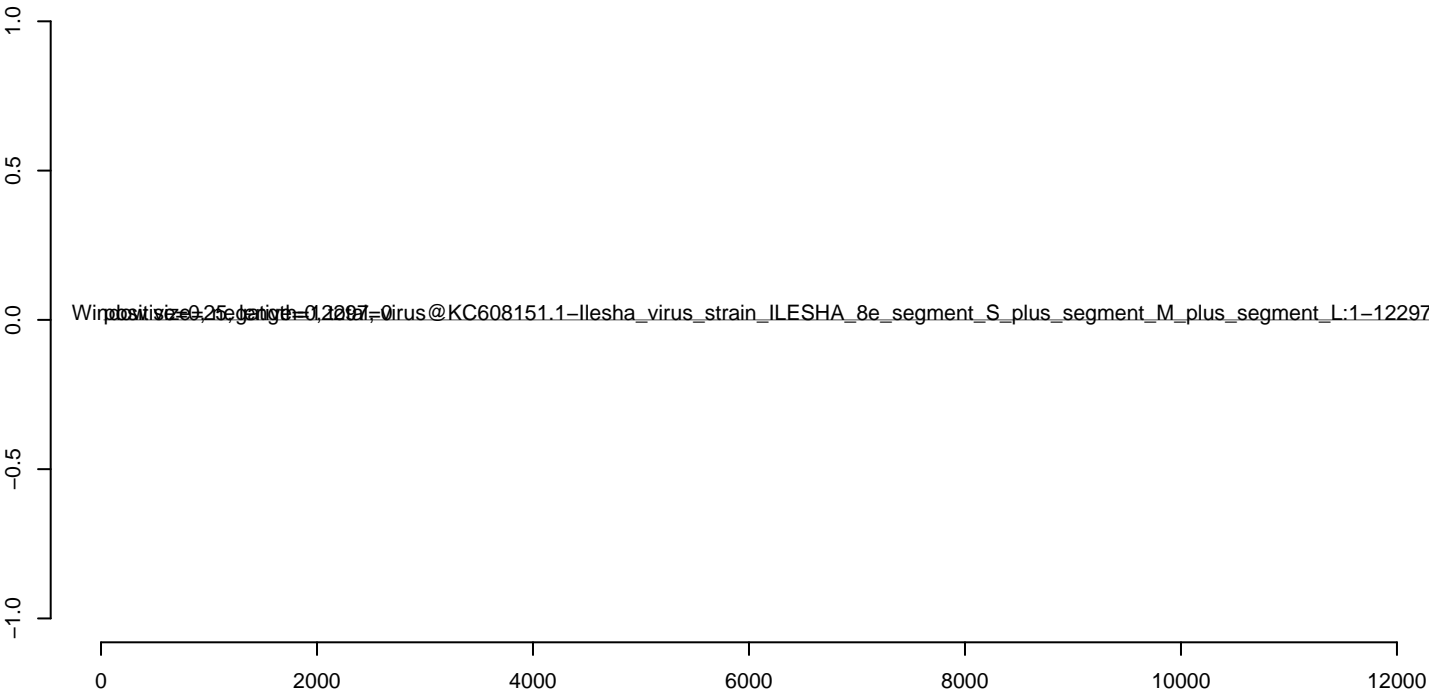
CuQuin_SG_14dpi3.18_23.rep



CuQuin_SG_14dpi3.24_35.rep



CuQuin_SG_14dpi3.rep



CuQuin_SG_14dpi3.18_23.rep



CuQuin_SG_14dpi3.24_35.rep



CuQuin_SG_14dpi3.rep



0 2000 4000 6000 8000 10000

CuQuin_SG_14dpi3.18_23.rep



CuQuin_SG_14dpi3.24_35.rep



CuQuin_SG_14dpi3.rep



0 2000 4000 6000 8000 10000 12000

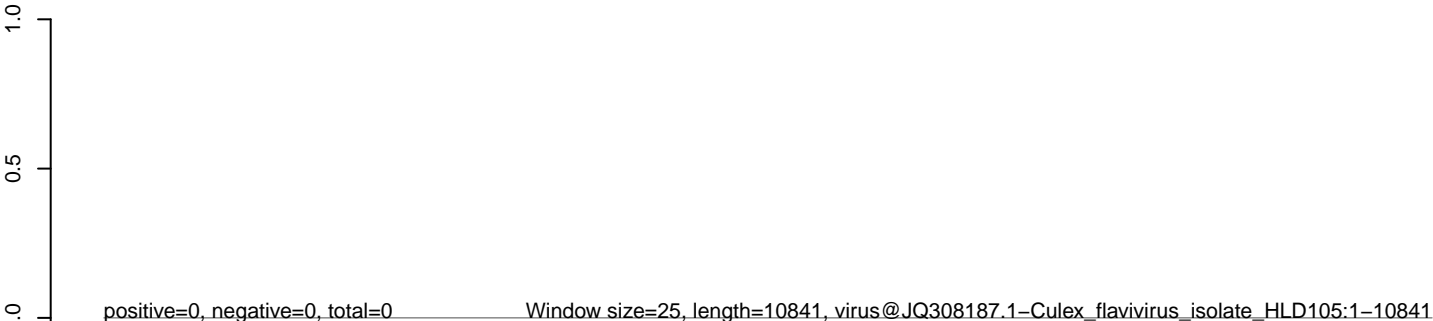
CuQuin_SG_14dpi3.18_23.rep



CuQuin_SG_14dpi3.24_35.rep



CuQuin_SG_14dpi3.rep



0 2000 4000 6000 8000 10000

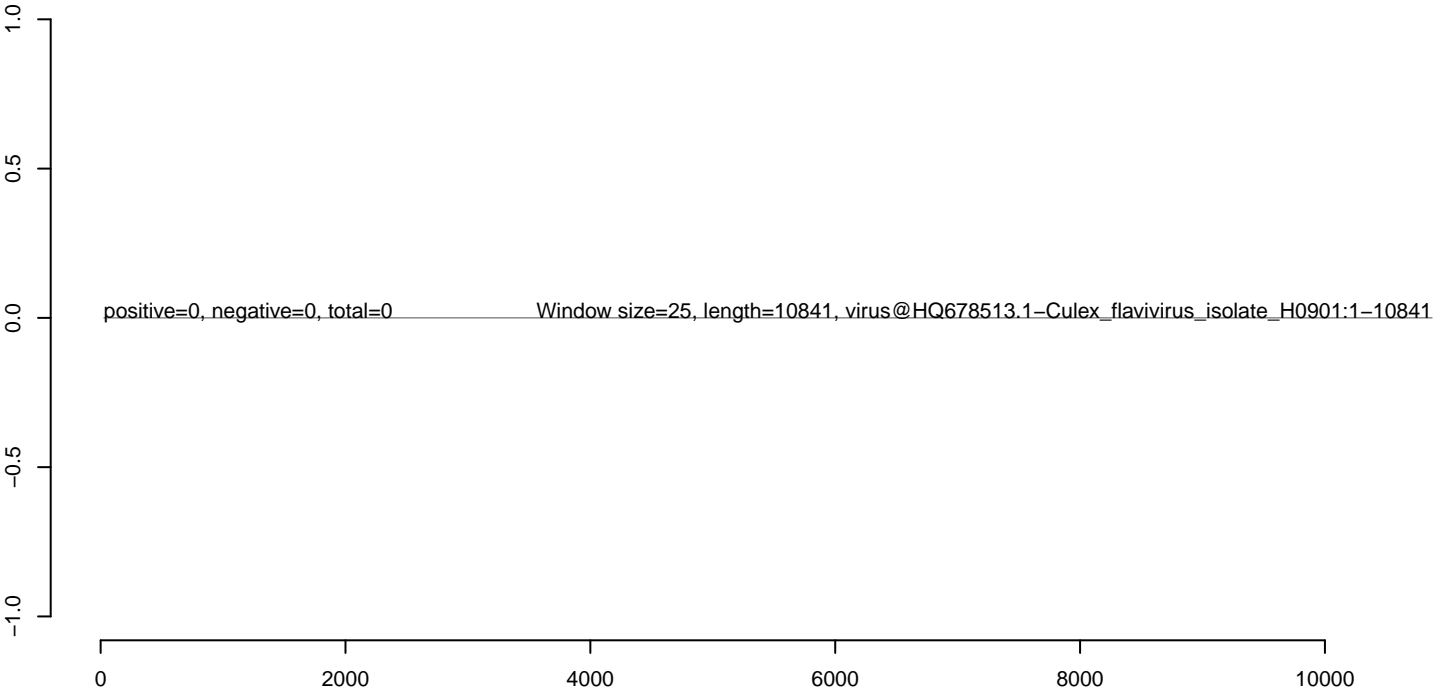
CuQuin_SG_14dpi3.18_23.rep



CuQuin_SG_14dpi3.24_35.rep



CuQuin_SG_14dpi3.rep



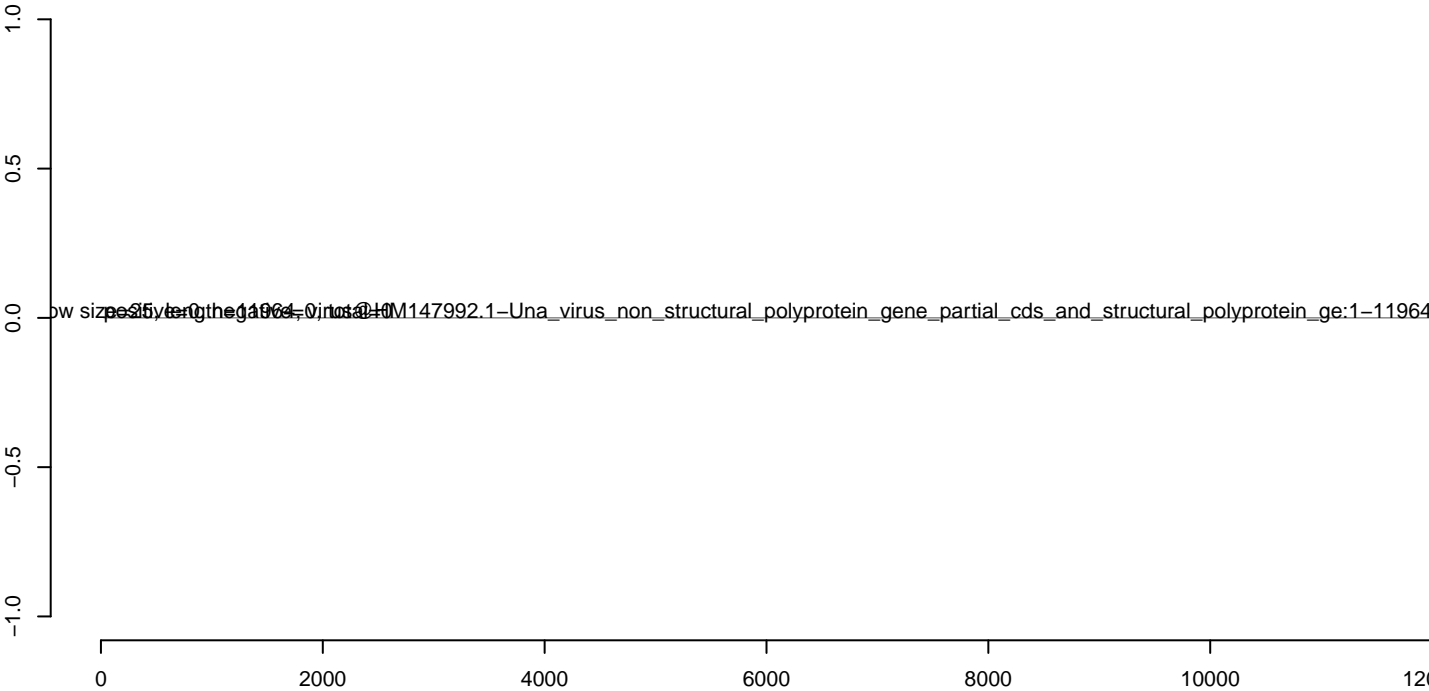
CuQuin_SG_14dpi3.18_23.rep



CuQuin_SG_14dpi3.24_35.rep



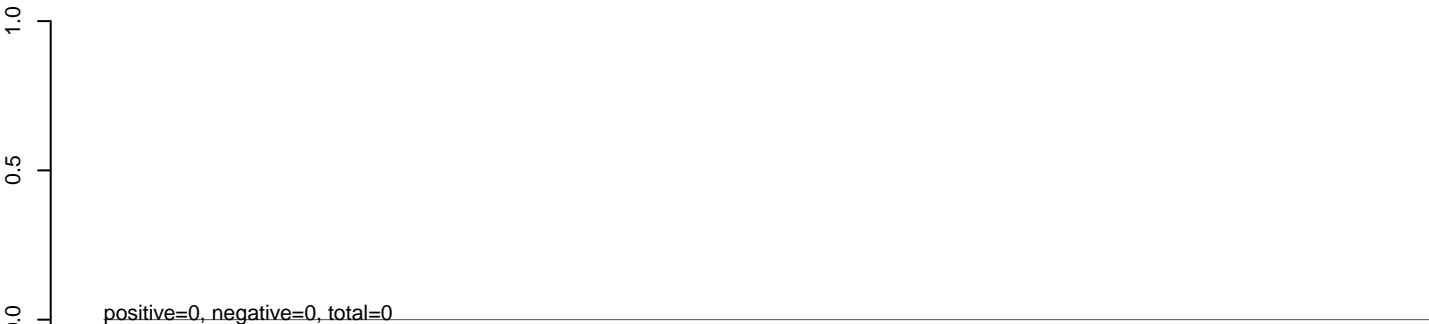
CuQuin_SG_14dpi3.rep



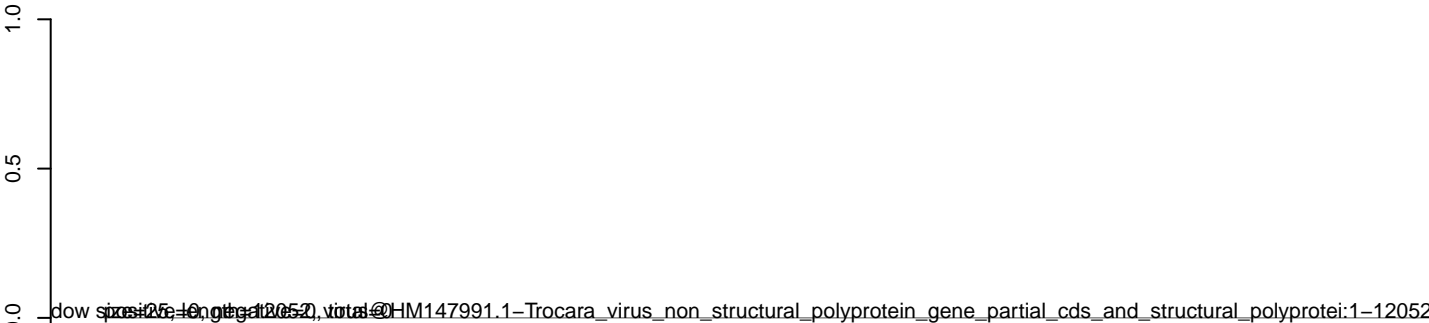
CuQuin_SG_14dpi3.18_23.rep



CuQuin_SG_14dpi3.24_35.rep



CuQuin_SG_14dpi3.rep



CuQuin_SG_14dpi3.18_23.rep



CuQuin_SG_14dpi3.24_35.rep



CuQuin_SG_14dpi3.rep



0 2000 4000 6000 8000 10000

CuQuin_SG_14dpi3.18_23.rep



CuQuin_SG_14dpi3.24_35.rep



CuQuin_SG_14dpi3.rep



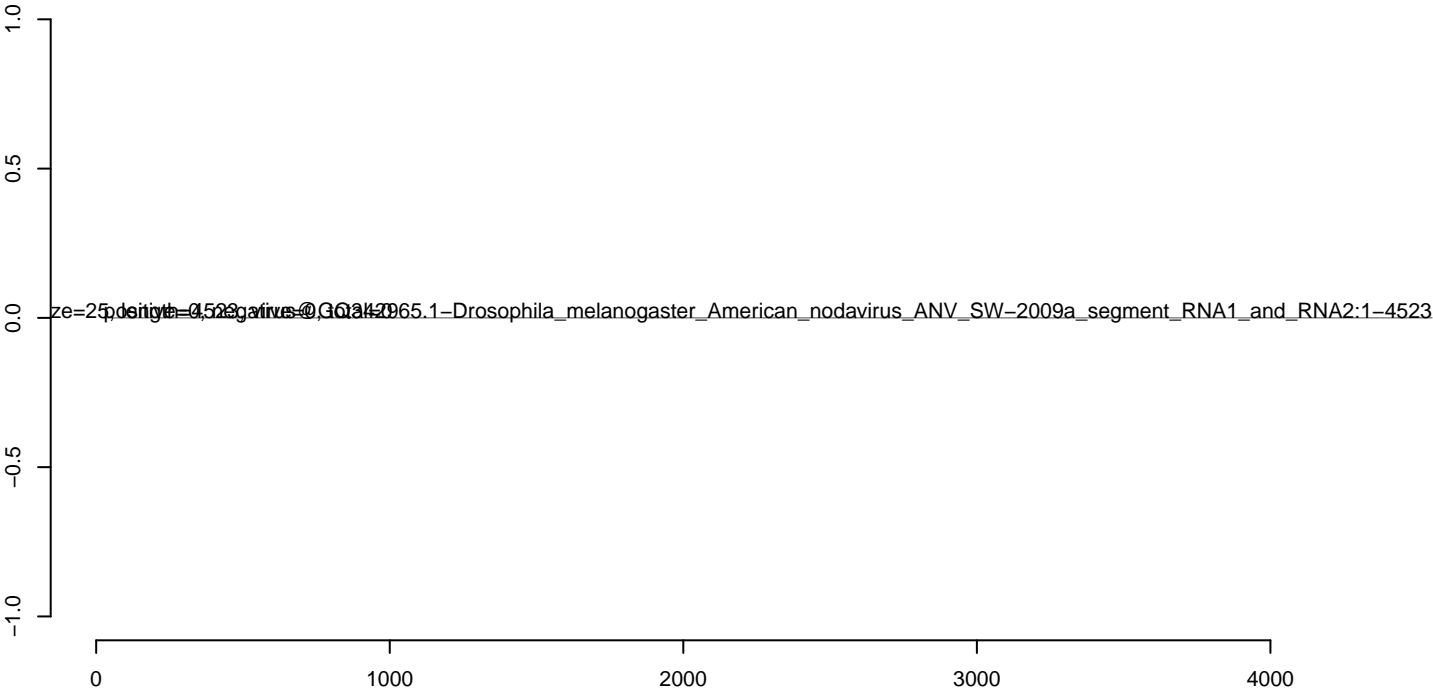
CuQuin_SG_14dpi3.18_23.rep



CuQuin_SG_14dpi3.24_35.rep



CuQuin_SG_14dpi3.rep



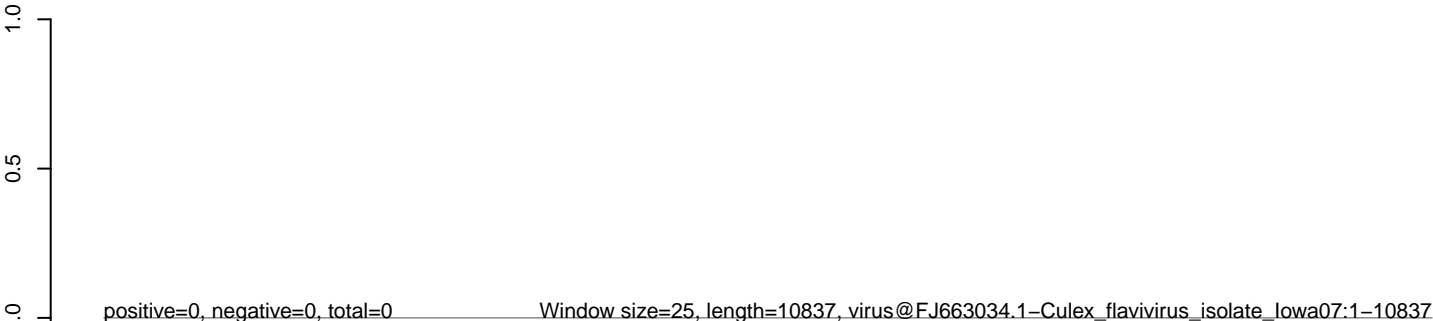
CuQuin_SG_14dpi3.18_23.rep



CuQuin_SG_14dpi3.24_35.rep



CuQuin_SG_14dpi3.rep



0 2000 4000 6000 8000 10000

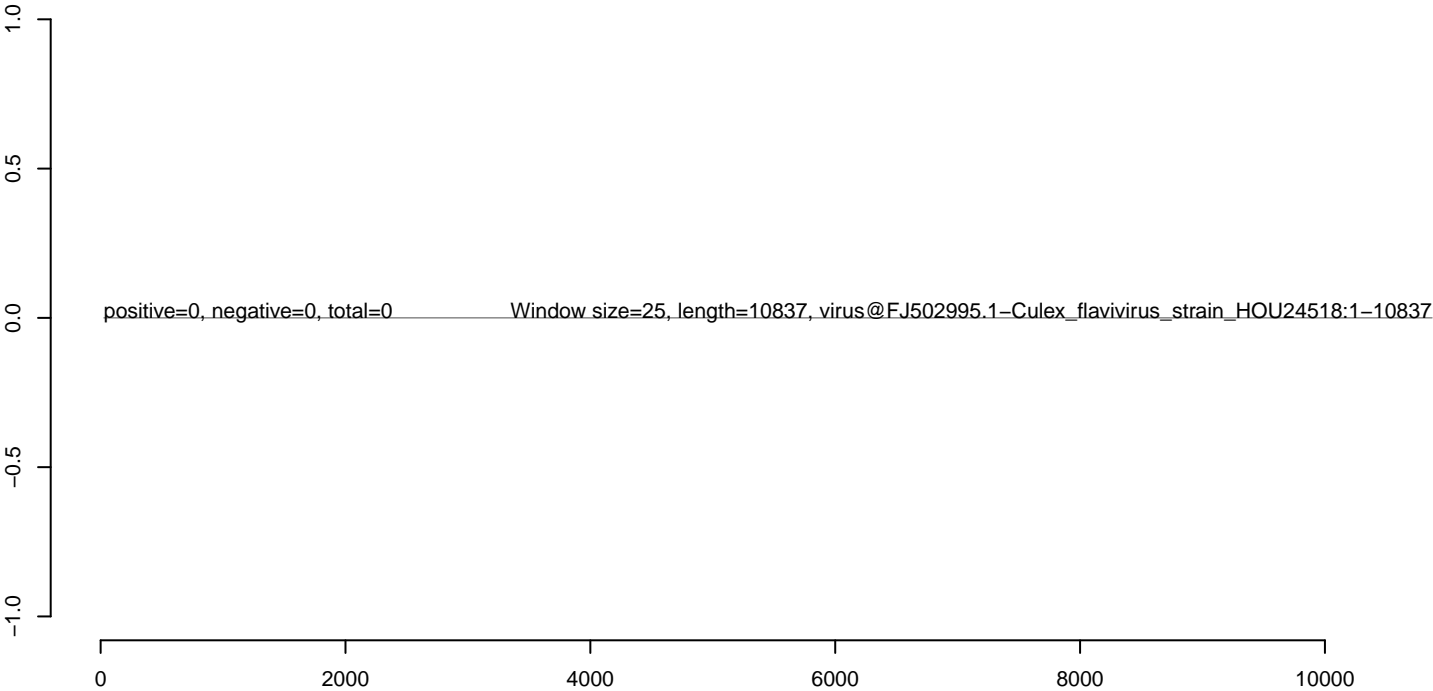
CuQuin_SG_14dpi3.18_23.rep



CuQuin_SG_14dpi3.24_35.rep



CuQuin_SG_14dpi3.rep



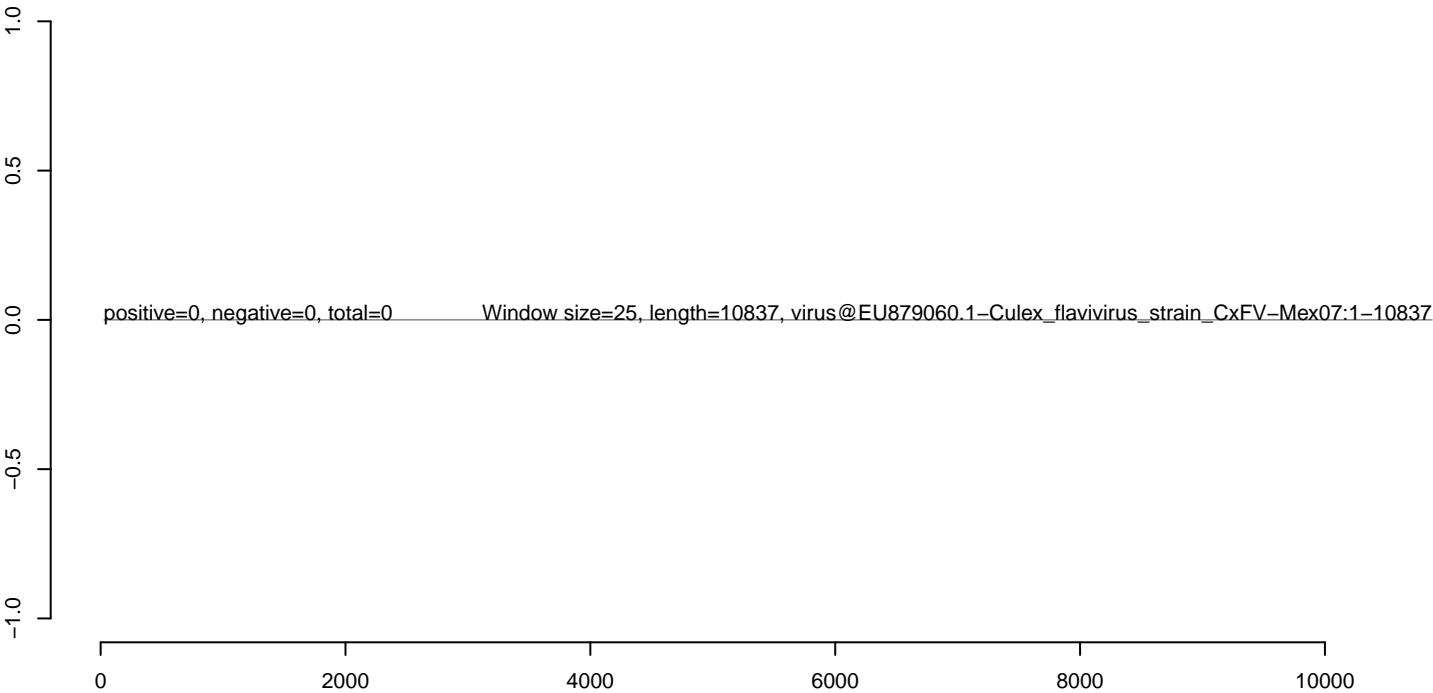
CuQuin_SG_14dpi3.18_23.rep



CuQuin_SG_14dpi3.24_35.rep



CuQuin_SG_14dpi3.rep



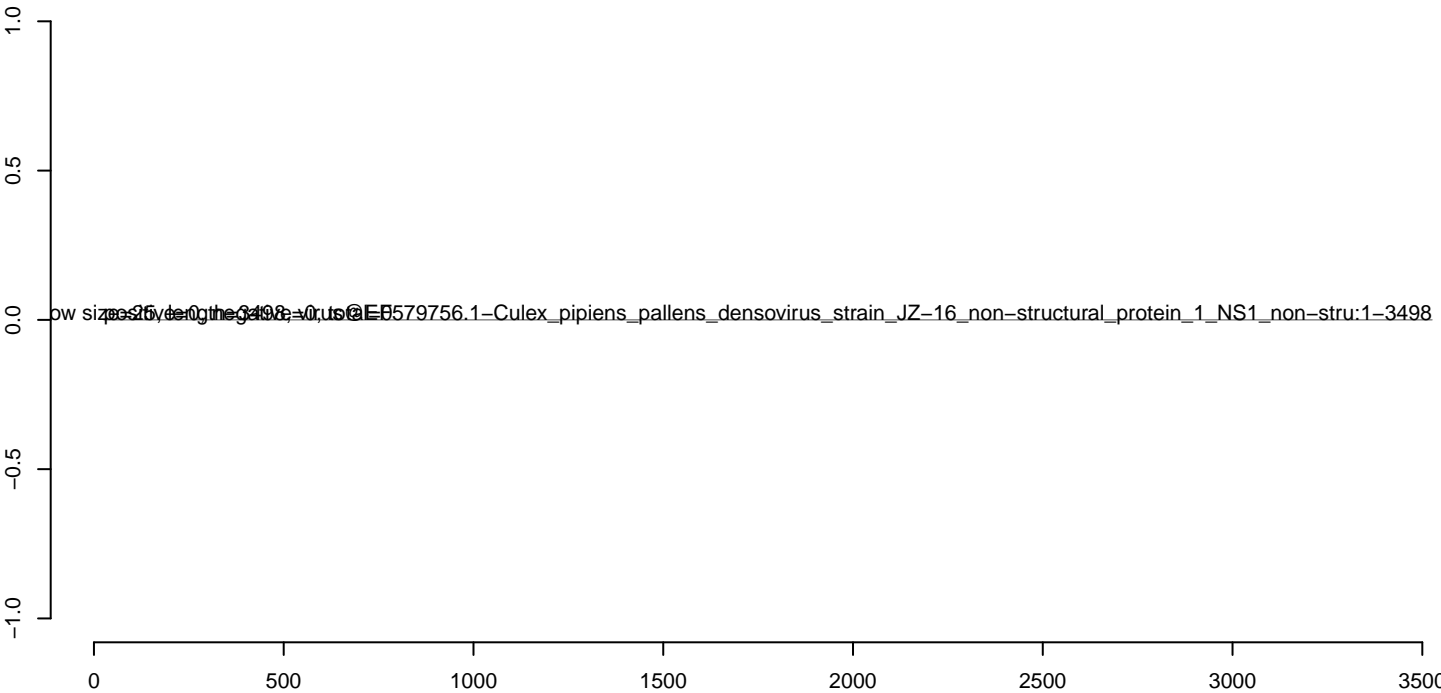
CuQuin_SG_14dpi3.18_23.rep



CuQuin_SG_14dpi3.24_35.rep



CuQuin_SG_14dpi3.rep



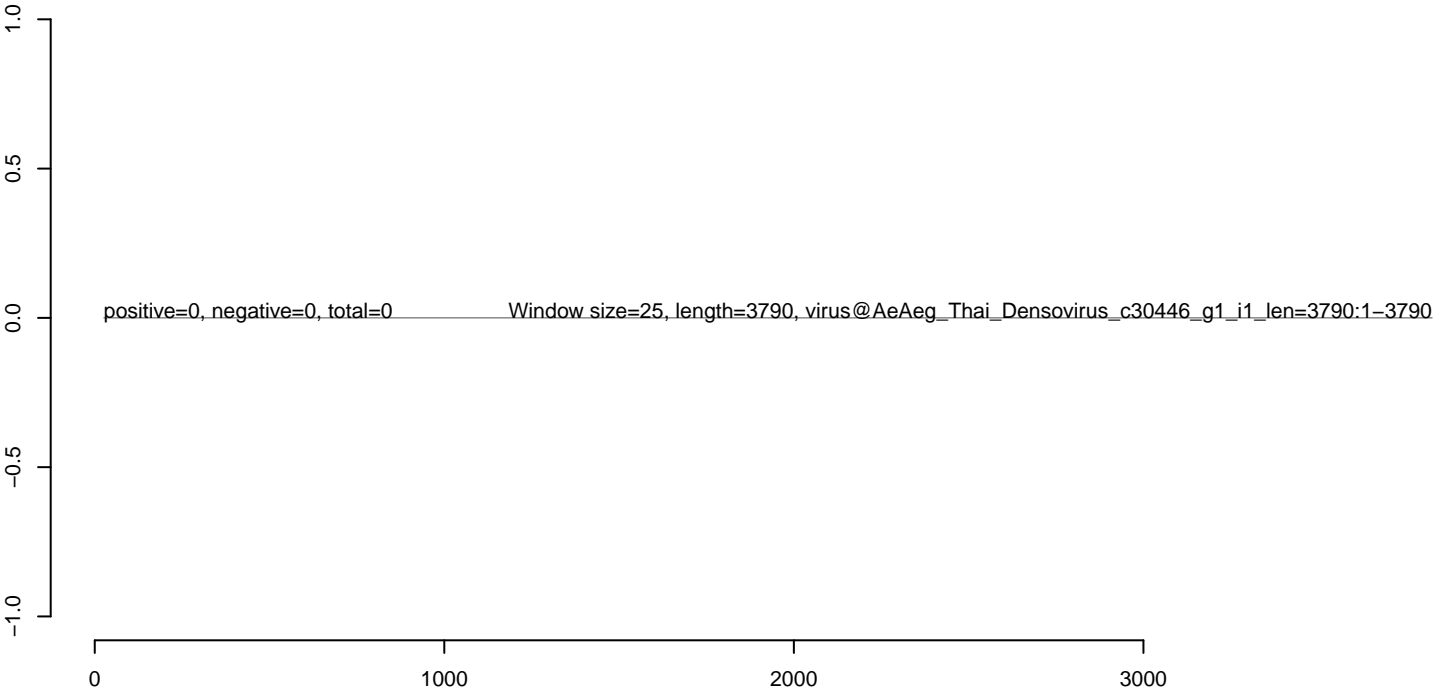
CuQuin_SG_14dpi3.18_23.rep



CuQuin_SG_14dpi3.24_35.rep



CuQuin_SG_14dpi3.rep



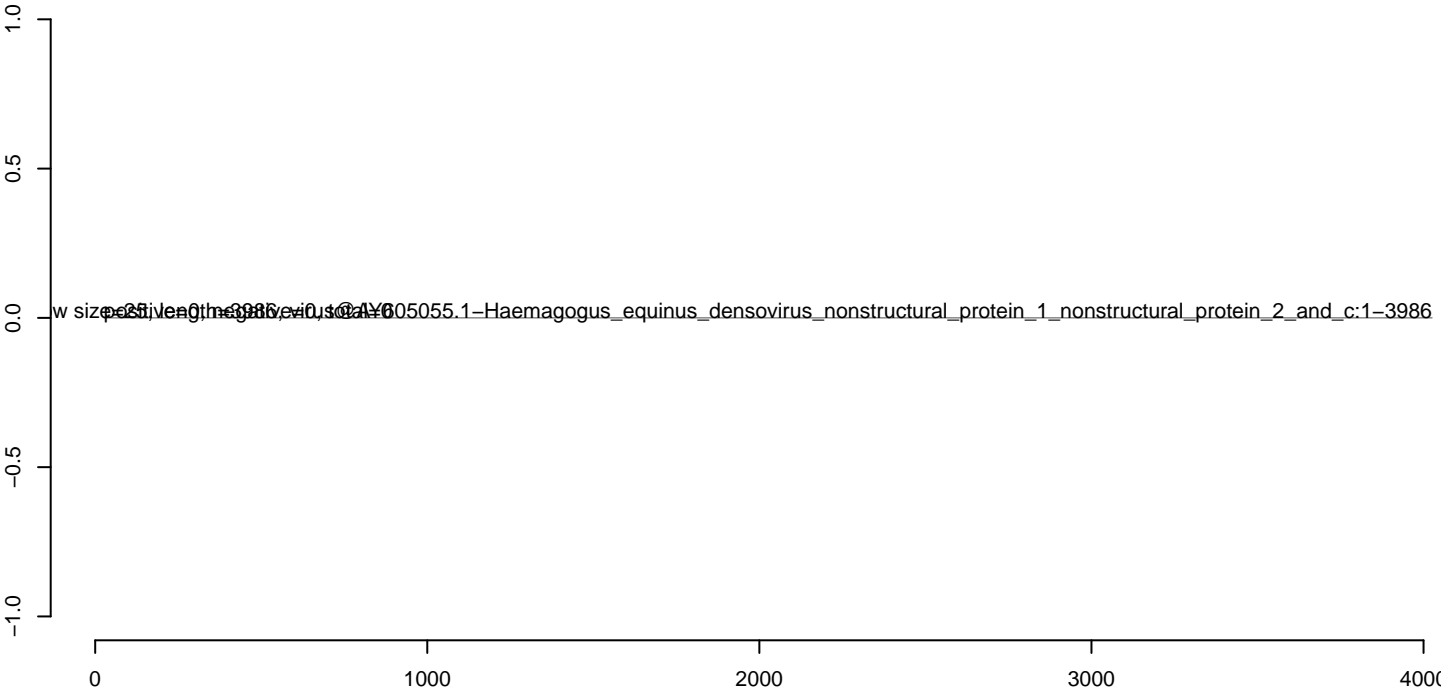
CuQuin_SG_14dpi3.18_23.rep



CuQuin_SG_14dpi3.24_35.rep



CuQuin_SG_14dpi3.rep



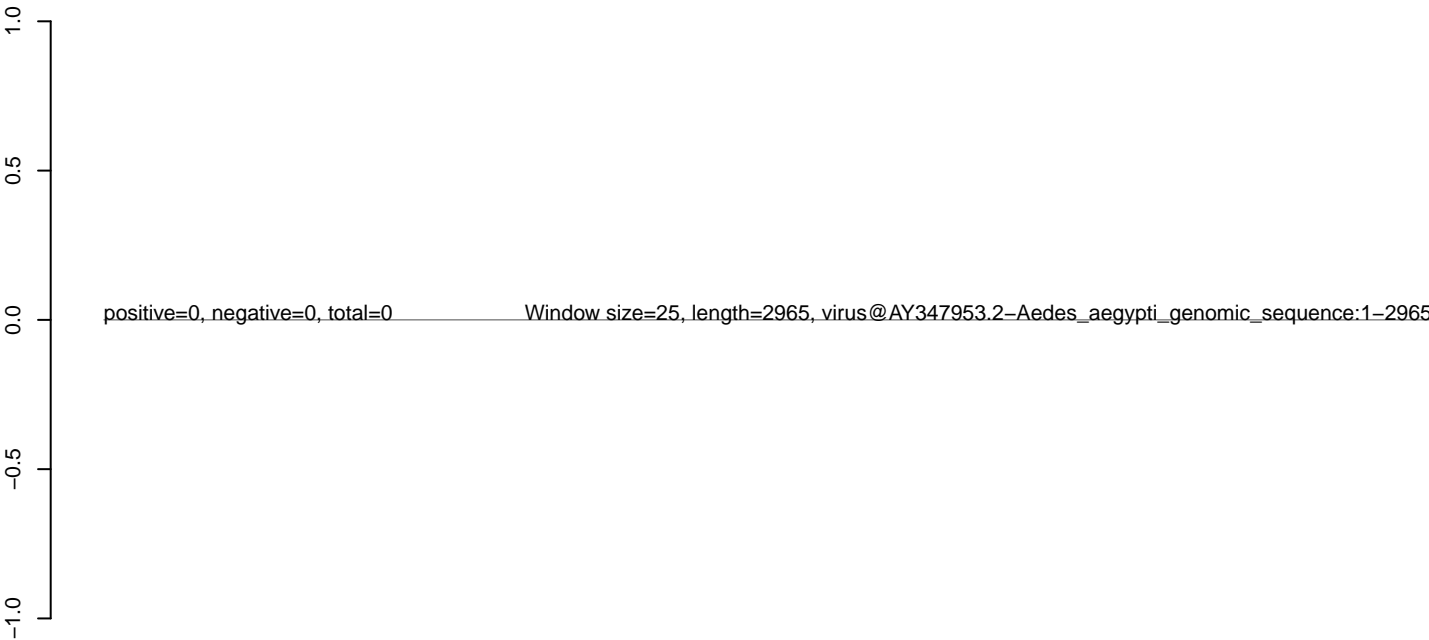
CuQuin_SG_14dpi3.18_23.rep



CuQuin_SG_14dpi3.24_35.rep



CuQuin_SG_14dpi3.rep



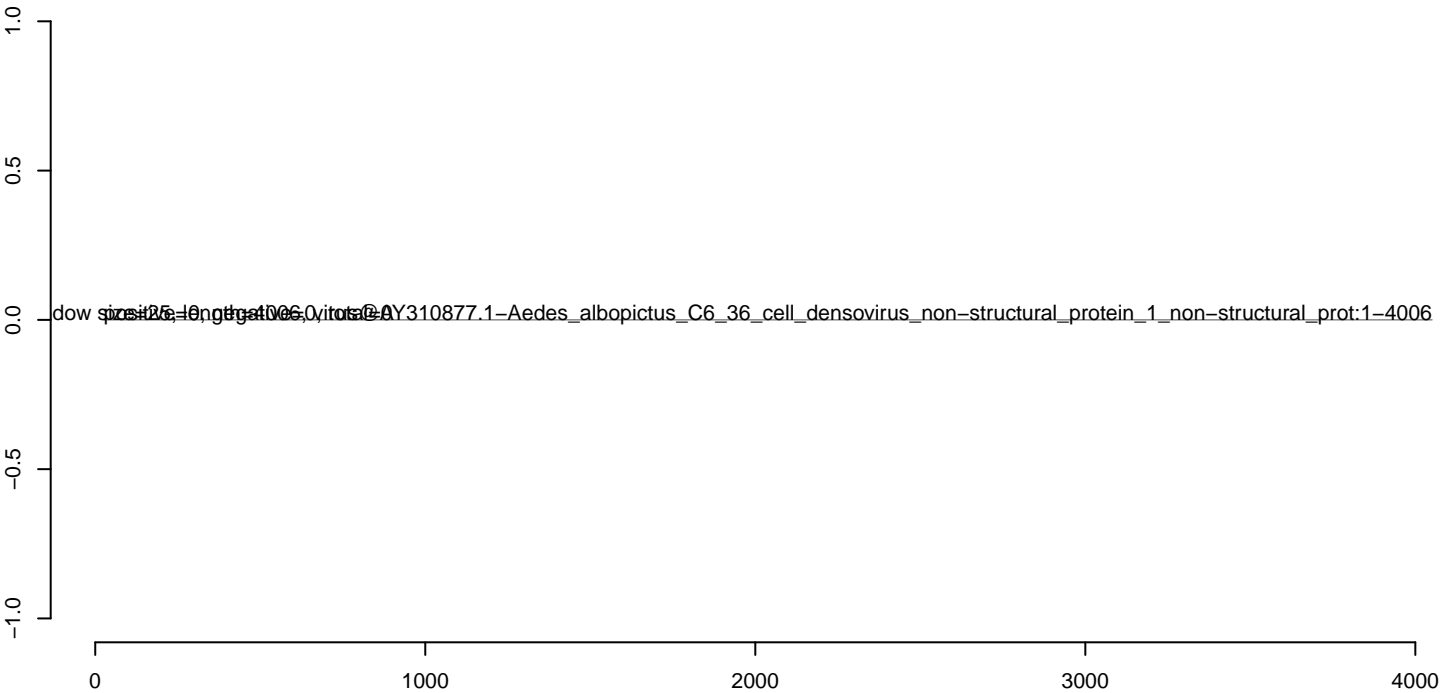
CuQuin_SG_14dpi3.18_23.rep



CuQuin_SG_14dpi3.24_35.rep



CuQuin_SG_14dpi3.rep



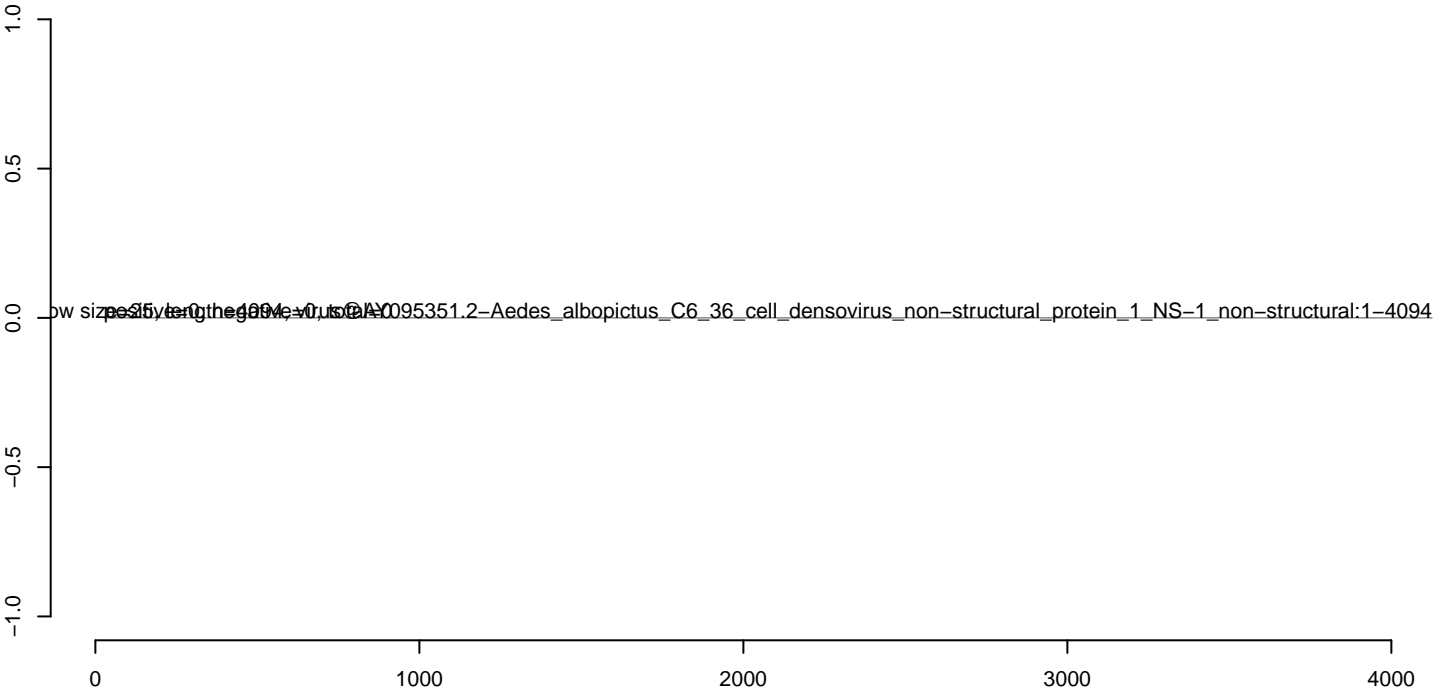
CuQuin_SG_14dpi3.18_23.rep



CuQuin_SG_14dpi3.24_35.rep



CuQuin_SG_14dpi3.rep



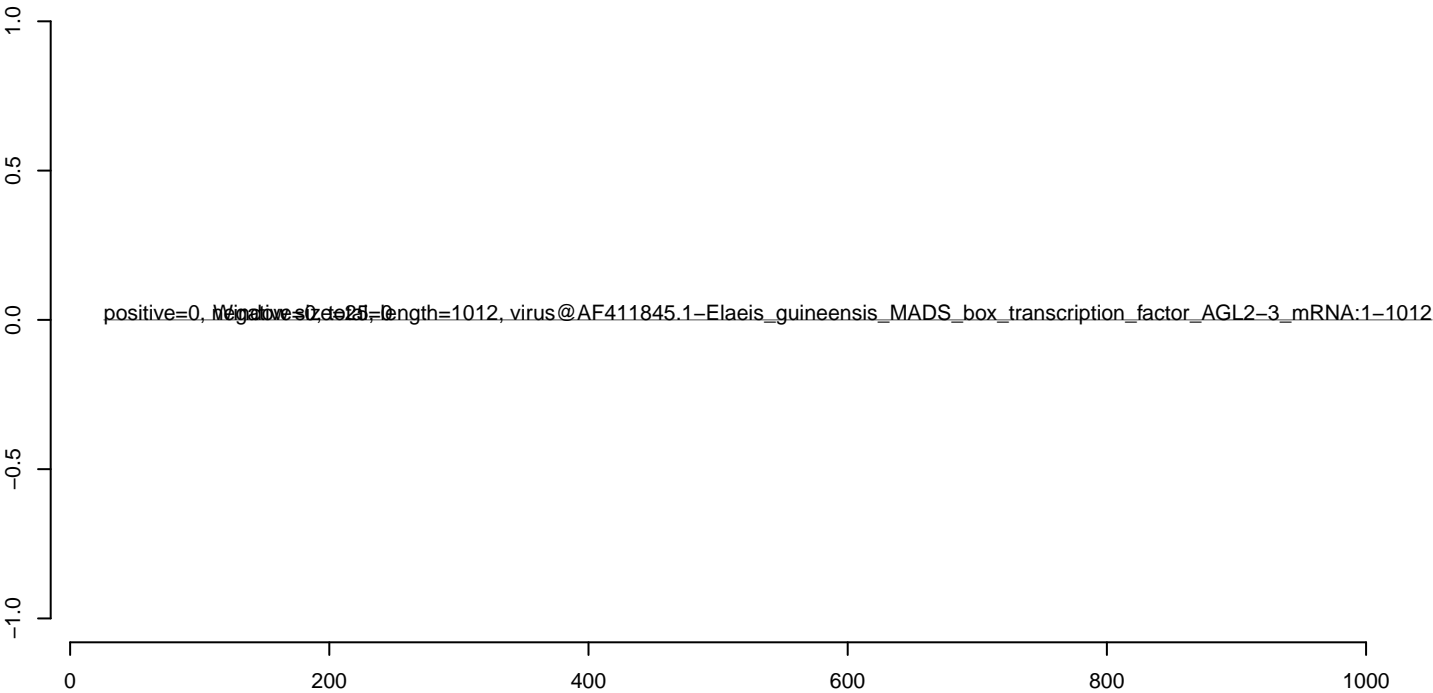
CuQuin_SG_14dpi3.18_23.rep



CuQuin_SG_14dpi3.24_35.rep



CuQuin_SG_14dpi3.rep



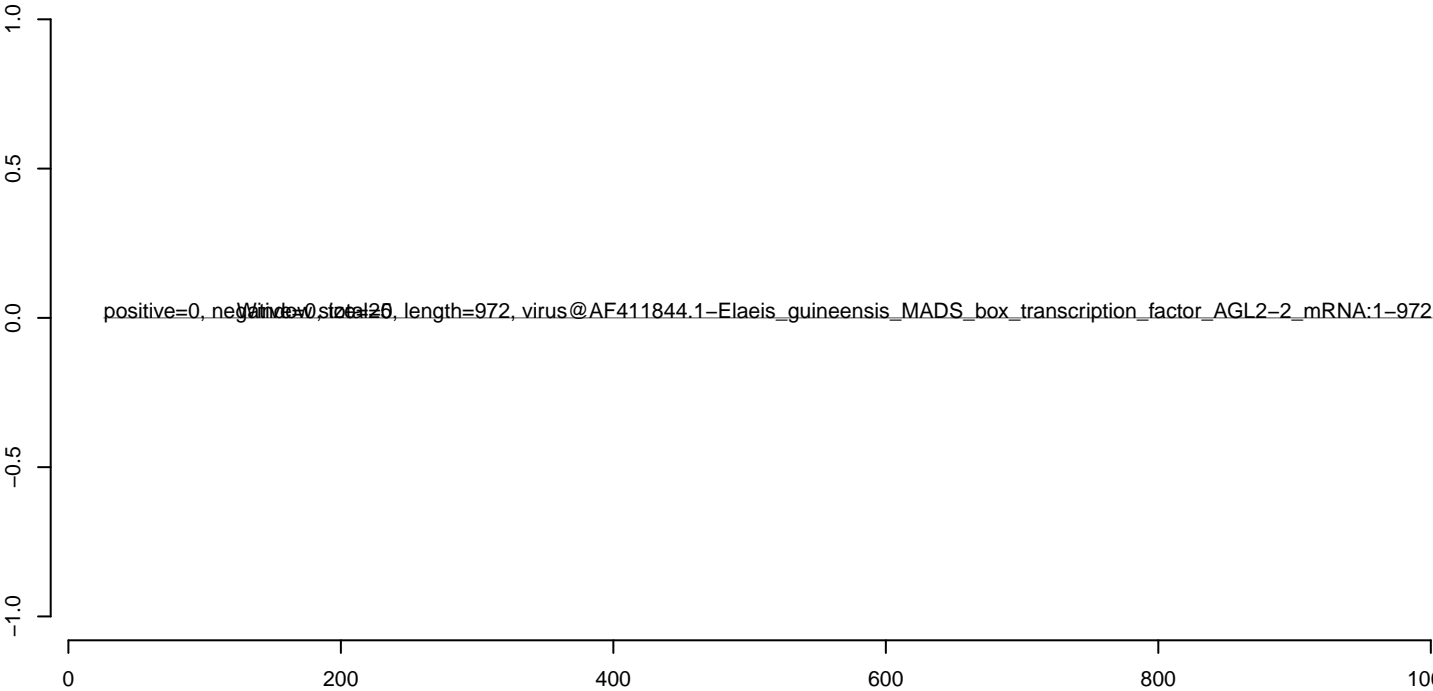
CuQuin_SG_14dpi3.18_23.rep



CuQuin_SG_14dpi3.24_35.rep



CuQuin_SG_14dpi3.rep



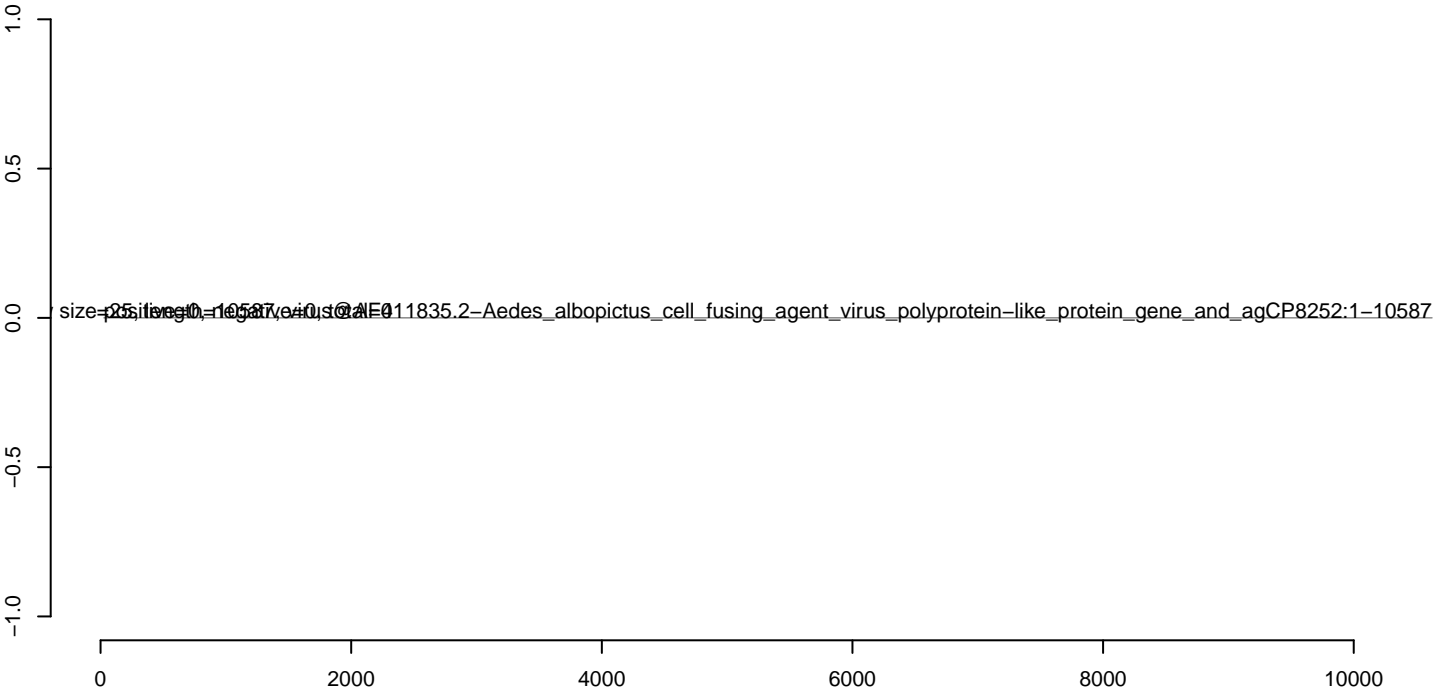
CuQuin_SG_14dpi3.18_23.rep



CuQuin_SG_14dpi3.24_35.rep



CuQuin_SG_14dpi3.rep



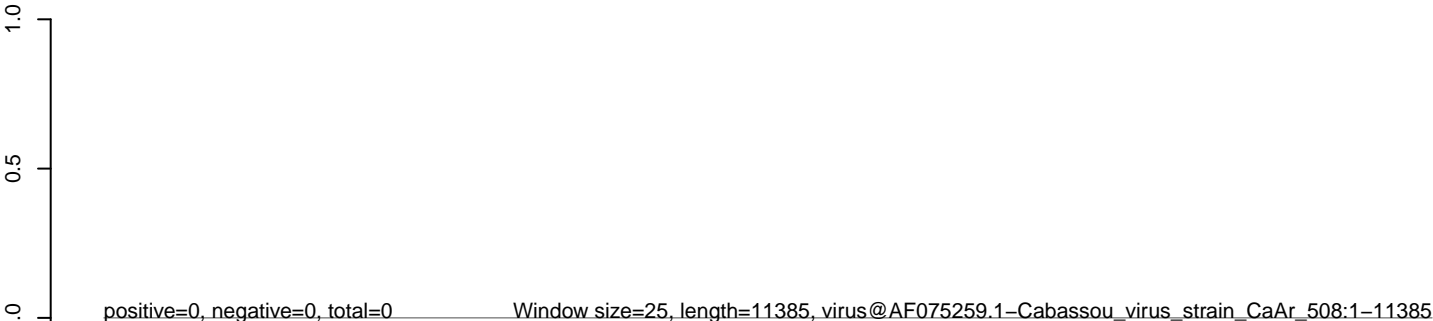
CuQuin_SG_14dpi3.18_23.rep



CuQuin_SG_14dpi3.24_35.rep



CuQuin_SG_14dpi3.rep



0 2000 4000 6000 8000 10000

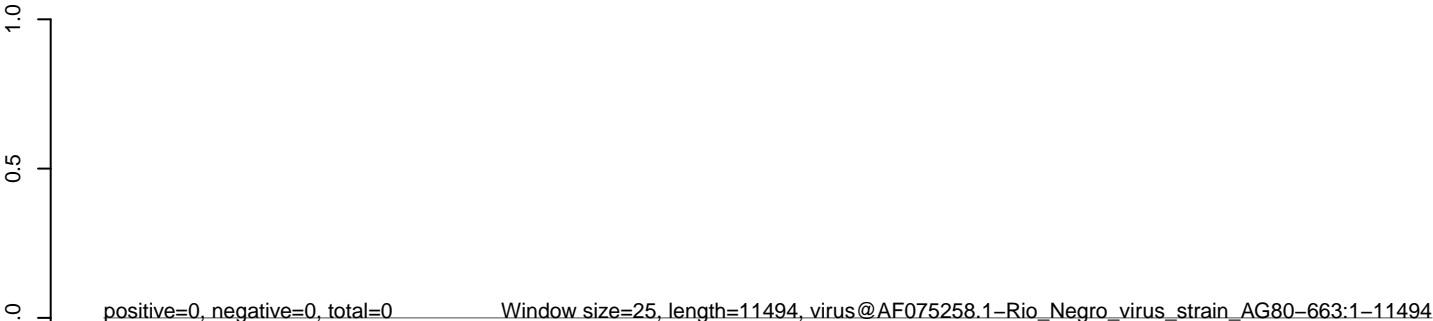
CuQuin_SG_14dpi3.18_23.rep



CuQuin_SG_14dpi3.24_35.rep



CuQuin_SG_14dpi3.rep



0 2000 4000 6000 8000 10000

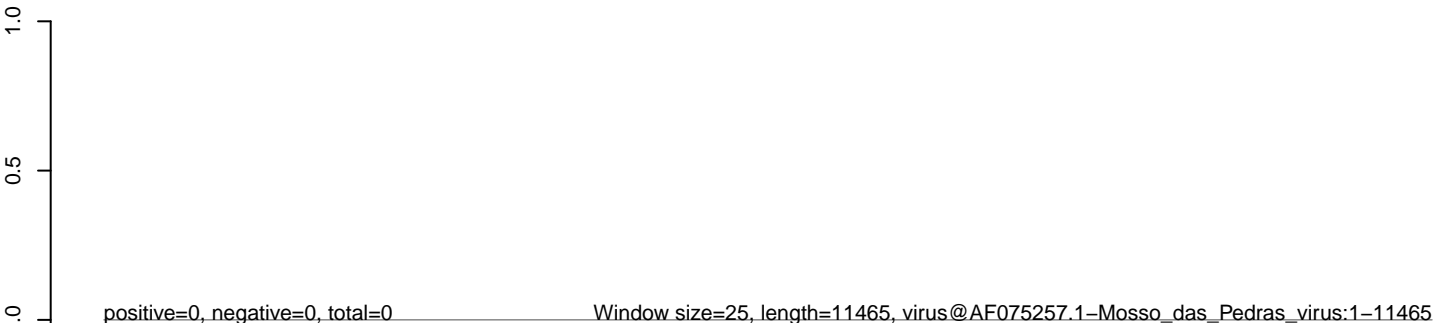
CuQuin_SG_14dpi3.18_23.rep



CuQuin_SG_14dpi3.24_35.rep



CuQuin_SG_14dpi3.rep



0 2000 4000 6000 8000 10000

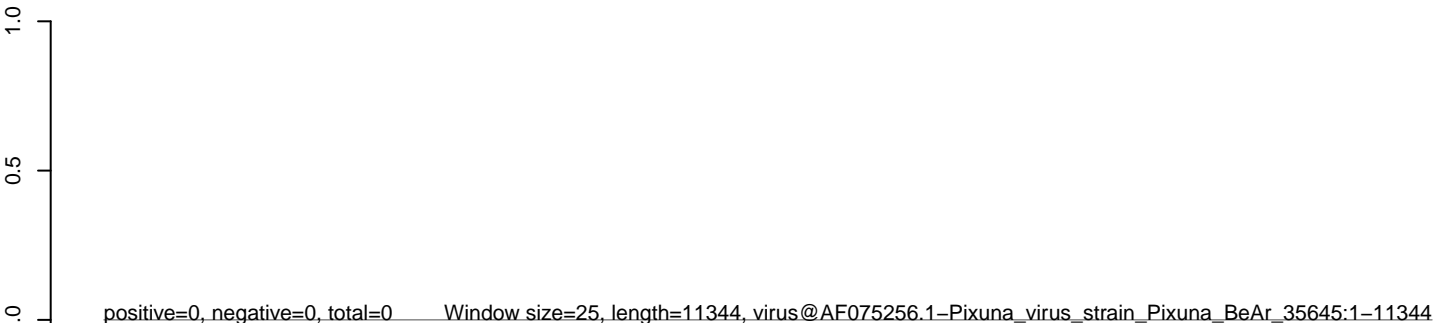
CuQuin_SG_14dpi3.18_23.rep



CuQuin_SG_14dpi3.24_35.rep



CuQuin_SG_14dpi3.rep



CuQuin_SG_14dpi3.18_23.rep



CuQuin_SG_14dpi3.24_35.rep



CuQuin_SG_14dpi3.rep



0 2000 4000 6000 8000 10000 12000

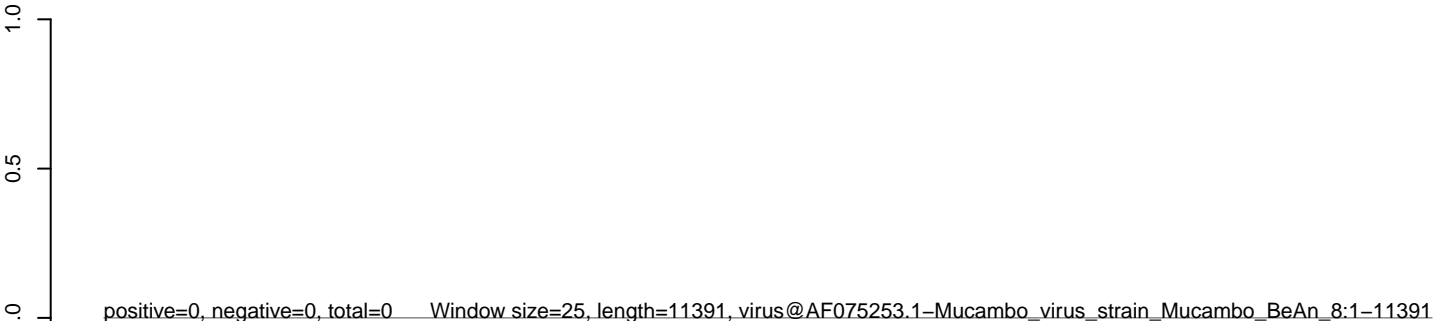
CuQuin_SG_14dpi3.18_23.rep



CuQuin_SG_14dpi3.24_35.rep



CuQuin_SG_14dpi3.rep



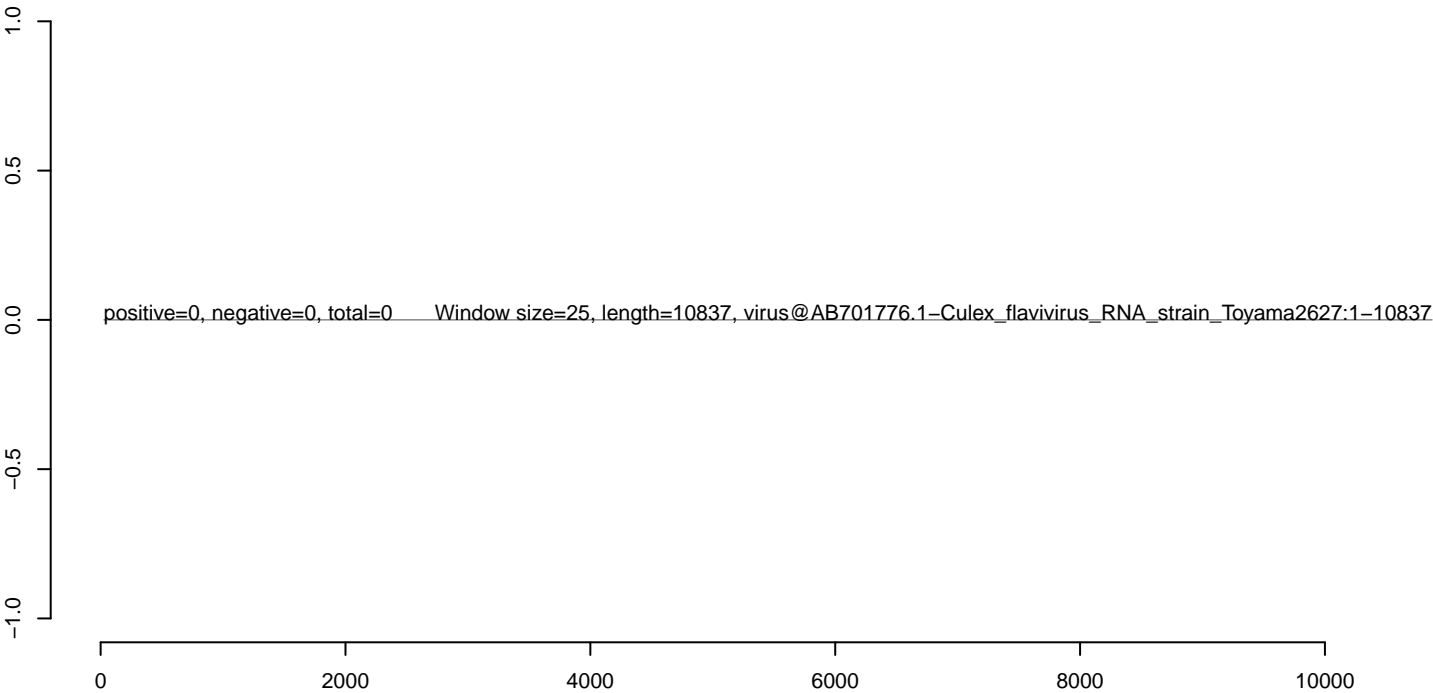
CuQuin_SG_14dpi3.18_23.rep



CuQuin_SG_14dpi3.24_35.rep



CuQuin_SG_14dpi3.rep



CuQuin_SG_14dpi3.18_23.rep



CuQuin_SG_14dpi3.24_35.rep



CuQuin_SG_14dpi3.rep

